

UNIVERSITATEA "POLITEHNICA" TIMIȘOARA
FACULTATEA DE CHIMIE INDUSTRIALĂ ȘI INGINERIA MEDIULUI

Ing. MARIA ELENA GRAD

TEZĂ DE DOCTORAT

CONTRIBUȚII LA SINTEZA UNOR COLORANȚI DIRECTI NEBENZIDINICI

Conducător științific
Prof.dr.ing. ALFA XENIA LUPEA

TIMIȘOARA
2009

CUPRINS

Introducere. Obiectivele tezei	5
I. Stadiul actual al cunoașterii în domeniul coloranților direcți	8
I.1 Coloranți direcți.....	8
I.1.1 Coloranți azoici catenari.....	9
I.1.2 Coloranți azoici benzidinici.....	10
I.1.3 Coloranți azoici stilbenici.....	12
I.1.4 Coloranți azoici derivați de la 4,4'-diaminodifenilamina.....	15
I.1.5 Coloranți azoici derivați de la 4,4'-diaminobenzanilida.....	16
I.1.6 Coloranți azoici tiazolici.....	17
I.1.7 Coloranți azoici ureici.....	19
I.1.8 Coloranți azoici triazinici.....	22
I.1.9 Coloranți oxazinici.....	24
I.1.10 Coloranți ftalocianinici.....	25
I.1.11 Coloranți azoici complexabili.....	27
I.2 Amine aromatice potențiale înlocuitoare ale benzidinei.....	30
I.2.1 Congeneri ai benzidinei.....	34
I.2.2 Oxidul 2,8-diamino-5,10-dehidro-10-hidroxi-5-metil-fenofosfazinei.....	35
I.2.3 4,4'-diaminodifenilsulfura.....	37
I.2.4 Acidul 4,4'-diaminostilben-2,2'-disulfonic.....	38
I.3 Noțiuni de culoare.....	41
II. Contribuții proprii	48
II.1 Sinteza și caracterizarea coloranților stilbendisazoici având drept componente de cuplare combinații cetonice enolizabile.....	52
II.2 Sinteza și caracterizarea coloranților stilbendisazoici având drept componente de cuplare hidroxiderivați aromatici.....	67
III. Aplicarea pe suport celulozic și proteic a coloranților stilbendisazoici sintetizați	101
III.1 Procesul de vopsire cu coloranți direcți.....	101
III.2 Aplicarea pe suport textil celulozic și proteic a coloranților stilbendisazoici (I-VI).....	105
III.3 Factorii ce influențează culoarea.....	112
III.4 Aplicarea pe suport de lemn a coloranților stilbendisazoici (VII-XVI; XVIII-XX).....	115
IV. Partea experimentală	134

IV.1 Instalație pentru sinteză, instalație pentru vopsire, reactivi utilizați.....	134
IV.1.1 Instalație pentru sinteză.....	134
IV.1.2 Instalație pentru vopsire.....	134
IV.1.3 Reactivi utilizați.....	134
IV.2 Metode de analiză utilizate.....	136
IV.2.1 Metode cromatografice.....	136
IV.2.2 Analiză elementală.....	137
IV.2.3 Metode spectroscopice.....	138
IV.3 Obținerea coloranților stilbendisazoici.....	138
IV.3.1 Obținerea coloranților stilbendisazoici (I-VI) având drept componente de cuplare combinații cetonice enolizabile.....	138
IV.3.1.1 Sinteza colorantului (I) prin cuplarea sării de bis-diazoniu a acidului 4,4'-diaminostilben-2,2'-disulfonic cu acetoacetanilida.....	139
IV.3.1.2 Sinteza colorantului (II) prin cuplarea sării de bis-diazoniu a acidului 4,4'-diaminostilben-2,2'-disulfonic cu acetoacet-2,4-dimetilanilida.....	140
IV.3.1.3 Sinteza colorantului (III) prin cuplarea sării de bis-diazoniu a acidului 4,4'-diaminostilben-2,2'-disulfonic cu acetoacet-2,5-dimetoxi-4-cloranilida.....	141
IV.3.1.4 Sinteza colorantului (IV) prin cuplarea sării de bis-diazoniu a acidului 4,4'-diaminostilben-2,2'-disulfonic cu acetoacet-2-cloranilida.....	142
IV.3.1.5 Sinteza colorantului (V) prin cuplarea sării de bis-diazoniu a acidului 4,4'-diaminostilben-2,2'-disulfonic cu acetoacet-2-metilanilida.....	143
IV.3.1.6 Sinteza colorantului (VI) prin cuplarea sării de bis-diazoniu a acidului 4,4'-diaminostilben-2,2'-disulfonic cu 5-acetoacetilaminobenzoimidazol-2-ona.....	144
IV.3.2.Obținerea coloranților stilbendisazoici (VII-XX) având drept componente de cuplare hidroxiderivați aromatici.....	145
IV.3.2.1 Sinteza colorantului (VII) prin cuplarea sării de bis- diazoniu a acidului 4,4'-diaminostilben-2,2'-disulfonic cu acidul salicilic.....	146
IV.3.2.2 Sinteza colorantului (VIII) prin cuplarea sării de bis-diazoniu a acidului 4,4'-diaminostilben-2,2'-disulfonic cu salicilanilida.....	147
IV.3.2.3 Sinteza colorantului (IX) prin cuplarea sării de bis- diazoniu a acidului 4,4'-diaminostilben-2,2'-disulfonic cu orto-clorosalicilanilida.....	148
IV.3.2.4 Sinteza colorantului (X) prin cuplarea sării de bis- diazoniu a acidului 4,4'-diaminostilben-2,2'-disulfonic cu meta-clorosalicilanilida.....	149
IV.3.2.5 Sinteza colorantului (XI) prin cuplarea sării de bis- diazoniu a acidului 4,4'-diaminostilben-2,2'-disulfonic cu para-clorosalicilanilida.....	150

IV.3.2.6 Sinteza colorantului (XII) prin cuplarea sării de bis-diazoniu a acidului 4,4'-diaminostilben-2,2'-disulfonic cu orto-bromosalicilanilida.....	151
IV.3.2.7 Sinteza colorantului (XIII) prin cuplarea sării de bis-diazoniu a acidului 4,4'-diaminostilben-2,2'-disulfonic meta-bromosalicilanilida.....	152
IV.3.2.8 Sinteza colorantului (XIV) prin cuplarea sării de diazoniu a acidului 4,4'-diaminostilben-2,2'-disulfonic cu para-bromosalicilanilida	153
IV.3.2.9 Sinteza colorantului (XV) prin cuplarea sării de bis-diazoniu a acidului 4,4'-diaminostilben-2,2'-disulfonic cu salicilamida.....	154
IV.3.2.10 Sinteza colorantului (XVI) prin cuplarea sării de bis-diazoniu a acidului 4,4'-diaminostilben-2,2'-disulfonic cu amida N-substituită a acidului salicilic (cu 3-amino-1-H-1,2,4,-triazol).....	155
IV.3.2.11 Sinteza colorantului (XVII) prin cuplarea sării de bis-diazoniu a acidului 4,4'-diaminostilben-2,2'-disulfonic cu amida N-substituită a acidului salicilic (2-aminobenzotiazol).	155
IV.3.2.12 Sinteza colorantului (XVIII) prin cuplarea sării de bis-diazoniu a acidului 4,4'-diaminostilben-2,2'-disulfonic cu rezorcina.....	156
IV.3.2.13 Sinteza colorantului (XIX) prin cuplarea sării de bis-diazoniu a acidului 4,4'-diaminostilben-2,2'-disulfonic cu acidul 2-hidroxi-3-naftoic.....	157
IV.3.2.14 Sinteza colorantului (XX) prin cuplarea sării de bis-diazoniu a acidului 4,4'-diaminostilben-2,2'-disulfonic cu acidul 1-hidroxi-2-naftoic.....	158
IV.4 Vopsirea suportului textil celulozic și proteic cu coloranții stilbendisazoici (I-VI).....	159
IV.5 Aplicarea pe suport de lemn a coloranților stilbendisazoici (VII-XVI; XVIII-XX).....	161
V. Concluzii	162
Bibliografie	170

Acid I- acid 2-amino-5-naftol-7-sulfonic
Acid γ -acid 2-amino-8-naftol-6-sulfonic
Acid Cléve 1,6-acid 1-naftilamino-6-sulfonic
Acid Cléve 1,7- acid 1-naftilamino-7-sulfonic
Acid H- acid 1-amino-8-naftol-3,6-disulfonic
Acid R- acid 2-naftol-3,6-disulfonic
Acid cromotropic- acid 1,8-dihidroksinaftalin-3,6,-disulfonic
Acid Laurent- acid 1-naftilamino-5-sulfonic
Acid Nevile-Whinter- acid 1- naftol-4-sulfonic
Acid Schäffer- acid 2- naftol-6-sulfonic
Acid Laurent- acid 1-naftilamino-5-sulfonic
Acid naftionic- acid 1-naftilamino-4-sulfonic

INTRODUCERE. OBIECTIVELE TEZEI

Studiul obținerii și caracterizării unor coloranți direcți azo-stilbenici prezintă interes datorită posibilității aflării unor coloranți alternativi, în condițiile interzicerii pe plan mondial a producției de coloranți derivați ai benzidinei, ca urmare a binecunoscutei sale toxicități.

Din datele de literatură se constată că preocupările unor colective de cercetători cu privire la studiul unor astfel de compuși au în vedere câteva probleme fundamentale care se asociază acestor coloranți:

- utilizarea acidului 4, 4'-diaminostilben-2,2'-disulfonic în calitate de diamină bis-diazotabilă, lipsită de caracter cancerigen, în scopul obținerii unor coloranți direcți.
- sinteza unor coloranți direcți azo-stilbenici cu substantivitate față de fibrele celulozice, comparabilă cu cea a coloranților analogi benzidinici.
- utilizarea drept componente de cuplare, a unei palete largi de combinații (hidroxiderivați aromatici, amine, combinații cetonice enolizabile) în vederea obținerii unor game de culori apropiate de cea a coloranților benzidinici corespunzători.

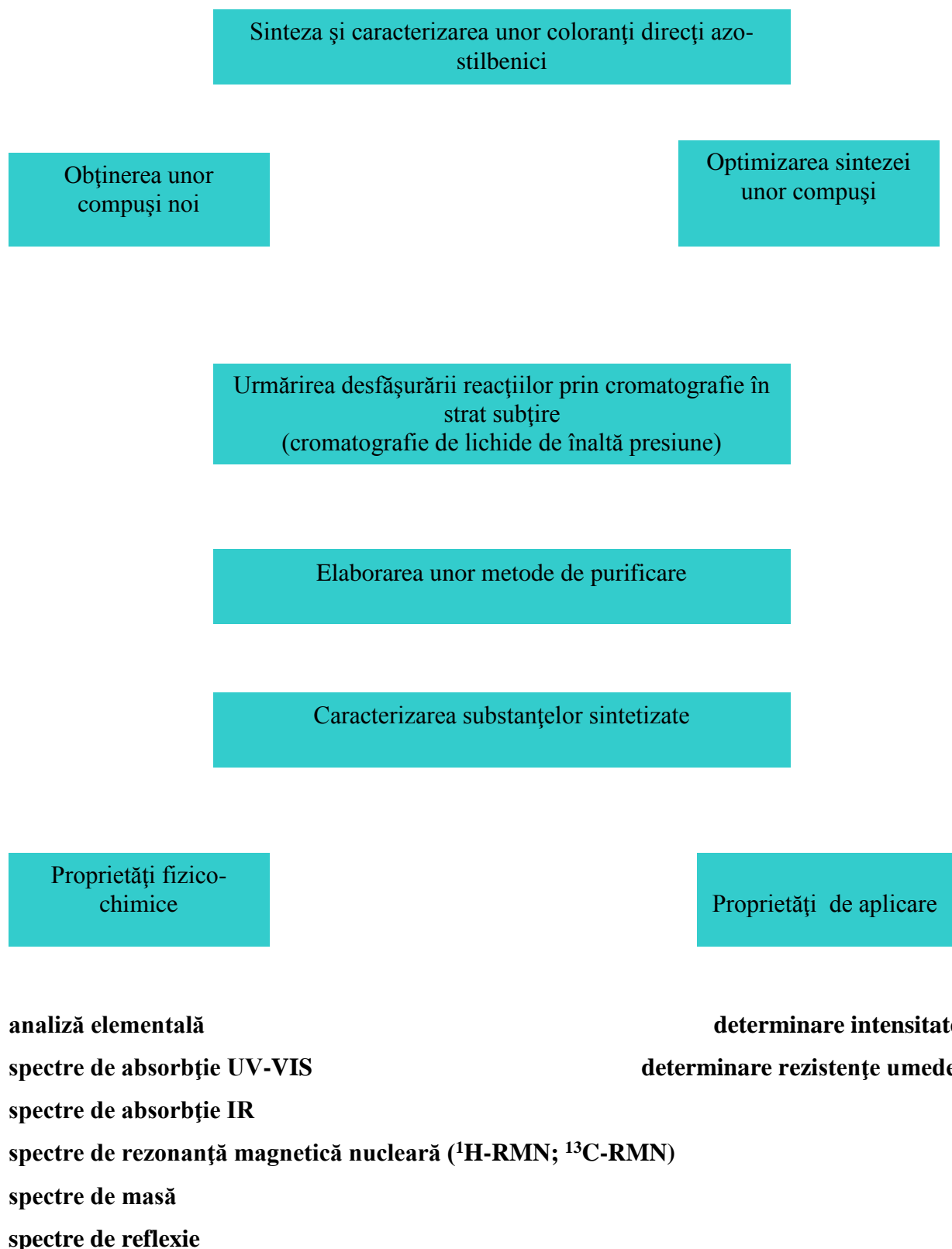
Obiectivele avute în vedere pe parcursul desfășurării cercetărilor au fost:

- sinteza și caracterizarea unor coloranți direcți stilbendisazoici simetrici, derivați ai acidului 4,4'-diaminostilben-2,2'-disulfonic având drept componente de cuplare combinații cetonice enolizabile
- sinteza și caracterizarea unor coloranți direcți stilbendisazoici simetrici, derivați ai acidului 4,4'-diaminostilben-2,2'-disulfonic având drept componente de cuplare hidroxiderivați aromatici
- punerea în evidență în mod clar a tuturor atribuirilor structurale prin diferite tehnici și metode de analiză, pentru toți coloranții sintetizați
- realizarea unui studiu care să permită corelații între structura, culoarea și proprietățile tinctoriale în cazul compușilor sintetizați
- aplicarea coloranților sintetizați pentru vopsirea fibrelor celulozice, a fibrelor proteice ca înlocuitori la scară industrială a vechilor coloranți direcți benzidinici.

Cercetările întreprinse în cadrul tezei de doctorat au avut în vedere parcurgerea următoarelor etape: (*schema 1*)

- obținerea unor coloranți (produse colorate) derivați de la intermediarul mai sus amintit prin optimizarea unor sinteze sau prin efectuarea unor sinteze noi.
- stabilirea metodelor pentru controlul desfășurării reacțiilor chimice și a purității produselor obținute

-
-
- stabilirea metodelor de purificare specifice fiecărui produs în parte
 - caracterizarea produselor colorante sintetizate, atât din punct de vedere al proprietăților fizico-chimice cât și al proprietăților tinctoriale.



Schema 1. Principalele etape parcurse în timpul cercetărilor

În prezent, sunt binecunoscute cercetările care vizează studii privind utilizările neconvenționale ale coloranților precum și aplicațiile acestora în medicină, biologie, tehnici de calcul etc. ceea ce sugerează pentru viitor și studii referitoare la posibilitatea aplicării noilor compuși sintetizați în alte domenii.

Astfel pornind de la informațiile existente cu privire la includerea coloranților azoici de tip stilbenic, în categoria materialelor inteligente, se presupune că ar fi interesant de studiat testarea efectului fotodinamic al acestora în terapii fotodinamice ale cancerului. Aceasta s-ar putea datora aportului suplimentar de energie către substrat datorat echilibrului între cei doi diastereoizomeri cis-trans ai restului stilbenic

I. STADIUL ACTUAL AL DEZVOLTĂRII ÎN DOMENIUL COLORANȚILOR DIRECȚI

I.1. COLORANȚI DIRECȚI

Coloranții direcți sau substantivi fac parte din clasa coloranților anionici, având minimum două grupe azo în moleculă și grupe sulfonice care, sub formă de săruri de sodiu le conferă solubilitate în apă. Din punct de vedere tinctorial, se caracterizează prin proprietatea de a vopsi direct fibrele celulozice din soluții apoase neutre sau alcaline, fără intermediul unui mordant, ceea ce alți coloranți anionici (de exemplu cei acizi) nu o pot face [1].

Datorită faptului că coloranții direcți reprezintă în clasa coloranților azoici grupa cea mai numeroasă și mai complexă sub raport structural, prezentarea principalelor tipuri de coloranți direcți se poate face fie după principala structură caracteristică care contribuie la substantivitate, fie după modul de obținere al acestora. Din punct de vedere structural, clasa coloranților direcți include o gamă largă de compuși, marea majoritate având o structură azoică [2-7].

Principalele tipuri de coloranți direcți grupate după structura caracteristică care contribuie la substantivitatea acestora față de fibrele celulozice sunt următoarele:

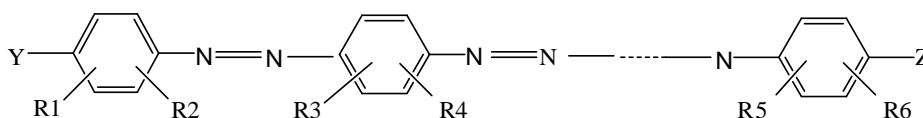
- coloranți azoici catenari
- coloranți azoici benzidinici
- coloranți azoici stilbenici
- coloranți azoici derivați de la 4,4'-diaminodifenilamina
- coloranți azoici derivați de la 4,4'-diaminobenzanilida
- coloranți azoici tiazolici
- coloranți azoici ureici
- coloranți azoici triazinici
- coloranți oxazinici
- coloranți ftalocianinici
- coloranți azoici complexabili cu ioni metalici pe fibră
- coloranți azoici cu complecși metalici preformați

După modul de obținere pot fi amintite următoarele tipuri de coloranți azoici direcți: coloranți azoici direcți obținuți exclusiv prin procese de diazotare și cuplare (coloranți monoazoici, disazoici primari, disazoici secundari, trisazoici, tetrakisazoici), coloranți direcți obținuți prin procese de condensare a unor azoderivați mai simpli (condensări de nitro cu aminoderivați, condensări reductive de nitroderivați, condensări oxidative de aminoderivați, condensări ale amino-azo-derivaților prin fosgenare sau cu clorură de cianuril), coloranți direcți

metal complecși și coloranți direcți retratabili (prin diazotare, prin cuplare, cu săruri de cupru sau de crom, cu formaldehidă, cu polimeri ce conțin grupe puternic bazice).

I.1.1. Coloranți azoici catenari

Coloranții de acest tip au structura generală **(I.1)**, fiind constituiți dintr-un șir liniar de nuclee benzenice și naftalenice legate în serie între ele prin grupe azo, în pozițiile 1,4; 2,5; 2,6.



(I.1)

unde: Y=H, NH₂; Z=OH, NH₂, NHR, etc, R₁₋₆ =diverși substituenți

Coloranții disazoici care nu conțin acid 2-amino-5naftol-7-sulfonic (*acid I*) sau un derivat al acestuia la capătul moleculei (final), nu prezintă substantivitate decât dacă la unul din capetele moleculei au în poziția *para* față de grupa azo o grupă –NH₂ conjugată cu aceasta prin intermediul unui nucleu aromatic și dacă cel puțin două din nucleele aromatice ale moleculei sunt naftalinice, iar la celălalt capăt al moleculei se află o grupă –OH sau –NHR. Coloranții disazoici direcți de acest fel, având o grupă –NH₂ la un capăt al moleculei, pot fi diazotați după aplicare pe fibre celulozice urmând a fi tratați cu o componentă de cuplare în scopul obținerii unei colorații rezistente la tratamente umede. Dacă colorantul conține minimum trei grupe azo în moleculă, nu mai este necesară prezența grupei –NH₂ ci doar a unui nucleu naftalinic pentru a avea substantivitate pentru materialele textile celulozice.

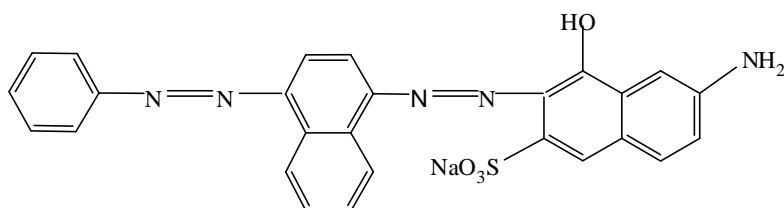
Coloranții poliazoici (în lanț) se pot obține prin tratarea unei diazocomponente cu o amină primară aromatică, care cuplează în *para* față de grupa –NH₂, urmată de diazotarea aminoazocompusului rezultat și tratarea cu o altă amină primară aromatică care cuplează în *para* față de grupa –NH₂ și așa mai departe, ultima componentă fiind ori o amină ori un hidroxiderivat aromatic [8-11].

În cazul în care este necesară prezența la capătul inițial al moleculei de colorant a unei grupe –NH₂, în poziție *para* față de grupa azo, se pornește de la o N– acil-1,4-fenilendiamină sau de la o 4-nitroanilină utilizată ca diazocomponentă. Final, după terminarea seriei de cuplări succesive, pentru a obține produsul cu grupă –NH₂ terminală, se hidrolizează grupa N-acilamino, respectiv se reduce grupa –NO₂ de la produsul format cu o soluție de sulfură de sodiu. Compușii N-acil-1,4 arilendiaminici și 4-nitroarilaminici pot fi utilizați pentru sinteze de coloranți azoici în lanț în felul următor: după diazotare și cuplare cu o componentă de cuplare, se hidrolizează grupa

acilamino, respectiv se reduce grupa nitro de la produsul format, apoi se diazotează grupa amino rezultată și se tratează cu o componentă de cuplare, lungind molecula cu încă un termen în sensul invers celui inițial cu care s-a început sinteza.

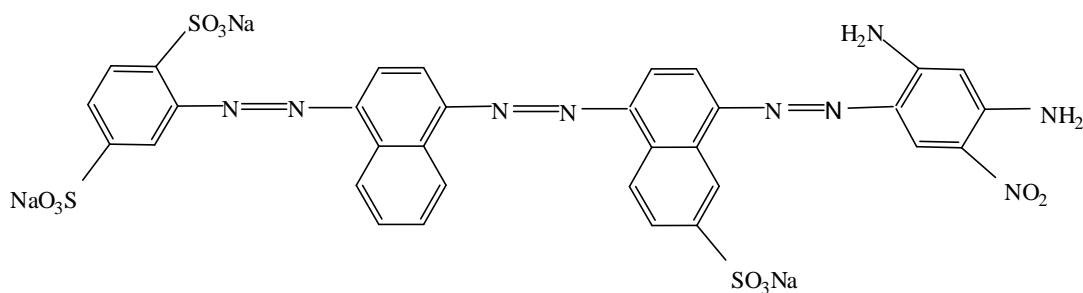
Coloranții azoici direcți în lanț având acidul 2-amino-5-naftol-7-sulfonic (*acid I*) sau un derivat al acestuia drept componentă finală de cuplare sunt mai importanți decât cei descriși anterior; componenta finală a compusului poliazocic fiind acidul menționat anterior (cuplat în *orto* față de grupa hidroxil) sau un derivat substituit prin arilare sau acilare la grupa amino a acestuia ceea ce determină o substantivitate mărită a produselor, datorită conjugării (2, 6) între grupa azo și grupa amino.

În special coloranții cu grupa amino a *acidului I* acilată (mai ales benzoilată) au substantivitatea așa de mult mărită, încât pot fi chiar și monoazoici, dar majoritatea dintre cei valoroși sunt di- și trisazoici. Exemple de coloranți azoici direcți catenari sunt prezentate prin formulele **I.2.** și **I.3.**



(I.2)

Negru direct 3 (C.I. 27 710)



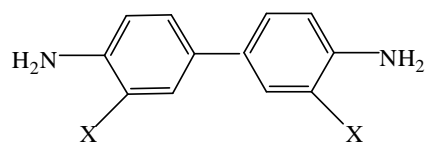
(I.3)

Roșu direct 103 (C.I. 34 025)

I.1.2. Coloranți azoici benzidinici

Coloranții din această categorie se obțin relativ ușor, sunt ieftini, însă fabricarea lor în ultimii ani este redusă datorită toxicității bazelor benzidinice [12-13]. Obținerea unor astfel de coloranți are loc prin bis-diazotarea, benzidinei sau a unui derivat al acesteia, substituit în

pozițiile 3 și 3' (**I.4**) urmată de cuplare în ambele părți, fie cu aceeași componentă, fie cu componente de cuplare diferite.



(**I.4**)

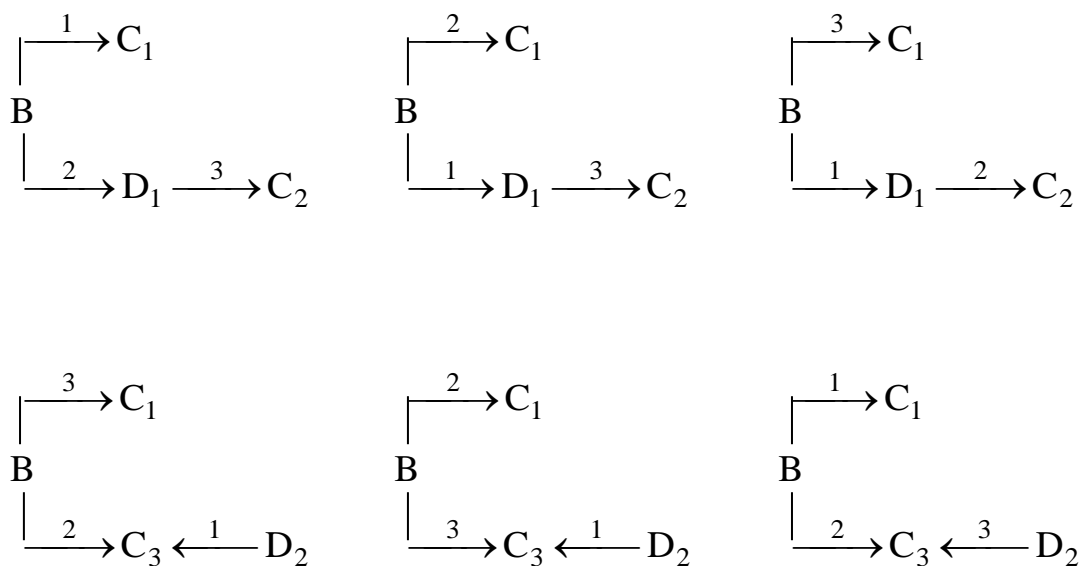
X = H, CH₃, OCH₃, Cl, COOH, OCH₂COOH

Cele două cuplări ale benzidinei bis-diazotate decurg cu energie diferită și din acest motiv se pot obține atât coloranți disazoici simetrici cât și asimetrici. Ultima variantă se realizează prin tratarea bis-diazoderivatului benzidinic întâi cu o componentă mai puțin reactivă la cuplare (de exemplu cu acid salicilic), apoi diazoderivatul compusului monoazoic format se tratează cu o componentă mai reactivă, deoarece energia de cuplare a grupei diazo rămasă nereacționată după prima cuplare este mai mică.

Coloranții rezultați, prezintă o substantivitate marcată care trebuie atribuită în mare parte structurii difenilice cu nucleele benzenice coplanare.

Dacă una sau ambele componente de cuplare ale colorantului benzidinic conțin o grupă amino diazotabilă sau o poziție de cuplare liberă, se poate mări molecula acestuia prin diazotare și cuplare cu o altă diazocomponentă, respectiv prin cuplare.

Diversele variante posibile pentru sinteze de coloranți azoici direcți având mai mult de trei grupe azo în moleculă sunt prezentate în schema **I.1**. [14-16].



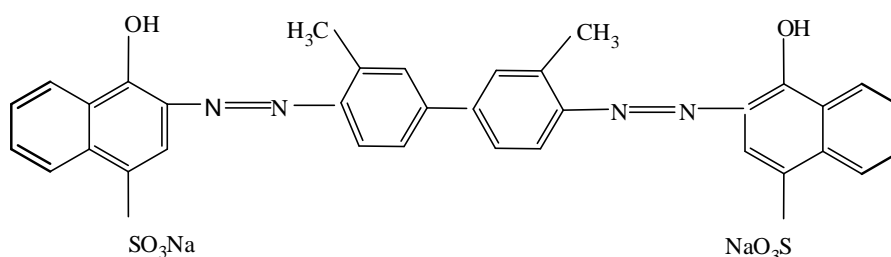
Schema. I.1. Variante de sinteză ale coloranților benzidinici

unde: B = benzidină (derivat benzidinic)

C₁; C₂ = azocomponente cuplate într-o singură poziție

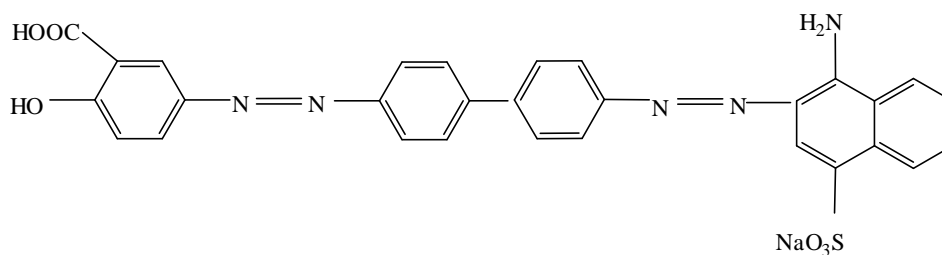
C₃ = azocomponentă cuplată în două poziții

D₁ = azocomponentă diazotabilă; D₂ = diazocomponentă.



(I.5)

Violet direct 39 C.I. (23 680)



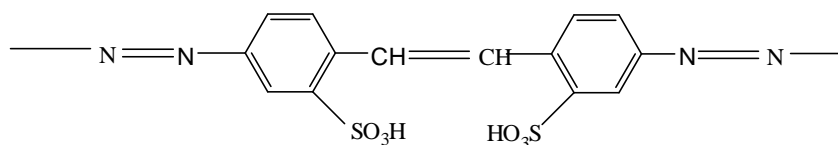
(I.6)

Oranj direct 8 C.I. (22 130)

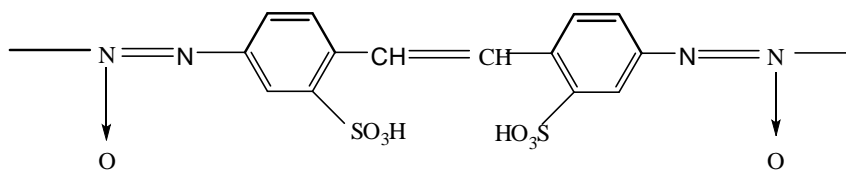
Formulele (I.5.) și (I.6.) reprezintă două exemple de coloranți azoici benzidinici având drept componentă centrală 3,3'-dimetilbenzidina (o-tolidina) și respectiv benzidina.

I.1.3. Coloranți azoici stilbenici

Acest tip de coloranți sunt coloranți cu cromofor mixt, conținând una sau mai multe grupe stilbenice și grupe azo sau azoxi în moleculă conform structurilor (I.7.) și (I.8.)



(I.7)



(I.8)

Grupa stilbenică conjugată cu cele două grupe azo (sau azoxi) conferă coloranților de acest tip substantivitate față de substraturile celulozice, iar grupele sulfonice (ca săruri de sodiu) asigură solubilitatea acestora în apă. Produsele de acest tip au culori galbene, portocalii, roșii sau brune.

Materia primă necesară pentru obținerea directă a unor coloranți direcți stilbenici, precum și a unor intermediari stilbenici utilizabili în acest scop este acidul 4-nitrotoluen-2-sulfonic. Alte produse intermediare importante sunt acizii 4,4'-dinitrostilben-2,2'-disulfonic, 4,4'-diaminostilben-2,2'-disulfonic și 4-amino-4'-nitrostilben-2,2'-disulfonic.

Obținerea coloranților substantivi stilbenici are loc prin trei procedee:

Primul constă în diazotarea acidului 4,4'-diaminostilben-2,2'-disulfonic și cuplarea cu diverse componente. Cel mai important colorant este Crisofenina, un produs ieftin care vopsește direct bumbacul, lâna și mătasea naturală în galben rezistent la lumină, sub acțiunea acizilor minerali însă culoarea se schimbă în albastru. Obținerea sa constă într-o primă fază în bis-diazotarea acidului 4,4'-diaminostilben-2,2'-disulfonic și cuplarea cu fenol când se obține compusul cunoscut sub denumirea de Galben Briliant sau Galben direct 4 (C.I. 24 890) utilizat doar ca indicator bazic și la colorarea hârtiei. Etoxilarea ulterioară la grupele hidroxi-fenolice conduce la obținerea Crisofeninei sau Galben direct 12 (C.I. 24 895).

Literatura de brevete pune la dispoziție un număr considerabil de coloranți cu structură stilbendisazoică, stilbentrisazoică și chiar stilbenpoliazoică obținuți conform metodei menționate anterior [17-44].

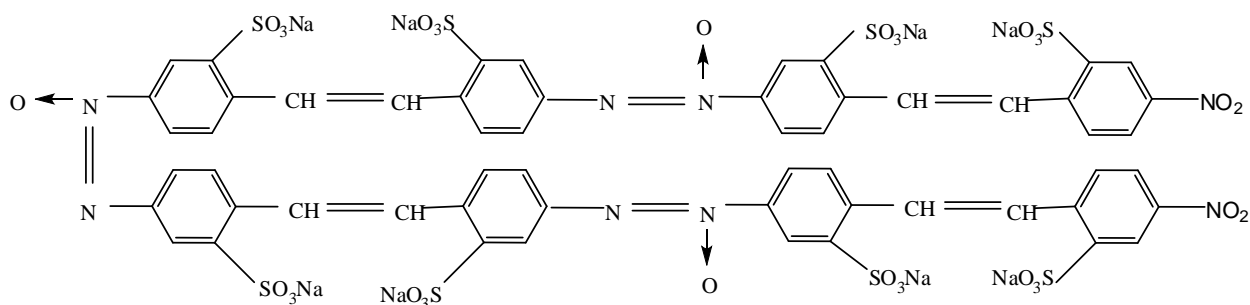
Al doilea procedeu de obținere al coloranților stilbenici îl reprezintă condensarea acidului 4,4'-dinitrostilben-2,2'-disulfonic cu diferite amine aromatice sau cu coloranți aminomonoazoici [45,46]. Aceasta are loc în soluții apoase de NaOH, la temperaturi sub 100°C. Coloranții azostilbenici rezultați au structura nedefinită și sunt impurificați cu azoxiderivați și alte produse secundare purificarea acestora se făcându-se prin tratare cu glucoză și NaOH sau cu Na₂S, etc. Vopsirile cu astfel de coloranți sunt în general rezistente, în special la lumină și au nuanțe variabile (galben, oranj, roșii sau brune).

Câteva exemple de coloranți substantivi stilbenici obținuți prin această metodă sunt prezentați în tabelul I.1.

Tabel I.1. Coloranți direcți azostilbenici, obținuți prin condensarea acidului 4,4'-dinitrostilben-2,2'-disulfonic cu diferite amine aromatice sau cu coloranți aminomonoazoici

Nr crt.	Denumirea	Componenta de condensare	Agentul de purificare
1	Galben direct 21 C.I. 40 045	Anilină	
2	Oranj direct 71 C.I. 40 205	Acid 4-aminobenzoic→Anilină	Glucoză
3	Oranj direct 34,39 C.I. 40 215	Acid sulfanilic→Anilină	Glucoză
4	Oranj direct 37 C.I. 40 265	Acid sulfanilic→Cresidină	Na ₂ S
5	Roșu direct 76 C.I. 40 270	Acid 6 metoximetanilic→Cresidină	Glucoză
6	Brun direct 78 C.I. 40 290	Acid sulfanilic→1-Naftilamină	

Condensarea alcalină a acidului 4-nitrotoluen-2-sulfonic reprezintă cea de a treia metodă de obținere a coloranților stilbenici. Prin încălzirea sării de sodiu a acidului 4-nitrotoluen-2-sulfonic cu soluții de NaOH se obțin coloranți galbeni, care sunt de fapt amestecuri de produse cu structură nedefinită și nuanțe diferite în funcție de condițiile de lucru, de concentrația alcalină, temperatură și timp [47,48]. Astfel, soluțiile alcaline de concentrații mai reduse (cca. 10% NaOH) și temperaturi mai scăzute (60-90°C) favorizează formarea unor produse condensate cu nuanțe galbene mai pure cunoscute sub denumirea de *Galben solar*. Principalul constituent al acestuia este Curcumina S, căreia i s-a atribuit următoarea structură (I.9).



Curcumina S

Galben direct 11 C.I. (40 000)

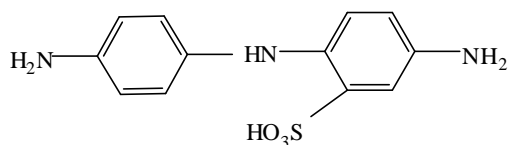
(I.9)

Curcumina S predomină în amestec atunci când se lucrează inițial cu soluție de NaOH de 4,5% iar spre sfârșitul condensării de 17,5%, la 70-80°C timp de cinci ore.

Prin oxidarea cu precauție a produselor de condensare alcalină cu NaOCl și HNO₃ sau efectuând condensarea alcalină în prezența unor agenți de oxidare blânzi se obțin nuanțe mai verzi, coloranții făcând parte din seria *Micado galben*. Dacă însă produsele de condensare alcalină se reduc parțial cu Na₂SO₃, Na₂S sau glucoză, se obțin nuanțe mai roșii, coloranții respectivi constituind seria *Micado oranj*.

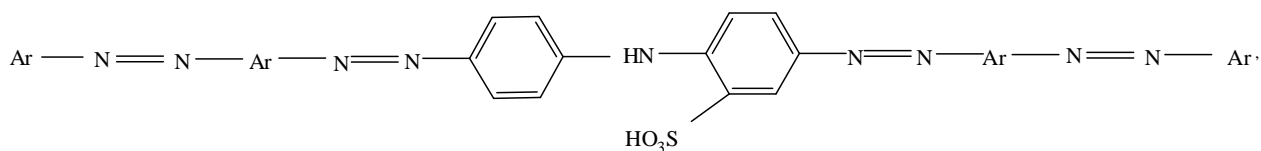
I.1.4. Coloranți azoici derivați de la 4,4'-diaminodifenilamină

Intermediarul utilizat în mod curent pentru sinteze de astfel de coloranți este acidul 4,4'-diaminodifenilamino-2-sulfonic, având structura (I.10).



(I.10)

În bis-diazoderivatul intermediarului de mai sus grupa diazo legată de nucleul benzenic care conține grupa sulfonică este mai reactivă, ceea ce permite obținerea de coloranți disazoici asimetrici prin cuplare cu diferite azocomponente [49-51]. Coloranții disazoici obținuți din acest intermediar, deși au substantivitate, nu se utilizează ca atare ci servesc la sinteze de coloranți tetrakisazoici asimetrici de forma (I.11).

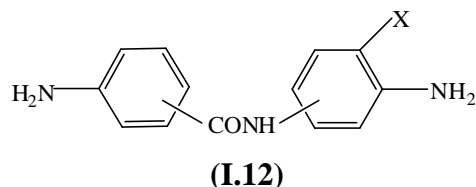


(I.11)

Acești coloranți se aplică la vopsirea materialelor celulozice. Obținerea lor constă în tratarea bis-diazoderivatului acidului 4,4'-diaminodifenilamino-2-sulfonic cu componente de cuplare având o grupă amino diazotabilă în moleculă: acid 2-amino-8-naftol-6-sulfonic (*acid γ*), acid 2-amino-5naftol-7-sulfonic (*acid I*), acid 1-naftilamino-6-sulfonic (*acid Cléve 1,6*), acid 1-naftilamino-7-sulfonic (*acid Cléve 1,7*) etc., după care coloranții rezultați se bis-diazotează și se tratează cu alte componente de cuplare. Produsele care se obțin sunt de culori negre și albastru închis, iar vopsirile realizate cu acestea prezintă rezistențe destul de bune.

I.1.5. Coloranți azoici derivați de la 4,4'-diaminobenzanilidă

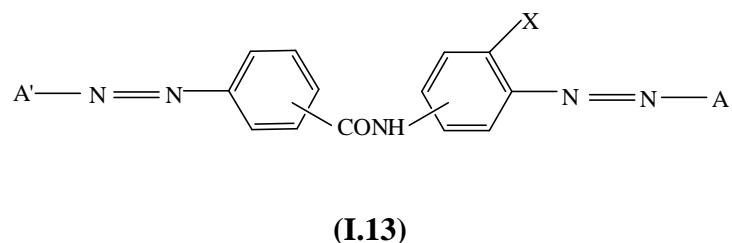
Intermediarii utilizați în sinteza unor astfel de coloranți sunt carbanilide, având grupe amino în poziția *para* sau *meta* față de gruparea amidică. De asemenea, pot conține în molecula lor și grupe halogen, alchil sau sulfonice, conform structurii generale (I.12)



unde: X= H, halogen, alchil sau SO₃H [52]

Prin bis-diazotarea 4,4'-diaminobenzanilidei urmată de cuplarea cu componente de cuplare potrivite, se obțin coloranți disazoici cu substantivitate asemănătoare celor proveniți de la benzidină. Dintre cele două grupe diazo ale bis-diazoderivatului 4,4'-diaminobenzanilidei, aceea care se află în *para* față de gruparea carbonilică este mai reactivă, ceea ce permite obținerea de coloranți disazoici asimetrice prin cuplare cu azocomponente diferite [53-57].

Coloranții de acest tip pot acoperi toată gama de nuanțe, având de multe ori o rezistență mai bună la lumină ale vopsirilor realizate pe fibre celulozice decât cele obținute în cazul unor coloranți benzidinici similari. Acești coloranți se mai bucură de avantajul că procesul de obținere a acestora nu implică riscuri toxicologice. Structura generală a coloranților disazoici de acest tip este de forma (I.13).



unde A respectiv A' reprezintă componentele de cuplare (identice sau diferite), iar X are aceeași semnificație ca și în cazul structurii (I.12)

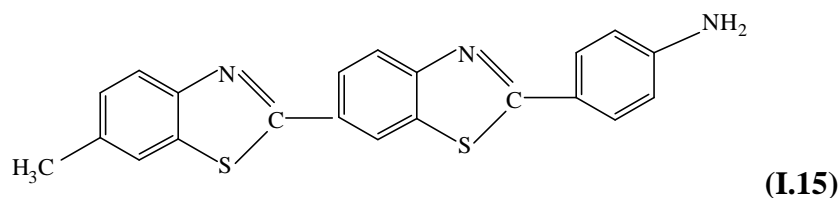
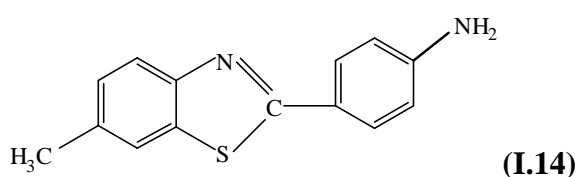
În mod frecvent, A' reprezintă acidul salicilic (uneori substituit), iar A poate fi fenol, m-aminofenol, acid antranilic, pirazolone etc.

De asemenea, se pot obține coloranți trisazoici și tetrakisazoici în același mod ca la utilizarea benzidinei, având de obicei culori mai închise (violet, negru) [58-60].

I.1.6. Coloranți azoici tiazolici

Coloranții tiazolici sunt în general coloranți monoazoici care conțin în molecula lor un nucleu benzotiazolic, structură care le conferă afinitate față de substraturile celulozice (datorită faptului că o singură grupare azo nu poate de regulă să asigure nici substantivitatea necesară vopsirii și nici nuanța) [1, 4, 5, 61].

Intermediarii de bază din care se fabrică coloranții azoici substantivi cu nucleu benzotiazolic în moleculă sunt 2-(4'-aminofenil)-6-metilbenzotiazolul (**I.14**) (sau "dehidrotio-para-toluidina") și baza primulinică (**I.15**), care se obțin prin topirea cu sulf a para-toluidinei la temperaturi de 180-220°C.



Primulina ca atare este un colorant galben, solubil în apă, care vopsește fibrele celulozice în galben viu, însă nerezistent la tratamente umede și la lumină.

Prin diazotare pe fibră (primulina fiind primul colorant direct de acest fel), urmată de dezvoltare prin cuplare cu diverse azocomponente, se formează coloranți de diferite nuanțe și cu rezistențe mai bune la spălat. Astfel, cu acidul salicilic utilizat ca agent de dezvoltare se obține un colorant galben; cu 2-naftolul, un colorant roșu; cu N-etil-2-naftilamină un colorant bordo, etc.

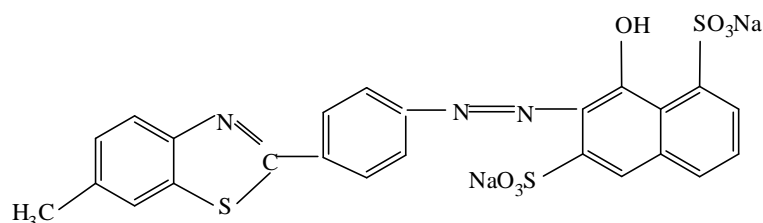
Coloranți monoazoici tiazolici se mai pot obține și prin condensarea oxidativă a primulinei când se obține un colorant foarte rezistent la lumină Galben direct 29 (C.I. 19 556), sau a acidului dehidrotio-para-toluidinsulfonic (acid DHT-p-TS) când se formează un produs ce vopsește fibrele celulozice, lâna și mătasea naturală Galben direct 28 (C.I. 19 555).

Pe de altă parte dehidrotio-para-toluidina și acizii ei mono și disulfonici servesc prin diazotare și cuplare cu diverse azocomponente, la obținerea unor coloranți direcți cu rezistențe moderate care pot vopsi lâna.

Structurile (**I.16**) și (**I.17**) a doi astfel de coloranți direcți tiazolici sunt prezentate în continuare precum și alte câteva exemple în tabelul **I.2**.

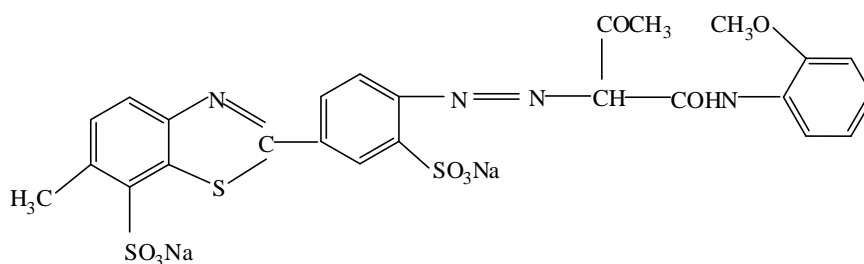
Tabel I.2 Coloranți direcți tiazolici

Nr.crt.	Denumirea	Structura (proveniența)
1	Galben direct 22 C.I. 13 925	Primulină→Acetoacetanilidă
2	Brun direct 80 C.I. 20 210	Acid sulfanilic ¹ →Rezorcină← ² Primulină
3	Galben direct 8 C.I. 13 920	Acid DHT-p-TS→Acetoacetanilidă
4	Oranj direct 18 C.I. 20 215	Acid DHT-p-TS ¹ →Rezorcină← ² Anilină (Primulină)
5	Roșu direct 45 C.I. 14 780	Acid DHT-p-TS→Acid Nevile-Winther (Acid 1-naftol-4-sulfonic)
6	Roșu direct 70 C.I. 16 081	Primulină→Acid Schäffer (Acid 2-naftol-6-sulfonic)



(I. 16)

Roșu direct 47 (C.I. 14 985)



(I. 17)

Galben direct 27 (C.I. 13 950)

I.1.7. Coloranți azoici ureici

Fosgenul este o componentă de condensare bifuncțională foarte mult utilizată. Cu ajutorul acesteia pot fi legate două molecule de aminoazoderivat prin intermediul grupei carbonil, rezultând coloranții ureici, caracterizați prin structura generală **(I.18)**.

Substantivitatea și-o datoresc pe de o parte structurii ureice și prezenței a minimum două grupe azo în moleculă, pe de altă parte. Acești coloranți conțin în molecula lor și grupe sulfonice care sub formă de săruri de sodiu le conferă solubilitate în apă.



(I.18)

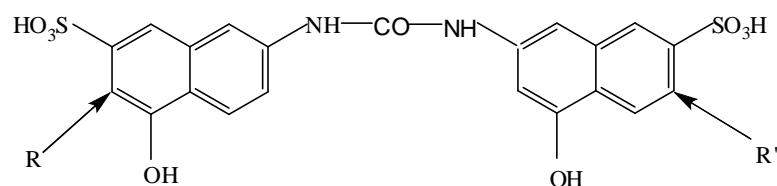
Cei doi radicali Ar și Ar' sunt în general identici iar R și R' pot fi identici sau diferiți. Acești coloranți se pot obține prin mai multe metode și anume:

I.1.7.1 Coloranți ureici derivați de la acidul carbonil I

Acidul carbonil I sau acidul ecarlat se obține prin fosgenarea acidului 2-amino-5-naftol-7-sulfonic (*acid I*) în soluție apoasă cu Na₂CO₃ la temperaturi în jur de 30°C.

Utilizând drept componentă centrală *acidul carbonil I*, în funcție de diazoderivații utilizați se pot obține coloranți simetrici (R=R') sau asimetrice (R, R' sunt diferiți) [62]. La sinteza colorantului asimetric, cuplările se efectuează în același timp, prin introducerea simultană a soluțiilor celor două săruri de diazoniu în soluția alcalină a componentelor de cuplare. Împreună cu compusul asimetric se formează și mici cantități de produse simetrice.

Câteva exemple de coloranți de acest tip, **(I.19)** sunt prezentați în tabelul **I.3**

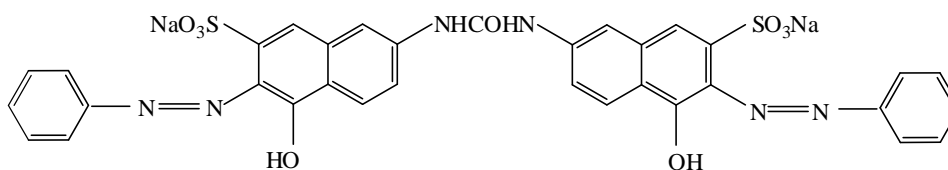


Structurile de mai jos **(I.20; I.21)** aparțin unor coloranți obținuți prin cuplarea acidului carbonil I

(acidul ecarlat) cu componente de cuplare simetrice respectiv asimetrice,

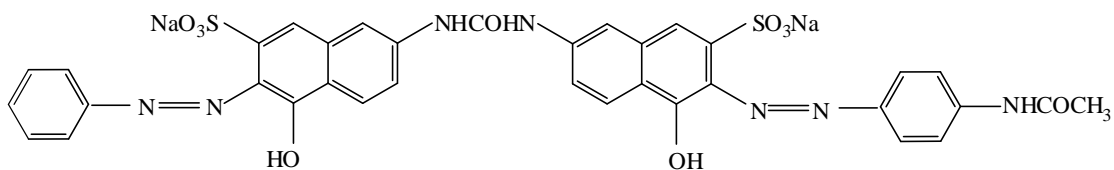
Tabel I.3 Coloranți direcți derivați de la acidul carbonil I

Nr.crt.	Denumirea	Structura (proveniența)
1	Roșu direct 14 C.I. 29 170	Acid meta-aminobenzoic ^{1ac} →Acid carbonil I← ^{2alc} 2-Anisidină
2	Roșu direct 54 C.I. 29 215	2(Acid Laurent)(acid 1-naftilamino-5-sulfonic=>Acid carbonil I
3	Roșu direct 80 C.I. 35 780	2(Acid 4-aminoazobenzen-3,4'-disulfonic=>Acid carbonil I
4	Brun direct 112 C. I. 29 166	2(Acid antranilic)=>Acid carbonil I
5	Oranj direct 29 C.I. 29 155	Anilină ¹ →Acid carbonil I← ² acid meta -aminobenzoic
6	Oranj direct 26 C.I. 29 150	2(Anilină)=>Acid carbonil I



(I.20)

Oranj direct 26 (C.I. 29 150)



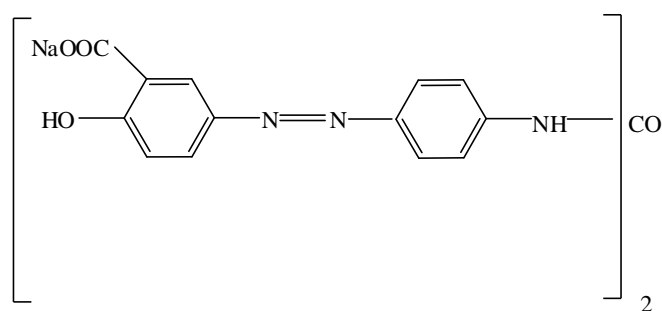
(I.21)

Roșu direct 23 (C.I. 29 160)

I.1.7.2. Coloranți ureici rezultați prin fosgenarea unor coloranți aminoazoici

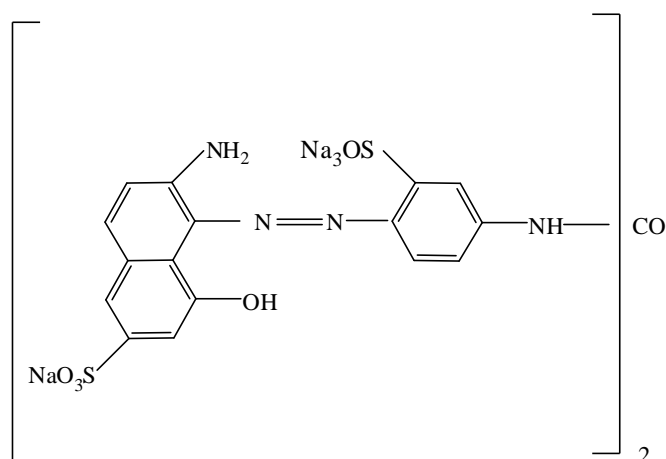
Reacția are loc la temperaturi moderate (25-30°C) în prezența unui agent alcalin (Na₂CO₃, NaOH) pentru neutralizarea HCl format, prin tratarea în mediu apos cu fosgen (în exces) mai mult a derivaților arilaminosulfonici dintre care unii sunt coloranți aminoazoici [47].

Câteva exemple de astfel de coloranți, cu importanță aplicativă sunt: Galben direct 26 (C.I. 25 300), Roșu direct 75 (C.I. 25 380), Violet direct 62 (C.I. 25 400), Brun direct 106 (C.I. 36 200) etc. Structurile coloranților Galben direct 26 (C.I. 25 300) (**I.22**) și Roșu direct 75 (C.I. 25 380) (**I.23**) sunt prezentate mai jos.



(I.22)

Galben direct 26 (C.I. 25 300)



(I.23)

Roșu direct 75 (C.I. 25 380)

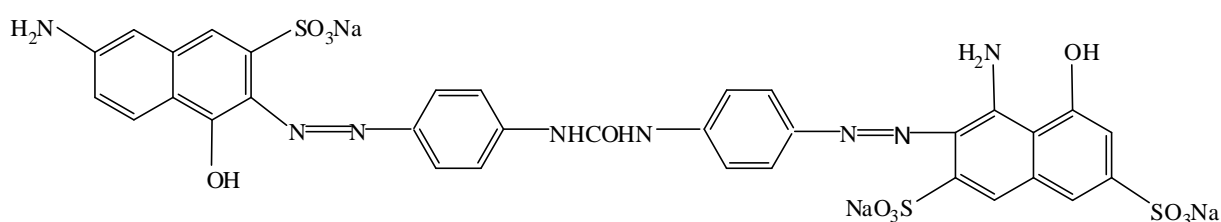
I.1.7.3. Coloranți ureici derivați de la diferite diaminocarbanilide

Materia primă de bază utilizată în acest caz poate să fie o-nitroarilamină sau o N-acil-1,4-arilendiamină. Acestea se tratează cu fosgen, după care prin reducerea grupelor nitro, respectiv

hidroliza grupelor acilamino rezultă compuși diaminoureici (diaminocarbanilide), care se utilizează drept diazocomponente (după bis-diazotare). Se cuplează cu diverse azocomponente, care conțin în moleculă și grupe sulfonice.

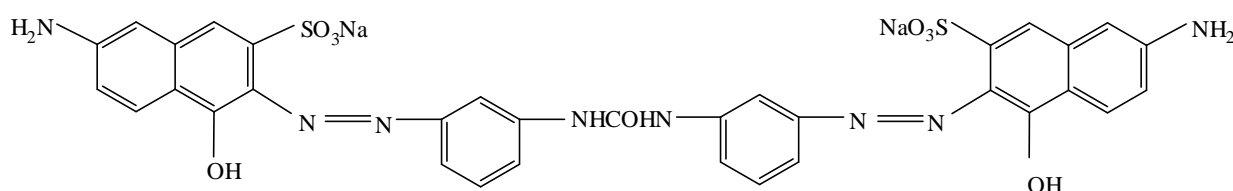
Pentru prepararea de intermediari ureici asimetrice se tratează o amină primară aromatică (Ar-NH_2) fie cu clorura acidă a unui acid aril-carbamic derivat de la o altă amină primară aromatică ($\text{Ar}'\text{-NH}_2$) prin fosgenare, fie cu un aril-izocianat. Fosgenarea aminei primare aromatice ($\text{Ar}'\text{-NH}_2$) se face într-un solvent inert și anhidru, în condiții blânde de temperatură pentru obținerea clorurii acide, la temperatură mai ridicată, iar prin eliminare de acid clorhidric rezultă izocianatul.

Structurile (I.24) și (I.25) reprezintă doi coloranți obținuți pornind de la diaminocarbanilide utilizate drept diazocomponente.



(I.24)

Violet direct 83 (C.I. 25 280)



(I.25)

Roșu direct 120 (C.I. 25 275)

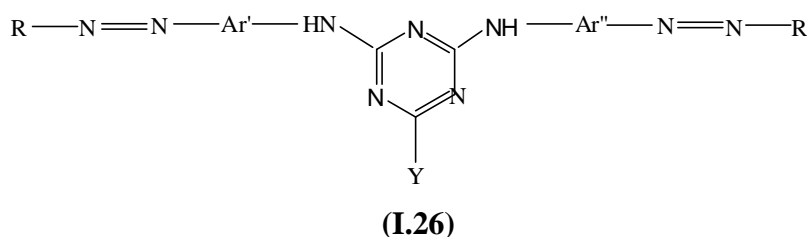
I.1.8. Coloranți azoici triazinici

Materia primă de bază pentru obținerea acestui tip de coloranți este clorura de cianuril, ai cărei atomi de clor pot fi înlocuiți succesiv, prin substituție nucleofilă, la tratarea acestora cu coloranți aminoazoici, amoniac, amine primare aromatice sau fenoli, în condiții diferențiate de temperatură (0-5°C pentru primul atom de clor, 40-50°C pentru cel de-al doilea atom de clor și

90-95°C pentru cel de-al treilea atom de clor), datorită faptului că reactivitatea atomilor de clor scade pe măsură ce sunt înlocuiți. Se pot obține compuși micști sau omogeni.

Reacțiile se efectuează de obicei în mediu apos, aminoazocompușii având grupe sulfonice sau carboxilice solubilizante în moleculă. La suspensia apoasă de clorură de cianuril se adaugă pe rând compușii cu care trebuie să se combine, în condițiile de temperatură enunțate anterior. Pe măsură ce reacția progresează, în fiecare caz în parte, se adaugă și soluția de Na₂CO₃ pentru neutralizarea acidului clorhidric format.

Acești coloranți au următoarea structură generală **(I.26)**



unde: Y = NH₂, NHAr, OAr, etc [63-65].

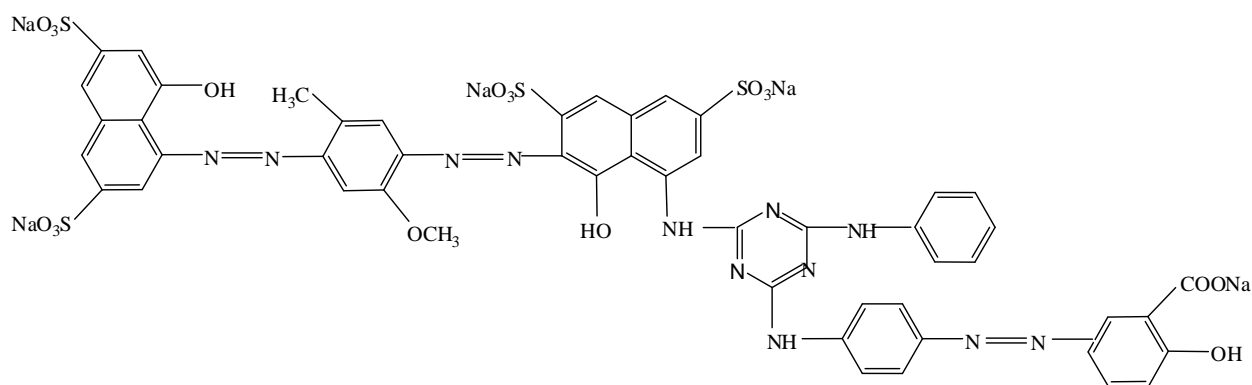
Coloranții cu nucleu triazinic se obțin prin două metode generale:

- prin cianurilarea unor intermediari anionici (acidul 2-amino-5naftol-7-sulfonic (*acid I*), acid 1-amino-8-naftol-3,6-disulfonic (*acid H* etc.) o dată, de ori sau mixt, produsele rezultate servind ca azocomponente la sinteza colorantului propriu zis;
- prin cianurilarea diverșilor coloranți aminoazoici (care pot fi mono sau poliazoici). De obicei, clorura de cianuril este condensată cu doi moli de aminocolorant, a treia condensare efectuându-se cu o aminocomponentă necolorată [5].

Molecula colorantului direct triazinic este plană, având o suprafață destul de mare, iar cele două catene de coloranți azoici formează un unghi între ele fără să afecteze substantivitatea produsului. Aceasta s-ar datora ciclului triazinic în combinație cu cele două catene de coloranți azoici, colorantul atașându-se probabil de mai multe catene paralele ale macromoleculi celulozice din fibră. Inelul triazinic mărește substantivitatea, dar funcționează totodată și ca o componentă separatoare a conjugării electronilor π .

Această din urmă proprietate permite obținerea de nuanțe compuse, de exemplu verde, prin amestecarea intramoleculară a culorii componentelor aminoazoice, ca de exemplu în cazul colorantului Verde direct 26 (C.I. 34 045) **(I.27)**, nucleul triazinic având în acest caz rolul de componentă separatoare.

Gama coloranților obținuți prin cele două metode menționate este foarte variată, datorită diferitelor posibilități de acilare cu clorură de cianuril și multiplele variante de cuplare a produselor rezultate. Acești coloranți sunt de obicei foarte rezistenți la lumină.



(I.27)

Verde direct 26 (C.I. 34 045)

Componentă albastră

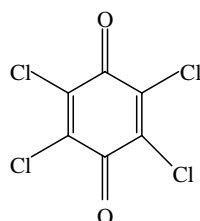
Componentă galbenă

I.1.9. Coloranți oxaziniци.

Este cunoscut faptul că din clasa coloranților azinici fac parte coloranții fenaziniци, oxaziniци, tiaziniци. În general coloranții oxaziniци se înscriu din punct de vedere tinctorial în categoria coloranților bazici, cu mordant, substantivi (directi) și pigmenți. Culoarea predominantă este cea albastră și mai puțin cea violetă și verde.

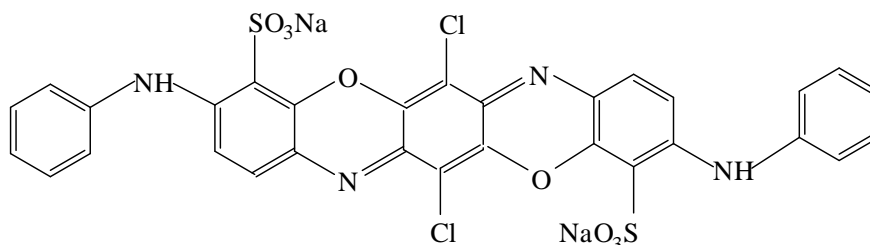
O dezvoltare importantă a acestei clase de coloranți a condus la obținerea unor coloranți (directi), albaștri strălucitori cu structură dioxaziniică, care vopsesc bumbacul, cu excelente rezistențe la lumină și la tratamente umede.

Obținerea produselor de acest fel are loc în principiu prin condensarea unor amine policiclice cu 2,3,5,6-tetraclor-1,4-benzochinona (cloranil) având structura (I.28) urmată de sulfonarea intermediarilor astfel formați.



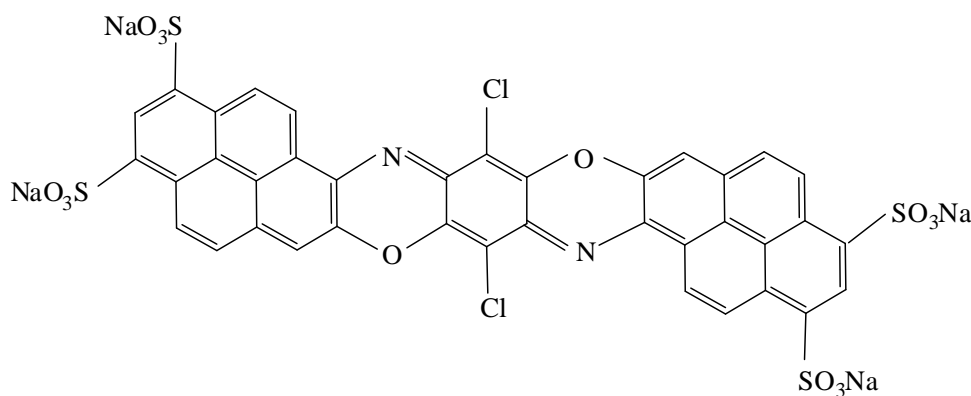
(I.28)

Exemple de astfel de amine policiclice sunt: acidul 4-aminodifenil-amino-2-sulfonic pentru obținerea colorantului Albastru direct 106 (C.I. 51 300) (vezi structura **I.29**), 3-amino-N-etilcarbazolul, pentru obținerea colorantului Albastru direct 108 (C.I. 51320), 1-aminopirenul pentru obținerea colorantului Albastru direct 109 (C.I. 51 310) (vezi structura **I.30**) etc. [5].



(I.29)

Albastru direct 106 (C.I. 51 300)



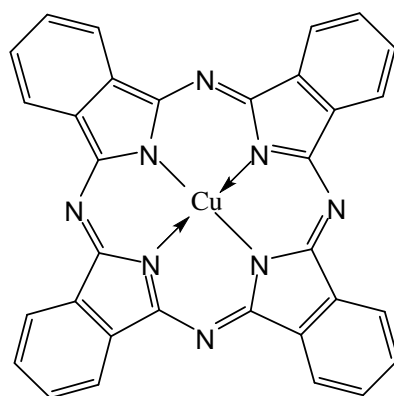
(I.30)

Albastru direct 109 (C.I. 51 310)

I.1.10 Coloranți ftalocianinici

Coloranții din această clasă sunt în principal pigmenți de o excepțională valoare [66-68]. Studiul structurii ftalocianinelor a fost efectuat de un număr considerabil de chimiști renumiți, care au ajuns la concluzia că acestea au molecula formată din patru resturi de izoindol unite prin patru atomi de azot, rezultând un sistem conjugat continuu, plan și netensionat, compus din 16 atomi, derivat de la tetraazoporfina, asemănătoare cu porfina.

În centrul sistemului este plasat un metal tranzițional (Cu, Ni, Co, Fe) legat covalent și covalent-coordinativ formând patru cicluri, fapt ce explică stabilitatea excepțională a complexului, cum este de exemplu cazul ftalocianinei de cupru (**I.31**) care este cel mai important reprezentant al acestei clase.



(I.31)

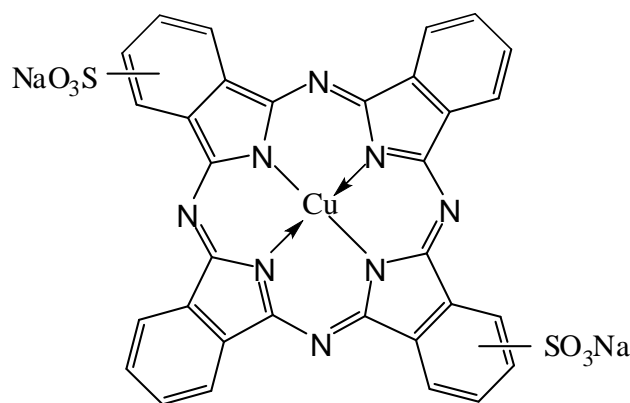
Ftalocianinele metalelor tranziționale sunt substanțe albastre, verzi, frumos cristalizate, strălucitoare, insolubile în solvenți organici, foarte rezistente la temperaturi înalte și foarte stabile la tratamente hidrolitice. Cu toate acestea, insolubilitatea lor în apă nu permite utilizarea acestor compuși la vopsirea directă a fibrelor celulozice.

În vederea aplicării acestor compuși și pe fibrele celulozice, datorită nuanțelor unice care pot fi obținute prin utilizarea lor, s-au încercat o serie de procedee de solubilizare a acestora.

Astfel, prin tratarea ftalocianinei de cupru cu oleum 26% SO₃ se obține derivatul disulfonic, care ca sare de sodiu vopsește bumbacul sub formă de colorant direct (Albastru direct 86 C.I. 74 180) (**I.32**), în nuanțe albastre-verzui strălucitoare, cu foarte bune rezistențe la lumină, dar mediocre la spălat, folosindu-se și la colorarea hârtiei.

Derivatul trisulfonic corespunzător obținut prin sulfonarea ftalocianinei de cupru cu oleum 40% SO₃ și transformarea în sare trisodică (Albastru direct 87 C.I. 74 200) are rezistențe slabe la tratamente umede se utilizează la vopsirea hârtiei și împreună cu derivatul disulfonic servește după transformare în sare de bariu insolubilă ca pigment la colorarea lacurilor.

Ftalocianinele mai pot fi și temporar solubilizate prin introducerea unei grupe de clormetil în fiecare rest de benzen din moleculă. Ulterior, compusul tetraclorometilat astfel obținut, se transformă într-un *derivat oniu*, solubil în apă, care se aplică pe fibrele celulozice prin vopsire sau imprimare, se fixează prin aburire și tratare cu bicromat de potasiu și acid acetic. În acest fel, grupele solubilizante sunt hidrolizate, iar pigmentul insolubil rezultat rămâne fixat pe fibră. Acești coloranți de tipul FtCu[-CH₂OH]₄, fac parte din sortimentul *Alcian* [5].



(I.32)

Albastru direct 86 (C. I. 74 180)

I.1.11. Coloranți complexabili

Rezistențele tinctoriale față de acțiunea agenților externi (lumină, tratamente umede etc.) ale unui număr mare de vopsiri efectuate cu coloranți direcți pe bumbac sunt sensibil îmbunătățite prin tratare cu săruri metalice, operație prin care are loc introducerea ionului metalic în molecula produsului cu formare de complex [69,70].

Realizarea acestui proces este condiționată de doi factori:

- coloranții respectivi trebuie să posede structuri cu grupe funcționale caracteristice (OH, NH₂, COOH etc.), situate în anumite poziții în moleculă, astfel încât să aibă posibilitatea de a forma cu ionul metalic cicluri stabile, de cinci sau șase atomi, numite chelați sau combinații chelatrice.

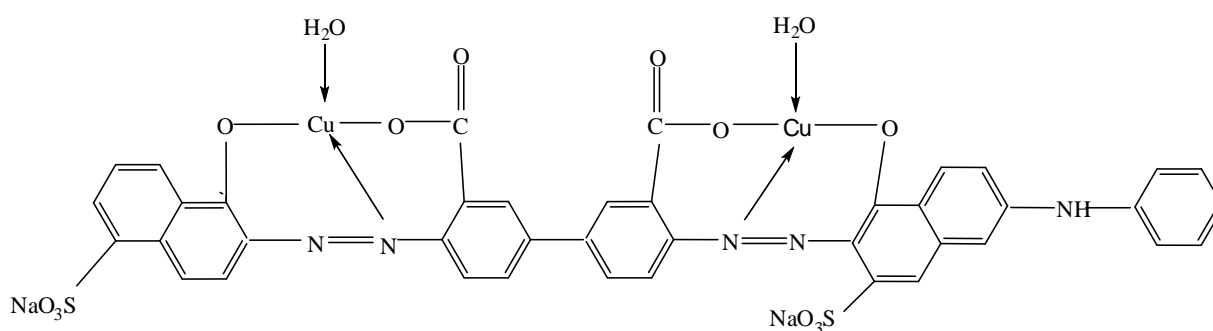
- sărurile utilizate trebuie să fie ale unor metale tranziționale (Cr,³⁺Cu²⁺), care posedă stratul intern 3d necompletat de electroni și pot deci să reacționeze cu coloranții respectivi, având loc legarea covalentă și covalent-cordinativă a ionilor metalici în moleculele acestora sub formă de complecși. Cu cât numărul de cicluri în care intră ionul metalic este mai mare și acestea aparțin aceleiași molecule de colorant, cu atât stabilitatea complexului și implicit rezistența vopsirii este mai mare.

Structurile coloranților azoici direcți care permit formarea de complecși metalici se împart în două categorii; structuri în care grupa azo participă (structura o, o'-dihidroxiazoică și derivați ai acestora în care o grupă hidroxi este înlocuită cu o grupă amino, carboxilică, glicolică etc), și respectiv nu participă (structura o-hidroxicarboxilică) la formarea complexului metalic.

Unul din procedeele cele mai utilizate pentru ameliorarea rezistențelor vopsirilor substantive constă în tratarea acestora cu săruri metalice, în scopul formării de complecși insolubili pe fibră (coloranți azoici substantivi complexabili cu ioni metalici pe fibră) [5].

Cuprarea conduce de obicei la îmbunătățirea rezistențelor mai ales la lumină, iar cromarea determină ameliorarea rezistențelor mai ales la spălat. Tratarea colorațiilor substantive se face de obicei cu soluții apoase diluate de CuSO_4 1-3% în prezență de acid acetic sau acid formic, la 60-80°C timp de relativ scurt (20-30 minute) pentru a nu strica claritatea nuanței.

Colorantul Albastru direct 158 (C.I. 24 155) și colorantul Violet direct 79 (C.I. 22 780) reprezintă doi importanți astfel de coloranți direcți substantivi obținuți pe această cale și care au drept componentă centrală, de acidul benzidin-3,3'-diglicolic și respectiv acidul benzidin-3,3'-dicarboxilic. Structura celui de al doilea (**I.33**) este prezentată mai jos.



(I.33)

Violet direct 79 (C.I. 22 780)

În ceea ce privește cromarea, aceasta se efectuează de obicei cu $\text{Na}_2\text{Cr}_2\text{O}_7$ (1-3%), $\text{Cr}_2(\text{SO}_4)_3$ sau CrF_3 (ambele 2-4%), în prezență de acid acetic sau acid formic, la temperatura de 60-90°C, timp de 20-30 de minute când odată cu ameliorarea rezistenței la spălat a vopsirilor are loc și o micșorare a rezistenței la lumină a acestora.

Din punct de vedere structural, coloranții de acest tip sunt caracterizați prin prezența în moleculă a grupării salicilice externe, cum ar fi Brun direct 27 (C.I. 31 725); Brun direct 186 (C.I. 22 275) etc.

În unele cazuri este posibilă cuprarea și cromarea simultană de exemplu a coloranților substantivi, obținându-se rezistențe superioare ale acestora, atât la lumină cât și la spălare.

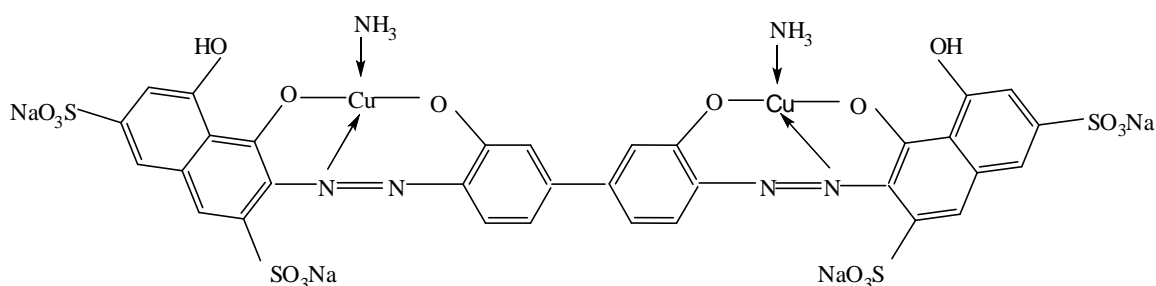
La coloranții ce conțin în moleculă gruparea o-hidroxicarboxilică și structura o,o'-dihidroxi azoică, complexarea se face selectiv, cromarea celei dintâi și cuprarea celei de a doua. (de ex. Albastru Benzo rezistent C.I. 24 420).

O serie de coloranți direcți au posibilitatea ca prin structura pe care o posedă să se poată complexa "în substanță" (înainte de vopsire) și apoi, datorită menținerii solubilității în apă a

produselor complexate, aceștia să poată vopsi obișnuit bumbacul (coloranți azoici substantivi cu complecși preformați) [5].

În general, cuprarea coloranților o,o'-dihidroxiazoici și a derivaților lor se realizează prin tratarea pastei umede de colorant cu sulfat de cupru și amoniac în scopul eliminării acidității și uscare la 120°C. Aplicarea pe țesătură a coloranților precomplexați cu ionul cupric se face din flote neutre, vopsirile realizate având rezistențe bune la lumină și moderate la acțiunea acizilor minerali.

Dintre coloranții direcți cu complecși metalici preformați se pot aminti: Roșu direct 83 (C.I. 29 225), Albastru direct 93 (C.I. 22 819), Albastru direct 10 (C.I. 24 340), structura celui din urmă fiind prezentată mai jos (**I.34**)



(I.34)

Albastru direct 10 (C.I. 24 340)

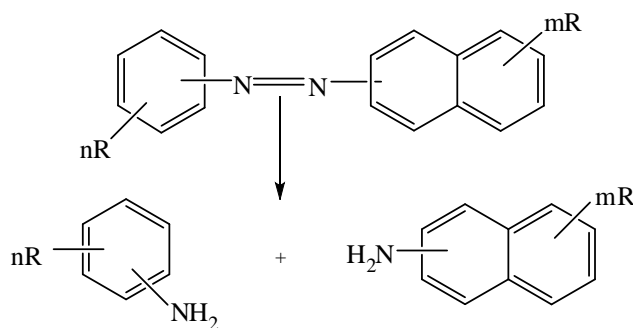
I.2. AMINE AROMATICE POTENȚALE ÎNLOCUITOARE ALE BENZIDINEI

Coloranții azoici se constituie în una dintre cele mai vaste și importante clase de coloranți de sinteză, producția acestora reprezentând de-a lungul timpului mai mult de 50% din întreaga producție mondială de coloranți în ansamblu. Acești compuși acoperă întreaga gamă de culori și nuanțe posibile, cu cele mai variate proprietăți tinctoriale și rezistențe față de acțiunea agenților fizici și chimici exteriori.

Practic, majoritatea coloranților azoici se obțin în urma reacției de cuplare a diazoderivaților aromatici cu diverse componente de cuplare (fenoli, amine aromatice, combinații cetonice enolizabile etc.).

Una din căile de degradare al coloranților azoici o reprezintă reducerea acestora și punerea în libertate a aminelor aromatice corespunzătoare. Alte metode cunoscute sunt fotodegradarea [71,72] și biodegradarea [73-75] (hidroxilare, hidroliză, oxidare). Numeroase studii de specialitate au arătat că în organismul animal unii coloranți azoici se descompun prin scindarea uneia sau a mai multor grupe azo (sub acțiunea bacteriilor intestinale, azo reductazelor hepatice etc.) cu generarea aminelor aferente (schema I.2).

Toxicitatea coloranților azoici este asociată cu toxicitatea intermediarilor utilizați la obținerea acestora. În acest sens organismele internaționale **IARC** (*International Agency of Research on Cancer*) și **ETAD** (*Ecological and Toxicological Association of the Dyestuffs Manufacturing*) au publicat liste conținând astfel de amine toxice. Ele sunt denumite amine **MAK** (*Maximale Arbeitsplatz Konzentration*) câteva fiind prezentate în tabelul I.4.[76].



Schema I.2 Reprezentarea schematică a descompunerii coloranților azoici

Se poate spune deci, că orice colorant care prin scindarea uneia sau a mai multor grupe azo poate genera una dintre aminele ca figurează pe aceste liste este supus unor restricții severe și în cele din urmă retras din circuit.

Tabel 1.4. Lista aminelor MAK

Nr. crt	MAK	Nr. CAS
1	benzidina	92-87-5
2	4-clor-o-toluidină	95-69-2
3	2-naftilamina	91-59-8
4	2-amino-4-nitrotoluen	99-55-8
5	p-cloroanilina	106-47-8
6	2,4-diaminoanisol	615-05-4
7	4,4'-diaminodifenilmetan	101-77-9
8	4,4'-oxidianilina	101-80-4
9	2-metilanelina	95-53-4
10	3,3'-diclorbenzidina	91-94-1
11	3,3'-dimetilbenzidina	119-93-7
12	3,3'-dimetoxibenzidina	119-90-4
13	3,3'-dimetil-4,4'-diaminodifenil metan	838-88-0
14	4-amino-difenil	92-67-1
15	2,4,5-trimetilanilina	137-17-7

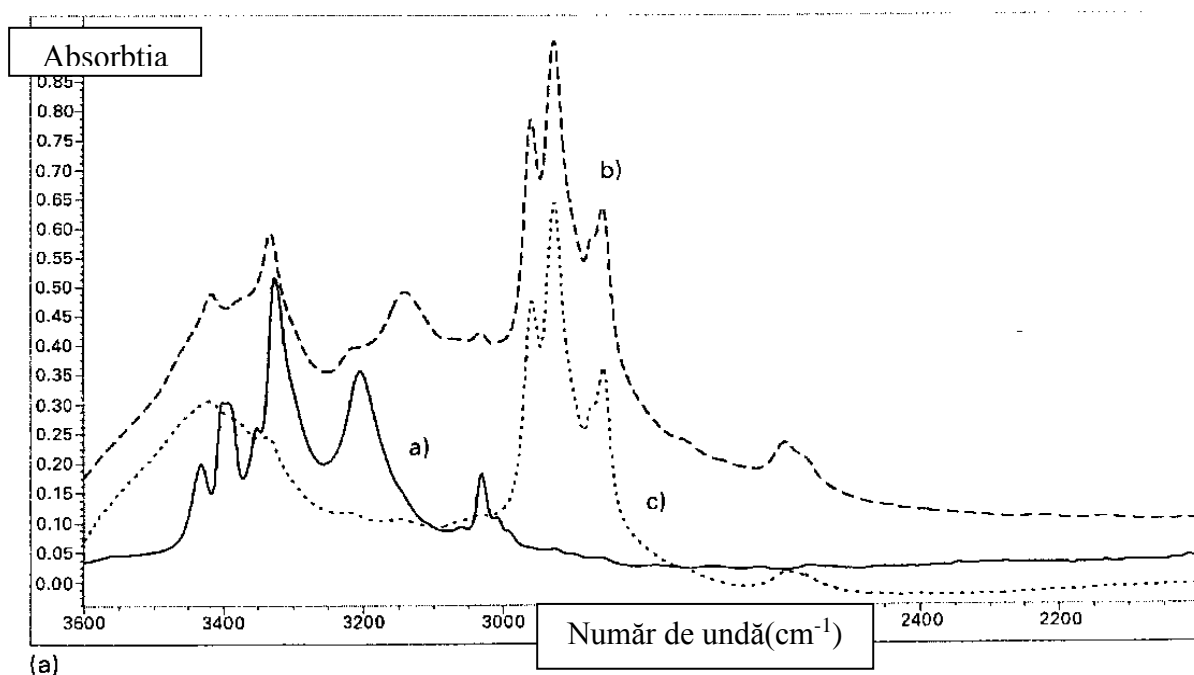
Câteva exemple de astfel de coloranți direcți sunt: Albastru direct 6 (C.I. 22 610), Roșu direct 2 (C.I. 23 500), Albastru direct 14 (C.I. 23 850), Violet direct 21 (C.I. 23 520), Oranj direct 7 (C.I. 23 380), Oranj direct 108 (C.I. 29 173), Brun direct 33 (C.I. 35 520), Negru direct 91 (C.I. 30 400), Albastru direct 53 (C.I. 23 860) etc.[77-78].

Aminele aromatice și compușii fenolici pot fi determinați în coloranții comerciali în cantități foarte mici (ppm), prin cromatografia de lichide de înaltă performanță cu detecție în UV. Prin această metodă în colorantul Albastru direct 6 (C.I. 22 610) au fost identificate benzidina și 4-amino-difenilul [79].

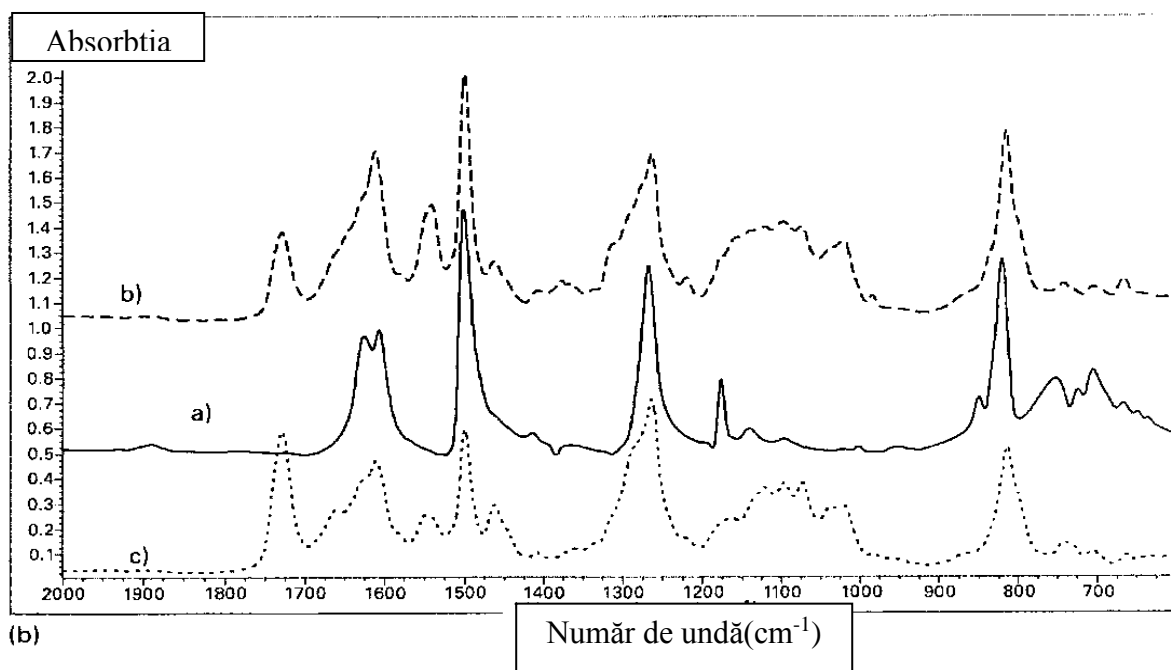
Cu ajutorul spectroscopiei IR (FT-IR) pot fi analizate o serie de amine ce rezultă prin scindarea reductivă a unor coloranți azoici. Astfel, tratarea cu ditionit de sodiu în soluție alcalină, a unor fire din bumbac vopsite în prealabil cu doi coloranți direcți diferiți și anume Negru direct 38 (C.I. 30 235) și Brun direct 95 (C.I. 30 145) a condus la obținerea unei singure amine MAK (benzidina) [76].

Prin urmare în figurile I.1a.b. este prezentat un studiu spectral comparativ al benzidinei din categoria aminelor MAK standard cu cel al benzidinei obținute drept produs de

degradare al coloranților mai sus menționați aplicați pe bumbac.



(a)



(b)

Fig I.1. a. b. Spectrele IR comparative ale benzidinei standard a); benzidinei ca produs de reducere al colorantului Negru direct 38 aplicat pe bumbac b) benzidinei ca produs de reducere al colorantului Brun direct 35 aplicat pe bumbac c) [76].

Rezultate comparative concludente se observă în domeniul $600\text{-}2000\text{cm}^{-1}$

Agenții cancerigeni se împart în două categorii: genotoxici și epigenetici. Compușii care interacționează în mod direct sau indirect cu *ADN*-ul (acidul dezoxiribonucleic) sunt în aproape toate cazurile agenți mutageni. Ei sunt descriși ca fiind genotoxici deoarece prezintă un potențial de modificare a codului genetic. Modul de acțiune al agenților cancerigeni genotoxici la nivel molecular a fost deosebit de intens studiat [80], din această categorie făcând parte compușii epoxidici, aziridinici, lactonici, chinoidici etc.

Mult mai puține date cunoscute sunt însă cele referitoare la agenții cancerigeni epigenetici deoarece această noțiune include toți agenții cancerigeni care nu sunt clasificați drept genotoxici. Exemple de astfel de compuși sunt: ionii metalici (Ni, Cr, Co etc), imunosupresoarele, etc.

În general în urma interacțiunii diversilor agenți chimici din mediul înconjurător cu sistemul genetic animal sau cu cel uman sunt observabile trei tipuri de leziuni genetice: modificări ale *ADN*-ului, modificări ale structurii cromozomiale și separări neregulate ale cromozomilor în timpul diviziunii celulare.

Evaluarea *in vitro* a caracterului mutagen al agenților cancerigeni se efectuează cu ajutorul testelor bacteriologice. Cel mai cunoscut și cel mai des aplicat îl reprezintă testul *Ames* ce utilizează tulpini construite genetic aparținând unei bacterii intestinale umane -*Salmonella typhimurum*- dependente de histidină (4 (5)-imidazolil-3-alanina) [80]. Prin acest test a fost pusă în evidență mutagenicitatea 4-aminodifenilului și a benzidinei [81].

Experimentele *in vivo*, realizate pe rozătoare prin intermediul biotestelor conduc la obținerea unor informații mai consistente.

Astfel efectul genotoxic al colorantului Roșu direct 2 (C.I. 23 500) asupra muridelor (specie aparținând rozătoarelor) a fost investigat cu ajutorul unui biotest efectuat la nivelul celulelor măduvei spinării ale acestora [82]. Un studiu comparativ, cu ajutorul testelor efectuate pe bacterii (*Vibrio fischeri*), alge (*Selenastrum capricornutum*) și protozoare (*Tetrahymena pyriformis*) au pus în evidență toxicitatea acută a colorantului a Roșu direct 28 (C.I. 22 120) [83].

Pe plan mondial producția de coloranți derivați ai benzidinei a fost practic interzisă, datorită binecunoscutei sale toxicități [84,85].

Rezultatele eforturilor depuse în sensul aflării unor coloranți alternativi pot fi împărțite în două mari grupe, prima care implică utilizarea unor omologi ai benzidinei cu o toxicitate mai redusă și cea de a doua care constă în utilizarea unor compuși diaminici dar care nu sunt însă omologi ai benzidinei.

În ambele situații menționate pentru a constitui potențiale înlocuitoare ale benzidinei, diaminele luate în discuție ar trebui să satisfacă următoarele condiții:

-
- diaminele și ca atare coloranții derivați să nu prezinte caracter cancerigen
 - structura diaminelor să permită sărurilor de bis-diazoniu cuplarea cu două componente de cuplare diferite și respectiv formarea de coloranți asimetrice disazoici și poliazoici. Această condiție este necesară în scopul obținerii de coloranți cu nuanțe de: brun, verde, negru și albastru-marin.
 - coloranții disazoici și poliazoici obținuți din astfel de diamine să dețină o crescută afinitate pentru fibrele celulozice.
 - structura diaminelor să asigure un sistem conjugat de duble legături de-a lungul moleculei de colorant; prin acest fapt fiind posibilă obținerea unor game de culori similare cu cele ale coloranților benzidinică corespunzători [86].

În continuare vor fi prezentate câteva astfel de diamine, care sunt fie omologi ai benzidinei, fie compuși cu structuri diferite dar care pot fi considerate deopotrivă intermediari potențiali înlocuitori ale benzidinei.

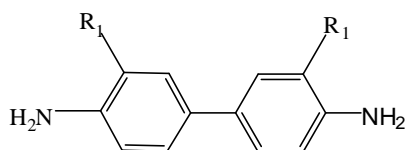
I.2.1. Congeneri ai benzidinei

Colorantul Negru direct 38 (C.I. 30 235) a fost unul dintre cei mai importanți coloranți direcți comerciali utilizați în prima jumătate a secolului XX. Acest lucru s-a datorat nuanței sale negre deosebite, prețului avantajos și ușurinței cu care este aplicat.

În ciuda avantajelor incontestabile pe care le prezintă acest colorant, producția sa la nivel mondial a fost interzisă; datorită provenienței sale benzidinice. Astfel se explică eforturile ulterioare ale chimiștilor de a sintetiza noi diamine potențiale înlocuitoare ale benzidinei.

La începutul anilor '80 *Shahin* și colaboratorii au ajuns la concluzia că, mutagenicitatea m-fenilendiaminei poate fi diminuată sau chiar eliminată prin introducerea în poziția *orto* față de una din grupările aminice ale structurii sale de bază a unor substituenți voluminoși alchil sau alcoxi [87].

Ulterior studiile efectuate au făcut posibilă obținerea unor alcoxi derivați necancerigeni ai benzidinei (I.35)

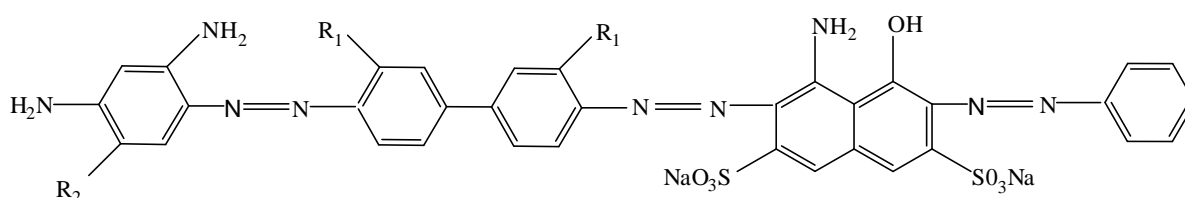


(I.35)

unde: $R_1 = \text{OPr}, \text{OBu}, \text{OC}_2\text{H}_4\text{OH}$

Sinteza acestor congeneri benzidinici cuprinde doua etape și anume: reducerea alcalină a nitroderivaților aferenți urmată de transpoziția benzidinică a produșilor rezultați [88].

În continuare urmând cunoscuta calea de sinteză a colorantului Direct Black 38 (C.I. 30 235) dar utilizând drept diazocomponente acești derivați 3,3'-dialcoxibenzidinici în locul benzidinei și respectiv drept componente de cuplare derivați 1-alcoxi-2,4-diaminobenzenici în locul m-fenilendiaminei, au fost sintetizați o serie 9 de coloranți trisazoici de culoare neagră având structura **(I.36)** [89].



(I.36)

unde: $R_1 = \text{OPr, OBu, OC}_2\text{H}_4\text{OH}$

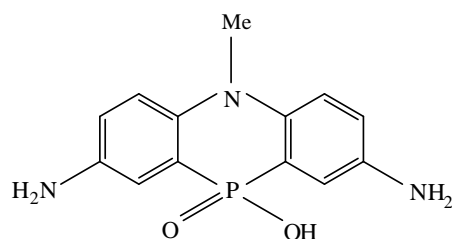
$R_2 = \text{OPr, OBu, OC}_2\text{H}_4\text{OH}$

În urma aplicării prin vopsire pe suport textil (bumbac și mătase), a coloranților menționați mai sus, au fost determinate rezistențele coloristice ale acestora și au fost comparate cu cele ale colorantului comercial Negru direct 38 (C.I. 30 235). La o valoare a intensității tip de 5% atât valorile rezistențelor umede cât și cele ale rezistențelor la lumină s-au dovedit a fi similare sau chiar superioare celor ale colorantului benzidinic amintit. În același timp coloranții sintetizați au prezentat în general grade de epuizare reduse față de cele ale colorantului Negru direct 38 (C.I. 30 235), acest fapt datorându-se prezenței substituenților voluminoși în pozițiile 3, 3' ale benzidinei, care scad solubilitatea în apă a coloranților.

Dintre potențialii congeneri netoxici ai benzidinei pot fi amintiți: 5,5'-dipropoxibenzidina și 2,2'-dimetil-5,5'-dipropoxibenzidina [90,91].

I.2.2. Oxidul 2,8-diamino-5,10-dehidro-10-hidroxi-5-metil-fenofosfazinei

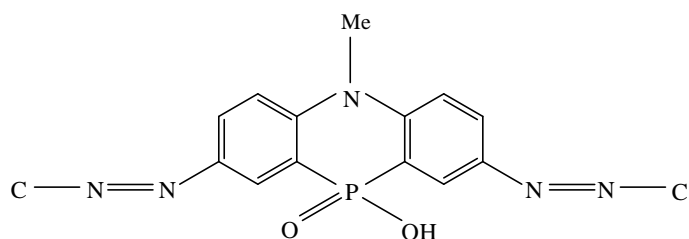
Ideea utilizării oxidului 2,8-diamino-5,10-dehidro-10-hidroxi-5-metil-fenofosfazinei **(I.37)** drept un posibil înlocuitor al benzidinei în sinteza coloranților direcți a pornit de la caracterul toxic mai redus a acestuia precum și de la potențiala utilitate terapeutică a compușilor săi înrudiți.



(I.37)

Calea de sinteză a heterodiaminei aromatice cu structura de mai sus cuprinde mai multe etape. Difenilamina se încălzește mai întâi în prezență de PCl_3 , după care se hidrolizează intermediarul astfel format. Fosfinoxidul obținut se supune apoi pe rând tratării cu acid peracetic, alchilării cu iodură de metil, nitrării cu amestec sulfonitric și în final unei hidrogenări catalitice (Pd/C), cu punerea în libertate a compusului dorit [92].

Un număr de 5 coloranți direcți disazoici simetrici cu formula generală (I.38) au fost sintetizați prin bis-diazotarea oxidului 2,8-diamino-5,10-dehidro-10-hidroxi-5-metil-fenofosfazinei urmată de cuplarea cu următoarele componente de cuplare: acid 2-amino-5-naftol-7-sulfonic (*acid I*); acid 1,8-dihidroxi-naftalin-3,6,-disulfonic (*acid cromotropic*), acid 1-amino-8-naftol-3,6-disulfonic (*acid H*); acid 2-amino-8 naftol-6-sulfonic (*acid γ*), acid 1-naftol-4-sulfonic (*acid Nevile – Winther*) [92]. Se observă cu ușurință faptul că ultimii 3 coloranți din această serie sunt analogi ai unor coloranți benzidinic ca: Albastru direct 6 (C.I. 22 610), Negru direct 29 (C. I. 22 580) și respectiv Violet direct 43 (C.I. 22 440).



(I.38)

unde: C = acid I ; acid cromotropic; acid H; acid γ ; acid Nevile-Winther

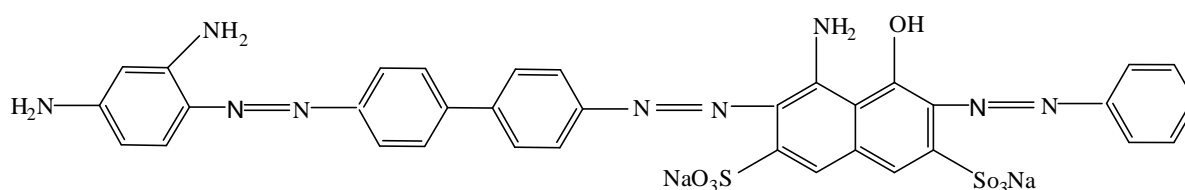
Rezistențele coloristice ale tuturor compușilor cu structura (I.38) au fost determinate după aplicarea acestora pe suport textil de natură celulozică (bumbac). Valori bune ale rezistențelor umede (cuprinse în intervalul 3-4 pentru modificarea nuanței) au fost înregistrate pentru toți coloranții.

În cazul analogului colorantului benzidinic Negru direct 29 (C.I. 22 580) valorile rezistențelor umede, nesatisfăcătoare (cuprinse în intervalul 2-3 pentru cedarea pe bumbac) sunt compatibile

cu cele ale prototipului. Coloranții sintetizați având drept componente de cuplare *acidul H*, și *acidul γ*, analogi ai coloranților benzidinici Albastru direct 6 (C.I. 22 610) respectiv Negru direct 29 (C.I. 22 580) prezentând rezistențe la lumină acceptabile, superioare însă acestora din urmă.

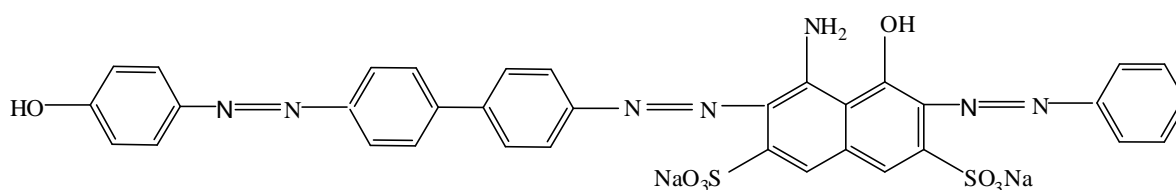
I.2.3. 4,4'-diaminodifenilsulfura

Alături de colorantul Negru direct 38 (C.I. 30 235) (**I.39**) menționat anterior, colorantul Verde direct 1 (C.I. 30 280) (**I.40**) se constituie și el drept un reprezentant valoros din seria coloranților benzidinici.



(I.39)

Negru direct 38 C.I. (30 235)



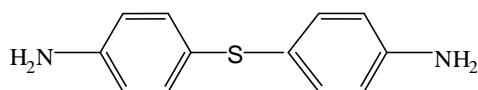
(I.40)

Verde direct 1 (C.I. 30 280)

Acest fapt se datorează proprietăților lor distincte cum ar fi: lipsa modificării nuanței în prezența ionilor de cupru și fier, substantivitate superioară concretizată prin putere tinctorială mărită, și rezistențe umede bune pe bumbac, mătase, piele, lână, hârtie etc. [93].

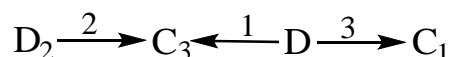
Încercările de sinteză a unor coloranți netoxici alternativi celor menționați mai sus au condus la utilizarea în locul benzidinei a 4,4'-diaminodifenilsulfurii (**I.41**) drept diazocomponentă centrală.

Componentele de cuplare folosite sunt menționate în schema **I.3** [94].



(I.41)

Aplicând metoda convențională conform schemei **I.3** au fost sintetizați o serie de 27 de coloranți trisazoici [94].



Schema I.3. Schema de obținere a coloranților trisazoici derivați de la 4,4'-diaminodifenilsulfura unde:

D = 4,4'-diaminodisulfura (diazocomponentă)

C₃ = acidul H (componentă de cuplare cu două poziții de cuplare)

C₁ = m-fenilendiamina, acid 1,3-diamino-4-sulfonic, 2,4-diaminotoluen, fenol, rezorcină (componentă de cuplare)

D₂ = anilina, p-nitroanilina, p-toluididna, acid sulfanilic (diazocomponentă)

Numărul mare de coloranți obținuți se datorează atât diversității componentelor de cuplare, a diazocomponentelor cât și a pH-ului (acid sau bazic) utilizat în reacțiile 1, 2, 3, a căror valoare este hotărâtoare în ceea ce privește poziția de cuplare.

Coplanaritatea ridicată a coloranților de mai sus față de cea a celor benzidinici este consecința împiedicării sterice reduse a 4,4'-diaminodifenilsulfurii comparativ cu cea a benzidinei. Din acest motiv rezistențele coloristice umede ale acestor coloranți obținute în urma vopsirii suportului textil din bumbac sunt în general superioare celor ale coloranților Negru direct 38 (C.I. 30 235) și Verde direct 1 (C.I. 30 280).

În ceea ce privesc rezistențele la lumină acestea au valori apropiate de cele ale coloranților benzidinici cu care aceștia au fost comparați.

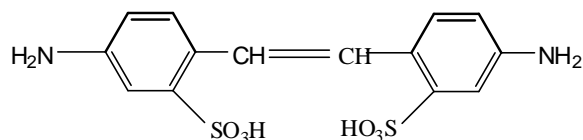
În continuare va fi prezentat pe scurt acidul 4,4'-diaminostilben-2,2'-disulfonic care constituie de altfel intermediarul utilizat în lucrarea de față, în sinteza tuturor coloranților cu structură simetrică stilbendisazoică.

I.2.4. Acidul 4,4'-diaminostilben-2,2'-disulfonic

Este cunoscut faptul că dacă în structura unei diamine aromatice, cele două resturi fenilaminice sunt legate prin intermediul unei grupări ce menține coplanaritatea celor două

nuclee benzenice, atunci această diamină are șanse de a fi utilizată drept diazocomponentă în sinteza coloranților direcți [86].

Acidul 4,4'-diaminostilben-2,2'-disulfonic (**I.42**) reprezintă o astfel de diamină accesibilă, cu rol de componentă de diazotare și este utilizat ca atare în sinteza coloranților direcți cu structură azo-stilbenică (vezi I.1.3) [95-97], ideea înlocuirii benzidinei cu acest precursor netoxic apărând însă mai târziu [98-103; 143, 144].



(I.42)

În urma oxidării pe calea clasică a acidului 4-nitrotoluen-2-sulfonic, în soluție apoasă alcalină cu hipoclorit de sodiu rezultă sarea disodică a acidului 4,4'-dinitrostilben-2,2'-disulfonic, care mai departe prin reducere *Béchamp*, se transformă în acidul 4,4'-diaminostilben-2,2'-disulfonic [104].

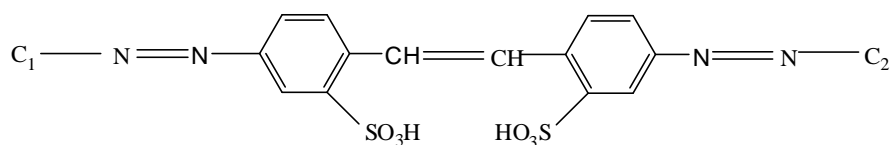
Reducerea acidului 4,4'-dinitrostilben-2,2'-disulfonic poate fi condusă cu hidrogen sub presiune, în mediu apos în prezența catalizatorului *Ni-Raney* și a diciandiamidei la o temperatură de 50-120°C. Rezultatul adăugării acesteia din urmă este eliminarea hidrogenării nedorite a dublei legături olefinice [105].

Este cunoscut faptul că difenilcetena simetrică sau stilbenul apare sub forme izomere geometrice: izomerul *cis* (*izostilbenul*) și izomerul *trans* (*stilbenul*). Acesta din urmă reprezintă forma stabilă, săracă în energie, neputându-se transforma în izostilben decât prin absorbție de energie sub formă lumină ultravioletă. Un comportament asemănător este așteptat și din partea acidului 4,4'-diaminostilben-2,2'-disulfonic (**I.42**).

Au fost obținuți 9 coloranți direcți disazoici simetrici și asimetrici cu formula generală (**I.43**) prin bis-diazotarea acidului 4,4'-diaminostilben-2,2'-disulfonic urmată de cuplarea cu diferiți acizi naftalinsulfonici: acid 1-amino-8-hidroxinaftalin-3,6-disulfonic (*acid H*); acid 2-naftol-3,6-disulfonic (*acid R*); acid 1,8-dihidroxinaftalin-3,6-disulfonic (*acid cromotropice*), acid 1-naftol-4 sulfonic (*acid Nevile Winther*), acid 1-naftilamino-4-sulfonic (*acid naftionic*), 2-amino-8 naftol-6-sulfonic (*acid γ*), acid 2-amino-5-naftol-7-sulfonic (*acid I*), acid salicilic [106].

Marea majoritate a coloranților mai sus menționați sunt analogi ai celor derivați din benzidină și anume: Albastru direct 6 (C.I. 22 610); Albastru direct 49 (C.I. 22 540); Violet

direct 43 (C.I. 22 440); Roșu direct 28 (C. I. 22 120); Albastru direct 2 (C.I. 22 590); Brun direct (C.I. 22 311).



(I.43)

Rezistențele umede ale coloranților cu formula generală de mai sus determinate după aplicarea acestora pe bumbac s-au dovedit a fi ușor reduse în comparație cu cele ale derivaților benzidinici. Acest lucru se datorează prezenței grupelor sulfonice hidrofiele din diazocomponeta centrală. Nuanțele pe bumbac ale coloranților benzidinici sunt similare cu cele ale coloranților azo-stilbenici, valori ușor diminuate ale rezistențelor la lumină fiind înregistrate pentru aceștia din urmă.

Literatura de specialitate pune la dispoziție o diversitate de astfel de amine potențiale înlocuitoare ale benzidinei în vastul domeniu al coloranților de sinteză.

Câteva vor fi amintite în continuare: 4,4'-diaminodifenilureea și derivații sulfonici ai acesteia [86,107,108]; 5,5'-diamino-2,2'-bipiridina [109,110]; 4,4'-diaminodifenilsulfonamida [111]; 3-(4'-aminofenil)-7-aminochinolina [112]; diverse diamine ciclice (3,7-diaminocarbazol, 2,6-diaminocarbazol) [113] etc.

Cercetări recente au arătat posibilitatea înlocuirii coloranților benzidinici cu coloranți cu structură heterociclică. Astfel, pornind de la un rest al dioxidului 1,2,4-benzotiodiazinei au fost sintetizați atât coloranți direcți monoazoici cât și disazoici. Obținerea acestora prin atașarea grupei azo de un lanț alifatic, precum și prezența în moleculele lor a grupelor solubilizante (resturi sulfonice sau sulfonamidice) oferă șansa degradării în produși solubili, necancerigeni [114].

I.3 NOȚIUNI DE CULOARE

Culoarea este ușor de apreciat, ceva mai ușor de măsurat și dificil de înțeles. Se cunoaște faptul că ea nu este o proprietate intrinsecă a unui obiect ci este un fenomen subiectiv, fiind răspunsul creierului la stimularea ochiului de către lumină [115].

Culoarea este întotdeauna conectată cu lumina. Este un fenomen fizic, depinzând de proprietățile optice ale unei substanțe și de modul de iluminare, dar și un fenomen fiziologic, depinzând de ochiul observatorului și de mintea umană. În concluzie culoarea unui obiect depinde de 3 factori: obiectul respectiv, ochiul observatorului și sursa de lumină.

Combinarea a diferiți stimuli de culoare (radiații monocromatice) este percepută de un observator ca o senzație specifică de culoare.

Când această senzație de culoare este cauzată de efectul simultan a diverși stimuli de culoare, avem de a face cu o amestecare aditivă a culorilor (exemple: tipărirea multicoloră, televiziunea color etc.). În sistemul aditiv culorile primare sunt: roșu, verde și albastru (*RGB*). Prin amestecarea lor se obține lumina albă iar când se amestecă două culori primare aditive se obțin culori complementare [116].

Când perceperea culorilor este datorată schimbărilor în compoziția spectrală a radiațiilor, prin absorbția unor domenii ale lungimii de undă, vorbim de amestecarea substractivă a culorilor (exemple: amestecarea vopselelor sau a soluțiilor de colorant, absorbția selectivă a radiațiilor la pigmenți colorați etc.). Culorile primare în sistemul substractiv sunt cian, magenta și galben (*CMY*). Când se îndepărtează toate culorile din lumina albă, ceea ce se obține este negrul [116].

Sursele de lumină sunt corpuri care emit lumină prin natura lor. Surse comune de lumină sunt soarele, lumina incandescentă și lumina fluorescentă. Graficul emisiei pentru spectrul vizual este numit curba de distribuție relativă a energiei pentru acea sursă specifică. O sursă de lumină este o lumină ce există fizic și la care distribuția energiei spectrale poate fi măsurată. Un iluminant însă este o lumină care poate fi definită de o curbă de distribuție a energiei spectrale ce poate fi descrisă matematic, dar care poate să nu existe fizic.

Cei mai importanți și uzuali iluminanți recomandați de *CIE* (*Comission International de l'Eclairage*) sunt D65, A și F2. Prin urmare, iluminantul standard *CIE* D65 reprezintă lumina zilei cu o temperatură a culorii de 6500K, iluminantul standard *CIE* A semnifică o sursă de lumină incandescentă cu o temperatură a culorii de 2856K iar luminantul standard *CIE* F2 reprezintă lumina unei surse fluorescente albe reci.

Temperatura culorii pentru oricare sursă de lumină este temperatura la care un corp negru încălzit poate produce lumina ce dă aceeași senzație de culoare ca și aceea dată de sursa de

lumină cunoscut fiind faptul că un corp negru este un corp ideal care absoarbe toate radiațiile ce cad pe el [117].

Reprezentarea curbelor de distribuție relativă a energiei spectrale pentru iluminanții mai sus menționați sunt date în figura I.2.[117].

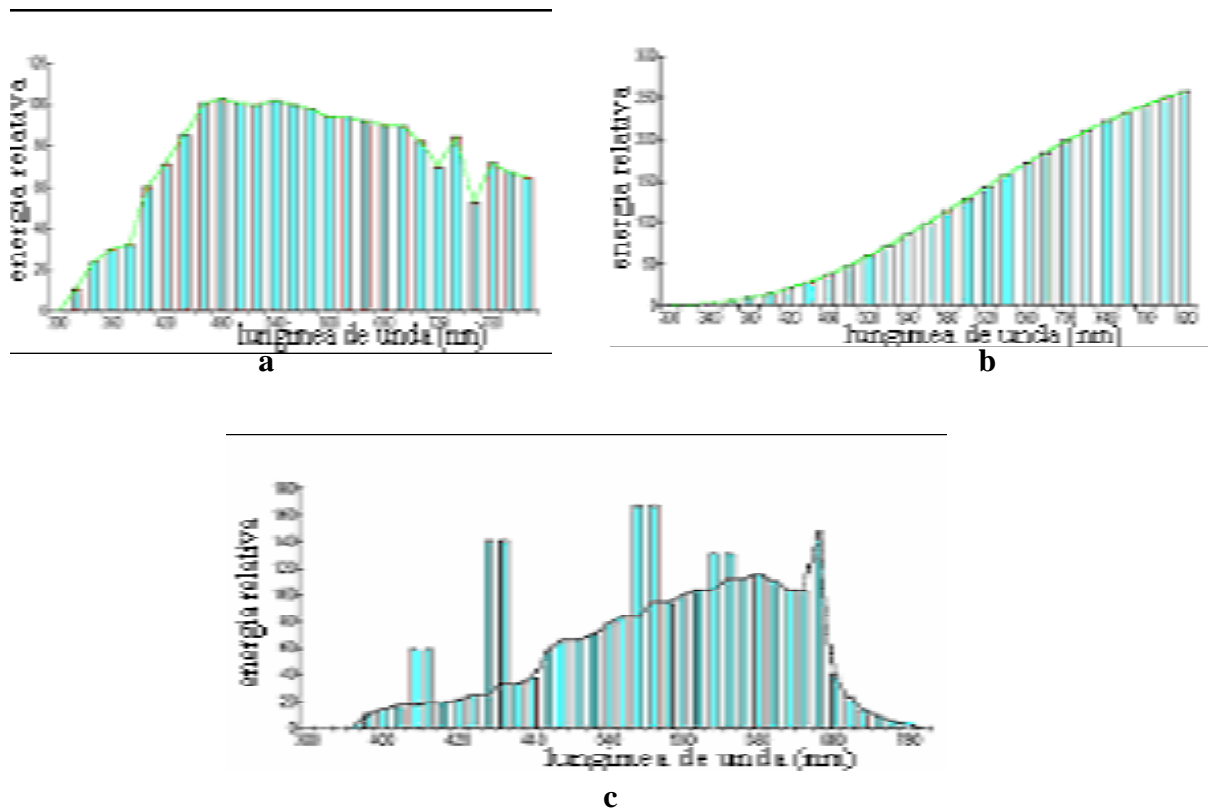


Fig I.2 Curbele de distribuție relativă a energiei spectrale a iluminantului a) D65 b) A c)F2

Fără observator nu există culoare mecanismul perceperii culorii nefiind încă pe deplin înțeles. Teoria lui *Young* și *Helmholtz* legată de acest mecanism este poate cea mai satisfăcătoare [116].

Ea recunoaște faptul experimental că toate culorile pot fi duplicate de ochi printr-un amestec aditiv de 3 culori primare. Astfel, se presupune că ochiul uman posedă 3 tipuri de receptori care răspund la lumină la culorile roșu, verde și albastru. Fotoreceptorii retinei sunt de două tipuri distincte: celulele cu bastonașe și cele cu conuri. Bastonașele funcționează sub condiții de intensitate scăzută de iluminare și dau vederea, scotopică, care este vedere în nuanțe de negru, alb și gri. Conurile sunt receptori sensibili la culoare (culorile biologic fundamentale), funcționează sub condiții de intensitate înaltă a luminii și dau vederea fotopică.

Pentru a determina sensibilitatea receptorilor umani, **CIE** a efectuat teste vizuale sistematice.

Bazat pe rezultatele obținute s-a standardizat observatorul de 2° și de 10°, reprezentând, un câmp de vedere mic și respectiv mare. Când privim o probă, ochiul integrează pe o arie mare care corelează cel mai bine cu observatorul de 10°. Observatorul acesta este în același timp semnificativ mai sensibil la albastru decât observatorul de 2°.(fig.I.3)

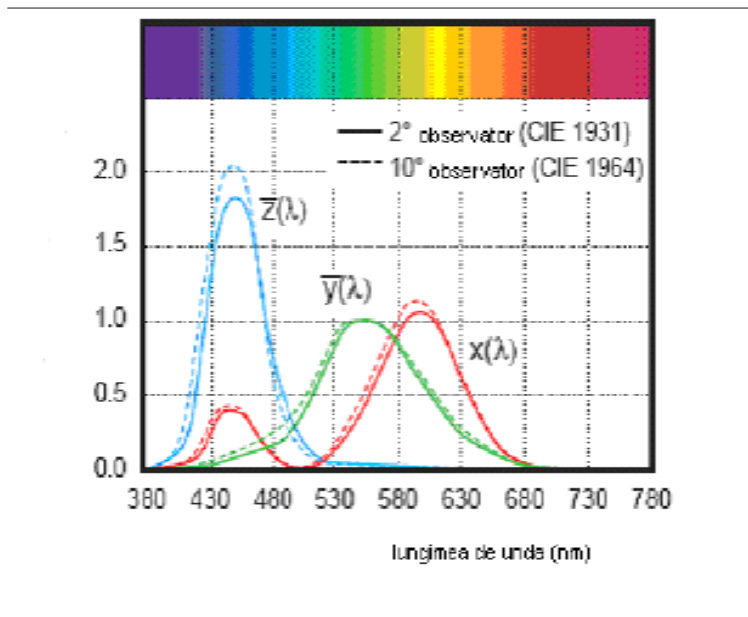


Fig I.3. Curbele de distribuție spectrală pentru observatorul standard CIE

Un obiect poate absorbi, reflecta, emite sau transmite lumina. Deoarece majoritatea corpurilor colorate sunt opace și acoperă substratul pe care sunt așezate, uzual este studiată reflexia și nu transmisia [117].

Proprietățile optice ale unui obiect sunt singura variabilă ce se dorește a fi măsurată cu instrumentele de determinare a culorii. Instrumentele moderne măsoară cantitatea de lumină ce este reflectată de o probă colorată. Determinarea se face la fiecare lungime de undă și este denumită dată spectrală. Este cunoscut faptul că un obiect negru nu reflectă lumina de a lungul întregului spectru în timp ce o probă albă ideală reflectă toată lumina.

În figura I.4 sunt reprezentate curbele spectrale de reflexie tipice pentru probe colorate roșii, albastre și verzi.

Caracteristicile pe baza cărora ochiul uman deosebește culorile sunt: *nuața* (hue); *saturația* (chroma) și *luminozitatea* (brightness).

Cromaticitatea unei culori este definită de nuanța și saturația acesteia luate împreună.

Nuanța este parametrul de culoare determinat de lungimea de undă dominantă din mulțimea lungimilor de undă care formează culoarea respectivă. Este definită de gradația unei culori în interiorul spectrului vizibil.

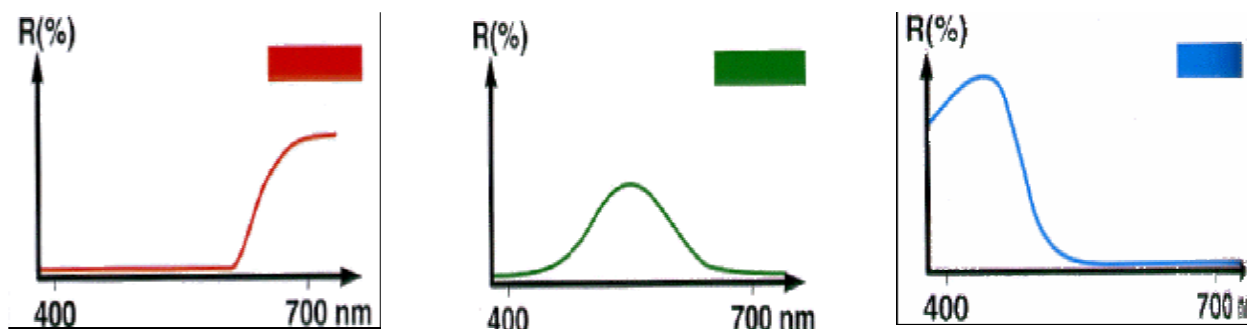


Fig I.4. Curbele spectrale tipice pentru probe roșii, albastre și verzi

Saturația culorii este parametrul de culoare determinat de puritatea culorii, adică de lungimile de undă care se combină cu unghiul de undă dominantă ce definește nuanța culorii. Strălucirea sau luminozitatea culorii este parametrul de culoare determinat de intensitatea undelor de lumină care o definesc. Mai multă lumină înseamnă unde de lumină de intensitate mai mare care determină culori mai intense sau mai strălucitoare [119].

Definirea numerică a culorilor este importantă în toate domeniile tehnologiei culorilor. Amestecul aditiv al luminii dintr-un singur set de trei surse reale (sistemul tricromatic *RGB*) poate reproduce doar o gama limitată de culori. Pentru a preveni această problemă, sistemul *CIE* de specificare a culorii utilizează un singur set de trei surse imaginare de lumină.

Aceste surse sunt imaginare în sensul că ele nu există din punct de vedere fizic, totuși există un set de relații simple între cantitățile de surse imaginare și ale celor trei surse reale necesare pentru a obține o aceeași culoare (1). O culoare poate fi definită adecvat (exprimată numeric) prin intermediul a trei stimuli virtuali *X*, *Y*, *Z* (*X* reprezintă o sursă imaginară roșie, *Y* reprezintă o sursă imaginară verde și *Z* o sursă imaginară albastră), care sunt caracteristici pentru culoare și identici cu fracțiile a trei surse de lumină primare [116].

$$\begin{aligned}
 R &= 0,49000 X + 0,17697 Y + 0,00000 Z \\
 G &= 0,31000 X + 0,81240 Y + 0,01000 Z \\
 B &= 0,20000 X + 0,01063 Y + 0,99000 Z \\
 X &= 2,36460 R - 0,51515 G + 0,00520 B \\
 Y &= -0,89653 R + 1,42640 G - 0,01441 B \\
 Z &= -0,46807 R + 0,08875 G + 1,00921 B
 \end{aligned}
 \tag{1}$$

Măsurarea culorii constă efectiv în determinarea valorilor *X*, *Y*, *Z*, ținându-se cont de cei 3 factori de care depinde specificarea culorii și care au fost prezentați mai sus.

Valorile celor trei stimuli pentru o lungime de undă dată sunt proporționale cu funcțiile de distribuție spectrale, corespunzătoare, cu intensitatea S_λ a radiației incidente și cu factorul de reflexie R_λ al culorii, astfel că ei pot fi calculați prin însumarea sau integrarea acestor produse în spectrul vizibil, de la 380-760nm (2)

$$\begin{aligned} X &= \int R_\lambda S_\lambda x_\lambda d\lambda \\ Y &= \int R_\lambda S_\lambda y_\lambda d\lambda \\ Z &= \int R_\lambda S_\lambda z_\lambda d\lambda \end{aligned} \quad (2)$$

Valorile obținute sunt măsuri ale excitației pe care o culoare specifică o produce în centrii activi ai ochiului uman iar utilizarea lor face posibilă reprezentarea oricărei culori printr-un punct într-un sistem de coordonate X, Y, Z .

Reprezentarea culorilor a recurs la diferite modele și diagrame încă din secolul al-16-lea. Câteva din aceste modele sunt: *Della Porta* (1593); *Goethe* (1793); *Maxwell* (1857); *Ostwald* (1917); *Härd* (1968); *Colorcube* (1998). Modelele de grupare a culorilor se pot clasifica în două familii: reprezentări plane (cercul culorilor etc.) și spațiale (reprezentarea *CIE* etc.) [116].

Sistemul *CIE-XZY* prezintă un mare dezavantaj, fiind nepotrivit pentru determinarea diferenței de culoare (ΔE). În acest scop s-au făcut eforturi considerabile în căutarea unui spațiu color uniform în interiorul căruia culorile sunt aranjate tridimensional astfel încât distanța între poziția a două probe, va fi proporțională cu diferența de culoare percepută.

S-au făcut numeroase încercări pentru a deriva ecuații care transformă valorile coordonatelor tricromatice în trei parametri care reprezintă coordonatele într-un spațiu de culoare uniform. Exemple de astfel de spații uniforme de culoare sunt: sistemul *Munsell*, sistemul *Ostwald*, sistemul *DIN*, sistemul *NCS* etc. [120-122].

Spațiul color uniform *CIELAB 1976* (*CIE L*a*b*1976*) reprezintă o transformare matematică a sistemului *CIE 1931*. Coordonatele culorilor L^* , a^* , b^* sunt calculate după cum urmează:

- a. este selectată o sursă de lumină
- b. este selectat un observator (2° sau 10°)
- c. se determină curbele de reflexie ale obiectului colorat
- d. valorile tricromatice (X, Y, Z) sunt calculate din date de tip lumină-obiect-observator conform relațiilor (2)
- e. valorile L^* , a^* , b^* sunt calculate din datele X, Y, Z utilizând ecuațiile *CIE 1976* (3)

$$L^* = 116 (Y/Y_n)^{1/3} - 16 \text{ dacă } Y/Y_n > 0,008856 \text{ și}$$

$L^* = 903,3 (Y/Y_n)$ dacă $Y/Y_n \leq 0,008856$

$a^* = 500 [f(X/X_n) - f(Y/Y_n)]$

$b^* = 200 [f(Y/Y_n) - f(Z/Z_n)]$

unde: $f(X/X_n) = (X/X_n)^{1/3}$ dacă $X/X_n > 0,008856$

$f(X/X_n) = 7,787(X/X_n) + 16/116$ dacă $X/X_n < 0,008856$

$f(Y/Y_n) = (Y/Y_n)^{1/3}$ dacă $Y/Y_n > 0,008856$

$f(Y/Y_n) = 7,787(Y/Y_n) + 16/116$ dacă $Y/Y_n < 0,008856$

$f(Z/Z_n) = (Z/Z_n)^{1/3}$ dacă $Z/Z_n > 0,008856$

$f(Z/Z_n) = 7,787(Z/Z_n) + 16/116$ dacă $Z/Z_n < 0,008856$

unde X_n, Y_n și Z_n sunt valorile celor trei stimuli ai iluminantului utilizat [116]. (3)

Sistemul **CIELAB** [118, 119, 123, 124] constă din două axe a^* și b^* care sunt perpendiculare și reprezintă tonalitatea culorilor (figura I.5). A treia axă este luminozitatea L^* care este perpendiculară pe planul a^*b^* . L^* ia valori între 0 pentru negrul perfect și 100 pentru albul perfect. a^* reprezintă calitatea de roșu/verde a culorii (valorile pozitive semnifică roșu, iar cele negative verde), iar b^* reprezintă calitatea de galben/albastru a culorii (valorile pozitive semnifică galben iar cele negative albastru) [116].

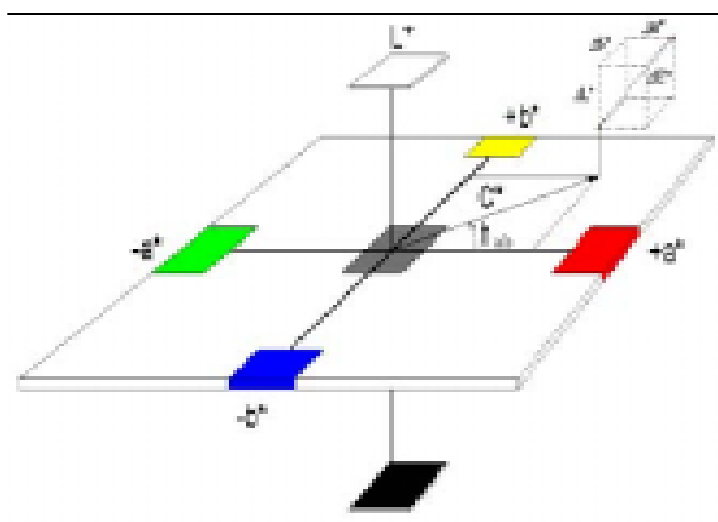


Fig. I.5 Spațiul culorilor **CIELAB**

În interiorul acestui sistem, orice culoare poate fi specificată prin coordonatele L^*, a^* și b^* . În acest caz axele sunt împărțite astfel încât o diferență abia perceptibilă de culoare, este reprezentată de o distanță de o unitate. Alternativ se mai utilizează și coordonatele cilindrice L^*, C^* și h° deoarece în acest caz, conceptul tonalității și al saturației este în acord cu experiența vizuală. C^* (de la chroma) reprezintă intensitatea sau saturația culorii (4) în timp ce unghiul h° (de la hue) este un alt mod de a exprima tonalitatea (5) [125-126].

$$C^* = (a^{*2} + b^{*2})^{1/2} \quad (4)$$

$$h^{\circ} = \tan^{-1} (b^*/a^*) \quad (5)$$

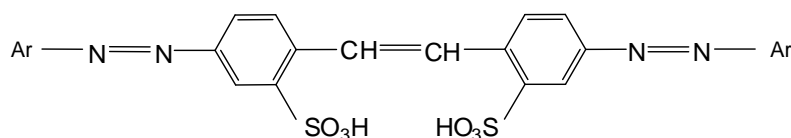
$$\Delta E_{ab^*} = [(\Delta L^*)^2 + (\Delta a^*)^2 + (\Delta b^*)^2]^{1/2} \quad (6)$$

S-a depus o muncă considerabilă de-a lungul timpului pentru determinarea diferenței de culoare [127, 129]. Cele mai utilizate ecuații sunt **CIELAB** și **CIELUV** recomandate de **CIE** în 1976, sistemul **CIELAB** (6) fiind însă sistemul utilizat în cele mai variate domenii [130-136]. Au fost obținute multe alte ecuații optimizate în acest sens (diferența de culoare McLaren, McDonald, CMC, CIE 94, CIE 2000 etc.)

Diferența de culoare **CMC** (*The Colour Measurement Committee of the Society of Dyers and Colourists in Great Britain*) a fost propusă de **Clarke** și colaboratorii în 1984. **CMC** nu este un spațiu color ci un sistem de toleranțe. Aceasta reprezintă de fapt o transformare a diferenței de culoare **CIE L* C* h°** și s-a dovedit a fi utilă la acceptarea comercială a produselor colorate [137]. Un avantaj important al **CMC** este că odată ce o toleranță a fost implementată cu succes pentru un produs, aceeași toleranță se poate aplica pentru alte culori sub condiții comerciale similare.

II. CONTRIBUȚII PROPRII

În prima parte a lucrărilor experimentale s-a realizat sinteza a două serii noi de coloranți direcți simetrici cu structură stilbendisazoică și formula generală de mai jos **(II.1)** obținuți prin reacția de cuplare a sării de bis-diazoniu a acidului 4,4'-diaminostilben-2,2'-disulfonic cu combinații cetonice enolizabile (**I-VI**), (*prima serie*), respectiv cu hidroxiderivați aromatici (**VII-XX**) (*cea de doua serie*).



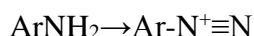
(II.1)

Componentele de cuplare (**Ar**) au fost: acetoacetanilida, acetoacet-2,4-dimetilanilidă, acetoacet-2,5-dimetoxi-4-cloranilidă, acetoacet-2-cloranilidă, acetoacet-2-metilanilidă, 5-acetoacetilaminobenzoimidazol-2-onă pentru prima serie de coloranți (**I-VI**) (vezi schema **II.3**), respectiv acidul salicilic, amidele N-substituite ale acidului salicilic (obținute în urma condensării acidului salicilic cu anilina, *o*-cloroanilina, *m*-cloroanilina, *p*-cloroanilina, *o*-bromoanilina, *m*-bromoanilina, *p*-bromoanilina, 3-amino-1-H-1,2,4-triazol, 2-aminobenzotiazol), salicilamida, rezorcina, acidul 2-hidroxi-3-naftoic și acidul 1-hidroxi-2-naftoic pentru cea de a doua serie de coloranți (**VII-XX**) (vezi schema **II.5**).

Una dintre căile de obținere a coloranților azoici, este diazotarea unei amine aromatice primare și cuplarea diazoderivaților aromatici, obținuți cu diverse componente de cuplare. Acestea din urmă pot fi hidroxiderivați aromatici (fenoli, naftoli), amine și combinații cetonice enolizabile. În urma reacției rezultă coloranți hidroxiazoici sau aminoazoici. Drept componente de cuplare mai pot funcționa în unele cazuri hidrocarburi nesaturate, piroli, indoli etc.

Prima etapă în realizarea sintezei de coloranți azoici în general și deci și a coloranților a căror structură a fost menționată anterior este reacția de diazotare.

Diazotarea este procesul de transformare a unei grupe amine aromatice primare (doar în unele cazuri alifatic) în sare de diazoniu:

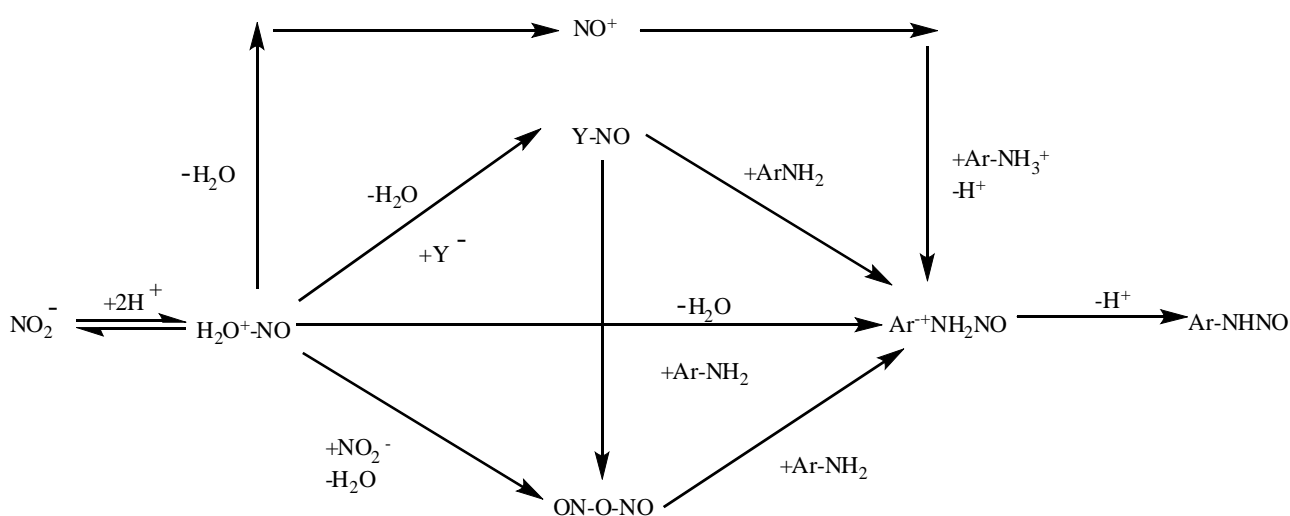


De obicei la reacția de diazotare efectuată în mediu apos, se folosesc acizi minerali tari (clorhidric, bromhidric, sulfuric, azotic, fosforic), iar cei organici (acetic, formic) doar în cazuri speciale. Cel mai utilizat agent de diazotare este azotitul de sodiu, din care se formează acidul azotos chiar în mediul de reacție [4].

Aminele aromatice sunt reactivi nucleofili relativ energici, chiar dacă bazicitatea acestora este redusă. Pe de altă parte, acidul azotos, chiar dacă este un agent electrophil slab, generează cu ușurință în medii chiar slab acide (de exemplu acid acetic) electrophili energici, capabili să reacționeze cu aminele.

Studiile efectuate în acest domeniu au condus la concluzia că diazotarea aminelor aromatice implică în prealabil N-nitrozarea aminei, aceasta fiind etapa lentă, determinantă de viteză. Nitrozamina primară astfel formată, trece rapid prin izomerizare în diazoacid, care în mediu acid se transformă repede în ion de diazoniu.

Măsurătorile cinetice, efectuate în diferite condiții de reacție, au demonstrat că acidul azotos nu reacționează ca atare ci se transformă printr-o reacție de preechilibru într-o "formă activă" (schema II.1.) [138].



Schema II.1. Schema de obținere a "forme active" necesară N-nitrozării aminei

Formarea agentului de diazotare începe cu protonarea acidului azotos.

La diazotarea în soluție apoasă puternic acidă acidul conjugat al acidului azotos elimină apă conducând la ionul nitrozoni (NO⁺) puternic reactiv.

În soluție apoasă slab acidă, înainte de nitrozarea aminei acidul conjugat al acidului azotos (H₂O⁺NO) este mai întâi convertit într-un nitrozoderivat (Y-NO), Y reprezentând de fapt contraionul acidului mineral utilizat. Prin urmare la diazotare în soluție diluată de HCl sau Br agentul de nitrozare este clorura respectiv bromura de nitrozil. Această transformare în nitrozoderivat nu are loc în soluție diluată de HClO₄ sau H₂SO₄, deoarece atât ionul perclorat cât și cel hidrogensulfat nu sunt agenți nucleofili suficient de puternici. În acest caz "forma activă", este anhidrida azotoasă (O(NO)₂) care rezultă în urma reacției acidului conjugat al acidului azotos cu un alt ion nitrit.

Studii efectuate de *Ridd* și colaboratorii au arătat faptul că în condiții acide mai puternice (sol.de HClO₄ respectiv H₂SO₄ cu conc. cuprinse între 1-65%) etapa determinantă de viteză este reacția de nitrozare a ionului de amoniu a aminei urmată de deprotonarea corespunzătoare.

Conform măsurărilor cinetice realizate de *Rys* (1996), prin rezonanță magnetică nucleară (¹H-RMN) este mai probabil, chiar și în aceste condiții ca reacția să decurgă prin atacul electrofil al agentului de nitrozare (NO⁺) asupra, bazei libere a aminei și nu asupra ionului de amoniu, în acest caz etapa determinantă de viteză fiind deprotonarea și nu nitrozarea .

Factorii ce influențează reacția de diazotare sunt: solventul, acidul, cantitatea de nitrit, temperatura, lumina și substituenții existenți în nucleul aromatic al aminei,

Diazotarea se mai poate realiza și în mediu de solvent organic, atunci când se urmărește izolarea sărurilor de diazoniu în stare uscată. Preferința pentru acest procedeu poate fi determinată și de faptul că solventul de diazotare este comun cu cel în care se realizează faza următoare de cuplare (N, N'-dimetilformamida) sau de înlocuire reductivă a grupei diazo (alcool) [4].

Respectarea regimului de temperatură este de o deosebită importanță în ceea ce privește viteza de reacție, stabilitatea sării de diazoniu formate, solubilitatea și stabilitatea acidului azotos etc. Majoritatea diazotărilor se efectuează la temperaturi situate în jurul valorii de 0°C.

În funcție de natura aminei supuse diazotării, se poate aplica atât metoda directă, cât și metoda indirectă de diazotare [5].

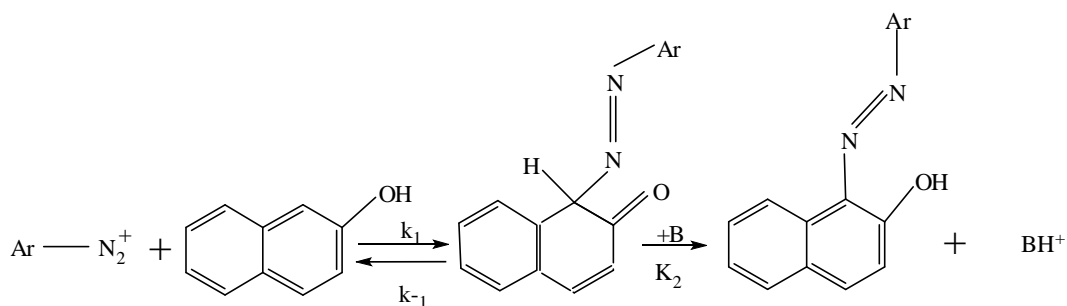
Azocuplarea este reacția dintre un diazoderivat aromatic (diazocomponentă) și o componentă de cuplare (azocomponentă), având drept rezultat formarea unui azoderivat.

Conform accepțiunii generale reacția de cuplare presupune atacul ionului de diazoniu printr-o substituție electrofilă aromatică la un substrat nucleofil numit componentă de cuplare.

Deoarece ionii de diazoniu sunt electrofili slabi, doar componentele aromatice cu substituenți donori de electroni (OH, NH₂, NHR etc.) ce accentuează nucleofilicitatea, pot fi componente de cuplare.

Practic, reacția constă în substituția unui proton de la atomul de carbon reactiv al componentei de cuplare cu o grupare arilazo, mecanismul fiind identic cu cel al majorității substituțiilor aromatice electrofile (schema II.2) [138].

În prima etapă (de obicei lentă, determinantă de viteză) reactantul formează o legătură covalentă cu carbonul din centrul reactiv al substratului (complex σ). În cea de a doua etapă are loc transferul protonului către o bază prezentă în sistem (*cataliză bazică generală și respectiv specifică*). Mecanismul a fost postulat de **Ingold** în 1920 și a fost coroborat cu investigațiile cinetice (**Zollinger**) pe o serie de acizi naftol-sulfonici.



Schema II.2. Schema mecanismului general de cuplare

În cazul hidroxiderivaților aromatici, datorită conjugării electronilor neparticipanți (*p*) de la atomul de oxigen (grupa hidroxi) cu sistemul de electroni π ai nucleului aromatic, densitatea de electroni la atomii de carbon din pozițiile *orto* și *para* față de gruparea funcțională este mărită, ceea ce favorizează atacul ionului de diazoniu (agentul electrofil) în aceste poziții, cu eliminarea ulterioară a protonului, în acest fel având loc cuplarea azoică. Prin urmare, forma reactivă caracteristică hidroxiderivaților aromatici în reacția de cuplare azoică este cea anionică.

În cazul aminoderivaților aromatici, azocuplarea are loc în soluții mai mult sau mai puțin acide, în care amina liberă se află în echilibru cu forma ei protonată. Sarea de amoniu nu poate să cupleze, deoarece electronii neparticipanți (*p*) ai azotului sunt blocați prin protonare, nefiind disponibili unui atac electrofil din partea ionului de diazoniu. În același timp, grupa cuaternară exercită un efect puternic, dezactivant (*-I*) asupra nucleului aromatic micșorând densitatea de electroni la atomii de carbon ai acestuia, ceea ce exclude și posibilitatea cuplării la nucleu. În consecință, aminele aromatice în forma lor liberă sunt cele care cuplează [5].

Enolii sunt de asemenea agenți nucleofili utilizați în reacția de cuplare. În acest caz, specia reactivă nu este enolul neutru ci baza lui conjugată care reprezintă de fapt un hibrid între ionul enolat și cetona α -deprotonată [138].

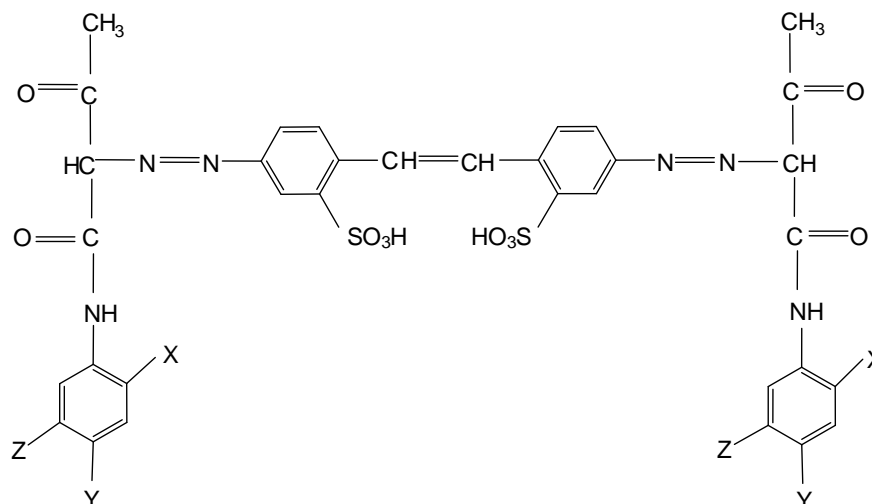
În funcție de natura componentei de diazotare cât și de cea a componentei de cuplare, mai exact de preechilibrele acestora în raport cu mediul de reacție, pentru fiecare caz în parte de cuplare azoică, există un pH optim la care aceasta are o viteză maximă și un randament convenabil în produs util. Astfel valorile optime ale pH-ului sunt cuprinse între 4-9 pentru amine aromatice, 7-9 pentru enoli și respectiv în jur de 9 pentru hidroxiderivați aromatici utilizați drept componente de cuplare. Există situații în care valoarea pH-ului influențează poziția de cuplare în substrat (acizii aminonaftolsulfonici)

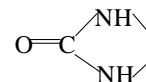
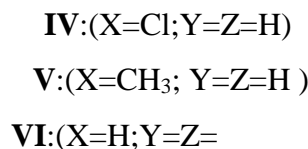
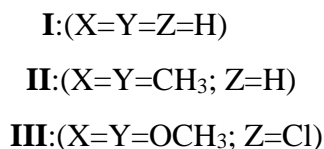
Odată cu creșterea temperaturii, crește viteza reacției de cuplare dar în același timp crește și viteza reacției de descompunere a diazoderivatului. Din acest motiv, procesul de cuplare se efectuează la temperaturi scăzute (15°C în mediu alcalin și sub 10°C în mediu acid).

II.1. SINTEZA ȘI CARACTERIZAREA COLORANȚILOR STILBENDISAZOICI AVÂND DREPT COMPONENTE DE CUPLARE COMBINAȚII CETONICE ENOLIZABILE

REZULTATE ȘI DISCUȚII

Încercările experimentale pentru obținerea a 6 noi coloranți direcți simetrici azo-stilbenici (I-VI) cu structura prezentată în schema II.3 au urmărit stabilirea parametrilor de reacție pentru: diazotarea acidului 4,4'-diaminostilben-2,2'-disulfonic, condiționarea diferitelor componente de cuplare, precum și desfășurarea diferitelor reacții de cuplare.





Schema II.3 Structura generală a coloranților direcți simetrici azo-stilbenici (I-VI)

În cadrul încercărilor experimentale efectuate în scopul obținerii coloranților azo-stilbenici cu structura de mai sus, au fost variați o serie de parametri ce influențează desfășurarea reacțiilor de sinteză ale acestora.

În ceea ce privește reacția de diazotare, a fost aplicată metoda de diazotare indirectă sau inversă pentru toți coloranții (I-VI).

Prin urmare, bis-diazotarea acidului 4,4'-diaminostilben-2,2'-disulfonic care reprezintă o diamină cu solubilitate scăzută în soluții apoase acide a fost efectuată prin introducerea într-un timp scurt (10 minute) a amestecului de soluție apoasă de amină și nitrit în soluție apoasă de acid clorhidric.

Utilizarea carbonatului de sodiu anhidru la solubilizarea acidului 4,4'-diaminostilben-2,2'-disulfonic în apă, contribuie la evitarea transformării sării de diazoniu în anti-diazotații corespunzători. Reacția de diazotare a fost condusă la temperatură scăzută (0-5°C).

Stabilitatea sării de diazoniu este asigurată atât de folosirea unui exces de acid clorhidric cât și a unui de azotit de sodiu, evitându-se astfel o posibilă reacție de autocuplare (între sarea de diazoniu deja formată și diamina rămasă nereacționată). Suspensia rezultată a fost menținută sub agitare pentru definitivarea reacției timp de 1 oră.

Înlăturarea excesului de acid azotos a fost efectuată cu acid sulfamic. Alegerea acestuia în locul ureei prezintă avantajul lipsei reacțiilor secundare și distrugerii excesului mai sus menționat într-un interval de timp scurt, fapt ce contribuie la creșterea stabilității sării de diazoniu.

Introducerea acidului acetic în componenta de diazotare are drept scop trecerea blândă de la un pH foarte acid caracteristic diazotării, la unul mai puțin acid, necesar etapei următoare și anume cea de cuplare.

În ceea ce privește reacția de cuplare au fost variați următorii parametri:

- temperatura în etapa de cuplare
- pH-ul masei de reacție în etapa de cuplare

Acetoacetanilidele substituie la nucleul aromatic (acetoacetanilida; acetoacet-2,4-dimetilanilida; acetoacet-2,5-dimetoxi-4-cloranilida; acetoacet-2-cloranilida; acetoacet-2-metilanolilida; 5-acetoacetilaminobenzoimidazol-2-ona) utilizate în sinteza coloranților azo-stilbenici (**I-VI**) fac parte din categoria compușilor care posedă în moleculă o grupare metilenică "activă" situată în catenă alifatică deschisă. Datorită posibilității de tautomerie ceto \rightleftharpoons enolică aceste combinații cuplează cu sărurile de diazoniu în mediu slab alcalin la grupa metilenică "activă".

Pentru reglarea pH-ului la cuplare se introduce acid acetic peste componenta de diazotare, suficient pentru a forma cuplul acid acetic /acetat de sodiu la adăugarea soluției de componentă de cuplare alcalină și pentru a stabiliza pH-ul la o valoare 5-6, necesar pentru desfășurarea reacției de cuplare în bune condiții.

În ceea ce privește ordinea de adăugare a reactanților se preferă ca soluția alcalină de cuplantă să se adauge peste suspensia de sare de diazoniu, prin aceasta evitându-se conducerea reacției în mediu alcalin care influențează negativ stabilitatea diazotantei, în condițiile în care componentele de cuplare permit desfășurarea reacției la pH-ul mai sus menționat.

Temperatura de cuplare nu trebuie să depășească valoarea de 10°C. După adăugarea cuplantei masa de reacție este menținută sub agitare în medie timp de 2 ore. În cazul colorantului (**VI**), a fost necesar un timp de reacție mai lung, datorită împiedicării sterice provocate de heterociclul din structura componentei de cuplare (5-acetoacetilaminobenzoimidazol-2-ona).

În cazul tuturor componentelor de cuplare, utilizarea unui exces de 3% față de componenta de diazotare a fost găsit optim.

Coloranții au fost separați din masa de reacție prin filtrare la vid.

Condițiile optime de cuplare stabilite pentru fiecare colorant azo-stilbenic (**I-VI**) în parte sunt prezentate sinoptic în tabelul **II.1**.

Tabel II.1. Condițiile de cuplare pentru obținerea coloranților azo-stilbenici (**I-VI**)

Nr. compus	Temp. de cuplare (°C)	pH	Timp de reacție (ore)	Randament (%)
I	10±1	5	2,5	85
II	8±1	5,5	2,5	83
III	10±1	5,5-6	2,5	81
IV	9±1	5	2,5	87
V	8±1	5,5	2,5	86
VI	10±1	5,5-6	3	90

Controlul purității compușilor sintetizați și controlul pe parcursul sintezei s-a efectuat prin cromatografie pe strat subțire. S-au făcut mai multe încercări utilizând drept fază staționară: celuloză (plăci de sticlă, cu liant), silicagel G60 (folie de plastic Merck), celuloză MN300 (folie de plastic fără liant) și drept fază mobilă amestec: alcool n-butilic:piridină:apă; alcool n-butilic; acetonă:apă:NH₄OH25% ;alcool n-propilic:alcool n-butilic:acetat de etil: apă; în diferite rapoarte volumetrice. Metoda de separare optimă pentru coloranții (I-VI) este cea unidimensională ascendentă pe folii de aluminiu având ca fază staționară oxid de aluminiu 60 (Merck) și ca fază mobilă amestecul alcool etilic:NH₃ 25% în raport 10:1 (v/v). Solubilizarea probelor s-a făcut în alcool etilic.

Coloranții (I-VI) nepurificați prezintă două spoturi colorate de nuanțe și valori R_f diferite primul spot majoritar în jur de 0,4 și al doilea în jur de 0,9.

Obținerea compușilor unitari reclamă separarea amestecurilor obținute prin cromatografie pe coloană utilizând ca fază staționară oxid de aluminiu 90 (Merck) iar ca fază mobilă același amestec utilizat la cromatografia pe strat subțire. Valorile R_f pentru coloranții azo-stilbenici (I-VI), obținute după îndepărtarea prin cromatografia pe coloană a coloranților paraziți (cu valori ale R_f cuprinse între 0,89-0,94 sunt prezentate în tabelul II.2.

Tabel II.2. Valorile R_f pentru coloranții azo-stilbenici (I-VI)

Nr. compus	I	II	III	IV	V	VI
R _f	0,24	0,37	0,38	0,40	0,41	0,33

Analiza elementală

Compușii astfel obținuți au fost supuși analizei elementale rezultatele fiind prezentate în tabelul II.3

Tabel II.3. Rezultatele analizei elementale pentru coloranții azo-stilbenici (I-VI)

Nr. compus	Masa molară (g/mol)	Analiza elementală (%)					
		C		H		N	
		calculat	găsit	calculat	găsit	calculat	găsit
I	746,77	54,68	55,02	4,05	4,28	11,25	11,06
II	802,87	56,85	57,16	4,77	4,98	10,47	10,24
III	934,76	48,77	49,09	3,88	4,05	8,98	8,63
IV	815,66	50,07	50,88	3,46	3,75	10,30	10,11
V	774,82	55,80	56,21	4,42	4,63	10,85	10,71
VI	858,82	50,35	50,94	3,52	3,79	16,31	16,18

Analiza prin spectrometrie de absorbție în vizibil și ultraviolet

Din analiza rezultatelor spectrometriei de absorbție UV-VIS se poate observa existența în cazul tuturor compușilor (**I-VI**) a unui maxim de absorbție în domeniul vizibil situat la $\lambda_{\max} = 420-440\text{nm}$.

În domeniul ultraviolet coloranții obținuți prezintă două maxime datorate interacțiilor de tip $n-\pi^*$ și $\pi-\pi^*$ situate la $\lambda_{\max} = 249-264\text{nm}$ respectiv $\lambda_{\max} = 222-237\text{nm}$ [139, 140].

În cazul compușilor (**III**) și (**VI**) în structura cărora există heteroatomi (N, O) greșați pe nucleul aromatic mai apare câte o bandă suplimentară de absorbție situată în spectru la lungimea de undă cea mai mare a maximelor de absorbție în domeniul ultraviolet și anume, $\lambda_{\max} = 293-305,5\text{nm}$ și cauzată de tranziții de tip $n-\pi^*$. Acestea le corespund valori mici ale coeficienților molari de absorbție ($\lg \epsilon = 3,6-3,7$).

În ceea ce privește benzile de absorbție din domeniul vizibil, acestea sunt deplasate slab batocrom sau hipsocrom în funcție de tipul substituenților greșați pe restul aromatic din componenta de cuplare.

Deplasarea este slabă datorită limitării conjugării de către grupa carbonamică cu rol de componentă separatoare.

Rezultatele spectrometriei de absorbție UV-VIS efectuate în etanol pentru coloranții azo-stilbenici (**I-VI**) sunt prezentate în tabelul **II.4** iar spectrele corespunzătoare se regăsesc în anexa **I**

Tabel II. 4. Rezultatele spectrometriei de absorbție UV-VIS pentru coloranții azo-stilbenici (**I-VI**)

Nr. compus	C x 10 ⁵ (mol/l)	$\lambda_{\max.1}$ (nm)	$\lg \epsilon_{\max.1}$	$\lambda_{\max.2}$ (nm)	$\lg \epsilon_{\max.2}$	$\lambda_{\max.3}$ (nm)	$\lg \epsilon_{\max.3}$
I	3,984	234,5	4,129	264	4,121	433,5	4,543
II	3,907	---	---	255,5	4,304	420	4,660
III	4,084	222,5	3,940	249,5 / 305,5	3,794 / 3,750	429	4,122
IV	3,700	237	3,969	263	3,931	433	4,352
V	3,935	236,5	4,037	259	4,056	433	4,461
VI	4,649	223	3,919	261 / 293	3,595 / 3,642	440,5	3,881

Analiza prin spectrometrie de absorbție în infraroșu

Benzile caracteristice largi și intense, situate la $3445-3446\text{cm}^{-1}$ sunt datorate suprapunerii celor corespunzătoare oscilației de valență a atomilor de hidrogen din gruparea amino secundară, cu benzile vibrației de valență a atomilor de hidrogen aromatici.

În cazul tuturor compușilor, banda largă și intensă de la 1652-1660cm⁻¹ corespunde vibrației grupei carbonilice [140], în cazul compusului (VI) vibrația corespunzătoare grupei carbonil din restul benzoimidazolonic regăsindu-se așa cum era de așteptat la o valoare mai mare a numărului de undă 1698cm⁻¹.

Banda amidă II ($\delta_{\text{NH}} + \nu_{\text{CN}}$) se situează la 1507-1510cm⁻¹, în timp ce banda amidă III ($\nu_{\text{CN}} + \delta_{\text{NH}}$) se regăsește la 1279-1283cm⁻¹ [139].

De menționat că în spectrele IR ale compușilor studiați apare și banda largă și caracteristică a vibrației de valență asimetrică corespunzătoare grupei sulfonice ($\nu_{\text{SO}_2}^{\text{as}}$) la 1181-1187cm⁻¹, cea simetrică situându-se la 1077-1079cm⁻¹.

De asemenea trebuie precizate benzile caracteristice ale grupei metil din restul acetil corespunzătoare vibrației de deformare (δ_{CH}) la 1361cm⁻¹ și pentru grupa stilbenică (γ_{CH}) situată în jurul valorii de 950cm⁻¹.

În cazul colorantului (VI) benzile corespunzătoare elementelor structurale caracteristice ale restului 1,3-dihidro-2-H-benzoimidazol-2-onei, sunt banda amidică II ($\delta_{\text{NH}} + \nu_{\text{CN}}$), situată la 1540cm⁻¹ și banda amidică III ($\nu_{\text{CN}} + \delta_{\text{NH}}$) situată la 1200cm⁻¹. Pe lângă acestea mai apare și o bandă caracteristică ciclului benzoimidazolic, și anume banda datorată vibrației scheletului aromatic, situată la 1558cm⁻¹.

În spectrul compusului (III) benzile caracteristice vibrațiilor grupelor aril-oxi-alchil ($\nu_{\text{C-O-C}}$) sunt situate: cea simetrică la 1024cm⁻¹ și cea asimetrică la 1211cm⁻¹.

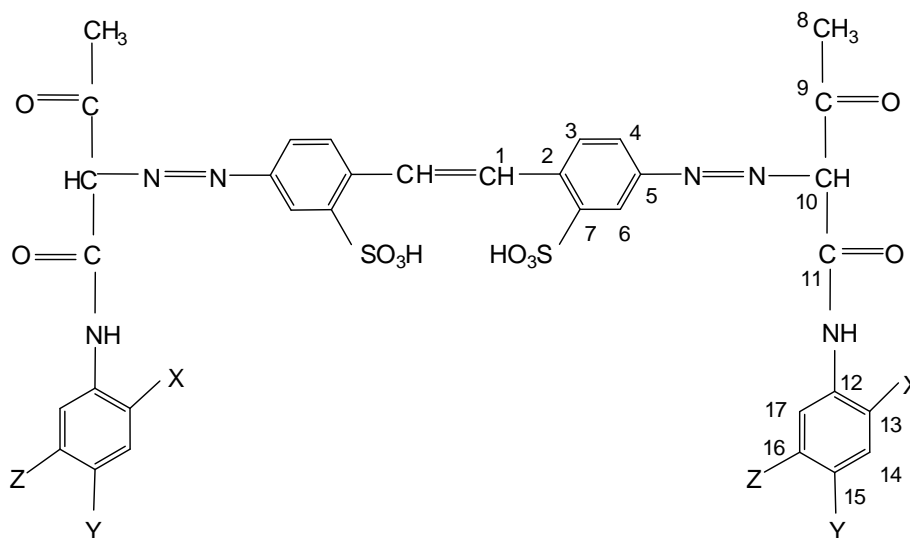
Rezultatele spectrometriei de absorbție IR obținute pentru coloranții azo-stilbenici (I-VI) sunt prezentate în tabelul II.5 iar spectrele corespunzătoare se regăsesc în anexa II.

Tabel II.5. Rezultatele spectrometriei de absorbție IR pentru coloranții azo-stilbenici (I-VI)

Nr. compus	Frecvențe caracteristice (cm ⁻¹) și intensități (fi - foarte intens; i - intens; m - mediu; s - slab)
I	3445i, 1660i, 1596i, 1557i, 1510fi, 1446i, 1361m, 1279i, 1182fi, 1077i, 1022i, 951m, 885s, 751m, 682s, 633i, 532m, 435s
II	3446i, 1655i, 1597i, 1509fi, 1361m, 1279i, 1187fi, 1079i, 1023i, 954m, 885s, 822m, 712s, 669s, 631i, 542m, 433s
III	3446i, 1771s, 1733s, 1653i, 1594s, 1540i, 1507fi, 1397i, 1361s, 1305m, 1211fi, 1079m, 1024i, 952m, 778s, 639i, 538m, 419m, 397m
IV	3446i, 1716s, 1654i, 1591i, 1507fi, 1443i, 1361m, 1283i, 1183fi, 1078m, 1022i, 952m, 748s, 699s, 632i, 535m, 419m, 397m
V	3446i, 1716s, 1653i, 1589s, 1557i, 1508fi, 1457i, 1361m, 1181i, 1078m, 1022m, 952s, 751m, 633i, 419m, 397m

VI	3446i, 1698fi, 1652i, 1558i, 1540i, 1507fi, 1362m, 1200fi, 1077m, 1021m, 950s, 634m, 397m
-----------	---

Spectrele de absorbție în domeniul infraroșu prezintă, în cazul coloranților cu structura azo-stilbenică sintetizați (**I-VI**) benzile corespunzătoare elementelor structurale caracteristice componentelor de diazotare și cuplare [141].



Schema II.4. Localizarea atomilor pentru spectrele ^1H și ^{13}C -RMN.

Analiza prin spectrometrie de rezonanță magnetică nucleară (^1H -RMN și ^{13}C -RMN)

Spectrul de rezonanță magnetică nucleară ^1H -RMN arată că protonii grupei stilbenice apar la o valoare a deplasării $\delta=7,57\text{-}7,61\text{ppm}$, fiind puțin influențați de modificările de structură din componenta de cuplare [140].

Protonii corespunzători grupelor carbonamidice se regăsesc la o valoare a deplasării $\delta=11,12\text{-}11,83\text{ppm}$, iar protonii restului imidazolonic din compusul (**VI**) sunt prezenți individualizați la o valoare a deplasării $\delta=10,73\text{ppm}$.

Pentru toți compușii deplasarea chimică corespunzătoare protonilor din componenta de diazotare este puțin influențată astfel că protonul (H-6) rezonază la $\delta= 8,11\text{-}8,15\text{ppm}$ fiind ușor de localizat în spectru ca singlet, iar protonii (H-3, H-4) se regăsesc în spectru în zona $\delta= 7,98\text{-}8,02$ respectiv $\delta= 7,72\text{-}7,75\text{ppm}$, ca dubleți caracteristici bine evidențiați.

Grupa metil din restul acetoacetanilidic are protonii situați la o valoare a deplasării $\delta=2,51\text{-}2,56\text{ppm}$, în timp ce în cazul compusului (**II**) protonii grupei metil din restul aromatic se situează la o valoare $\delta=2,28\text{ppm}$, iar pentru compusul (**V**) la $\delta=2,34\text{ppm}$. Pentru compusul (**III**) protonii din resturile metoxi rezonază la $\delta=3,86\text{ppm}$.

Existența semnalului pentru protonul H-10 la $\delta=3,40-3,51$ ppm, confirmă o structură de tip ceto-hidrazonică, mai degrabă decât una hidroxi-azoică.

Valoarea deplasării obținute pentru protonii H-14, H-17 (vezi schema **II.4**) confirmă natura substituentului prin efectul produs de acesta.

Protonii grupării sulfonice (SO₃H) prezenți în coloranții azo-stilbenici (**I-VI**) se regăsesc în spectru în zona $\delta=13,89-14,46$ ppm.

Rezultatele spectrometriei ¹H-RMN obținute pentru coloranții azo-stilbenici (**I-VI**) sunt prezentate în tabelul **II.6** iar spectrele corespunzătoare se regăsesc în anexa **III**.

Tabel II.6 Rezultatele spectrometriei ¹H-RMN pentru coloranții azo-stilbenici (**I-VI**)

Nr. compus	¹ H-RMN (CD ₃) ₂ SO- δ (ppm)
I	H ₁ ;H ₄ ;H ₁₃ ;H ₁₇ -7,53-7,82(m);H ₃ -8,01(d);H ₆ -8,12(s);H ₈ -2,53;H ₁₀ -3,43;H ₁₄ ;H ₁₆ , 7,39(t);H ₁₅ -7,16(t);NH ^{CO} -11,20;SO ₃ H-13,89
II	H ₁ ;H ₄ -7,50-7,80(m);H ₃ -8,02(d);H ₆ -8,15(s);H ₈ -2,55;H ₁₀ -3,51;CH ₃ -2,28;H ₁₄ ;H ₁₆ ;H ₁₇ - 6,91-7,20(m);NH ^{CO} -11,19;SO ₃ H-14,46
III	H ₁ -7,58(d);H ₃ -7,98(d);H ₄ -7,76(d);H ₆ -8,12(s);H ₈ -2,54;H ₁₀ -3,40;H ₁₄ -7,20(s); H ₁₇ -8,30(s);OCH ₃ -3,86;NH ^{CO} -11,79;SO ₃ H-14,38
IV	H ₁ -7,61(d);H ₃ -8,01(d);H ₄ -7,75(d);H ₆ -8,15(s);H ₈ -2,55;H ₁₀ -3,43 H ₁₄ -7,55(d);H ₁₅ -7,18(t);H ₁₆ -7,38(t);H ₁₇ -8,44(d);NH ^{CO} -11,83;SO ₃ H-14,35
V	H ₁ -7,60(d);H ₃ -8,01(d);H ₄ -7,75(d);H ₈ -2,56;H ₁₀ -3,40;H ₆ ;H ₁₇ -8,06-8,20(m);H ₁₄ ;H ₁₆ - 7,17-7,33(m);H ₁₅ -7,09(t);CH ₃ -2,34;NH ^{CO} -11,27;SO ₃ H-14,42
VI	H ₁ ;H ₄ -7,40-8,00(m);H ₃ -8,00(d);H ₆ -8,11(s);H ₈ -2,51;H ₁₀ -3,50;H ₁₃ ;H ₁₄ -6,80-7,20(m); NH ^{CO} -11,12;SO ₃ H-14,01;NHCONH-10,73

Astfel, semnalele corespunzătoare atomilor de carbon aparținând grupării carbonamidice sunt situate la o valoare a deplasării $\delta=161,15-162,15$ ppm, iar pentru compusul (**VI**) atomul de carbon al restului imidazolonic se situează la $\delta=155,66$ ppm.

În spectrele ¹³C-RMN ale compușilor studiați mai trebuie menționate deplasările atomilor de carbon ai grupeii stilbenice situate la o valoare $\delta=126,38-129,88$ ppm. În cazul compusului (**II**) deplasările atomilor de carbon ai grupelor metil din componenta de cuplare sunt situate la $\delta=17,63/20,49$ ppm, iar în cazul compusului (**V**) la $\delta=17,69$ ppm.

Pentru grupele metoxi din componenta de cuplare a compusului (**III**) valori apropiate ale deplasării sunt: $\delta=56,9/56,5$ ppm.

Spectrele ^{13}C -RMN ale compușilor sintetizați prezintă de asemenea drept caracteristică situarea atomilor de carbon carbonilici din restul acetyl al acetoacetanilidelor utilizate drept componentă de cuplare, la o valoare a deplasării $\delta=198,11-198,90\text{ppm}$ [139].

Astfel, semnalele corespunzătoare grupării metil aparținând restului acetyl al acetoacetanilidelor, sunt situate în intervalul $\delta=25,68-25,83\text{ppm}$. Deplasarea chimică a atomului de carbon purtător al grupării sulfonice din componenta centrală (acidul 4,4'-diaminostilben-2,2'-disulfonic) este cuprinsă în intervalul $\delta=139,47-140,03\text{ppm}$

Rezultatele spectrometriei ^{13}C -RMN obținute pentru coloranții azo-stilbenici (I-VI) sunt prezentate în tabelul II.7 iar spectrele corespunzătoare în figura II.1. a-f.

Tabel II.7 Rezultatele spectrometriei ^{13}C -RMN pentru coloranții azo-stilbenici (I-VI)

Nr. compus	^{13}C -RMN (CD_3) $_2\text{SO}$)- δ (ppm)
I	C ₁ =129,05;C ₂ =131,65;C ₃ =128,05;C ₄ =116,36;C ₅ =146,70;C ₆ =114,47 C ₇ =139,96;C ₈ =25,68;C ₉ =198,11;C ₁₁ =161,88;C ₁₂ =137,36;C ₁₃ =120,29;C ₁₄ =126,85 C ₁₅ =124,50;C ₁₆ =126,68;C ₁₇ =120,19
II	C ₁ =126,87;C ₂ =131,94;C ₃ =126,60;C ₄ =116,55;C ₅ =146,81;C ₆ =114,44 C ₇ =139,72;C ₈ =25,81;C ₉ =198,90;C ₁₁ =161,91;C ₁₂ =139,58;C ₁₃ =131,01;C ₁₄ =132,96; C ₁₅ =133,70;C ₁₆ =128,11;C ₁₇ =121,46;CH ₃ =17,63/20,49
III	C ₁ =126,86;C ₂ =132,01;C ₃ =126,73;C ₄ =116,44;C ₅ =146,78;C ₆ =116,44 C ₇ =139,47;C ₈ =25,83;C ₉ =198,52;C ₁₁ =161,74;C ₁₂ =125,52;C ₁₃ =142,78;C ₁₄ =113,05; C ₁₅ =115,29;C ₁₆ =148,24;C ₁₇ =105,07;OCH ₃ =56,9/56,5
IV	C ₁ =126,88;C ₂ =132,20;C ₃ =127,80;C ₄ =116,79;C ₅ =146,79;C ₆ =114,77 C ₇ =139,61;C ₈ =25,79;C ₉ =198,79;C ₁₁ =162,15;C ₁₂ =134,29;C ₁₃ =125,56;C ₁₄ =129,50; C ₁₅ =123,04;C ₁₆ =125,78;C ₁₇ =122,13
V	C ₁ =126,38;C ₂ =131,96;C ₃ =130,48;C ₄ =116,58;C ₅ =146,84;C ₆ =114,48 C ₇ =139,70;C ₈ =25,82;C ₉ =198,87;C ₁₁ =161,94;C ₁₂ =135,59;C ₁₃ =128,28;C ₁₄ =126,85; C ₁₅ =124,64;C ₁₆ =126,76;C ₁₇ =121,55;CH ₃ =17,69
VI	C ₁ =129,88;C ₂ =130,82;C ₃ =126,70;C ₄ =116,51;C ₅ =146,59;C ₆ =114,39 C ₇ =140,03;C ₈ =25,74;C ₉ =198,33;C ₁₁ =161,53;C ₁₂ =131,64;C ₁₃ =108,74;C ₁₄ =113,14; C ₁₅ =126,97;C ₁₆ =127,99;C ₁₇ =101,76;NHCONH=155,66

Deplasările chimice în cazul tuturor compușilor sintetizați și variația acestora în funcție de substituții greați susțin structurile propuse pentru compușii studiați [142].



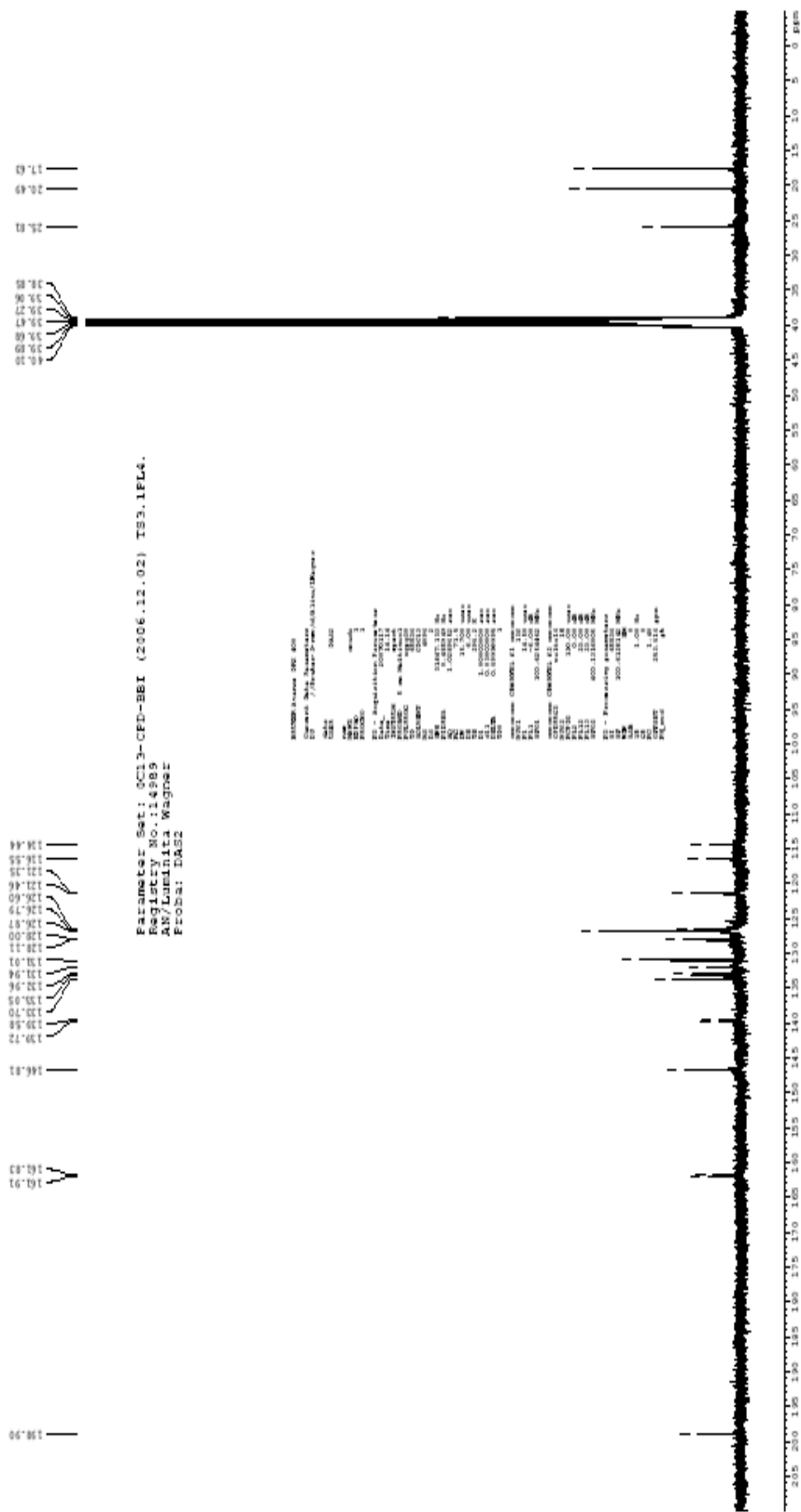


Fig. II.1 b Spectrul ^{13}C -RMN al colorantului azo-stilbenic (II)

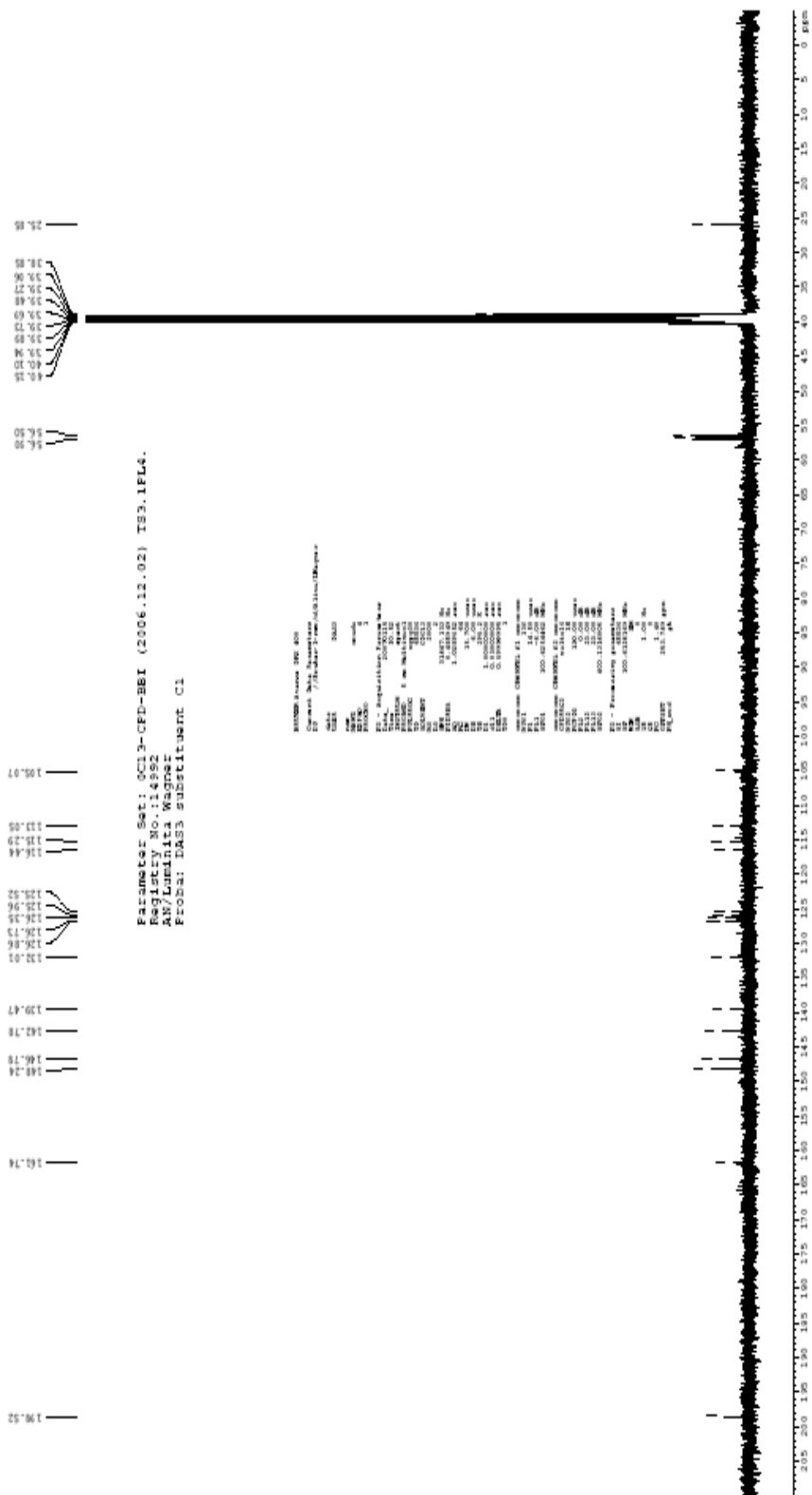


Fig. II.1 c Spectrul ¹³C-RMN al colorantului azo-stilbenic (III)

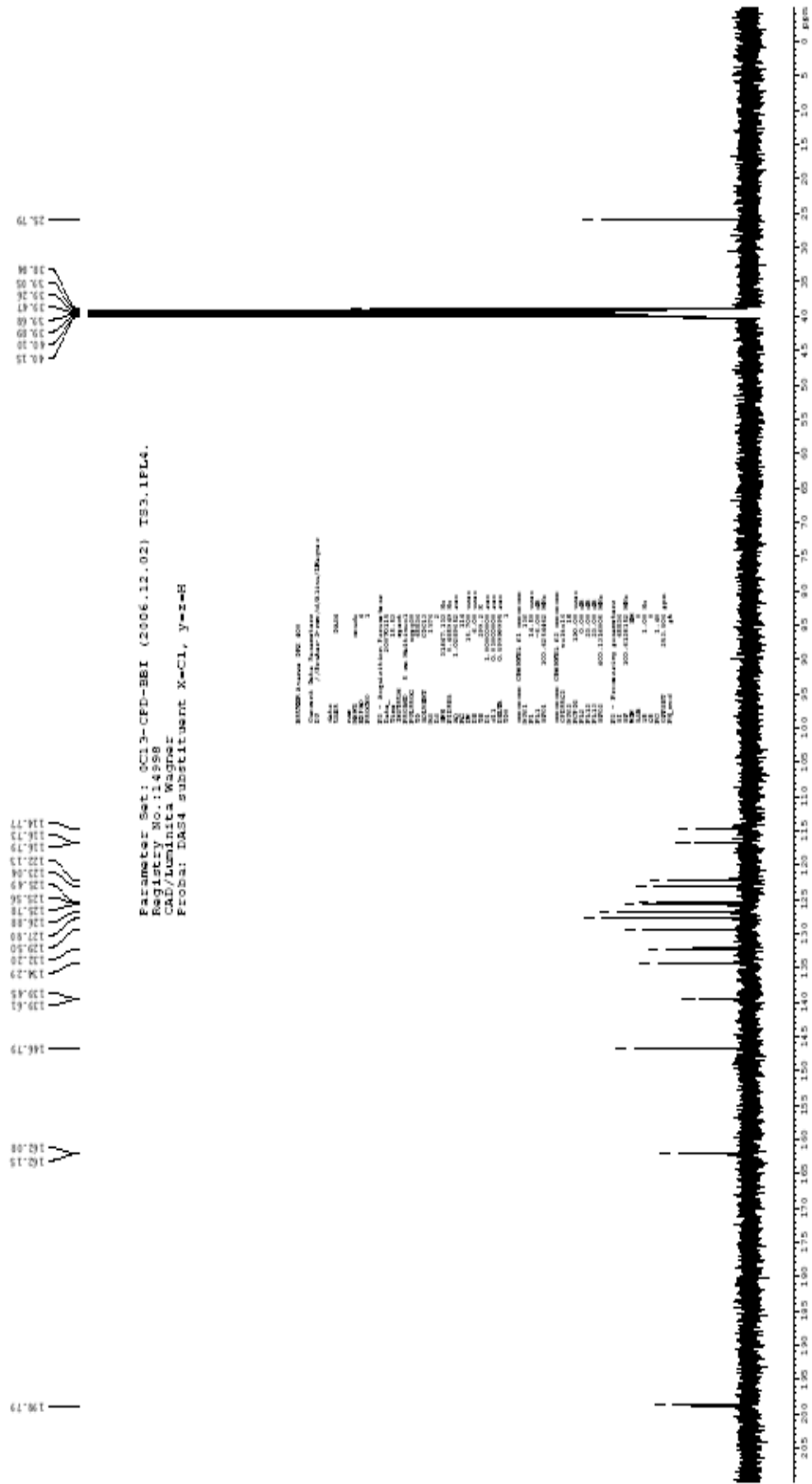


Fig. II.1 d Spectrul ^{13}C -RMN al colorantului azo-stilbenic (IV)

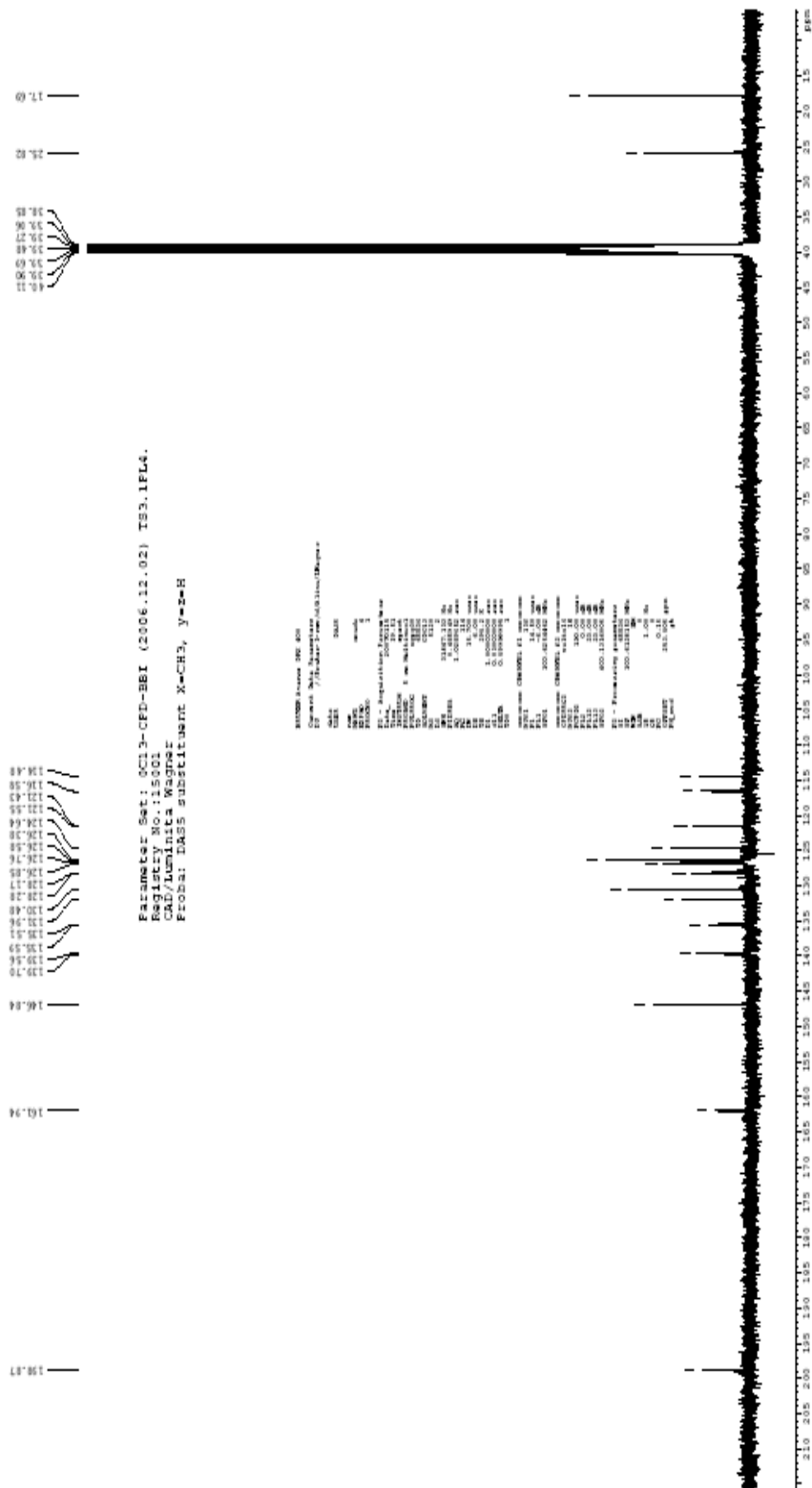


Fig. II.1 e Spectrul ¹³C-RMN al colorantului azo-stilbenic (V)

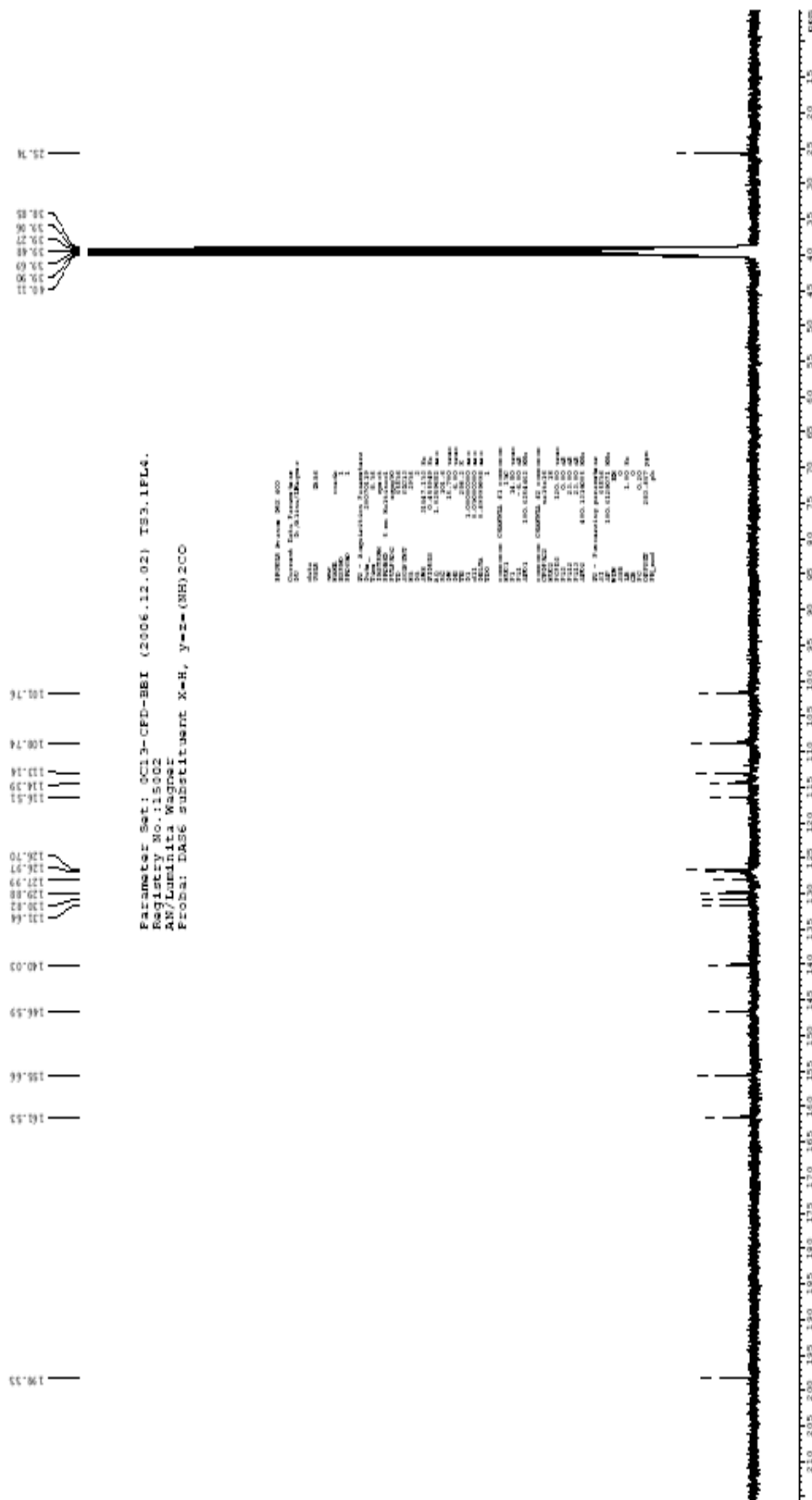


Fig. II.1 f Spectrul ¹³C-RMN al colorantului azo-stilbenic (VI)

În concluzie:

- au fost sintetizați un număr de 6 noi coloranți disazoici direcți nebenzidinic simetrici (**I-VI**) derivați ai acidului 4,4'-diaminostilben-2,2'-disulfonic având drept componente de cuplare diferite acetoacetanilide: acetoacetanilida; acetoacet-2,4-dimetilanilida; acetoacet-2,5-dimetoxi-4-cloranilida; acetoacet-2-cloranilida; acetoacet-2-metilanilida; 5-acetoacetilamino benzoimidazol-2-ona [146-147].

- a fost studiată influența diferiților parametri (raport molar între reactanți, pH-ul masei de reacție și temperatura în etapa de cuplare) asupra reacțiilor de sinteză a coloranților mai sus menționați stabilindu-se condițiile optime de obținere ale acestora.

- coloranții au fost purificați prin cromatografie pe coloană, separați prin cromatografie în strat subțire și caracterizați prin metode fizico-chimice, (analiză elementală, spectrometrie de absorbție UV-VIS, de absorbție IR și spectrometrie $^1\text{H-RMN}$ și $^{13}\text{C-RMN}$).

- rezultatele obținute în urma analizei elementale au arătat o bună concordanță între valorile obținute experimental și cele calculate teoretic.

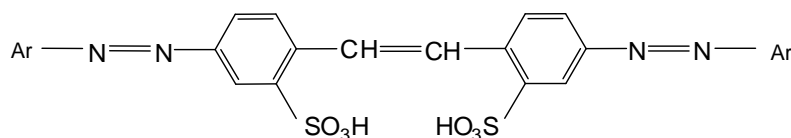
- benzile de absorbție în domeniul vizibil sunt înguste și suficient de simetrice pentru toți compușii, ceea ce prognozează posibilitatea obținerii prin aplicare a unor culori puțin diferite de cele așteptate conform lungimii de undă a maximumului de absorbție.

- prin efectuarea spectrelor de absorbție în domeniul infraroșu și a spectrelor de rezonanță magnetică nucleară ($^1\text{H-RMN}$ și $^{13}\text{C-RMN}$) au fost confirmate caracteristicile structurale ale noilor coloranți sintetizați (**I-VI**).

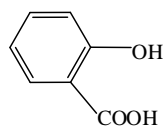
II.2 SINTEZA ȘI CARACTERIZAREA COLORANȚILOR STILBENDISAZOICI AVÂND DREPT COMPONENTE DE CUPLARE HIDROXIDERIVAȚI AROMATICI

REZULTATE ȘI DISCUȚII

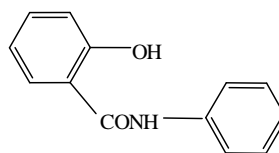
În scopul extinderii paletei coloristice a coloranților direcți azo-stilbenici au fost sintetizați o serie de 14 coloranți disazoici simetrici (**VII-XX**) dintre care 13 noi, cu structura generală prezentată în schema **II.5**. Metoda preparativă elaborată cuprinde: diazotarea acidului 4,4'-diaminostilben-2,2'-disulfonic și cuplarea azoică cu diferiți hidroxiderivați aromatici urmată de izolarea compușilor obținuți.



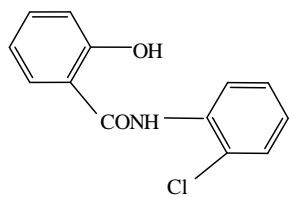
unde componentele de cuplare **Ar** pentru coloranții azo-stilbenici (**VII-XX**) sunt:



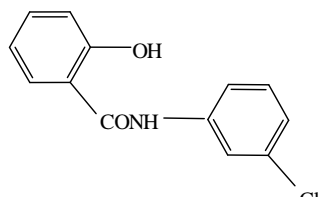
(VII)



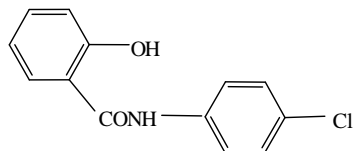
(VIII)



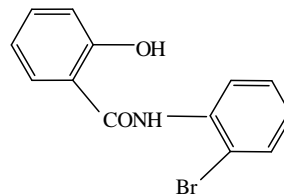
(IX)



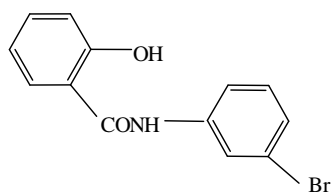
(X)



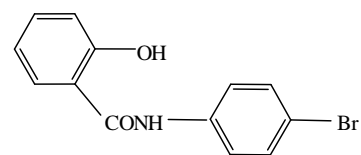
(XI)



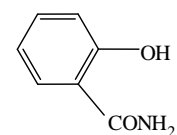
(XII)



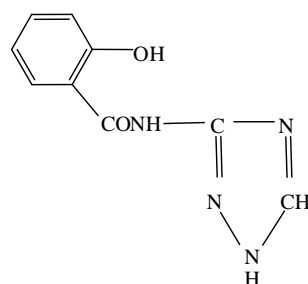
(XIII)



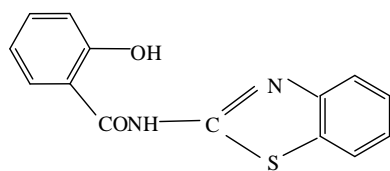
(XIV)



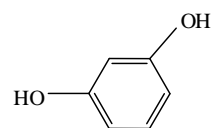
(XV)



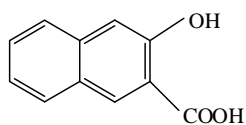
(XVI)



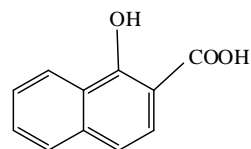
(XVII)



(XVIII)



(XIX)



(XX)

Schema II.5. Structura generală a coloranților direcți simetrici azo-stilbenici (VII-XX)

Pentru stabilirea unui protocol de lucru care să maximizeze produsul țintă cu formula generală de mai sus a fost necesară studierea influenței parametrilor aferenți.

În ceea ce privește reacția de diazotare, a fost aplicată metoda de diazotare directă pentru toți coloranții (VII-XX).

Prin urmare bis-diazotarea acidului 4,4'-diaminostilben-2,2'-disulfonic a fost efectuată prin introducerea nitritului de sodiu solid peste soluția apoasă de amină în prezență de acid mineral într-un interval de 15-20 de minute.

În acest caz hidroxidul de sodiu a fost utilizat la solubilizarea acidului 4,4'-diaminostilben-2,2'-disulfonic sub formă de sare de sodiu.

Pe tot timpul reacției de bis-diazotare a acidului 4,4'-diaminostilben-2,2'-disulfonic, temperatura nu a depășit valoarea de 5°C iar timpul necesar pentru perfectarea reacției a fost de 1 oră.

Utilizarea unui exces de acid clorhidric este necesară, în vederea împiedicării ionizării acidului azotos rezultat, și reacției de autocuplare, precum și a păstrării unui echilibru între amină și ionul aril amoniu.

Excesul de acid azotos existent în masă la terminarea diazotării poate fi dăunător uneori în etapa următoare de cuplare, acționând asupra componentei de cuplare prin nitrozarea sau diazotarea parțială a acestora. Distrugerea acestui exces s-a făcut cu uree.

În cazul sintezei acestei serii de coloranți, modul de desfășurare al diazotării aduce o noutate în comparație cu varianta clasică. Aceasta constă în separarea prin filtrare la vid a suspensiei sării de diazoniu obținute. Modul obișnuit de lucru nu prevede această etapă, reacția de cuplare având loc, în continuarea diazotării.

Izolarea sării de bis-diazoniu a acidului 4,4'-diaminostilben-2,2'-disulfonic a fost posibilă deoarece s-a observat o oarecare stabilitate a acesteia în timp. După filtrare, precipitatul obținut a fost spălat cu apă distilată pe filtru. Prin aceasta au fost înlăturate în mare parte sărurile de sodiu ce impurifică în mod normal sarea de diazoniu.

În ceea ce privește reacția de cuplare au fost variați următorii parametri:

- *temperatura în etapa de cuplare*
- *pH-ul masei de reacție în etapa de cuplare*

Este cunoscut faptul că fenolii și naftolii reacționează de preferință cu sărurile de diazoniu în mediu alcalin la un pH situat în jurul valorii de 9. Prin urmare toate reacțiile de cuplare ale azocomponentelor prezentate în schema **II.5** (acid salicilic, salicilamida, amide N-substituite ale acidului salicilic, 1,3-dihydroxibenzen, acid 2-hidroxi-3-naftoic, acid 1-hidroxi-2-naftoic) au avut loc la un pH situat în jurul valorii de 8-8,5.

Având în vedere substituenții deja existenți din nucleul acidului salicilic și toate considerentele legate de mecanismul azocuplării prezentate anterior, este cunoscut că acidul salicilic cuplează de regulă greu în poziția *para* față de gruparea hidroxilică.

Același comportament și reactivitate în reacțiile de cuplare este de așteptat și pentru derivații săi (salicilamida și amidele N-substituite ale acidului salicilic).

În ceea ce privește 1,3-dihidroxibenzolul, menținerea pH-ului la o valoare situată în jurul valorii de 8, conduce la cuplarea sării de diazoniu exclusiv în poziția 4 a acestuia (din cele trei posibile și anume 2, 4, 6) [4].

Este cunoscut faptul că, rezorcina, extrem de reactivă își modifică mecanismul de cuplare în funcție de valoarea pH-ului (*cataliză bazică generală și specifică*).

În conformitate cu regulile de cuplare cu azocompune din seria naftalinei, sărurile de diazoniu vor cupla (la o valoare de aproximativ 8 a pH-ului) în poziția 1 în cazul acidului 2-hidroxi-3-naftoic și respectiv în poziția 4 în cazul acidului 1-hidroxi-2-naftoic.

Reglarea pH-ului a fost efectuată cu ajutorul unei soluții de carbonat de sodiu adăugată prin picurare în timpul reacției de cuplare. În același scop după separarea diazotantei și resuspendarea ei în apă distilată, pH-ul acesteia a fost adus în jurul valorii de 3-4 prin adăugarea în picături a soluției menționate.

În ceea ce privește ordinea de adăugare a reactanților s-au efectuat mai multe încercări, în vederea obținerii unor coloranți lipsiți de componente de diazotare respectiv de cuplare nereacționate (puse în evidență prin reacția în picături).

Pentru fiecare colorant din seria mai sus amintită s-au aplicat atât varianta de adăugare a componentei de cuplare peste cea de diazotare cât și cea inversă.

Toți coloranții au fost sintetizați prin adăugarea componentei de cuplare peste sarea de diazoniu a acidului 4,4'-diaminostilben-2,2'-disulfonic excepție făcând coloranții (XV și XVIII). Pe tot parcursul reacțiilor de cuplare, 2-3 ore, temperatura a fost menținută în intervalul 8-10°C.

În cazul tuturor componentelor de cuplare, utilizarea unui exces de 3% față de componenta de diazotare a fost stabilit optim.

Coloranții au fost izolați din masa de reacție prin acidulare, (VIII-XVII; XIX; XX), și prin salefieră (VII).

Singurul compus care a precipitat la temperatura camerei a fost compusul (XVIII). Separarea tuturor coloranților (VII-XX) a fost efectuată prin filtrare.

Condițiile optime de cuplare stabilite pentru fiecare colorant azo-stilbenic (VII-XX) în parte sunt prezentate sinoptic în tabelul II.8.

Tabel II.8. Condițiile de cuplare pentru obținerea coloranților azo-stilbenici (VII-XX)

Nr. compus	Temp. de cuplare (°C)	pH	Timp de reacție (ore)	Randament (%)
VII	8±1	7,5-8,5	3	78
VIII	9±1	8-8,5	3	71
IX	10±1	8	2,5	80
X	10±1	8	2,5	81
XI	10±1	8	2,5	82
XII	8±1	8,5	2,5	80
XIII	8±1	8,5	2,5	81
XIV	8±1	8,5	2,5	82
XV	9±1	8-8,5	3	76
XVI	10±1	8	3	71
XVII	10±1	8	3	71
XVIII	10±1	8	2	75
XIX	8±1	8,5	3	77
XX	8±1	8,5	3	78

S-au efectuat numeroase încercări de purificare a coloranților azo-stilbenici sintetizați anterior utilizând atât solvenți diferiți cât și amestecuri ale acestora. Astfel au fost efectuate recristalizări din: apă distilată, metanol absolut, metanol apos (50%), etanol absolut.

De asemenea toată seria de coloranții bruți a fost recristalizată din amestec de dioxan:piridină (99:1); (99:2); (99:5)(v/v). Amestecul a fost ales pornind de la ideea că produsul de bază este greu solubil în dioxan și solubil în piridină la cald. Cele mai bune rezultate au fost obținute din amestec dioxan:piridină (90:10).

Controlul purității compușilor sintetizați s-a efectuat prin cromatografie pe strat subțire. Metoda de separare optimă pentru coloranții prezentați în tabelul anterior este cea unidimensională ascendentă pe plăci de sticlă având ca fază staționară silicagel 60F-254 (Merck).

Coloranții au fost cromatografiați utilizând sisteme de eluție specifice coloranților direcți: isopropanol:metil-etil-cetonă:NH₃25%; metil-etil-cetonă: NH₃25%:metanol, în diferite rapoarte volumetriche precum și alte sisteme de eluție: NH₃25%:metanol; piridină: NH₃25%:metanol; cloroform: NH₃25%:metanol, etc. [148]. Valorile (R_f) obținute precum și sistemele de eluție optime găsite sunt prezentate pentru coloranții azo-stilbenici (VII-XIII) în tabelul II.9 fiind indicat deasemenea și solventul din care s-a făcut aplicarea probelor.

Tabel II.9 Valorile R_f și sistemele de eluție pentru coloranții azo-stilbenici (**VII-XX**)

Nr.compus	Sistem de eluție (v:v:v)	R_f (solvent pentru solubilizarea probelor)
VII	isopropanol:metil-etil cetonă:NH ₃ 25% (5:3:4)	0,7 apă
VIII	isopropanol:metil-etil cetonă:NH ₃ 25% (4:3:4)	0,75 etanol
IX	isopropanol:metil-etil cetonă:NH ₃ 25% (4:3:5)	0,72 metanol
X	isopropanol:metil-etil cetonă:NH ₃ 25% (4:3:5,5)	0,74 metanol
XI	isopropanol:metil-etil cetonă:NH ₃ 25% (4:3:4,5)	0,62 metanol
XII	isopropanol:metil-etil cetonă:NH ₃ 25% (4:3:6)	0,74 metanol
XIII	isopropanol:metil-etil cetonă:NH ₃ 25% (4:3:6)	0,78 metanol
XIV	isopropanol:metil-etil cetonă:NH ₃ 25% (4:3:6)	0,75 metanol
XV	metil-etil-cetonă:NH ₃ 25%:metanol (6:3:2)	0,77 metanol
XVI	metil-etil-cetonă:NH ₃ 25%:metanol (7:6:4)	0,76 metanol
XVII	cloroform:NH ₃ 25%:metanol (1:3:2)	0,81 metanol
XVIII	metil-etil-cetonă:NH ₃ 25%:metanol (3:2:3)	0,79 metanol
XIX	metil-etil-cetonă:NH ₃ 25%:metanol (5:3:1)	0,69 apă
XX	metil-etil-cetonă:NH ₃ 25%:metanol (2:2:1)	0,77 apă

Separarea coloranților azo stilbenici (**VIII-XV; XVIII; XX**) a fost efectuată de asemenea și prin tehnica cromatografiei de lichide de înaltă presiune.

Pentru separarea produșilor s-a utilizat drept fază staționară o coloană Nucleosil C18 cu fază inversă iar pentru alegerea fazei mobile optime s-au efectuat încercări cu o serie de solvenți respectiv amestecuri ale acestora cum ar fi : metanol absolut 100%, soluție apoasă de metanol absolut (90%, 85%) cu și fără adaos de 1% acid formic etc. [149-152].

Debitul fazei mobile a fost variat în intervalul 0,75-1 mL/min.

Cele mai bune rezultate s-au obținut utilizând ca fază mobilă metanol apos (83%) cu un debit de 0,9-1 mL/min, în regim de eluție isocratică.

Prin această metodă s-a determinat calitativ formarea compușilor azo-stilbenici, punându-se în evidență prezența în cromatograme a unui pic majoritar care indică produsul principal de reacție.

Pentru picurile corespunzătoare fiecărui colorant azo-stilbenic s-au citit valorile timpului de retenție (t_R) și ale lungimilor de undă corespunzătoare (λ_{nm}).

Acestea sunt prezentate în tabelul **II.10**, iar cromatogramele corespunzătoare în fig **II.2 a-j**

Tabel II.10. Timpul de retenție și lungimea de undă pentru coloranții azo-stilbenici (**VIII-XV; XVIII; XX**)

Nr. compus	t_R (min)	λ (nm)
VIII	1,29	425
IX	1,43	458
X	1,40	466
XI	1,55	471
XII	1,36	468
XIII	1,43	462
XIV	1,44	468
XV	1,52	406
XVIII	1,28	478
XX	1,65	453

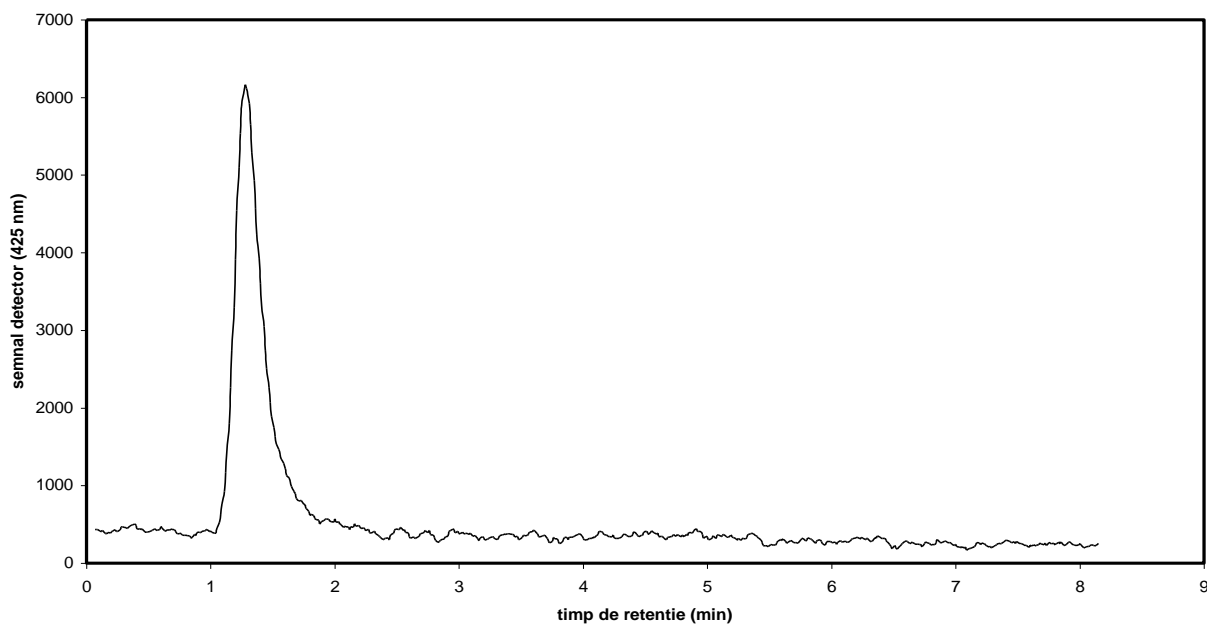


Fig.II.2 a Cromatograma colorantului (VIII) ($\lambda=425\text{nm}$) eluție isocratică, metanol apos 83%, $v=1\text{mL/min}$

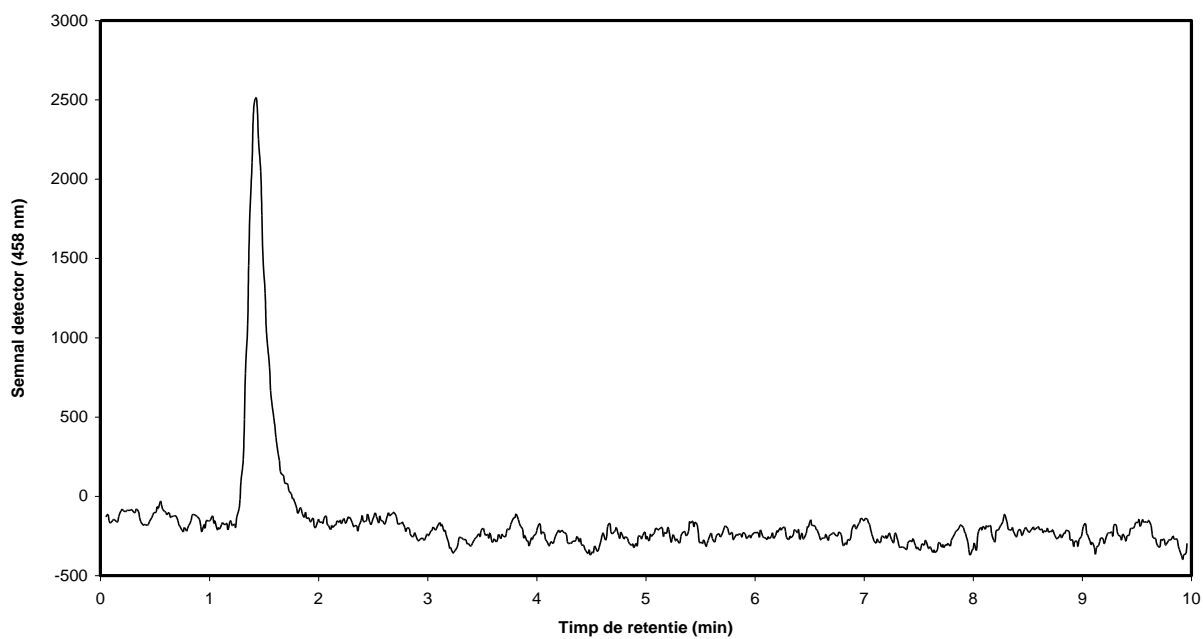


Fig.II.2 b Cromatograma colorantului (IX) ($\lambda=458\text{nm}$) eluție isocratică, metanol apos 83%, $v=0,9\text{mL/min}$

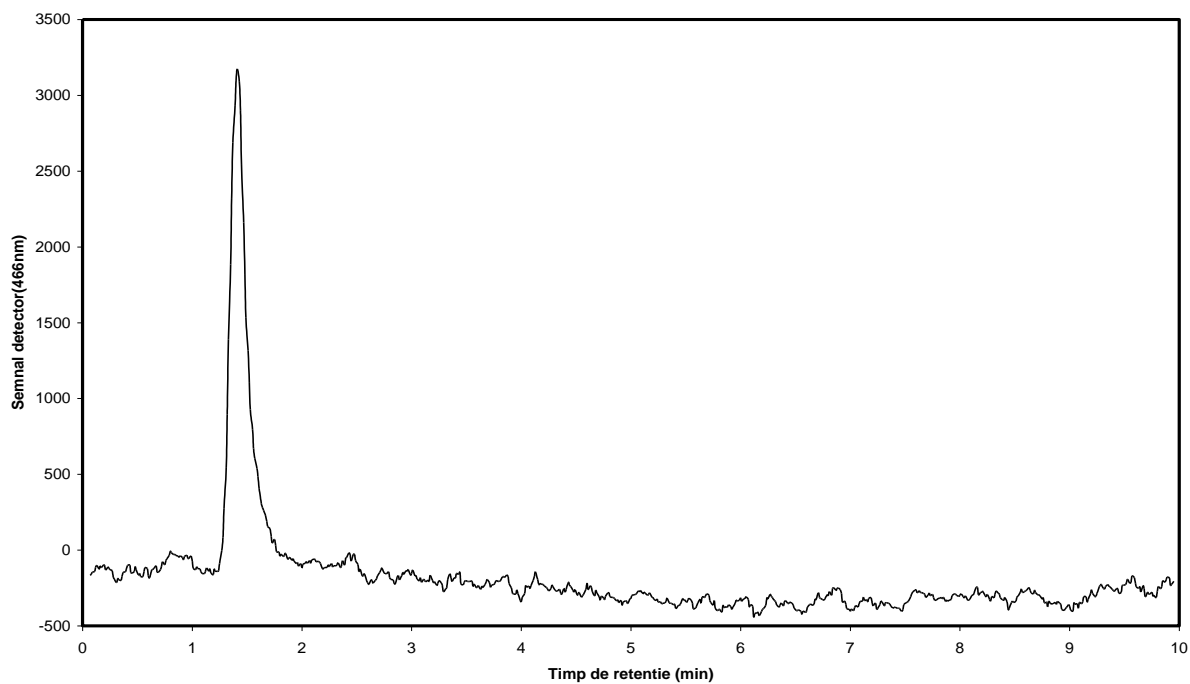


Fig.II.2 c Cromatograma colorantului (X) ($\lambda=466\text{nm}$) eluție isocratică, metanol apos 83%, $v=0.9\text{mL/min}$

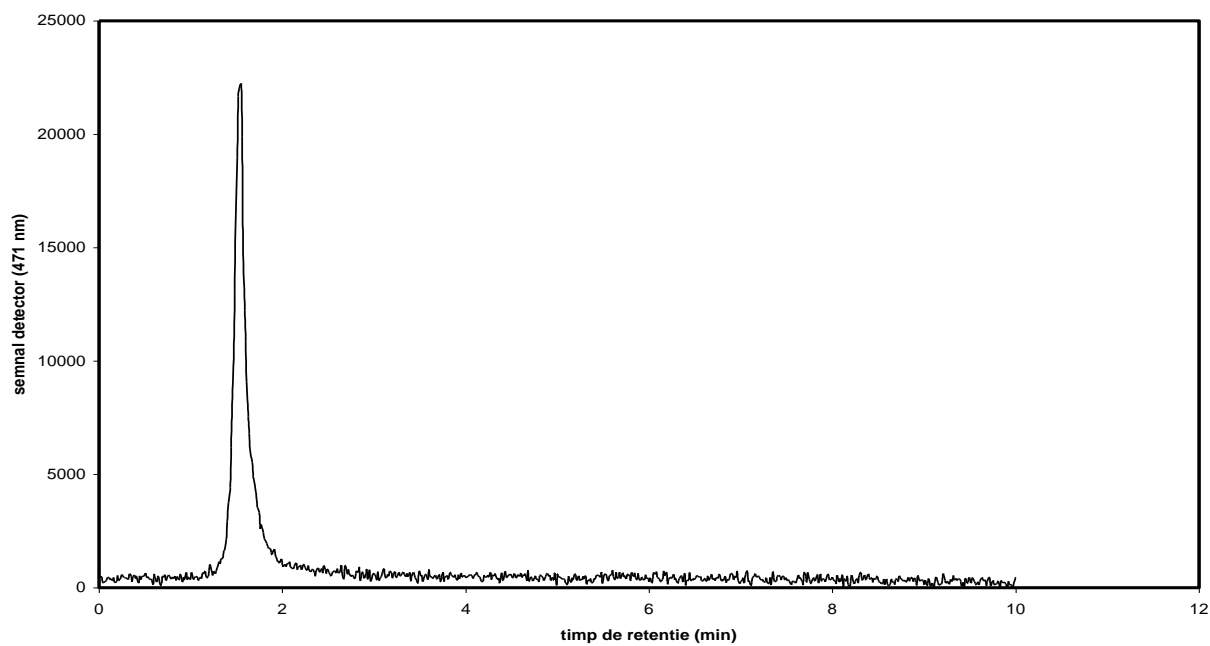


Fig.II.2 d Cromatograma colorantului (XI) ($\lambda=471\text{nm}$) eluție isocratică, metanol apos 83%, $v=1\text{mL/min}$

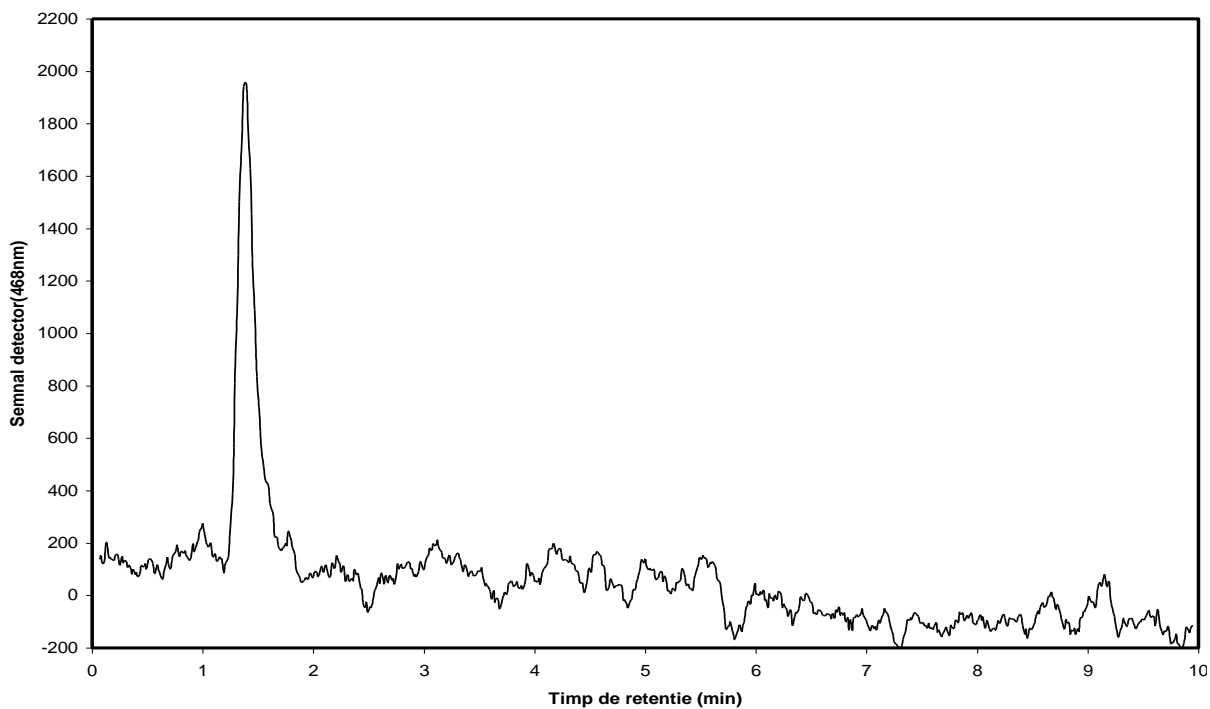


Fig.II.2 e Cromatograma colorantului (XII) ($\lambda=468\text{nm}$) eluție isocratică, metanol apos 83% , $v=0,9\text{mL/min}$

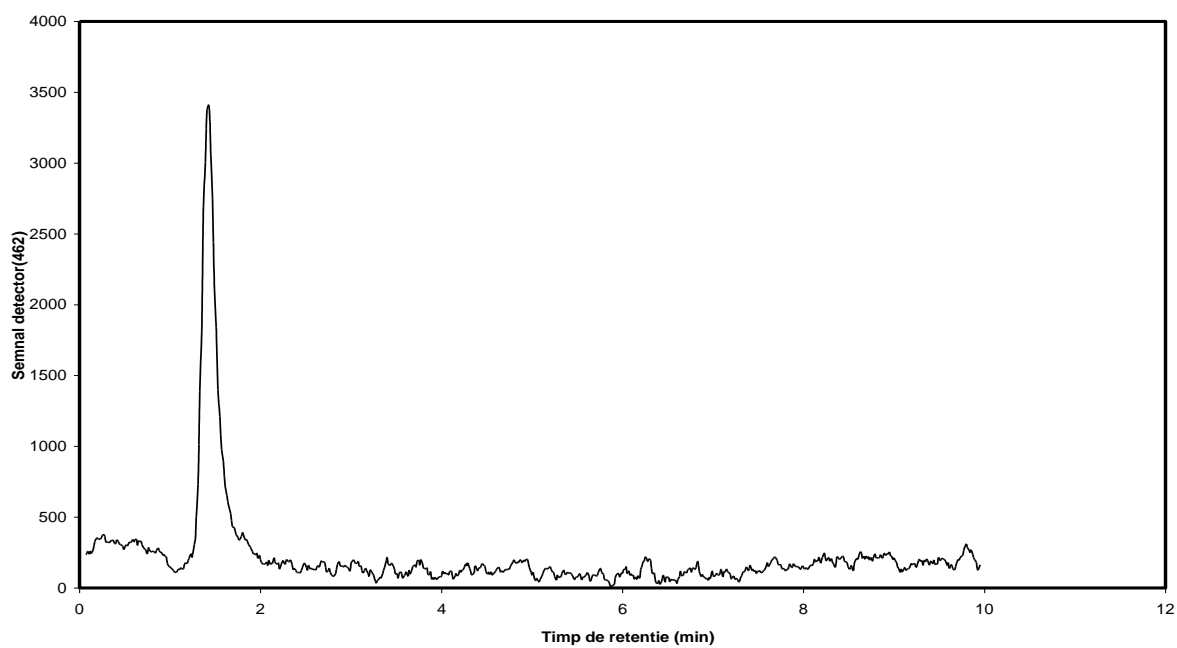


Fig.II.2 f Cromatograma colorantului (XIII) ($\lambda=462\text{nm}$) eluție isocratică, metanol apos 83%,
 $v=0,9\text{mL/min}$

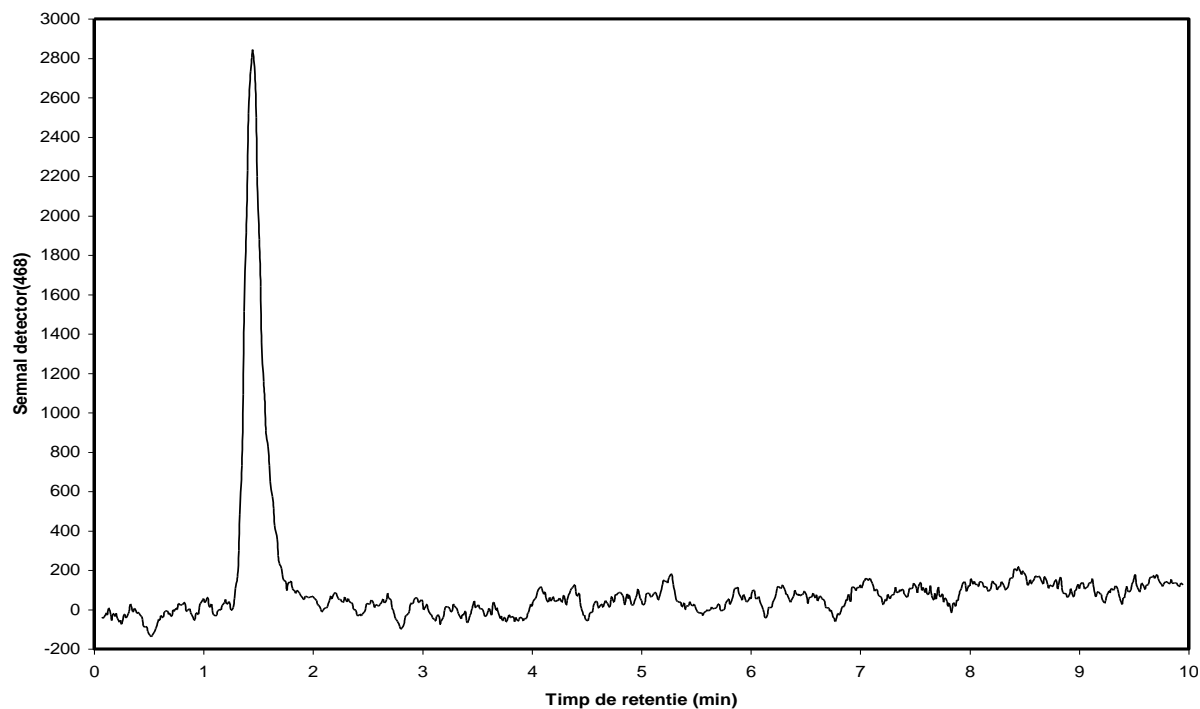


Fig.II.2 g Cromatograma colorantului (XIV) ($\lambda=468\text{nm}$) eluție isocratică, metanol apos 83%, $v=0,9\text{mL/min}$

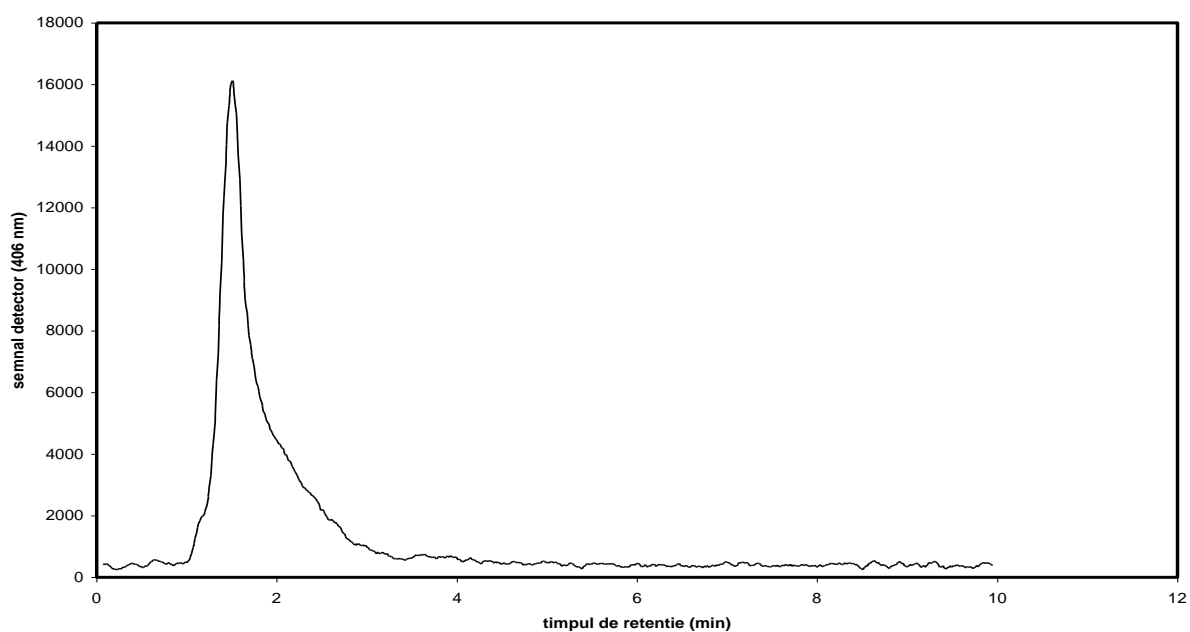


Fig.II.2 h Cromatograma colorantului (XV) ($\lambda=406\text{nm}$) eluție isocratică, metanol apos 83%, $v=1\text{mL/min}$

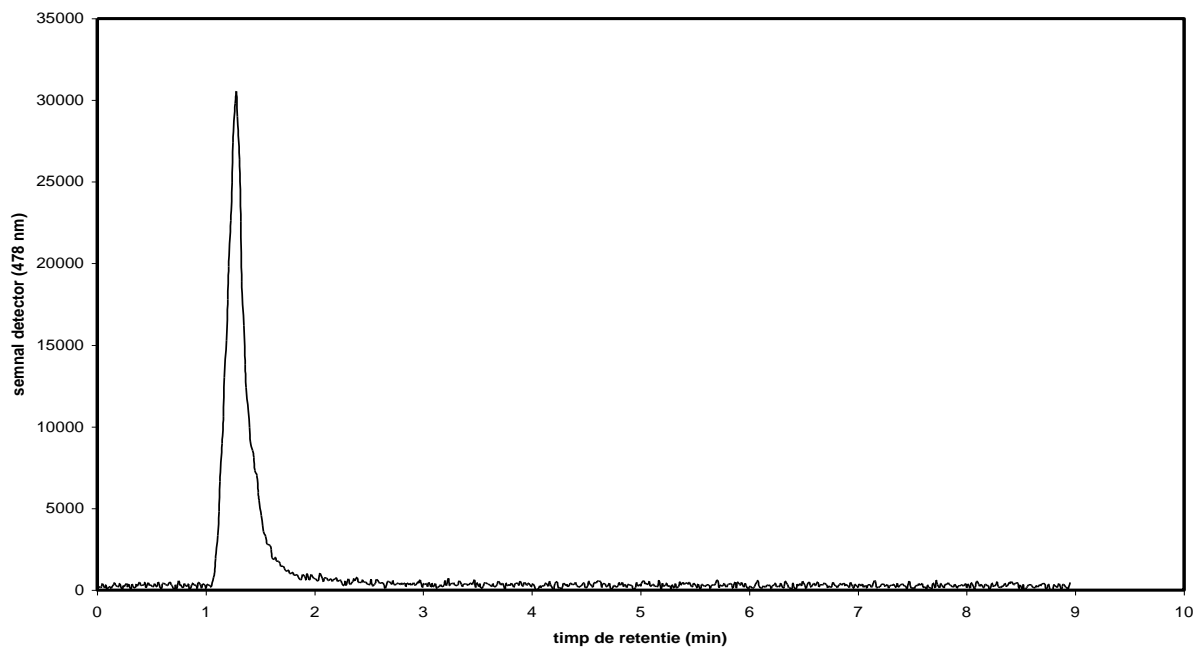


Fig.II.2 i Cromatograma colorantului (XVIII) ($\lambda=478\text{nm}$) eluție isocratică, metanol apos 83%, $v=1\text{mL/min}$

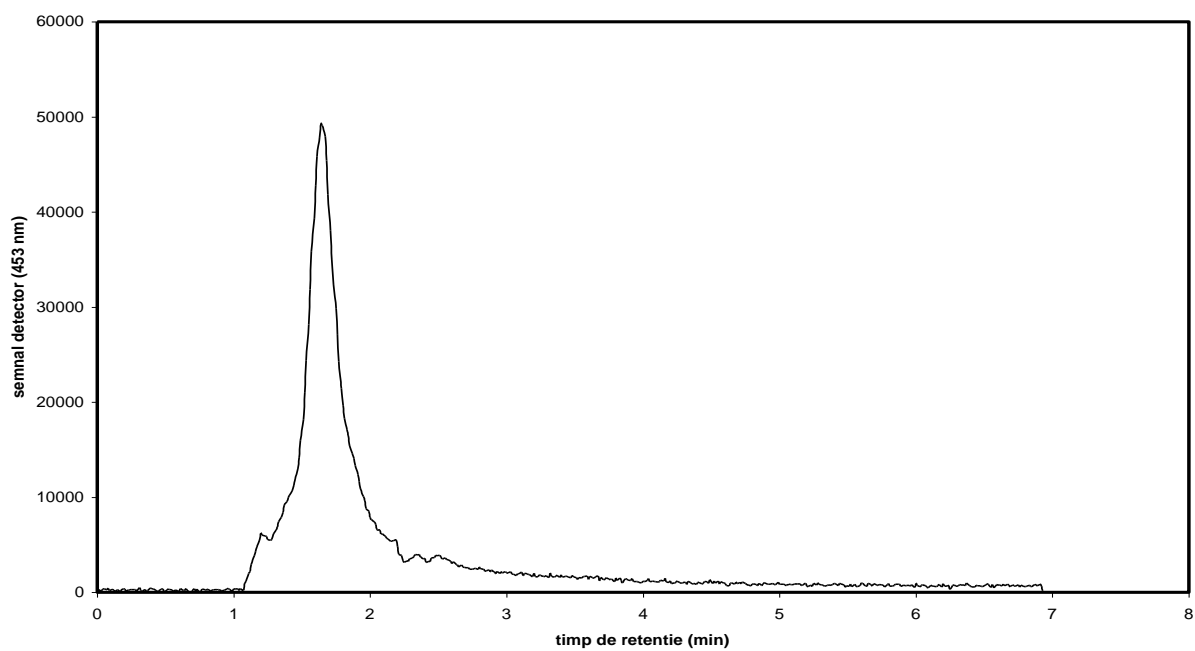


Fig.II.2 j Cromatograma colorantului (XX) ($\lambda=453\text{nm}$) eluție isocratică, metanol apos 83%, $v=1\text{mL/min}$

Analiza prin spectrometrie de absorbție în vizibil

Din analiza rezultatelor spectrometriei de absorbție VIS se poate observa existența în cazul tuturor coloranților sintetizați (**VII-XX**) a unui maxim de absorbție din domeniul vizibil situat la $\lambda_{\max} = 401-541\text{nm}$.

Este cunoscut faptul că în benzile de absorbție din domeniul vizibil sunt contopite benzile tuturor tipurilor de tranziție electronice ($\sigma \rightarrow \sigma^*$; $\pi \rightarrow \pi^*$; $n \rightarrow \pi^*$; $n \rightarrow \sigma^*$), în timp ce în domeniul ultraviolet fiecare bandă de absorbție corespunde unui anumit tip de tranziție.

Compușii (**IX-XIV**) prezintă maximele de absorbție cuprinse între 458-470nm, diferențele extrem de mici înregistrate, reliefând structurile foarte apropiate ale acestora.

Coloranții (**VII; VIII; XV; XVII**) absorb în regiunea violetă (401-425nm), fapt confirmat de culoarea lor complementară, galben-verde.

Privitor la compușii (**XVI; XVIII; XX**) aceștia se situează în regiunea galbenă, datorită absorbției lor în domeniul albastru (454-478nm).

Sarea de diazoniu a acidului 4,4'-diaminostilben-2,2'-disulfonic cuplează cu cei doi acizi hidroxinaftoici (acidul 2-hidroxi-3-naftoic și acidul 1-hidroxi-2-naftoic) în poziții de cuplare diferite, de regulile generale de cuplare ale azocomponentelor din seria naftalinei, conducând la coloranți diferiți cu maxime de absorbție situat unul în regiunea verde la 541nm (**XIX**) și unul în regiunea regiunea albastră la 454nm (**XX**).

Coloranții stilbendisazoici sintetizați (**VIII-XV; XIX; XX**) au fost analizați prin două metode complet diferite, optică și cromatografică și anume: spectrometria de absorbție VIS și cromatografia de lichide de înaltă presiune.

Comparând pentru coloranții menționați valorile lungimilor de undă înregistrate prin cele două metode, se observă existența unor diferențe ne semnificative, fapt ce sprijină ideea obținerii în urma sintezelor efectuate a unor produși unitari.

Rezultatele spectrometriei de absorbție VIS efectuate în soluție apoasă de metanol (50%) sunt prezentate în tabelul **II.11.a** pentru coloranții azo-stilbenici (**VII-XIII**) și respectiv în tabelul **II.11.b** pentru coloranții azo-stilbenici (**XIV-XX**).

Tabel II. 11a. Rezultatele spectrometriei de absorbție VIS pentru coloranții azo-stilbenici (**XIV-XIII**)

Nr.compus	VII	VIII	IX	X	XI	XII	XIII
Masa molară (g/mol)	756,54	862,80	931,68	931,68	931,68	1020,58	1020,58
C x 10 ⁵ (mol/l)	9,70	3,43	3,20	3,20	2,68	2,46	2,45
$\lambda_{\max}(\text{nm})$	408,3	425,4	458,4	466,8	470,5	470,4	462,0
lg ϵ_{\max} .	3,91	4,53	4,36	4,45	4,49	4,59	4,61

Tabel II. 11b. Rezultatele spectrometriei de absorbție VIS pentru coloranții azo-stilbenici (XIV-XX)

Nr.compus	XIV	XV	XVI	XVII	XVIII	XIX	XX
Masa molară (g/mol)	1020,58	710,62	844,33	976,96	656,56	812,69	812,69
C x 10 ⁵ (mol/l)	2,74	3,83	3,08	4,09	3,58	4,33	2,75
$\lambda_{\max}(\text{nm})$	468,0	401,4	457,2	420,1	478,0	541,2	454,4
Ig ϵ_{\max} .	4,62	4,44	4,47	4,29	4,52	4,34	4,48

Analiza prin spectrometrie de absorbție în infraroșu

Benzile caracteristice largi și intense, situate la 3197-3440cm⁻¹ sunt datorate suprapunerii celor corespunzătoare oscilației de valență a atomilor de hidrogen din gruparea amino secundară, cu benzile vibrației de valență a atomilor de hidrogen aromatici și cu benzile corespunzătoare vibrației de valență a legăturii grupei hidroxil asociate prin legături de hidrogen [153].

În cazul tuturor coloranților a căror componente de cuplare sunt amide N-substituite ale acidului salicilic (VIII-XIV; XVII) banda de la 1630-1673cm⁻¹ corespunde vibrației de valență a grupei carbonilice (banda amidică I).

Banda amidă II ($\delta_{\text{NH}} + \nu_{\text{CN}}$) se situează la 1534-1552cm⁻¹, în timp ce banda amidă III ($\nu_{\text{CN}} + \delta_{\text{NH}}$) se regăsește la 1228-1288cm⁻¹

Banda datorată vibrației de deformare (γ_{NH}) pentru gruparea amidică se situează la 678-700cm⁻¹ Este de asemenea de menționat faptul că în spectrele IR ale compușilor studiați apare și banda caracteristică a vibrației de valență asimetrică corespunzătoare grupei sulfonice ($\nu_{\text{SO}_2}^{\text{as}}$) la 1168-1260cm⁻¹, cea simetrică ($\nu_{\text{SO}_2}^{\text{s}}$) situându-se la 1024-1077cm⁻¹.

În ceea ce privește colorantul (XV), gruparea amidică primară a salicilamidei din componenta de cuplare este pusă în evidență prin: banda amidică I ($\nu_{\text{C=O}}$) situată la 1663cm⁻¹; banda amidică II (δ_{NH}) situată la 1628cm⁻¹, precum și prin benzile caracteristice vibrației de valență a legăturii NH: simetrică ($\nu_{\text{NH}}^{\text{s}}$) de la 3150cm⁻¹ și asimetrică ($\nu_{\text{NH}}^{\text{as}}$) de la 3265cm⁻¹.

Prezența heterociclului benzotiazolic din componeta de cuplare a compusului (XVII), este susținută de benzile de deformare în plan (δ_{S_k}) situate la 1534cm⁻¹, 1446cm⁻¹ și în afara planului (γ_{S_k}) la 709cm⁻¹

Apar de asemenea pentru toți coloranții sintetizați și benzile caracteristice grupării OH fenolice: ($\nu_{\text{C-O}}$) fenolic; între 1168-1233cm⁻¹ benzi în general intense; (δ_{OH}) fenolic între 1300-1400cm⁻¹, benzi mai largi. În cazul compusului (XVIII) este prezentă și banda largă corespunzătoare vibrației de deformare în afara planului (γ_{OH}) situată la 634cm⁻¹ [140].

În cazul colorantului (VII) prezența grupării carboxilice este confirmată de vibrația de valență a grupării carbonilice ($\nu_{\text{C=O}}$) situată la 1667cm⁻¹ (dimer) și de cea de la 1595cm⁻¹; 1384cm⁻¹ (sare de sodiu). În spectru este prezentă de asemenea vibrația de deformare în afara

planului a gupării hidroxilice (γOH) aflată la 913cm^{-1} . Pentru cei doi coloranți înrudiți (**XIX**; **XX**) gruparea carboxilat este pusă în evidență prin vibrația de valență a grupării carbonilice ($\nu\text{C=O}^{\text{as}}$) asimetrică, situată în spectru în intervalul $1616\text{-}1633\text{cm}^{-1}$ și cea simetrică ($\nu\text{C=O}^{\text{s}}$) în intervalul $1387\text{-}1389\text{cm}^{-1}$

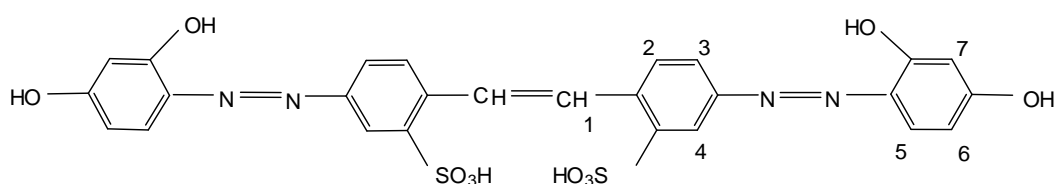
Rezultatele spectrometriei de absorbție IR obținute pentru coloranții azo-stilbenici (**VII-XV**, **XVII-XX**) sunt prezentate în tabelul **II.12** iar spectrele corespunzătoare se regăsesc în anexa **II**

Tabel II.12. Rezultatele spectrometriei de absorbție IR pentru coloranții azo-stilbenici (**VII-XV**; **XVII-XX**)

Nr. compus	Frecvențe caracteristice (cm^{-1}) și intensități (fi - foarte intens; i - intens; m - mediu; m-i-mediu-intens; s-m-slab mediu; s - slab; u – umăr; fl-foarte larg, l-larg)
VII	3431i, 3345i, 3260u,i, 3210u,i, 3061u,m, 2992u,s, 2947u,s 1667fi, 1623fi, 1595u,i, 1486m-i, 1455i, 1384m, 1322s, 1296u,s, 1270m, 1187i,l, 1075m, 913s-m,l, 835m, 667u,s, 635m-i, 438s-m
VIII	3432i, 3300u, 1630m-i, 1592i, 1552i, 1496m-i, 1344m,l, 1288s-m, 1184i, 1072m-i, 910s, 830m, 760m, 715m, 632m,l, 552m, 488m-i
IX	3416s,l, 3353s, 3277s, 3065m, 1635i, 1590i, 1543i, 1447m, 1369s, 1319m, 1228m, 1188m, 1075s-m, 900s, 829s, 744i, 693m-i, 533s-m, 439s
X	3412u,s,l, 3304s-m,l, 3059s-m,l, 1639u,m, 1589i, 1539m-i, 1481m, 1362s, 1300s-m, 1231u-m, 1188i,l, 1072m-i, 912s, 832s, 776s, 747s, 679m, 554s-m,l, 449s
XI	3432i,l, 3260u,s-m, 1635i, 1618i, 1595i, 1550m-i,l, 1496i, 1465s, 1336m,l, 1240u,m, 1192i,l, 1076m-i, 824i, 700s, 520m, 485s, 476s, 420s
XII	3393m,l, 3274m,l, 3061m-i,l, 1636m-i, 1608u,m, 1585i, 1536fi, 1510u,m, 1491u,s-m, 1456s-m, 1434m, 1362s, 1314m,l, 1231u,m, 1187fi,l, 1072m, 901s, 830s-m, 744i, 682m, 558m, 528s, 442s
XIII	3413u,s-m,l, 3302m,l, 3050m,l, 1639u,m, 1585i, 1534i, 1478m, 1417s-m, 1363s, 1330s, 1230u,m, 1188i,l, 1071m, 905s, 831s-m, 774m, 746s-m, 678m, 547m,l, 476s, 441s, 415s
XIV	3414u,m,l, 3307m,l, 3051m,l, 1632u,i, 1606i, 1587u,i, 1545i, 1487i, 1389u,m, 1332m,l, 1228u,i, 1185i,l, 1071m-i, 903s, 820m, 717s, 680s, 558s, 501s-m, 449fs, 411s

Nr. compus	Frecvențe caracteristice (cm ⁻¹) și intensități (fi - foarte intens; i - intens; m - mediu; m-i-mediu-intens; s-m-slab mediu; s - slab; u – umăr; fl-foarte larg, l-larg)
XV	3440i,l, 3265u,m, 3150u,m, 3100u,s, 1663i, 1628i, 1600u,m-i, 1578u,s-m, 1492m, 1472m, 1444m, 1280u,m, 1260u,m, 1192i,l, 1090i, 1024i, 903s, 836s-m, 680m, 640i, 544m, 525s-m, 488i, 480m
XVII	3431m,l, 3228m, 3197m, 3059m, 1673i, 1604m-i, 1534i, 1496m, 1473m, 1446i, 1356m-l, 1309i, 1286m-i, 1233m-i, 1208m, 1156m, 1122m, 1098s-m, 1065s, 870m, 784s, 754i, 730m, 709m, 686m-i, 509m, 428s
XVIII	3427i,l, 3255u,m, 3066u,s, 1616i, 1485i, 1457u,s, 1410s, 1325s, 1191i, 1077m, 1024m, 826s-m, 710m, 634m-i,l, 469s, 436s
XIX	3432i,l, 3045u,m, 1616i, 1576u,m, 1564u,m, 1522m-i, 1480i, 1448i, 1384m, 1188fi,l, 1160i, 1012i, 1096m, 860s, 824s-m
XX	3423i,l, 3055m, 3008u,m, 1633i, 1576i, 1526s, 1504s, 1428m-i, 1387m-i, 1307fi, 1255fi, 1208fi,l, 1169fi, 1093s-m, 1067i, 1022i, 859s, 794s, 763i, 627i, 462s, 446s

Spectrele de absorbție în domeniul infraroșu prezintă, în cazul coloranților cu structura azo-stilbenică sintetizați (**VII-XV; XVII-XX**) benzile corespunzătoare elementelor structurale caracteristice componentelor de diazotare și cuplare.



Schema II.6 Localizarea atomilor pentru spectrul ¹H-RMN al colorantului azo-stilbenic (**XVIII**)

Analiza prin spectrometrie de rezonanță magnetică nucleară (¹H-RMN și ¹³C-RMN)

Evidențierea în spectrul ¹H-RMN al compusului (**XVIII**) a dubleților aferenți H₅₋₇,56ppm și H₆,19ppm și a singletului corespunzător H₇,5,75ppm (vezi schema **II.6**) indică, o unică poziție de cuplare (poziția 4) a sării de bis-diazoniu a acidului 4,4'-diaminostilben-2,2'-disulfonic cu 1,3-dihidroxibenzenul (rezorcina).

Este cunoscut faptul că aceasta este o componentă de cuplare deosebit de reactivă, cu o mare tendință de formare a dis și tris-azoderivaților.

Rezultatele spectrometriei ¹H-RMN obținute pentru colorantul azo-stilbenic (**XVIII**) sunt prezentate în tabelul **II.13** iar spectrul corespunzător în figura **II.3**

Tabel II.13 Rezultatele spectrometriei $^1\text{H-RMN}$ pentru colorantul azo-stilbenic (**XVIII**)

Nr. compus	$^1\text{H-RMN}(\text{CD}_3)_2\text{SO}-\delta(\text{ppm})$
XVIII	H ₁ -7,26(d);H ₂ -7,71(d);H ₃ -8,00(d);H ₄ -8,17(s);H ₅ -7,56(d);H ₆ -6,19(d);H ₇ -5,75(s)

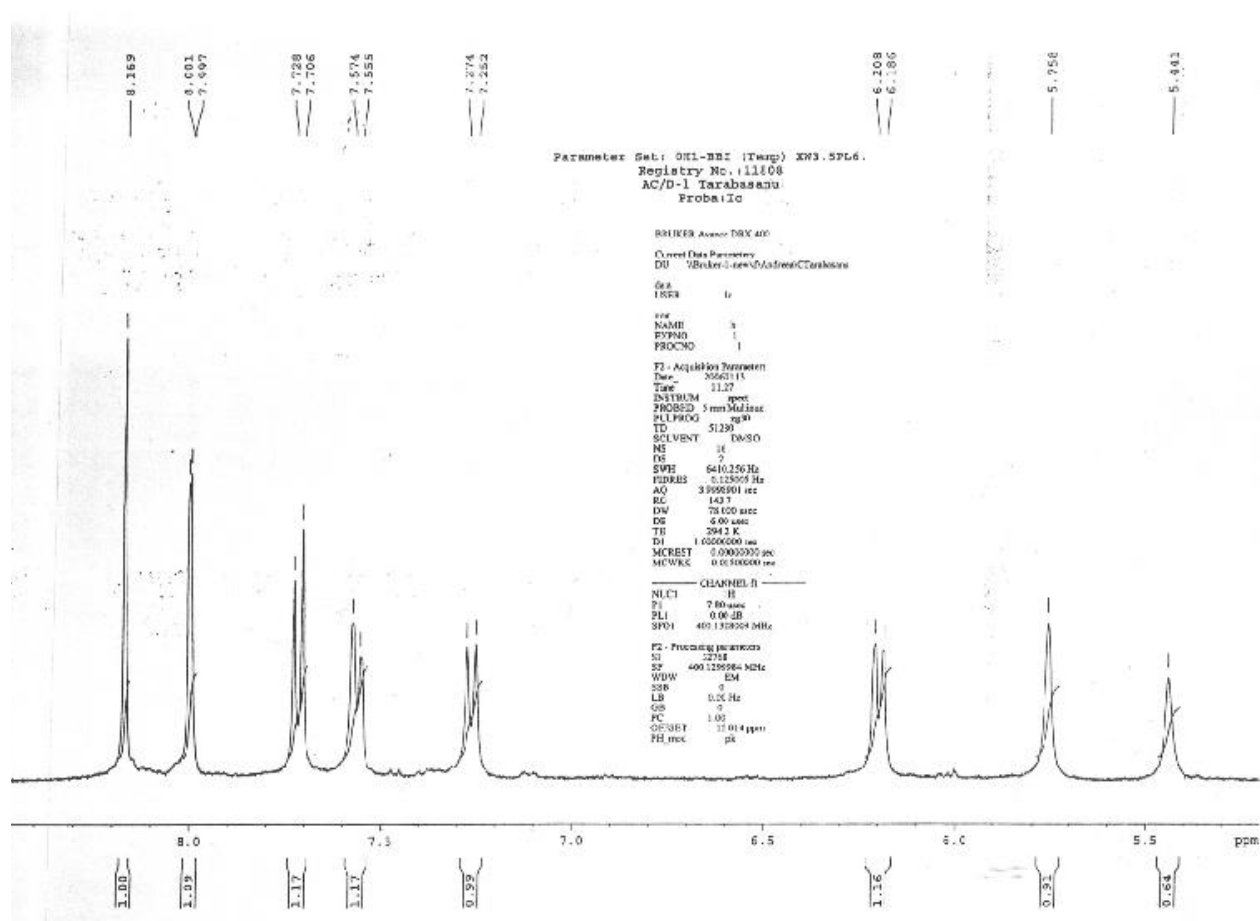
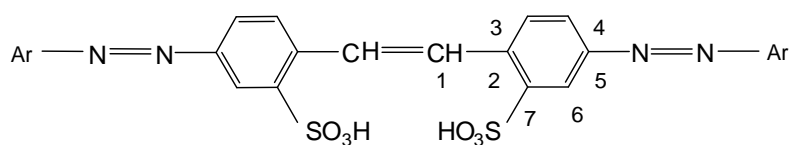
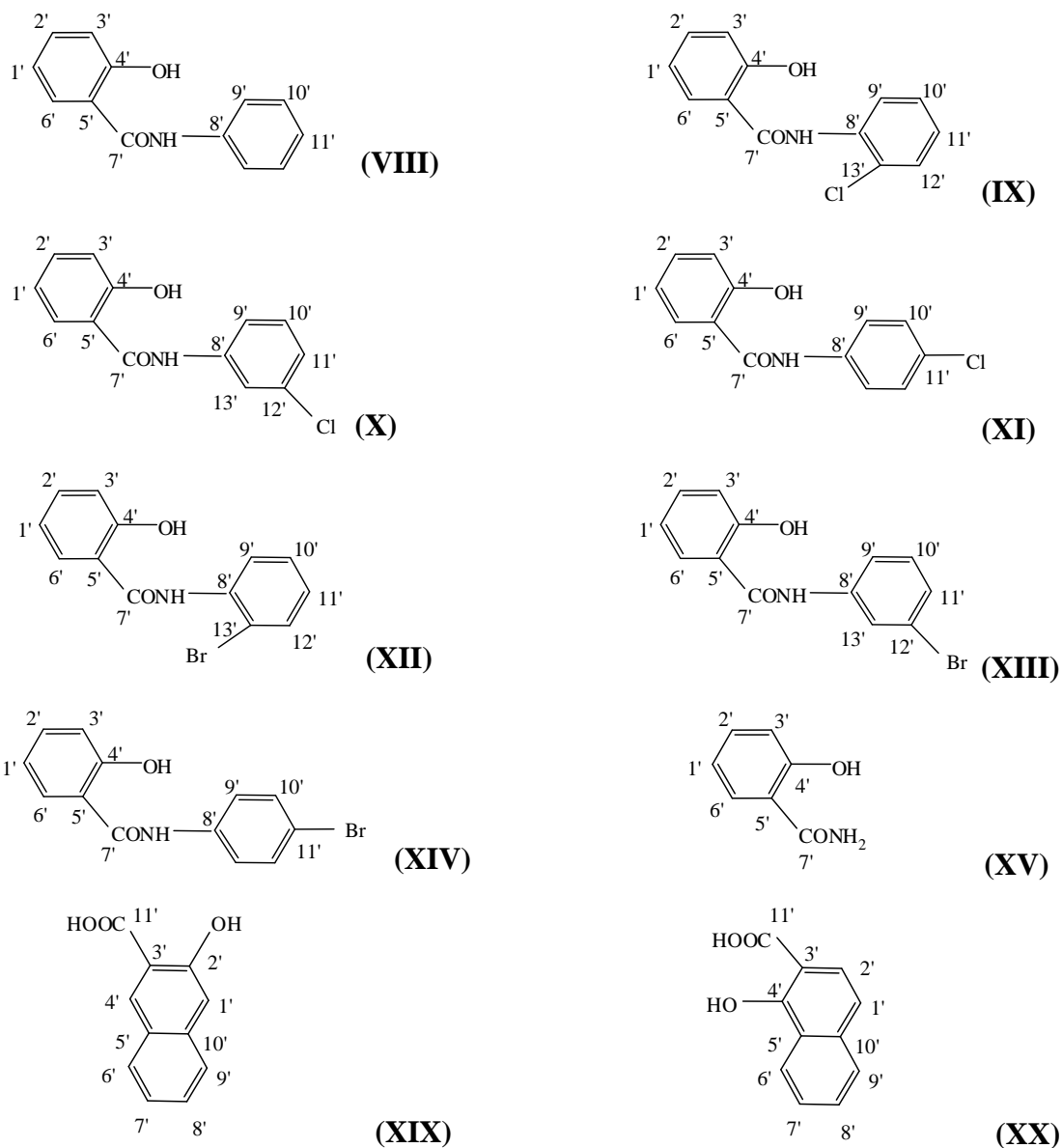


Fig. II.3 Spectrul $^1\text{H-RMN}$ ale colorantului azo-stilbenic (**XVIII**)



unde componentele de cuplare **Ar** pentru coloranții azo-stilbenici (**VIII-XV; XIX; XX**) sunt:



Schema II.7 Localizarea atomilor pentru spectrele ¹³C-RMN

În spectrele ¹³C-RMN ale compușilor studiați trebuie menționate deplasările atomilor de carbon ai grupeii stilbenice situate în intervalul 124,45-126,83ppm.

Astfel, semnalele corespunzătoare atomilor de carbon aparținând grupării carbonamidice secundare din compușii (**VIII-XIV**) se plasează în intervalul 164,10-166,59 ppm.

În situația colorantului (**XV**) deplasarea caracteristică grupării carbonamidice primare se află la valoare mai mare și anume $\delta=171,98\text{ppm}$.

Deplasarea chimică a atomului de carbon purtător al grupării sulfonice, din componenta centrală (acidul 4,4'-diaminostilben-2,2'-disulfonic), mai dezecranat este cuprinsă în intervalul 135,42-139,91ppm.

Structurile înrudite propuse pentru compușii (IX-XI) care diferă între ele doar prin poziția atomului de clor grefat pe nucleul aromatic al salicilanilidei (*orto*, *meta* respectiv *para*), din componenta de cuplare (vezi schema II.7) sunt bine susținute de valorile apropiate ale deplasărilor chimice ale tuturor atomilor de carbon.

Explicații asemănătoare se pot aduce și în sprijinul elucidării structurii compușilor (XII-XIV) în care atomul de clor este înlocuit cu cel de brom.

În ceea ce privește coloranții (XIX, XX) deplasările chimice corespunzătoare atomului de carbon aparținând grupării carboxilice sunt situate la valori apropiate de 171,35ppm și respectiv 172,98ppm.

În intervalul 156,78-158,22ppm, rezonează și atomul de carbon purtător al grupării hidroxilice din coloranții (IX-XIV) având drept componente de cuplare amide N-substituite ale acidului salicilic.

Rezultatele spectrometriei ^{13}C -RMN obținute pentru coloranții azo-stilbenici (VIII-XV; XIX; XX) sunt prezentate în tabelul II.14, spectrele corespunzătoare în figura II.4 a-j iar cele în detaliu regăsindu-se în anexa III.

Tabel II.14. Rezultatele spectrometriei ^{13}C -RMN pentru coloranții azo-stilbenici(VIII-XV; XIX; XX)

Nr. compus	^{13}C -RMN (CD_3) $_2\text{SO}$ - δ (ppm)
VIII	C ₁ =124,99;C ₃ =126,30;C ₄ ;C ₂ =127,94;C ₅ =150,78;C ₆ =119,45;C ₇ =135,42;C ₁ '=146,41 C ₅ '=122,78;C ₆ '=123,09;C ₇ '=165,99;C ₈ '=139,59;C ₉ '=119,86;C ₁₀ '=128,74
IX	C ₁ =125,16;C ₂ =135,34;C ₃ ;C ₁₀ '=127,80;C ₄ =123,51;C ₆ =122,87;C ₁ '=146,00;C ₃ '=117,13; C ₄ '=156,78;C ₆ '=119,65;C ₇ '=164,10;C ₈ '=133,81;C ₁₂ '=129,34;C ₁₃ '=130,66
X	C ₁ =124,45;C ₂ =137,25;C ₃ =126,74;C ₄ =123,74;C ₅ =150,18;C ₆ =120,41;C ₇ =139,64; C ₁ '=146,82;C ₂ '=126,31;C ₃ '=117,21;C ₄ '=158,09;C ₅ '=119,34;C ₆ '=119,82;C ₇ '=166,22 C ₈ '=133,71;C ₉ '=120,21;C ₁₀ '=130,40;C ₁₁ '=124,01;C ₁₂ '=133,06
XI	C ₁ =125,20;C ₂ =136,96;C ₃ =127,79;C ₄ =123,21;C ₅ =150,73;C ₆ =121,38;C ₇ =138,11; C ₁ '=145,99;C ₂ '=126,57;C ₃ '=117,11;C ₄ '=158,02;C ₅ '=119,11;C ₆ '=119,66;C ₇ '=166,13 C ₈ '=133,71;C ₉ '=122,32;C ₁₀ '=128,57;C ₁₁ '=129,12

Nr. compus	$^{13}\text{C-RMN (CD}_3\text{)}_2\text{SO)-}\delta(\text{ppm})$
XII	C ₁ =125,87;C ₂ =136,59;C ₃ =127,28;C ₄ =123,70;C ₅ =150,31;C ₆ =120,07;C ₇ =136,93 C _{1'} =146,70;C _{2'} =126,85;C _{3'} =117,15;C _{4'} =156,98;C _{5'} =119,07;C _{6'} =119,59;C _{7'} =164,33; C ₈ =133,85;C ₉ =123,93;C ₁₀ =128,31;C ₁₂ =130,59
XIII	C ₁ =124,46;C ₂ =137,26;C ₃ =126,93;C ₄ =123,04;C ₅ =150,17;C ₆ =121,48;C ₇ =139,91 C _{1'} =146,84;C _{2'} =126,65;C _{3'} =117,20;C _{4'} =158,10;C _{5'} =119,55;C _{6'} =119,76;C _{7'} =166,59 C ₈ =139,76;C ₁₀ =130,70;C ₁₁ =126,72;C ₁₂ =123,27
XIV	C ₁ =125,29;C ₂ =137,76;C ₃ =128,09;C ₄ =123,34;C ₅ =150,66;C ₆ =121,93;C ₇ =138,76; C _{1'} =146,55;C _{2'} =126,37;C _{3'} =117,20;C _{4'} =158,22;C _{5'} =119,00;C _{6'} =119,53 C ₇ =166,44;C ₈ =133,64;C ₉ =122,70;C ₁₀ =128,69;C ₁₁ =129,22
XV	C ₁ =125,55;C ₂ =134,01;C ₃ =126,64;C ₄ =128,24;C ₅ =150,12;C ₆ =118,35;C ₇ =137,14 C _{1'} =144,55;C _{2'} =127,48;C _{3'} =117,35;C _{4'} =160,12;C _{5'} =119,58;C _{6'} =124,45;C _{7'} =171,98
XIX	C ₁ =126,83;C ₂ =131,38;C ₃ ;C ₅ =128,67;C ₄ =125,38;C ₅ =159,03;C ₆ =122,04;C ₇ =136,30 C _{3'} =108,72;C ₆ ;C ₈ =130,63;C ₇ =122,59;C ₉ =126,35;C ₁₁ =171,35
XX	C ₁ =124,81;C ₂ =136,75;C ₃ =127,71;C ₄ =128,81;C ₇ =137,20;C ₁ '=146,93;C ₂ '=118,45 C ₃ '=105,99;C ₄ '=160,27;C ₅ '=124,02;C ₆ '=123,08; C ₇ '=126,07;C ₈ '=129,53;C ₉ '=126,80 C ₁₀ '=130,77;C ₁₁ '=172,98

Deplasările chimice în cazul tuturor compușilor sintetizați și variația acestora în funcție de substituția greați susțin structurile propuse pentru compușii studiați [154].

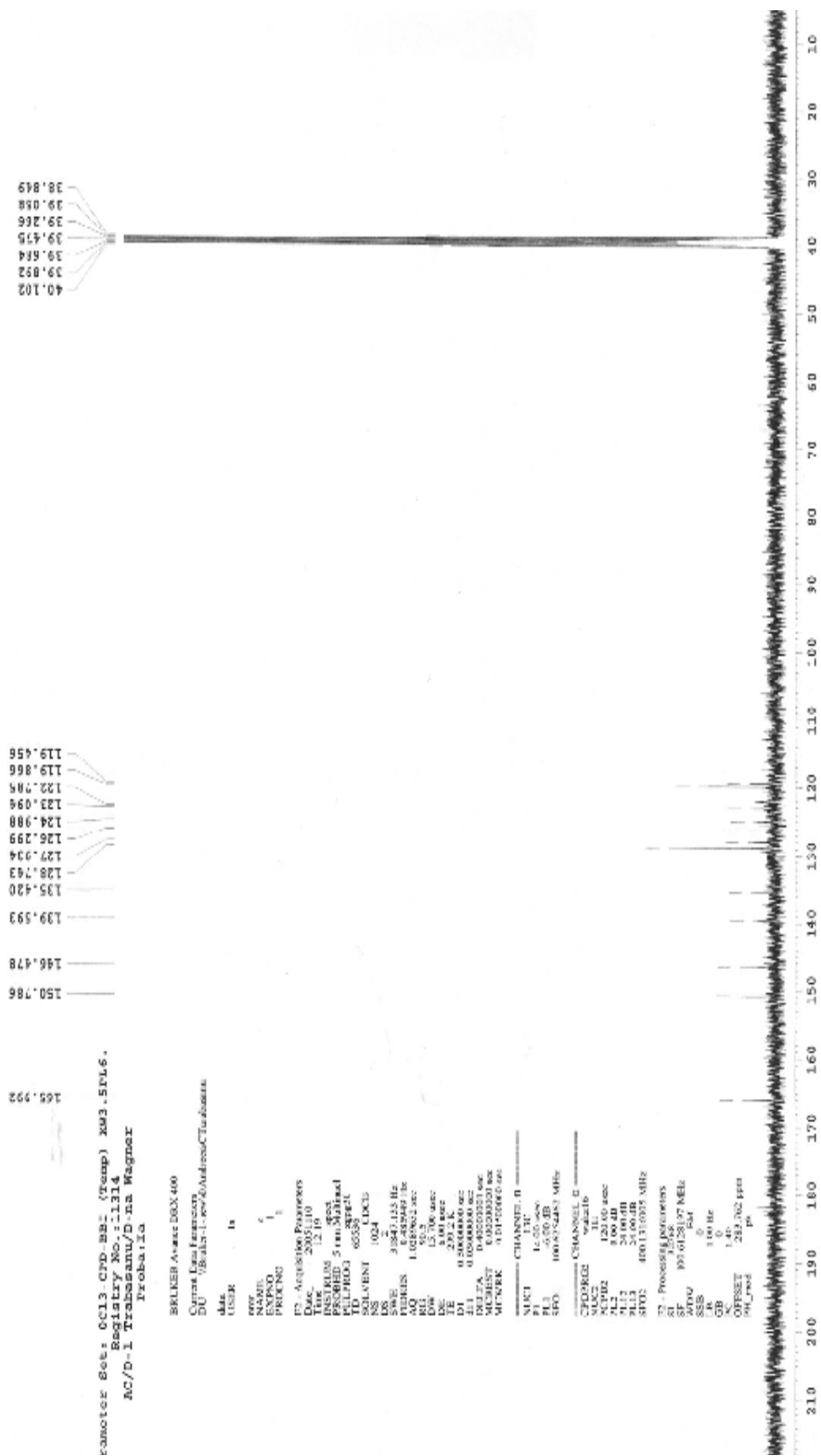


Fig. II.4 a Spectrul ^{13}C -RMN al colorantului azo-stilbenic (VIII)

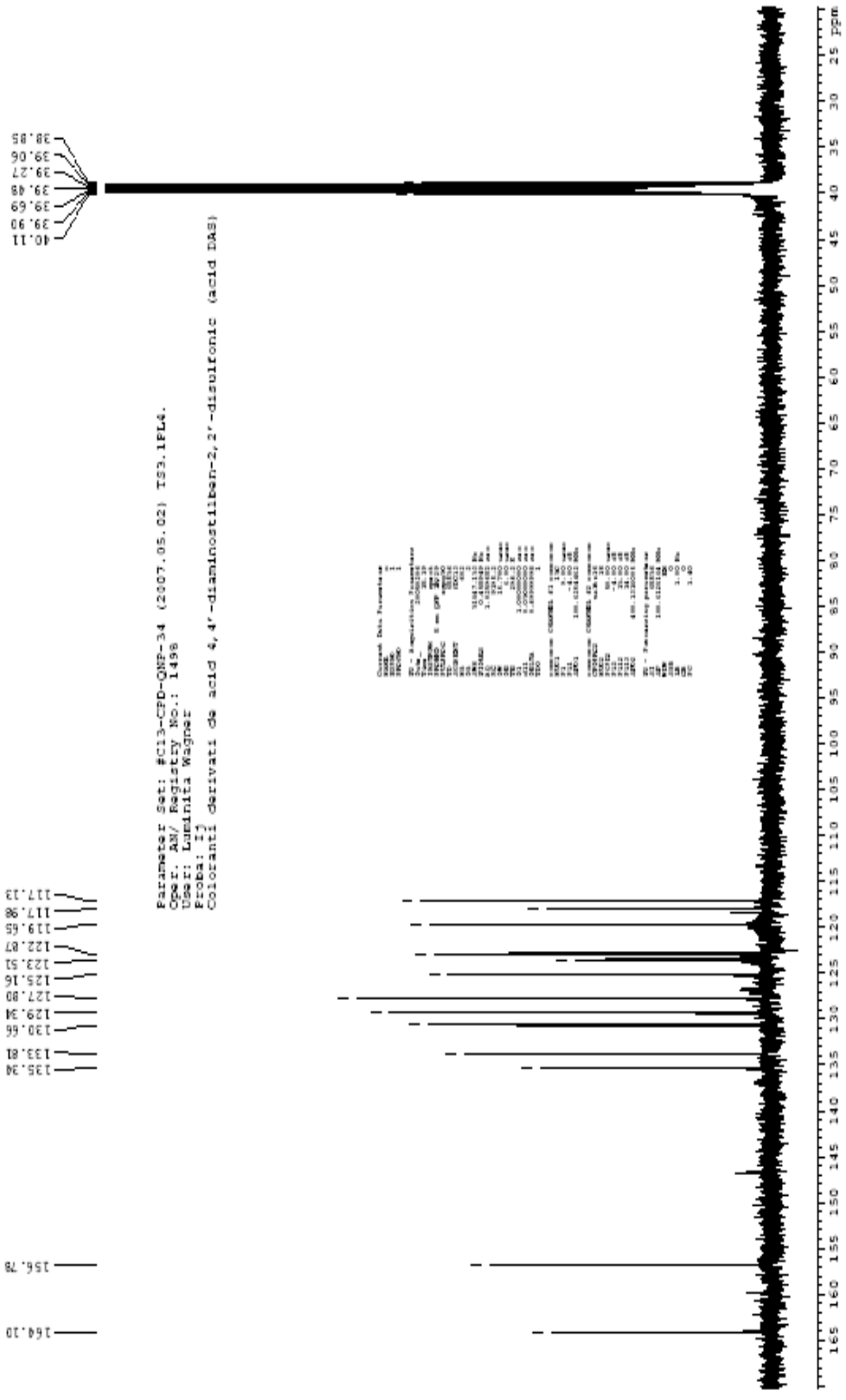


Fig. II.4 b Spectrul ¹³C-RMN al colorantului azo-stilbenic (IX)

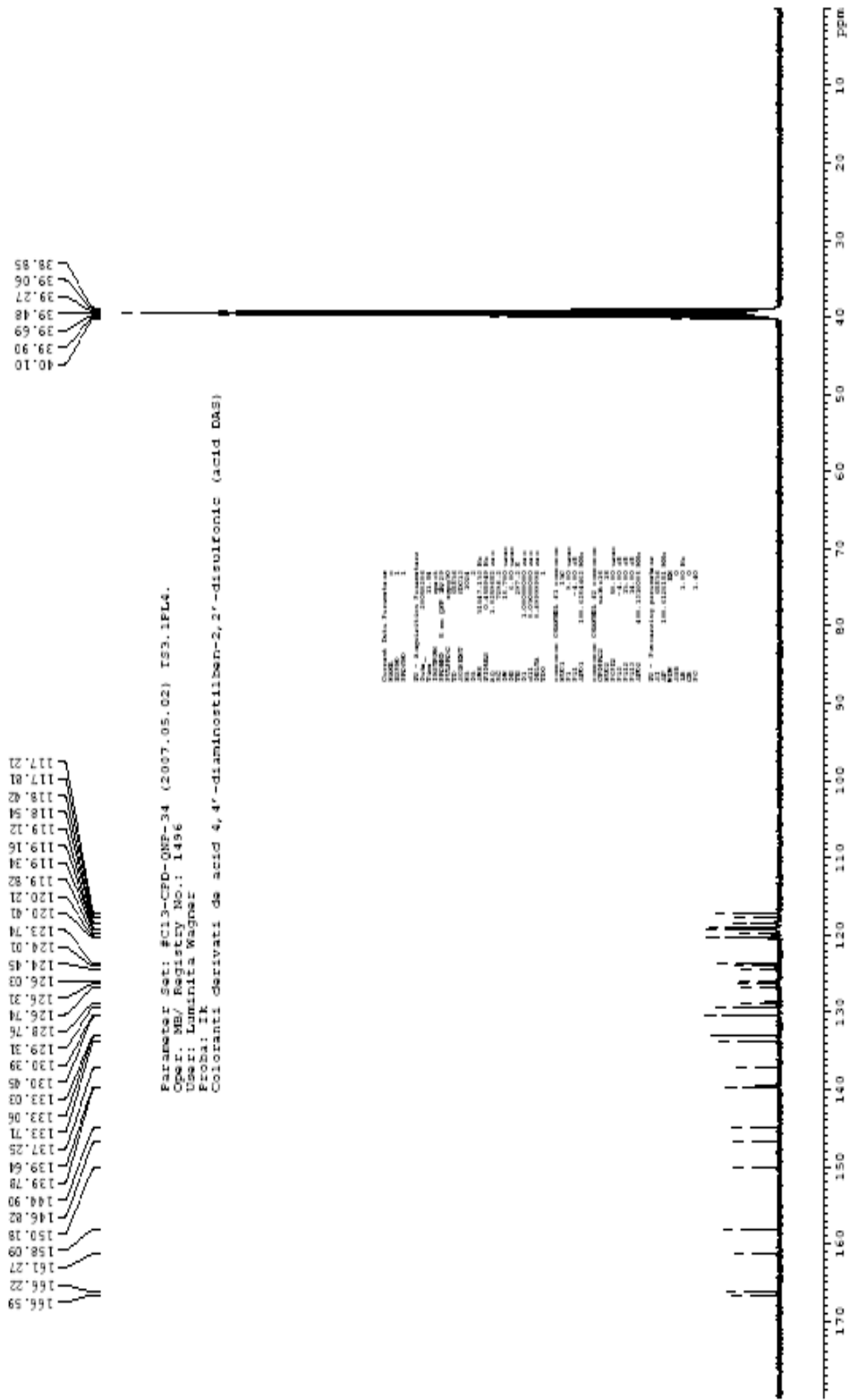


Fig. II.4 c Spectrul ^{13}C -RMN al colorantului azo-stilbenic (X)

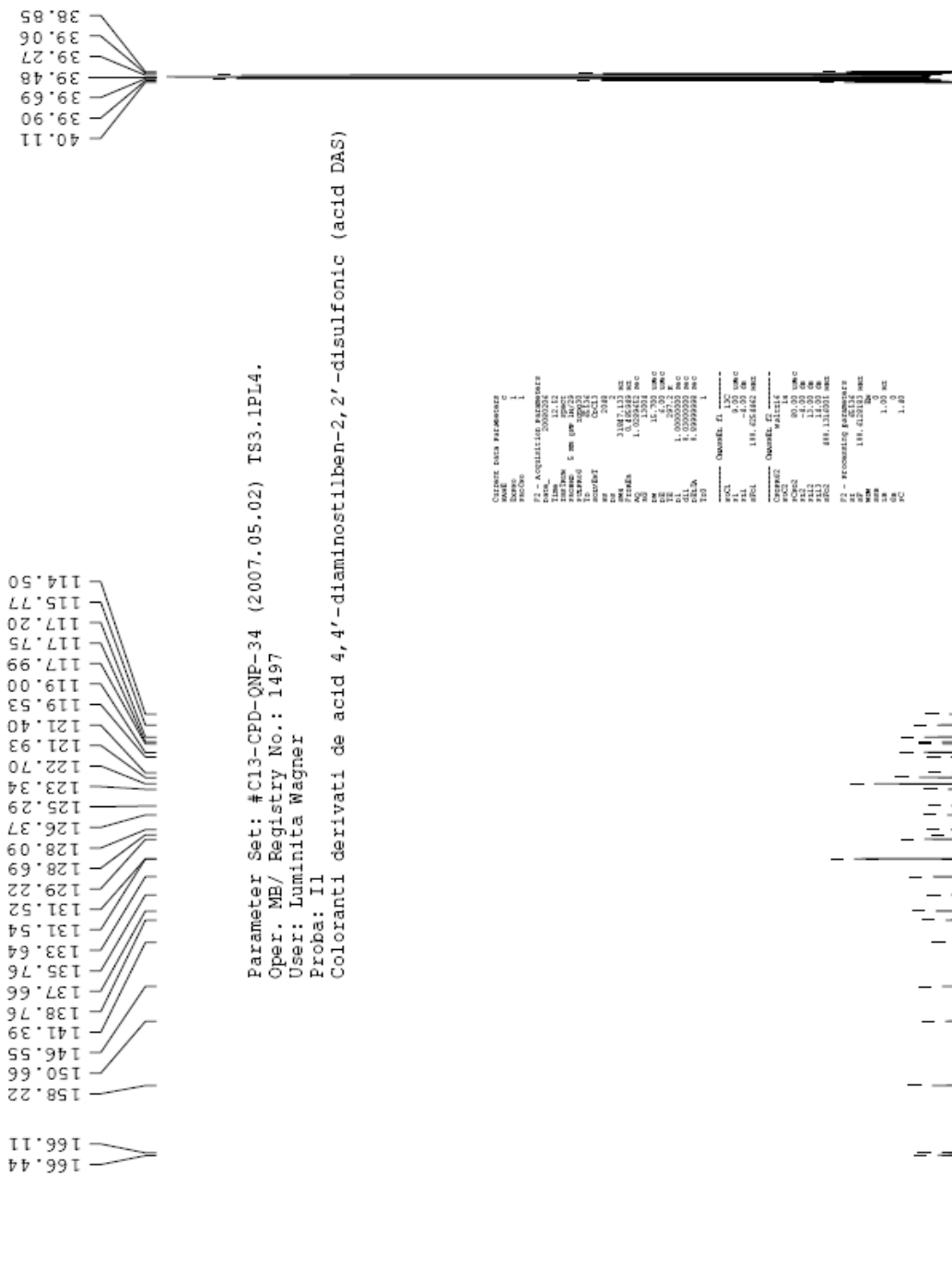


Fig. II.4 g Spectrul ¹³C-RMN al colorantului azo-stilbenic (XIV)

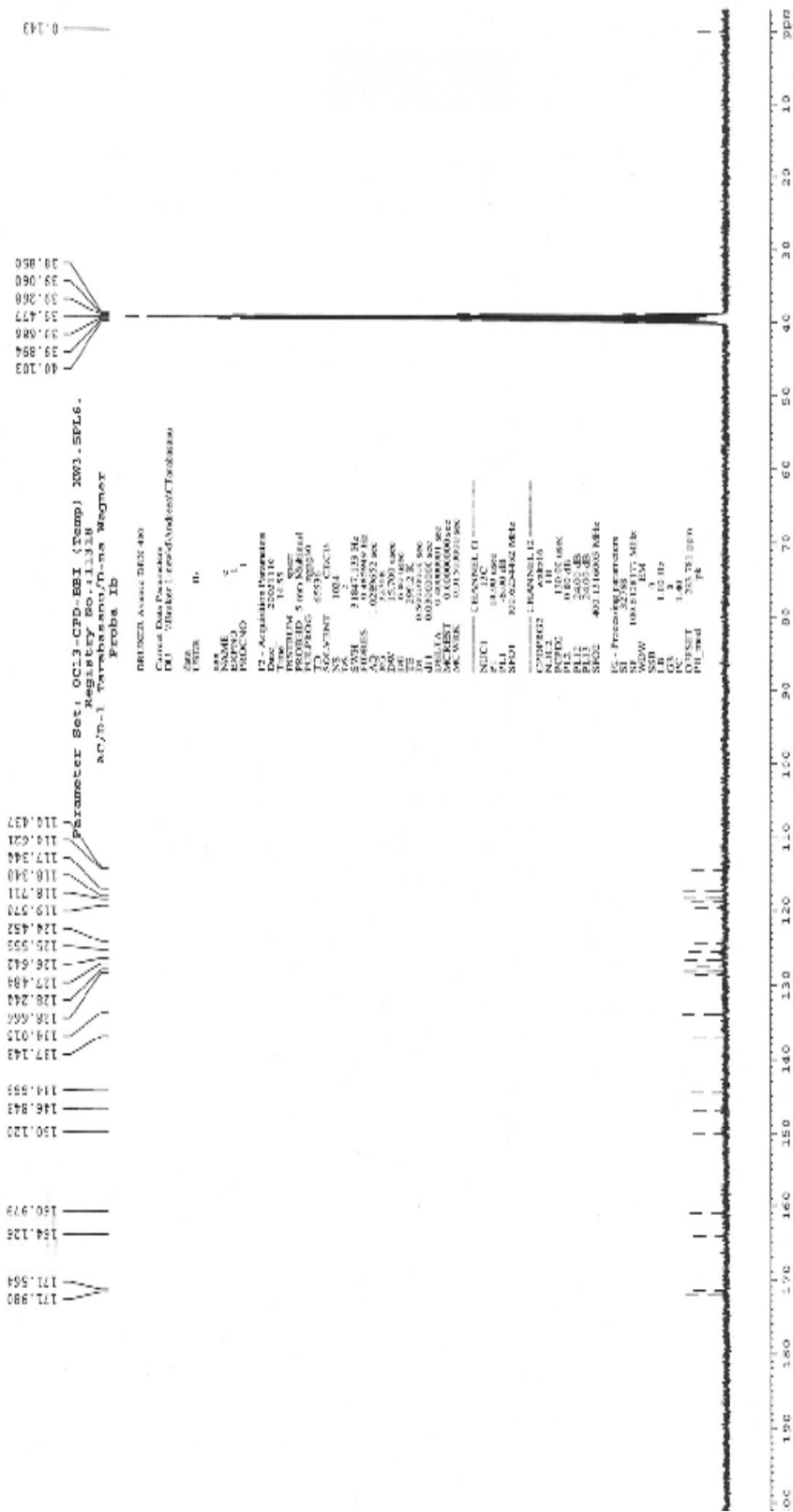


Fig. II.4 h Spectrul ¹³C-RMN al colorantului azo-stilbenic (XV)

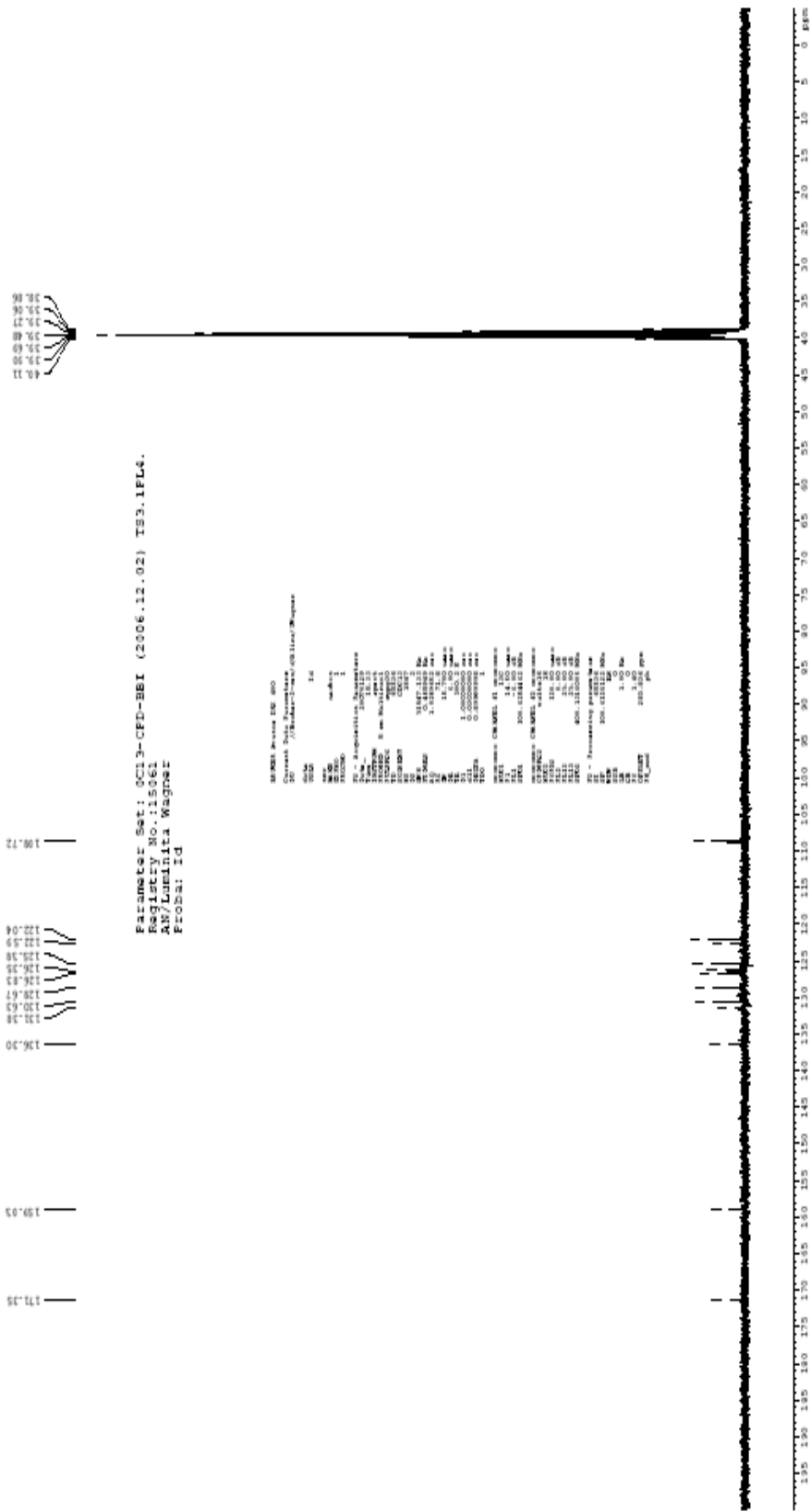


Fig. II.4 i Spectrul ¹³C-RMN al colorantului azo-stilbenic (XIX)

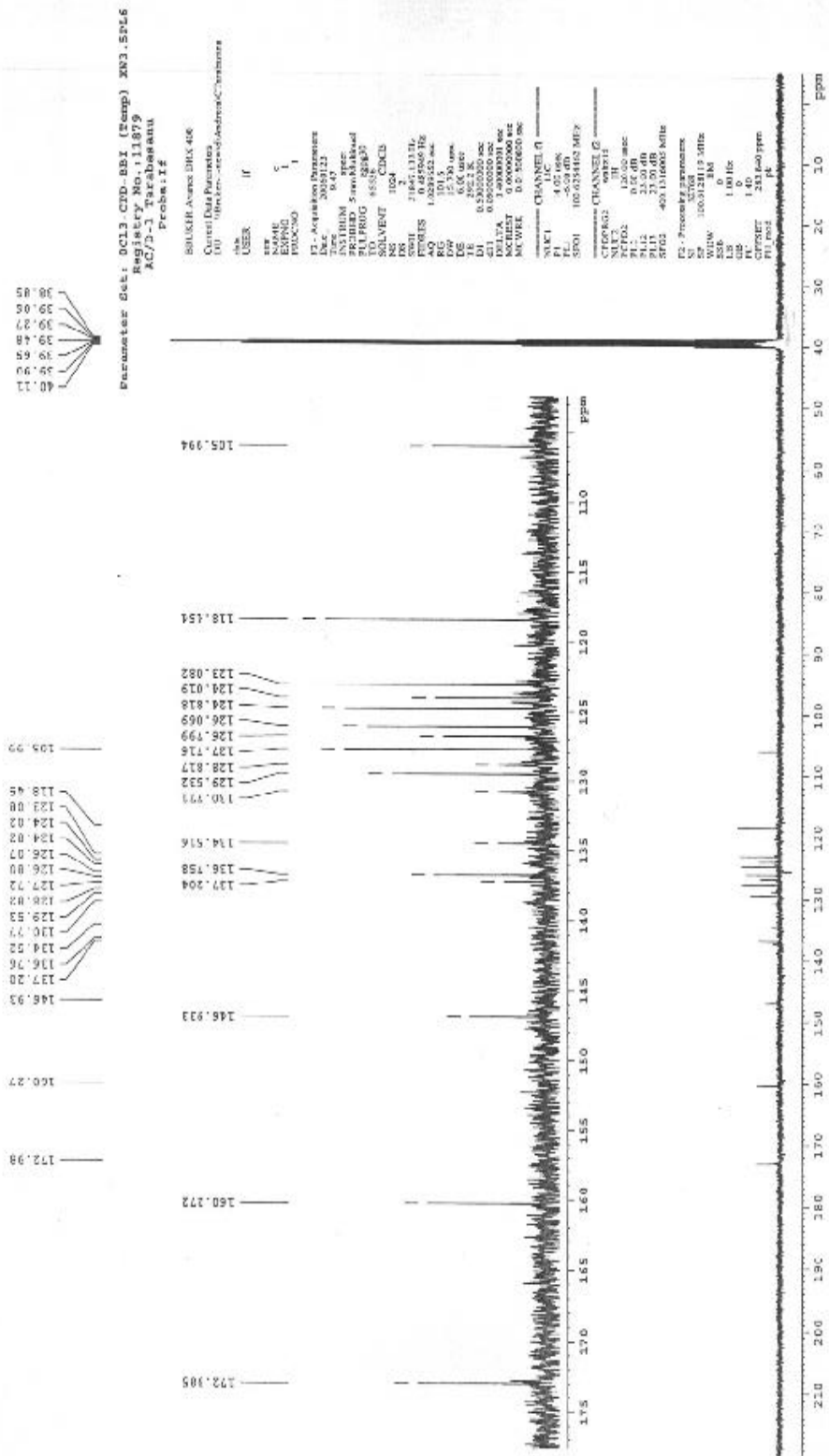


Fig. II.4 j Spectrul ^{13}C -RMN al colorantului azo-stilbenic (XX)

Analiza prin spectrometrie de masă

Tendențele clare legate de aflarea unor coloranți cu proprietăți tinctoriale superioare și cu un scăzut impact asupra mediului înconjurător au condus la necesitatea unor tehnici de analiză spectrometrică de masă, care să confirme structurile cunoscute și necunoscute atât ale coloranților cât și a produșilor secundari, impurităților respectiv a produșilor lor de degradare.

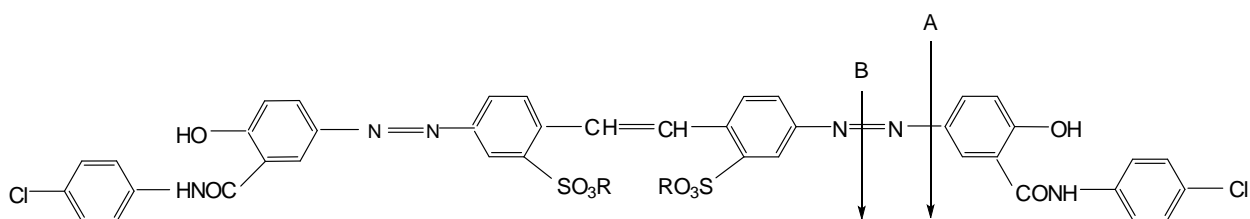
Astfel tehnica *APCI* (atmospheric pressure chemical ionization), [155] este aplicabilă în cazul coloranților și a pigmentilor caracterizați de o polaritate scăzută spre medie, în timp ce *APPI* (atmospheric pressure photoionisation) este aplicabilă coloranților nepolari. Se pot aminti și alte tehnici utilizate în analiza prin spectrometrie de masă a coloranților : *MALDI* (matrix-assisted laser desorbition/ionisation), [156] *FABS* (fast atomic bombardament) [157] etc, însă tehnicile la presiune atmosferică sunt preferate datorită avantajelor pe care le prezintă: posibilitatea cuplării cu cromatografia de lichide, sensibilitate crescută, stabilitatea semnalului obținut, și reproductibilitate.

În ceea ce privește tehnica *ESI* (*electrospray ionisation*), aceasta s-a dovedit a fi extrem de potrivită în analiza coloranților ionici sau a celor cu caracter foarte polar [158-160].

Analiza prin spectrometrie de masă poate fi condusă în mod ion pozitiv (*IP*) sau în mod ion negativ (*IN*). Coloranții sintetizați posedă atât grupe funcționale protonabile cât și grupe funcționale deprotonabile astfel încât se pot analiza cu succes în ambele moduri de operare.

Doi dintre coloranții sintetizați (**XI** și **XVI**) au fost analizați prin tehnica LC-QESI-MS, în ion pozitiv, (*PI*) cu ajutorul unei coloane Nucleosil C18. Solventul utilizat la separarea cromatografică a celor doi coloranți a fost acetonitril apos (50%).

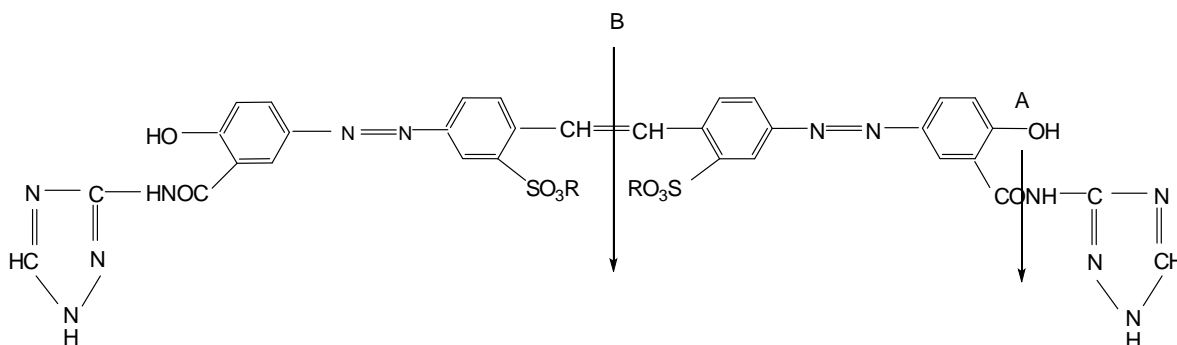
În cazul colorantului (**XI**), sunt cu ușurință observate fragmentele: $m/z=1774,8[M_1]^{+2}$ (dimer); $m/z=931,3[M_1+2Na]^{+}$; $m/z=955,1[M_1+3Na]^{+}$; $m/z=887[M_1]^{+}$ (pic molecular); $m/z=688[M_2-A]^{+}$ (pic de bază); $m/z=673,39[M_2-B]^{+}$ (pentru semnificația M_1 , M_2 , A, B vezi schema **II.8**)



R=H=>M₁; R=Na=>M₂

Schema II.8 Structura colorantului azo-stilbenic (**XI**) (mod de scindare)

În cazul colorantului (**XVI**) au fost decelate fragmentele de la : $m/z=685,1 [M-2SO_3]^+$;
 $m/z=676,3 [M-2A]^+$; $m/z=339,1 [M_B-A]^+$ (pentru semnificația M, A, B vezi schema **II.9**)



R=Na=>M

Schema II.9 Structura colorantului azo-stilbenic (**XVI**) (mod de scindare)

Spectrele de masă a coloranților azo-stilbenici (**XI**; **XVI**) sunt prezentate în figurile **II.5 a** și respectiv **II.5 b**. Atât modul redus de fragmentare cât și formarea aducților de sodiu confirmă tehnica de lucru *ESI (IP)*, prin care au fost elucidate structurile celor doi coloranți (**XI**; **XVI**).

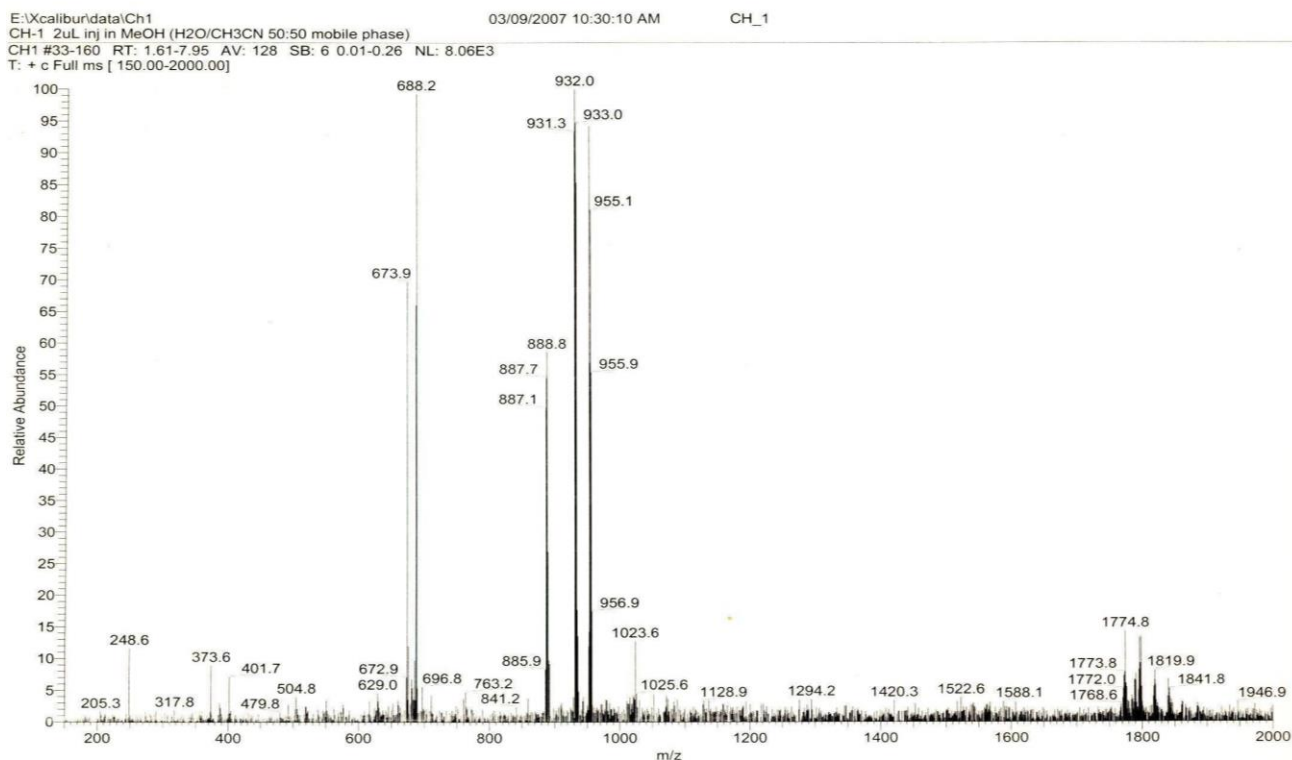


Fig. II 5 a Spectrul de masă al colorantului azo-stilbenic (**XI**)

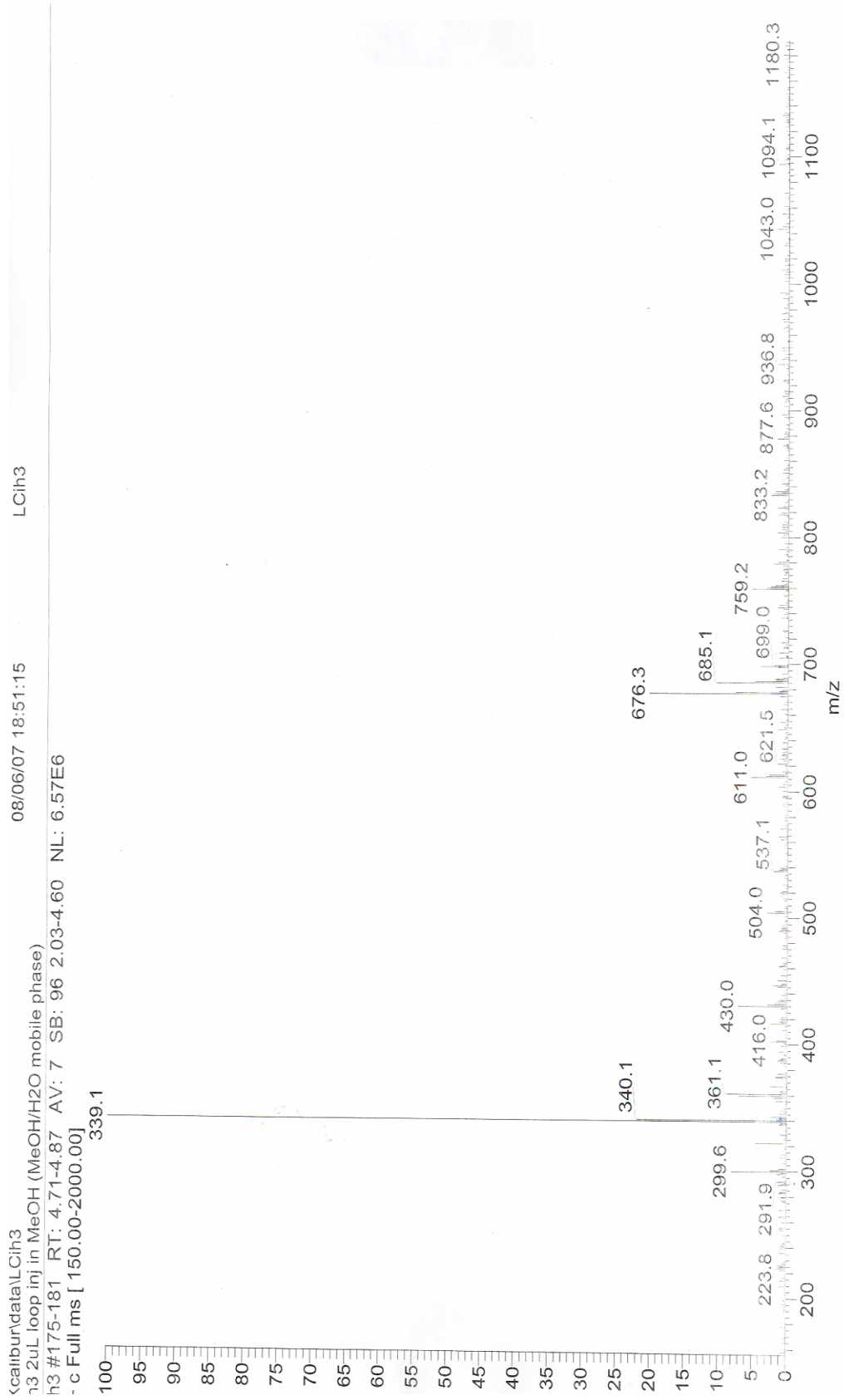


Fig. II.5 b Spectrul de masă al colorantului azo-stilbenic (XVI)

În concluzie:

- au fost sintetizați un număr de 14 coloranți disazoici direcți nebenzidiniici simetrici (**VII-XX**), dintre care 13 noi, derivați ai acidului 4,4'-diaminostilben-2,2'-disulfonic având drept componente de cuplare: acidul salicilic, salicilamida, amidele acidului salicilic cu: (anilina, *o*-cloroanilina, *m*-cloroanilina, *p*-cloroanilina, *o*-bromoanilina, *m*-bromoanilina, *p*-bromoanilina, 3-amino-1-H-1,2,4-triazol, 2-aminobenzotiazol), 1,3-dihidroxibenzenul, acidul 2-hidroxi-3-naftoic, acidul 1-hidroxi-2-naftoic) [161-167; 178].

- a fost studiată influența diferiților parametri (raport molar între reactanți, pH-ul masei de reacție și temperatura în etapa de cuplare) asupra reacțiilor de sinteză a coloranților mai sus menționați stabilindu-se condițiile optime de obținere ale acestora

- coloranții au fost purificați prin recristalizare din amestec dioxan: piridină (90:10) (v/v), separați prin cromatografie în strat subțire și caracterizați prin metode fizico-chimice (spectrometrie de absorbție VIS, de absorbție IR, spectrometrie ¹H-RMN și ¹³C-RMN și de masă.) Coloranții (**VIII-XV; XVIII; XX**) au fost separați prin cromatografia de lichide de înaltă presiune.

- cu ajutorul spectrelor de absorbție în domeniul infraroșu, a spectrelor de rezonanță magnetică nucleară (¹H-RMN și ¹³C-RMN), precum și a celor aparținând spectrometriei de masă au fost elucidate structurile propuse pentru toți coloranții sintetizați (**VII-XX**)

- rezultatele spectrometriei de absorbție în VIS, corelate cu cele ale separării prin intermediul cromatografiei de lichide de înaltă presiune, au concluzionat obținerea unor produși unitari, (**VIII-XV; XVIII; XX**)

III. APLICAREA PE SUPORT CELULOZIC ȘI PROTEIC A COLORANȚILOR STILBENDISAZOICI SINTETIZAȚI

III.1 PROCESUL DE VOPSIRE CU COLORANȚI DIRECTI

Se cunoaște faptul că în general coloranții sunt clasificați după criteriile chimice și tinctoriale. Criteriile chimice sunt structura de bază, substituenții și metodele de obținere, mai puțin familiare vopsitorului. Criteriile tinctoriale sunt modul de aplicare, nuanța și rezistențele vopsirii adaptate suportului.

Utilizarea unui criteriu unitar pentru clasificarea coloranților organici este dificilă datorită diversității structurale pe de o parte și a modalităților multiple de aplicare tinctorială pe diferite suporturi, pe de alta parte. Nu există o clasă structurală de coloranți, care să prezinte o modalitate unică de aplicare, precum nu există o clasă tinctorială care să cuprindă coloranți dintr-o singură clasă structurală. Rezultă deci că procesul de vopsire implică drept parteneri colorantul și un suport (frecvent, o fibră textilă), care determină natura și intensitatea interacțiilor care se stabilesc între aceștia (legături de hidrogen, forțe van der Waals, interacțiuni dipol-dipol, atracții electrostatice, reacții chimice etc.), de care trebuie să se țină seama la clasificarea tinctorială a coloranților și la aplicarea tehnologică corespunzătoare a acestora.

Vopsirea este caracterizată în practica tinctorială prin următorii parametri tehnici: *nuanța, intensitatea, uniformitatea și rezistențele la agenții externi.*

Intensitatea vopsirii este o mărime relativă și convențională, ce exprimă intensitatea de absorbție/reemisie a suportului vopsit. Depinde de gradul de acoperire a suportului, respectiv de luminozitatea culorii. În practica tinctorială, se caracterizează prin concentrația inițială a colorantului în flotă, exprimată procentual față de materialul fibros (%F). Concentrații de colorant sub 1%F conduc de regulă, la nuanțe deschise, puțin intense, de mai mică absorbție, cele de 1-3%F sunt considerate medii, iar vopsirile în culori închise necesită concentrații de 3-5% și chiar mai mult.

Uniformitatea este proprietatea de a avea aceleași caracteristici de culoare (nuanță și intensitate) pe întreg articolul vopsit. Cauzele cele mai frecvente ale acestor defecte de vopsire (porțiuni deschise/închise la culoare, benzi regulate sau neregulate, cute sau pete de intensitate diferite) sunt viteza prea mare de vopsire, scurtarea procesului cu eliminarea etapei de egalizare și hidrodinamica deficitară a flotei în material. Rezistențele depind de alegerea coloranților, a metodelor de vopsire și a tratamentelor post-vopsire. Rezistențele la tratamente umede sunt cele mai numeroase și în această categorie sunt grupate cele la spălare în diverse condiții; frecare

umedă, fierbere (apă, alcalină), transpirație, piure, aburire, picături de apă distilată, la apa de mare etc. Cele mai importante sunt cele la spălare în diverse condiții și cele la frecare umedă, esențiale pentru valoarea de întrebuințare a multor produse textile. Procesul de cedare a colorantului, la tratarea cu o flotă lipsită de colorant, poate fi asimilat desorbției, procesul invers vopsirii. Rezultă că rezistența la tratamente umede va depinde de aceiași factori ca și vopsirea, care însă vor avea efect invers. Acești factori sunt afinitatea, solubilitatea și masa moleculară a colorantului, difuzia în interiorul fibrei, natura suportului textil și a flotei de tratare, tăria legăturii colorant substrat, intensitatea de vopsire etc.

Rezistența la lumină depinde în primul rând de natura chimică a colorantului fără legătură cu clasele tinctoriale, datorită faptului că decolorarea este o consecință a descompunerii fotochimice a acestuia pe suport. Dintre ceilalți factori ce influențează rezistența la lumină pot fi amintiți: condițiile de reacție, (umiditate, temperatură, oxidanți), substratul și condițiile de vopsire.

Determinarea rezistențelor se face conform normativelor (naționale și internaționale) [7] Evident că fiecare din aceste rezistențe are metode și proceduri specifice menționate în standarde dar modul de evaluare este același. Deși există metode mai precise, chiar dacă mai complicate din punct de vedere tehnic, evaluarea se face astăzi pe baza *scării de gri* pentru marea majoritate a rezistențelor și a *scării de albastru* pentru cea la lumină artificială (Xenotest).

Indiferent de culoarea vopsirii (nuanță și intensitate) evaluarea se face prin asimilare cu griul corespunzător prin sistemul treptelor. Pentru toate rezistențele notarea folosește 5 trepte de la 1 pentru rezistența cea mai mică la 5 pentru rezistența maximă, cu excepția rezistenței la lumină, care are 8 trepte. Evaluarea utilizează și trepte intermediare de ex. rezistențe 4 sau 3-4.

În ceea ce privește nuanța aceasta înglobează și caracteristicile de puritate și strălucire. Aceste noțiuni au fost discutate pe larg în cap I.3 (noțiuni de culoare). Ele sunt mărimi *psihologice* (sau psihofizice), senzoriale conștientizate. Corespondența cu mărimile aproximativ echivalente din fizică respectiv din practica tinctorială sunt prezentate în tabelul III.1

Metoda clasică tradițională este cea a mostrelor de vopsire etalon iar metodele moderne asociază acestora măsurătorile instrumentale, cu spectrometre de reflexie computerizate.

Tabel III.1 Caracterizarea culorii

Caracteristică	Fizică (caracteristică obiectivă)	Psihofizică (caracteristică subiectivă)	Tinctorială (caracteristică practică)
Cromatica	Lung. de undă dominantă	Nuanță	Nuanță
Puritatea	Puritate de excitație	Saturație	Claritate
Intensitatea	Luminozitatea	Strălucire	Intensitate

În ceea ce privește clasa coloranților direcți aceștia sunt sisteme cromogene de mari dimensiuni, solubilizate cu grupe sulfonice cu structura generală ($\text{NaO}_3\text{S}-\text{CoI}-\text{SO}_3\text{Na}$). Cromogenul poate fi azoic, stilbenic, ftalocianinic, azinic, sau aminocetonic și este caracterizat de prezența în moleculă a unor mari zone hidrofobe plane și a mai multor grupe sulfonice plasate periferic. Sunt utilizați în general, la vopsirea materialelor celulozice.

Unii dintre coloranții direcți, datorită caracterului lor anionic, pot vopsi și materialele proteice (lâna, mătasea naturală, pielea), din soluții neutre sau slab acide și la temperaturi mai ridicate [6, 171-172].

În situația de față partenerii vopsirii sunt reprezentați de: coloranții direcți cu structură azo-stilbenică respectiv fibrele textile celulozice (bumbac) și proteice (lână).

Hidrofilia și polaritatea suportului pe care este aplicat colorantul are o importanță deosebită. Din acest punct de vedere atât fibrele celulozice cât și cele proteice sunt polar-hidrofile.

Parametrii vopsirii suportului textil celulozic cu coloranți direcți sunt: programul temperatură-timp, pH-ul, concentrația, programul de introducere a electrolitului, egalizatorii și tratamentele finale. Dată fiind afinitatea mică a coloranților direcți pentru suporturile celulozice, nici unul din acești parametri nu este decisiv pentru vopsire, importanți fiind programul de temperatură și electrolitul.

Temperatura mărește vitezele de sorbție și difuziune și reduce afinitatea și concentrația în fibră. Din punct de vedere practic, prezintă importanță dependența de temperatură a epuizării și egalizării. Acestea sunt interdependente, o creștere a uneia antrenează scăderea celeilalte, în cazul coloranților direcți fiind mai importantă epuizarea.

Electrolitul este al doilea parametru de control al epuizării și al egalizării. Practic nu se poate opera fără el, deoarece are rol important în mărirea atât a afinității colorantului cât și a disponibilității substratului celulozic. Mecanismul de acțiune a electrolitului neutru este de scădere a potențialului vopsirii, combinată cu modificarea gradului de agregare a colorantului. În practică se folosesc clorura și sulfatul de sodiu [173].

pH-ul flotei de vopsire este în general slab alcalin lucrându-se de obicei la valori cuprinse între 7-9 sau ceva mai mult. Domeniul de lucru este o consecință a naturii colorantului, mai puțin a substratului. Principalele efecte ale mării pH-ului sunt cele de îmbunătățire a egalizării și de reducere a epuizării. Alcalinitatea este realizată în general prin adaos de carbonat de sodiu sau fosfat trisodic.

Agenții de egalizare sunt în general, tenside anionice și neionice, care acționează ca agenți de udare și de umflare a materialului, respectiv de controlare a agregării coloranților și de menținere a lor în stare dispersivă.

Diagrama temperatură-timp la vopsirea cu coloranți direcți este prezentată în figura III.1 [7].

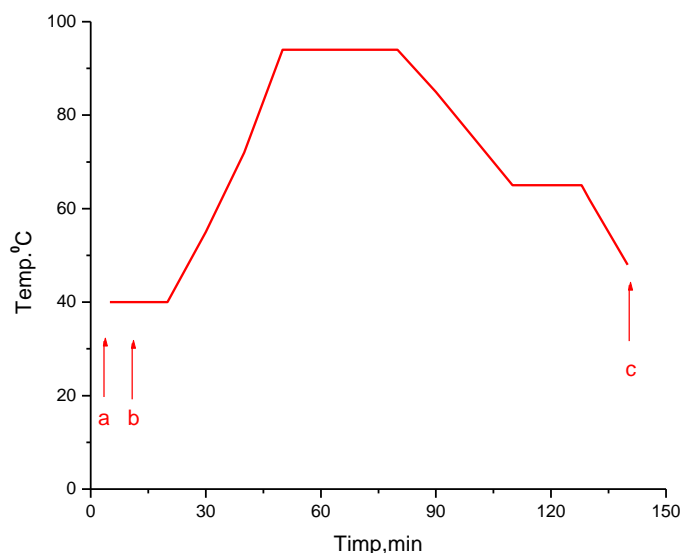


Fig.III.1. Diagrama *temperatură-timp* la vopsirea cu coloranți direcți (*a=electrolit alcalinizat, b=colorant, c=tratamente finale*)

Există coloranți direcți care vopsesc și lâna. În ceea ce privesc condițiile de vopsire acestea sunt ușor modificate în comparație cu cele stabilite pentru vopsirea lânii cu coloranți acizi (prezentate în continuare).

Parametrii de vopsire ai lânii rămân decisivi pentru performanțele obținute. Vopsirea lânii depinde de compoziția flotei, (pH, electrolit, colorant, egalizatori, dispersanți) și parametri tehnologici (temperatură, timp, mod de operare).

Temperatura are din păcate efect invers mărind viteza de difuziune, reducând-o pe cea de sorbție. Practic, ea influențează în mod diferit adsorbția, epuizarea și difuzia funcție de egalizare și tendința de agregare, de fapt ambele dependente de afinitate.

Aciditatea flotei depinde de clasa de egalizare a colorantului. Coloranții de afinitate mică și egalizare bună vopsesc din flote acidulate cu acid sulfuric la pH=2,5-3,5, când substratul e puternic pozitivat. Aciditatea este mai redusă pentru coloranții de afinitate medie și anume lucrându-se la un pH=3,5-5. Cei de afinitate mare vopsesc din flote aproape neutre la o valoare a pH-ului de 4,5-6,5, mediul acid realizându-se cu acid acetic. În general sorbția și egalizarea depind esențial de aciditatea flotei.

Electrolitul îmbunătățește afinitatea, egalizarea și epuizarea dar în măsură dependentă de clasa de coloranți (de afinitatea lor). El joacă un rol important practic doar la coloranții cu afinitate mică. În practică se folosesc clorura și sulfatul de sodiu. Diagrama temperatură-timp la vopsirea cu coloranți acizi este prezentată în figura III.2 [7].

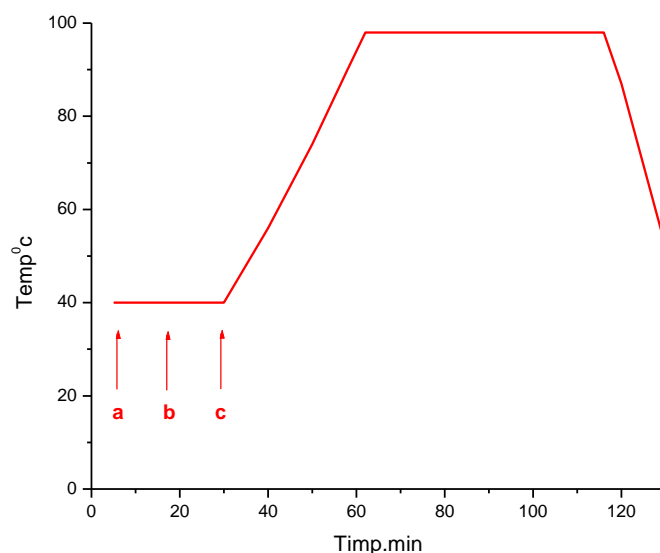


Fig.III.2. Diagrama *temperatură-timp* la vopsirea cu coloranți acizii ($a=H_2SO_4$ sau CH_3COOH ; $b=Na_2SO_4$; $c=$ colorant).

Este cunoscut faptul că vopsirea fibrelor celulozice cu coloranți direcți, reprezintă de fapt o vopsire în sistem ionic cu ioni de același semn, iar vopsirea lânii cu coloranți acizi, o vopsire în sistem ionic cu semn opus, prin urmare vor exista diferențe între caracteristicile tinctoriale ale vopsirilor substraturilor celulozice respectiv proteice cu coloranți direcți.

III.2. APLICAREA PE SUPORT TEXTIL CELULOZIC ȘI PROTEIC A COLORANȚILOR STILBENDISAZOICI (I-VI)

Aprecierea din punct de vedere tinctorial a colorațiilor obținute în urma aplicării pe suporturile textile (bumbac, lână) a coloranților stilbendisazoici (I-VI) s-a efectuat sub următoarele aspecte:

- măsurători de culoare prin metoda **CIELAB** rezultate în urma spectrelor de reflexie (vezi anexa IV), pentru epruvetele vopsite din ambele suporturi. Rezultatele analizei de culoare sunt prezentate în tabelele III.2- III.5.
- evaluarea caracteristicilor vopsirilor din punct de vedere al nuanței, uniformității și intensității vopsirii;
- determinarea rezistențelor vopsirilor: rezistența la apă, transpirație și frecare. Rezultatele determinărilor efectuate sunt prezentate în tabelul III.6. (vezi anexa V).

Prin urmare, colorațiile obținute în urma aplicării tinctoriale pe suporturi celulozice și proteice a compușilor cu structură stilbendisazoică (I-VI) au fost supuse unei tratări obiective din punct de vedere al culorii.

În acest sens trebuie precizat faptul că, toate determinările spectrofotometrice reprezintă de fapt valori medii ale acestora (ale înregistrărilor efectuate în trei puncte diferite ale suporturilor textile colorate) și au fost efectuate la același observator (10°), respectiv la trei iluminanți diferiți (**D65**-lumina zilei, **A**-lumina incandescentă, **F2**-lumina fluorescentă albă rece).

Pentru a avea o imagine de ansamblu asupra culorilor [145] au fost efectuate măsurători de culoare în sistem **CIELAB** pentru colorațiile obținute cu fiecare compus în parte (**I-VI**) având ca etalon suportul de aplicare celulozic și proteic nevopsit. De asemenea, în urma măsurătorilor efectuate în același sistem s-au comparat culorile vopsirilor obținute cu compușii (**II-VI**) considerându-se drept etalon suportul celulozic și proteic vopsit cu compusul (**I**) (cel mai puțin substituit). Cea de a doua alternativă a avut în vedere stabilirea unei corelații între modificările structurale și influența acestora asupra culorii.

Diferențele de culoare obținute au fost exprimate și ca diferențe de luminozitate (ΔL^*), diferențe de saturație (ΔC^*) și diferențe de nuanță (Δh°), rezultatele obținute pot fi reprezentate atât în coordonate rectangulare (L^*, a^*, b^*) cât și în coordonate cilindrice (L^*, C^*, h°).

Analizând datele obținute în tabelule **III.2-III.5** se poate concluziona că în toate cazurile colorațiilor analizate, diferențele dintre valorile tristimulus se datorează metameriei cauzate de efectuarea măsurătorilor cu 3 tipuri de iluminanți (**A**, **F2** și **D65**).

Conform rezultatelor din tabelul **III.2** și **III.4** diferențele de nuanță (Δh°) cele mai mari se înregistrează în cazul utilizării iluminantului **D65** iar cele mai mici în cazul iluminantului **A**. De asemenea, în cazul tuturor compușilor studiați și pentru toți iluminanții, parametrii a^* , b^* și Δh° sunt pozitivi, ceea ce arată o abatere spre portocaliu a mostrelor vopsite față de cele nevopsite. Datele din tabelul **III.2** arată că diferențele totale de culoare (ΔE^*) sunt determinate în principal de diferența de saturație (ΔC^*), ceea ce era de așteptat din moment ce mostrele vopsite sunt comparate cu suportul nevopsit iar acestea sunt mult mai saturate în culoare. Din reprezentarea rectangulară rezultă că toate colorațiile se situează în zona de oranj cu abateri spre verde-albastru în cazul vopsirii cu colorantul (**III**) unde, conform structurii are loc o îmbogățire în electroni a componentei de cuplare [136].

Analizând datele din tabelul **III.3** se constată că, pentru același tip de suport și iluminant, valorile tristimulus (**X**, **Y**, **Z**) sunt foarte apropiate de cele obținute anterior, diferențele fiind doar în zona măsurătorilor de culoare care furnizează informații cu privire la comportarea eșantioanelor vopsite cu compușii (**II-VI**) față de cel vopsit cu colorantul de bază (**I**) (cel mai puțin substituit). Diferențele de saturație (ΔC^*) înregistrate sunt negative fiind o dovadă a faptului că mostrele vopsite cu compușii (**II-VI**) sunt mai puțin saturate decât cea standard, adică vopsită compusul (**I**). În cazul compusului (**VI**) ce are un rest heterociclic greșit pe componenta de cuplare, vopsirea este mai ternă ($\Delta L^* < 0$) decât cea obținută cu colorantul (**I**).

Aspecte asemănătoare, sunt valabile și în cazul aplicării coloranților (**I-VI**) pe suport proteic.

Trebuie menționat în acest caz, faptul că așa cum se observă și din tabelul **III.4**, în urma măsurătorilor de culoare efectuate comparativ cu suportul proteic nevopsit indiferent de iluminant se constată o abatere spre roșu a nuanței mostrelor vopsite cu coloranții (**IV-VI**). De asemenea la valori ale diferenței totale de culoare (ΔE^*) de aceeași mărime cu cele înregistrate pentru probele vopsit pe bumbac, se constată diferențe de luminozitate mai mici (ΔL^*). Și în acest caz diferența de saturație (ΔC^*) este determinantă, având în vedere faptul că probele mai saturate în culoare sunt comparate cu suportul nevopsit.

Din tabelul **III.5** reiese așa cum era de așteptat, că valorile tristimulus (X, Y, Z) pentru același iluminant sunt apropiate de cele din tabelul **III.4**. Diferențele de saturație (ΔC^*) înregistrate sunt negative doar în cazul coloranților compușilor (**III** și **VI**) (care prezintă substituenți voluminoși) fiind o dovadă a faptului că acestea sunt mai puțin saturate decât coloranții standardului (**I**) (cel mai puțin substituit). De subliniat este obținerea unor vopsiri mai terne ($\Delta L^* < 0$) indiferent de iluminant, cu excepția celei obținute cu colorantul (**III**).

Deplasarea spre roșu a culorii compusului (**VI**) (ce conține un rest heterociclic grețos pe componenta de cuplare) după aplicarea pe ambele tipuri de suporturi textile e observată din valorile cele mai reduse ale unghiului tonal (h°) dar și din analiza tinctorială ce urmează.

Din tabelul **III.6** se observă cu ușurință că afinitatea pentru suportul proteic a tuturor compușilor este mai bună comparativ cu suportul celulozic, intensitatea tip obținându-se cu 0,2% colorant pentru suportul proteic față de 0,3% colorant pentru cel celulozic.

Legăturile van der Waals pe care le stabilesc acești compuși cu suportul celulozic sunt în principal datorate restului provenit din acidul 4,4'-diaminostilben-2,2'-disulfonic. În cazul colorantului (**III**) împiedicările sterice fiind mai puternice (chiar și față de colorantul (**VI**), aceste legături sunt slabe. În cazul suportului proteic legarea acestor coloranți are loc prin legături ionice. Vopsirile tuturor coloranților pe ambele suporturi prezintă nuanțe de galben, galben-roșcat.

Flotele reziduale ale vopsirilor au fost mai puțin epuizate pentru suportul celulozic (cea mai bună epuizare a avut-o colorantul (**I**) iar în ceea ce privește suportul proteic acestea au fost epuizate pentru coloranții (**I, II, IV**) și ușor colorate pentru coloranții (**V și VI**).

În ceea ce privește rezistențele vopsirilor obținute, acestea sunt bune și comparabile, încadrându-se în limitele celor obținute în mod curent la coloranții direcți [174, 175] pentru coloranții (**I, II, IV, V, VI**) și slabe pentru colorantul (**III**).

Așa cum era de așteptat, rezistențele umede pentru suportul proteic vopsit sunt cu 1-1½ mai bune decât cele pentru suportul celulozic.

Tabel III.2 Valorile măsurătorilor de culoare pentru vopsirile coloranților (I-VI) comparativ cu suportul celulozic nevopsit

Nr. compus			I	II	III	IV	V	VI
A	Valori Tristimulus	X	76,07	76,97	87,09	73,36	76,09	68,32
		Y	58,95	59,54	73,16	57,07	59,74	53,04
		Z	3,22	3,47	11,58	3,70	4,32	4,23
	Coordonate cilindrice si rectangulare	C*	80,43	78,93	43,43	74,43	71,77	66,42
		h°	1,30	1,29	1,33	1,29	1,29	1,26
		L*	81,27	81,59	88,52	80,22	81,69	77,90
		a*	21,38	21,72	10,42	20,59	19,57	20,39
		b*	77,54	75,88	42,16	71,53	69,05	63,22
		ΔE*	76,33	74,80	38,68	70,59	67,71	63,25
	Diferențe de culoare	ΔL*	-11,57	-11,25	-4,32	-12,62	-11,15	-14,94
		ΔC*	75,43	73,93	38,43	69,43	66,77	61,42
		Δh°	1,46	1,64	0,68	1,62	1,51	2,11
F2	Valori Tristimulus	X	64,80	64,95	75,21	61,93	64,55	57,47
		Y	58,32	58,43	70,93	56,06	58,78	51,84
		Z	5,87	6,06	19,72	6,79	8,00	8,00
	Coordonate cilindrice si rectangulare	C*	79,79	78,98	46,80	73,20	70,57	63,89
		h°	1,44	1,44	1,49	1,44	1,45	1,42
		L*	80,91	80,97	87,45	79,65	81,17	77,18
		a*	10,31	10,39	3,93	9,35	8,67	9,61
		b*	79,12	78,29	46,63	72,60	70,04	63,17
		ΔE*	75,31	74,50	41,69	69,04	66,18	60,54
	Diferențe de culoare	ΔL*	-11,84	-11,78	-5,30	-13,11	-11,58	-15,57
		ΔC*	74,29	73,48	41,30	67,70	65,07	58,39
		Δh°	3,61	3,63	2,03	3,42	3,26	3,63
D65	Valori Tristimulus	X	54,66	55,10	65,25	52,81	55,11	49,39
		Y	50,04	50,70	65,22	48,82	51,50	45,57
		Z	9,27	9,75	31,22	10,70	12,58	12,48
	Coordonate cilindrice si rectangulare	C*	72,93	72,01	41,66	67,11	64,58	58,96
		h°	1,30	1,31	1,38	1,30	1,31	1,27
		L*	76,09	76,50	84,60	75,34	76,98	73,26
		a*	19,18	18,57	7,84	17,67	16,50	17,56
		b*	70,37	69,57	40,92	64,74	62,43	56,28
		ΔE*	70,32	69,31	37,83	64,86	64,98	57,77
	Diferențe de culoare	ΔL*	-16,44	-16,04	-7,94	-17,19	-15,55	-19,27
		ΔC*	68,09	67,17	36,82	62,27	59,74	54,12
		Δh°	6,10	5,97	3,53	5,86	5,61	6,09

Tabel III.3. Valorile măsurătorilor de culoare pentru vopsirile coloranților (II-VI) comparativ cu cea a colorantului (I) pe suport celulozic

Nr. compus			II	III	IV	V	VI
A	Valori Tristimulus	X	77,83	86,02	73,73	75,92	68,81
		Y	60,80	71,50	57,40	59,64	53,62
		Z	4,05	10,57	3,77	4,34	4,31
	Coordonate cilindrice și rectangulare	C*	75,01	46,48	74,14	71,53	66,24
		h°	1,29	1,31	1,29	1,30	1,26
		L*	82,27	87,73	80,40	81,64	78,24
		a*	20,43	11,97	20,53	19,47	19,95
		b*	72,18	44,91	71,24	68,63	63,16
	Diferențe de culoare	ΔE*	6,42	35,45	7,39	9,87	15,74
		ΔL*	0,60	6,06	-1,26	-0,02	-3,43
		ΔC*	-6,39	-34,92	-7,26	-9,87	-15,16
		Δh°	0,25	0,74	0,61	0,23	2,45
	F2	Valori Tristimulus	X	66,95	75,43	62,22	64,42
Y			59,74	71,55	56,37	58,69	52,44
Z			7,21	21,09	6,92	8,02	8,14
Coordonate cilindrice și rectangulare		C*	74,86	44,29	72,89	70,37	63,87
		h°	1,44	1,50	1,44	1,45	1,43
		L*	81,70	87,75	79,82	81,12	77,54
		a*	9,45	3,06	9,28	8,59	9,22
		b*	74,26	44,18	72,30	69,84	63,20
Diferențe de culoare		ΔE*	5,82	37,13	7,90	10,31	17,20
		ΔL*	0,44	6,49	-1,44	-0,14	-3,72
		ΔC*	-5,78	-36,36	-7,76	-10,28	-16,77
		Δh°	0,45	3,77	0,36	0,74	0,90
D65		Valori Tristimulus	X	56,08	64,87	53,09	55,01
	Y		52,21	64,41	49,14	51,45	46,17
	Z		11,52	29,87	10,91	12,62	12,71
	Coordonate cilindrice și rectangulare	C*	68,18	43,05	66,82	64,37	58,87
		h°	1,32	1,37	1,30	1,31	1,28
		L*	77,41	84,18	75,54	76,95	73,66
		a*	17,09	8,77	17,56	16,37	17,01
		b*	66,01	42,14	64,47	62,26	56,36
	Diferențe de culoare	ΔE*	5,81	31,91	7,02	9,47	15,24
		ΔL*	1,00	7,77	-0,87	0,54	-2,75
		ΔC*	-5,60	-30,74	-6,96	-9,41	-14,91
		Δh°	1,19	3,66	0,30	0,90	1,52

Tabel III.4. Valorile măsurătorilor de culoare pentru vopsirile coloranților (I-VI) comparativ cu suportul proteic nevopsit

Nr. compus			I	II	III	IV	V	VI
A	Valori Tristimulus	X	61,65	62,22	62,07	56,52	58,56	56,00
		Y	47,48	46,53	48,83	43,40	43,88	41,68
		Z	2,28	1,36	4,28	1,98	1,44	2,64
	Coordonate cilindrice si rectangulare	C*	78,55	90,73	61,14	77,57	86,47	69,44
		h°	1,30	1,30	1,27	1,30	1,29	1,21
		L*	74,49	73,89	75,35	71,83	72,15	70,65
		a*	20,75	24,61	18,02	20,53	23,88	24,37
		b*	75,76	87,33	58,42	74,80	83,10	65,02
		ΔE*	62,60	74,75	45,31	62,07	70,79	54,52
	Diferențe de culoare	ΔL*	-8,99	-9,60	-8,14	-11,66	-11,34	-12,84
		ΔC*	61,94	74,12	44,53	60,96	69,86	52,83
		Δh°	1,05	1,42	1,94	1,06	1,58	4,09
F2	Valori Tristimulus	X	51,40	51,57	51,83	47,37	48,61	46,22
		Y	46,27	45,30	46,63	42,48	42,77	40,16
		Z	3,64	2,22	7,04	3,28	2,37	4,70
	Coordonate cilindrice si rectangulare	C*	80,27	90,90	62,40	78,51	86,57	67,27
		h°	1,45	1,43	1,42	1,45	1,43	1,37
		L*	73,72	73,09	73,96	71,20	71,40	69,59
		a*	9,50	12,65	9,61	9,72	12,23	13,56
		b*	79,70	90,02	61,66	77,91	85,70	65,89
		ΔE*	63,21	73,89	45,71	61,93	69,87	51,66
	Diferențe de culoare	ΔL*	-9,42	-10,05	-9,19	-11,94	-11,75	-13,56
		ΔC*	62,34	72,97	44,47	60,58	68,64	49,34
		Δh°	4,60	5,74	5,25	4,75	5,68	7,13
D65	Valori Tristimulus	X	43,70	43,59	45,18	40,12	41,10	39,55
		Y	40,30	38,44	42,53	36,67	36,33	34,81
		Z	6,06	3,72	11,86	5,37	3,86	7,54
	Coordonate cilindrice si rectangulare	C*	72,98	83,86	56,34	71,62	79,71	62,16
		h°	1,34	1,30	1,31	1,32	1,30	1,21
		L*	69,68	68,34	71,23	67,03	66,77	65,60
		a*	16,91	22,34	14,55	17,50	21,65	21,87
		b*	70,99	80,83	54,43	69,45	76,71	58,18
		ΔE*	59,12	70,19	42,77	58,50	66,51	50,55
	Diferențe de culoare	ΔL*	-12,76	-14,10	-11,21	-15,42	-15,68	-16,84
		ΔC*	57,24	68,11	40,60	55,87	63,96	46,41
		Δh°	7,54	9,37	7,43	7,90	9,33	10,85

Tabel III.5 Valorile măsurătorilor de culoare pentru vopsirile coloranților (II-VI) comparativ cu cea a colorantului (I) pe suport proteic.

Nr. compus		II	III	IV	V	VI	
A	Valori Tristimulus	X	62,41	61,36	56,85	58,66	55,14
		Y	47,27	48,04	43,61	43,91	40,83
		Z	1,54	4,05	1,87	1,42	2,55
	Coordonate cilindrice si rectangulare	C*	88,31	62,18	79,27	86,80	69,56
		h°	1,31	1,27	1,31	1,29	1,20
		L*	74,36	74,85	71,96	72,17	70,06
		a*	23,00	18,57	20,70	24,04	24,89
		b*	85,26	59,35	76,52	83,41	64,95
		Diferențe de culoare	ΔE*	9,39	16,91	2,71	8,26
		ΔL*	-0,23	0,26	-2,63	-2,43	-4,54
		ΔC*	9,37	-16,76	0,32	7,86	-9,38
		Δh°	0,64	2,25	0,55	0,78	7,02
	F2	Valori Tristimulus	X	51,92	52,03	47,66	48,69
Y			46,12	46,97	42,72	42,79	39,29
Z			2,50	7,18	3,08	2,34	4,57
Coordonate cilindrice si rectangulare		C*	89,11	62,10	80,26	86,89	67,07
		h°	1,44	1,42	1,45	1,43	1,36
		L*	73,62	74,17	71,36	71,41	68,96
		a*	11,27	9,18	9,82	12,36	14,07
		b*	88,39	61,42	79,65	86,01	65,58
		Diferențe de culoare	ΔE*	8,61	18,50	2,45	7,04
		ΔL*	-0,18	0,37	-2,44	-2,39	-4,84
		ΔC*	8,60	-18,40	0,24	6,39	-13,43
		Δh°	0,39	1,84	0,04	1,71	6,54
D65		Valori Tristimulus	X	43,92	44,24	40,32	41,15
	Y		39,43	40,91	36,77	36,31	33,98
	Z		4,09	11,06	5,05	3,81	7,30
	Coordonate cilindrice si rectangulare	C*	81,91	57,16	73,26	80,00	62,15
		h°	1,32	1,28	1,33	1,29	1,20
		L*	69,06	70,11	67,10	66,76	64,94
		a*	20,22	16,64	17,79	21,87	22,58
		b*	79,38	54,69	71,07	76,96	57,90
		Diferențe de culoare	ΔE*	8,72	16,49	2,65	7,91
		ΔL*	-0,66	0,39	-2,62	-2,97	-4,78
		ΔC*	8,66	-16,09	0,02	6,76	-11,10
		Δh°	0,76	3,60	0,41	2,85	8,91

Tabel III.6. Rezistențele vopsirilor pe suport celulozic și proteic cu coloranții (I-VI)

Număr compus	I		II		III		IV		V		VI		
	lână	bbc	lână	bbc	lână	bbc	lână	bbc	lână	bbc	lână	bbc	
Nuanță	galben	galben	galben	galben	galben	galben	galben	galben	galben	galben	galben	galben	
Uniformitate	bună	bună	medie	bună	slabă	slabă	medie	medie	medie	medie	slabă	slabă	
Intensitate tip (%)	0,2	0,3	0,2	0,3	0,3	0,4	0,3	0,3	0,2	0,3	0,2	0,3	
Rezistența la apă	modificare nuanță	5	4-5	5	4-5	3	2-3	5	4-5	5	4-5	5	4-5
	cedare lână	5	4	5	4	3	2	5	4	5	4	5	4-5
	cedare bumbac	5	4	5	4	2-3	2-3	5	4-5	5	4-5	5	4-5
Rezistența la transpirație acidă	modificare nuanță	4-5	4-5	4-5	4-5	3-4	3	4-5	4-5	4-5	4-5	4-5	4-5
	cedare lână	4	4	4	4	3	3	4	4	4	4	4	4
	cedare bumbac	5	3-4	5	3-4	4-5	3	5	4	5	4	5	4
Rezistența la transpirație alcalină	modificare nuanță	4-5	4-5	4-5	4-5	3-4	3	4-5	4-5	4-5	4-5	4-5	4-5
	cedare lână	4	4	4	4	3	2-3	4-5	4	4	4	4	4
	cedare bumbac	4-5	3	4-5	3-4	2-3	2-3	5	3-4	4	3-4	4	4-5
Rezistența la spălare 40°C	modificare nuanță	4-5	4	4-5	4	2-3	2	4	4	4-5	4	4	4-5
	cedare lână	4-5	4-5	4-5	4-5	3	2-3	4-5	4-5	4-5	4-5	4-5	4-5
	cedare bumbac	3	2-3	3-4	3-4	3	2-3	3	3	3-4	3	3-4	3-4
Rezistența la frecare uscată	cedare bumbac	3	5	5	5	4	3	5	5	5	5	4-5	5
Rezistența la frecare umedă	cedare bumbac	3	5	4-5	4-5	3-4	3	4-5	4-5	4-5	5	4	5

1-rezistență foarte slabă; 2-rezistență slabă; 3-rezistență medie; 4-rezistență bună; 5-rezistență foarte bună
+mai roșu, ++mult mai roșu, +++foarte roșu

III.3 FACTORII CE INFLUENȚEAZĂ CULOAREA

Deoarece noțiunea de culoare a fost prezentată în subcapitolul I.3. în continuare se va insista doar asupra aspectelor, care au fost studiate în urma aplicării pe suport celulozic a coloranților stilbendisazoici (VII-XVI; XVIII-XX).

Termenul de *metamerism* este folosit pentru a descrie fenomenul observat când două suprafețe au o culoare similară într-un set de condiții, dar diferă în altul. Se știe că el apare deoarece

coeficienții cromatici X , Y , Z ai unei suprafețe colorate depind de trei factori; culoarea iluminantului, sensibilitatea spectrală a detectorului și reflexia spectrală a suprafeței.

Cel mai uzual este metamerismul iluminantului. Dacă două suprafețe colorate au aceleași curbe de reflexie, culoarea lor este identică, independent de iluminarea sub care sunt văzute

Dacă ele însă au curbele de reflexie diferite, pot apare având aceeași culoare sub un tip de iluminare, de exemplu la lumina solară și diferită sub un alt tip de iluminare de exemplu la lampa incandescentă. Fenomenul este datorat faptului că cele două suprafețe colorate pot stimula toți cei trei centri de excitare ai ochiului în aceeași măsură sub o iluminare specifică, dar nu sub o sursă de lumină diferită apărând în primul caz identice, iar în al doilea caz diferite [116].

Culorile ce apar aceleași sub un iluminant și diferite sub altul se numesc metamerice sau condițional egale. Figura III.3 prezintă un exemplu de două astfel de culori metamerice iar tabelul III.7 redă valorile obișnuite ale diferenței de culoare ($\Delta E^*CIELAB$) sub diferiți iluminanți.

Tabel III.7 Valorile $\Delta E^*CIELAB$ ale culorilor considerate sub iluminanți diferiți

Iluminantul	$\Delta E^*(CIELAB)$
A	7,7
D65	3,7
F2	4,0

A-lumina incandescentă ; *D65*-lumina zilei ; *F2*-lumina albă fluorescentă rece

Fenomenul de metamerism este de întâlnit în practică. În figurile III.4 și III.5 este dat exemplul a două probe de culoare care par identice observatorului când sunt privite sub un iluminant incandescent, dar proba 1 pare mai albastră în comparație cu proba 2 la lumina zilei.

Cele două culori sunt spectral identice de la 520 la 700nm, ele reflectând aceeași cantitate de lumină în porțiunea verde și roșie a spectrului.

Totuși cele două probe sunt foarte diferite în zona albastră a spectrului de la 400 la 520nm. În ciuda faptului că proba 1 are abilitatea de a reflecta de 3 ori mai multă lumină albastră decât proba 2, sursa de lumină incandescentă are foarte puțină lumină albastră disponibilă de a fi reflectată.

Ambele probe reflectă doar o cantitate mică de lumină albastră și culoarea lor pare aceeași.

Lumina zilei are o abundență de lumină în domeniul albastru, proba 1 reflectând mai multă lumină albastră decât proba 2 și astfel apare mai albastră sub acest iluminant. Metamerismul este în general o proprietate nedorită, însă este necesar ca ea să fie luată în calcul.

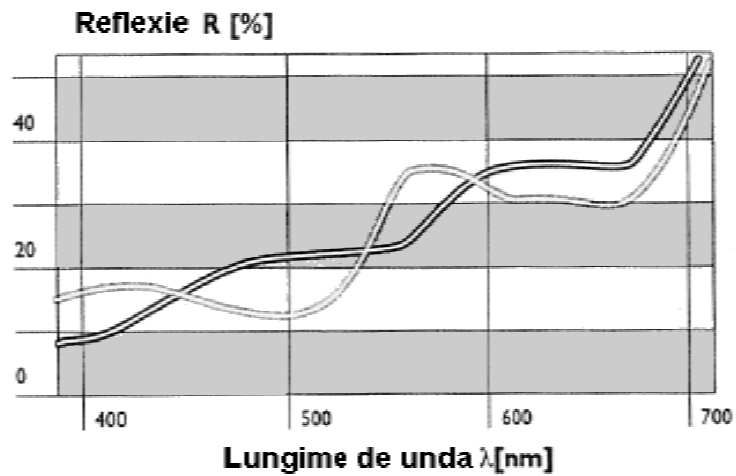


Fig.III.3 Curbe de reflexie a două culori metamerice [116]

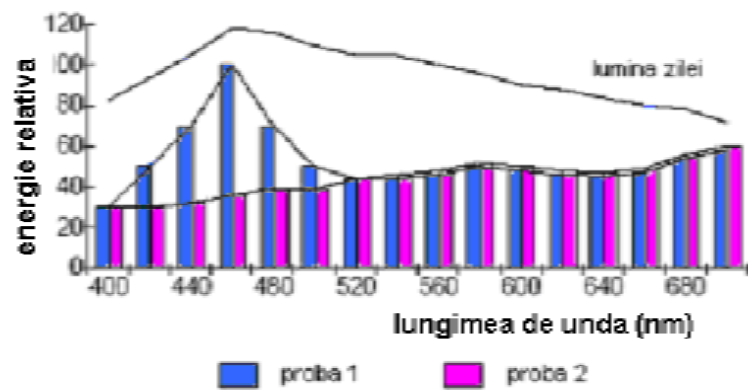


Fig.III.4 Reflexia probelor 1 și 2 în cazul folosirii luminii zilei ca iluminant [116]

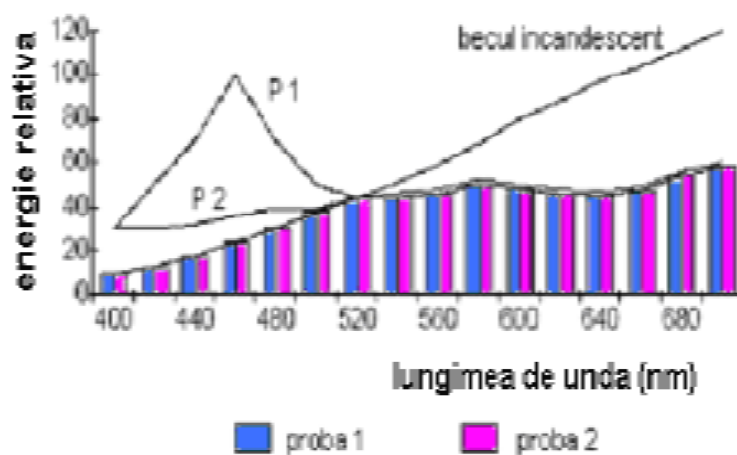


Fig.III.5 Reflexia probelor 1 și 2 în cazul folosirii becului incandescent ca iluminant [116]

După cum se știe, puterea de colorare este o mărime a abilității relative a unui colorant sau pigment de a modifica culoarea unui alt colorant la care este adăugat. Dintre factorii care influențează puterea de colorare a pigmentilor se pot aminti diametrul mediu al particulelor, forma particulelor, distribuția mărimii particulelor, natura pigmentilor. Pigmenții colorați se examinează în amestec cu pigmenții albi de obicei dioxid de titan, iar pigmenții albi în amestec cu negru de fum. Pigmenții organici au o putere de colorare mult mai mare decât pigmenții anorganici dar în același timp prezintă o putere de acoperire mai mică. Adăugarea de pigment alb sau negru la o culoare dată schimbă saturația și strălucirea amestecului.

Unul dintre factorii cei mai importanți care influențează puterea de colorare a pigmentilor este structura lor chimică. În cazul pigmenți și coloranți organici, puterea de colorare depinde de abilitatea de a absorbi anumite lungimi de undă. Cu cât crește conjugarea moleculelor, cu atât crește puterea de colorare [176].

Spectrul de absorbție în domeniul vizibil și prin urmare culoarea unui compus organic în general este influențat de valoarea pH-ului. De exemplu cianidina își modifică culoarea în funcție de pH, fiind roșie la pH acid, purpurie la pH neutru și albastră la pH bazic. Întreaga industrie a indicatorilor se bazează pe acest fenomen al modificărilor culorii unor substanțe în funcție de pH [176].

Conform legii lui **Lambert Beer**, odată cu creșterea concentrației colorantului în solvent are loc și creșterea absorbanței sau a densității optice. Mulți coloranți organici în soluții apoase prezintă o comportare spectroscopică anormală, și nu par să respecte legea lui **Beer** la concentrații înalte. Astfel, absorbanta soluției nu crește liniar cu creșterea concentrației ci este mai mică. Efectul poate fi datorat agregării, formării de dimeri, trimeri și agregate mai înalte de colorant. Efecte specifice care pot produce schimbări ale culorii cu concentrația sunt interacțiunile solvent-colorant și colorant-colorant.

În general, atunci când se dorește obținerea unei anumite culori aprecierea se face prin comparație cu un etalon impus. Atunci când coordonatele tricromatice ale probei și ale etalonului sunt egale înseamnă că s-a reprodus culoarea etalonului, însă acest lucru nu este posibil practic niciodată fiind necesară acceptarea unei toleranțe.

III.4 APLICAREA PE SUPORT DE LEMN A COLORANȚILOR STILBENDISAZOICI (VII-XVI:XVIII-XX)

Analiza de culoare a peliculelor obținute în urma aplicării pe lemn a probelor rezultate prin amestecarea cu *Pigment alb 6 (C.I 77 891)* (dioxid de titan) a coloranților stilbendisazoici

(VII-XVI; XVIII-XX) a fost efectuată prin intermediul spectrelor de reflexie (vezi anexa IV) și a măsurătorilor conform metodei *CIELAB*. Rezultatele analizei de culoare sunt prezentate în tabelele III.8-III.20. (vezi anexa V)

În acest sens trebuie precizat faptul că, toate determinările spectrofotometrice reprezintă de fapt valori medii ale acestora (ale înregistrărilor efectuate în trei puncte diferite ale peliculei colorate aplicate pe lemn) [166] și au fost efectuate la același observator (10°) respectiv trei iluminanți diferiți *D65*-lumina zilei, *A*-lumina incandescentă, *F2*-lumina fluorescentă albă rece). Au fost remarcate diferențe între acestea și cele rezultate în urma înregistrărilor efectuate în 1 [170] și respectiv în 2 puncte [161, 165, 166, 168, 169].

Prin urmare caracterizarea culorii peliculelor a fost efectuată atât în coordonate rectangulare (L^* , a^* , b^*) cât și în coordonate cilindrice (L^* , C^* , h°) iar diferența de culoare (ΔE^*) a fost raportată la un standard de alb (observațiile ce urmează făcând referire în special la iluminantul *D65*, considerat a fi cel mai des utilizat în studiile de culoare).

Coloranții (VII; VIII; XV) prezintă în amestec cu pigmentul alb un comportament asemănător: luminozitatea peliculelor (L^*) scade cu creșterea concentrației colorantului iar culoarea lor se deplasează atât spre galben cât și spre roșu. Dintre cei trei compuși cu structuri înrudite probele colorantului (VII) (a cărei componentă de cuplare este acidul salicilic) au calitatea de roșu (dată de valorile crescute ale lui a^*) cea mai pronunțată.

Având în vedere faptul că saturația (C^*) a culorii indică puritatea acesteia este firesc ca aceasta să crească cu creșterea concentrației de colorant din probe, pentru toți coloranții (VII; VIII; XV). Valorile cele mai ridicate ale diferenței de culoare (ΔE^*) raportate la standardul alb sunt înregistrate pentru peliculele colorantului (XV) (a cărei componentă de cuplare este salicilamida) ceea ce indică o putere de colorare superioară a acestuia față de cea a coloranților (VII) și (VIII).

Din datele spectrofotometrice prezentate în tabelele III.8, III.9, III.16 se poate observa influența așteptată a naturii iluminantului (*D65*, *A*, *F2*) asupra caracteristicilor culorii probelor compușilor mai sus menționați.

Urmărind în continuare valorile obținute în urma măsurătorilor de culoare efectuate în cazul peliculelor coloranților (IX; X; XI) din tabelele III.10-III.12 se observă cu ușurință două aspecte: primul este legat de faptul că cei trei coloranți au fost solubili în aceeași bază Lazur și al doilea este cel legat de structurile lor aproape identice (vezi schema II.5; cap II.2).

Prin urmare în toate situațiile luminozitatea (L^*) probelor scade odată cu creșterea concentrației de colorant iar prin valorile înregistrate pentru a^* și b^* culoarea acestora este deplasată concomitent spre galben și spre roșu. Din modificările valorilor unghiului tonal (h°) care exprimă cel mai bine și într-un mod intuitiv culoarea s-ar putea aprecia că probele

colorantului (X) (care are drept componentă de cuplare *m*-clorosalicilanilida) au culoarea deplasată cel mai puternic spre roșu.

În situația colorantului (XI) s-au făcut măsurători spectrofotometrice la aceeași concentrație a colorantului din probe (cea mai mare din serie și anume de 15%), utilizând însă baze Lazur care diferă prin valoarea pH-ului (7,45; 8,43; 9,12). Figura III.6 ilustrează modificările de culoare apărute în acest caz.

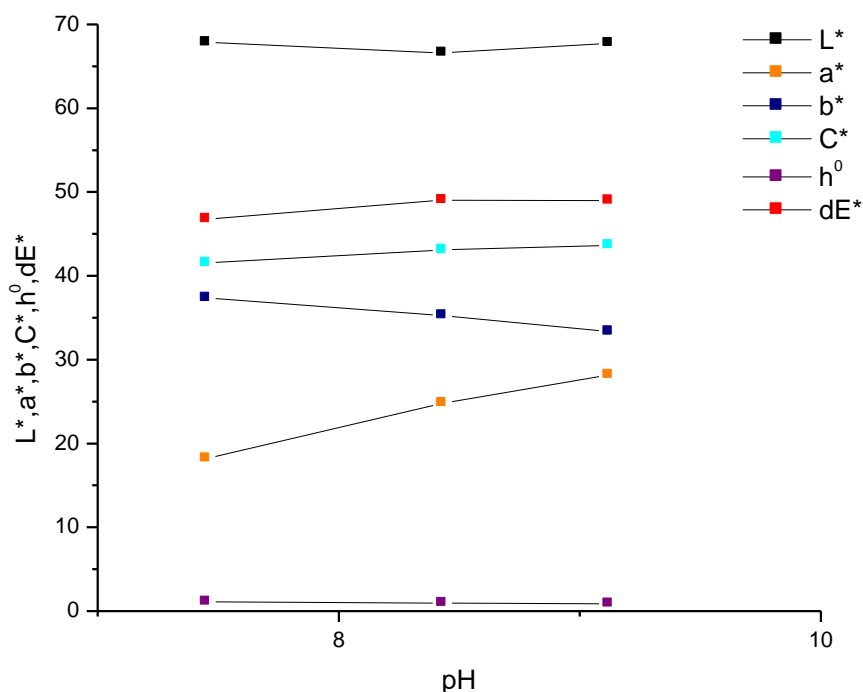


Fig. III.6. Dependența caracteristicilor culorii colorantului (XI) de pH (la o concentrație de 15 % colorant în probă)

unde L^* -luminozitatea; a^* , b^* -calitatea de roșu/verde; C^* -saturația; h^o -unghiul tonal; dE^* -diferența de culoare

În același timp se observă că din cei trei coloranți cu structură înrudită (IX; X; XI) cea mai mare saturație (C^*) o au probele colorantului (X). Acesta are și cea mai mare putere de colorare (exprimată prin ΔE^*). În cazul peliculelor celor trei coloranți (IX; X; XI) cele mai mari valori ale diferenței de culoare sunt înregistrate la utilizarea iluminantului A.

Evoluția culorii peliculelor compușilor (XII; XIII; XIV) cu structuri înrudite (vezi schema II.5; cap II.2) și a căror date spectrofotometrice sunt prezentate în tabelele III.13.-III.15. este asemănătoare cu cea a coloranților (IX; X; XI), singura diferență dintre cele două serii constituind-o natura atomului de halogen grefat pe nucleul aromatic al componentei de cuplare (brom respectiv clor) (vezi schema II.5; cap II.2).

Luminozitatea probelor (L^*) scade odată cu creșterea concentrației de colorant. Creșterea valorilor lui a^* și ale lui b^* reflectă deplasarea culorii probelor în spațiul color **CIELAB** atât spre roșu cât și spre galben. Valori subunitare ale unghiului tonal (h°) înregistrate pentru peliculele coloranților mai sus menționați, arată o puternică calitate de roșu a acestora ușor mai pronunțată în cazul peliculelor colorantului (**XIII**), (care are drept componentă de cuplare *m*-bromosalicilanilida).

Saturația culorii (C^*) se referă la puritatea acesteia și prin urmare ea este proporțională cu concentrația din probe a colorantului, fapt evidențiat pentru toți coloranții (**XII**; **XIII**; **XIV**). Și în această serie de compuși, sub iluminantul *A* sunt înregistrate cele mai mari diferențe de culoare (ΔE^*).

Toate caracteristicile culorii înregistrate pentru probele colorantului (**XVI**) și prezentate în tabelul **III.17** indică deplasarea spre roșu a culorii acestora chiar dacă aplicarea sa pe suport de lemn s-a efectuat cu o bază mai acidă. Acest fapt s-ar putea datora heterociclului greșit pe componenta de cuplare a acestui colorant.

În amestec cu dioxid de titan colorantul (**XVIII**) a cărei componentă de cuplare este rezorcina, conduce la obținerea unor probe de o culoare cu o evidentă calitate de roșu explicitată prin valorile mici ale unghiului tonal (h°) și respectiv din ce în ce mai închisă pe măsura creșterii concentrației acestuia. Valorile saturației (C^*) peliculelor evoluează firesc, colorantul prezentând în același timp și o mare putere de colorare mai ales când iluminarea se face cu becul incandescent (*A*). Rezultatele măsurătorilor spectrofotometrice sunt prezentate în tabelul **III.18**.

Colorantul (**XIX**) a fost obținut prin cuplarea sării de diazoniu a acidului 4,4'-diaminostilben-2,2'-disulfonic cu acidul 2-hidroxi-3-naftoic. Acesta din urmă cunoscut și sub numele de **acid BON** este des utilizat drept componentă de cuplare în sinteza pigmentilor azo [176].

Din măsurătorile de culoare prezentate în tabelul **III.19** se observă că peliculele acestui colorant are valori scăzute ale luminozității în comparație cu ceilalți coloranți studiați din această serie, valori ce variază invers proporțional cu concentrația colorantului. Înregistrarea unor valori negative atât pentru a^* cât și pentru b^* indică deplasarea culorii probelor spre albastru dar și spre verde, cea din urmă neputând fi observată cu ochiul liber. Acest lucru este mai ușor de sesizat din valorile unghiului tonal (h°). Saturația (C^*) și diferența de culoare (ΔE^*) a probelor cresc cu concentrația de aplicare a colorantului.

În ceea ce privește peliculele colorantului (**XX**) a căror date spectrofotometrice sunt prezentate în tabelul **III.20** se observă că toate caracteristicile culorii evoluează firesc raportat la concentrația colorantului din probe. Acestea prezintă o saturație (C^*) direct proporțională cu concentrația colorantului care deține în același timp și o bună putere de colorare.

Culorile peliculelor coloranților (**XIX**; **XX**) se situează în punctele cele mai îndepărtate ale spațiului color **CIELAB** ceea ce se poate observa din valorile mult diferite ale unghiului tonal (h°) și anume între 0,36-0,56 în cazul probelor colorantului (**XX**) ceea ce îl poziționează în zona de roșu, respectiv între 4,54-4,66 în cazul probelor colorantului (**XIX**) valori care îl poziționează în zona de albastru. Calitățile reduse de galben pentru peliculele colorantului (**XX**) și de verde pentru cele ale colorantului (**XIX**) sunt exprimate prin valorile diminuate ale lui b^* și respectiv negative ale lui a^* fapt ce nu poate fi sesizat cu ochiul liber. Acești coloranți au proprietatea de a închide cel mai mult culoarea peliculelor în amestec cu dioxidul de titan prezentând deopotrivă și cele mai scăzute valori ale luminozității (L^*) din întreaga serie de coloranți studiată.

Coloranții (**XVIII**; **XIX**) și (**XX**) prezintă în amestec cu dioxidul de titan culori diferite în comparație cu ale celorlalți coloranți cu structuri înrudite (**VII-XVI**). Acest fapt se explică prin influența decisivă a naturii componentelor de cuplare din structura coloranților asupra culorii acestora. În plus sarea de bis-diazoniu a acidului 4,4'-diaminostiben-2,2'-disulfonic cuplează cu acidul 2-hidroxi-3-naftoic în poziția 1 a nucleului naftalenic în timp ce cu acidul 1-hidroxi-2-naftoic cuplează în poziția 4 a acestuia. În acest fel se obțin doi coloranți (**XIX**) și (**XX**) de culori diferite și prin urmare, de nuanțe diferite în combinație cu dioxidul de titan.

Tabel III.8 Valorile măsurătorilor de culoare pentru peliculele colorantului (VII) comparativ cu standardul alb.

Illuminant		A Stand.	A₁ 2%col	A₂ 5%col	A₃ 8%col	A₄ 15%col
D65	L*	95,20	90,66	86,57	82,64	79,58
	a*	0,12	3,03	8,87	15,83	20,64
	b	4,02	18,31	27,40	35,90	42,19
	X	83,59.	75,18	69,58	65,05	61,41
	Y	88,10	77,74	69,14	61 ,49	55,94
	Z	88,71	60,90	44,77	32,39	24,72
	C*	4,02	18,56	28,80	39,24	46,96
	h°	1,54	1,41	1,26	1,16	1,12
	ΔE*		15,28	26,42	37,70	46,06
A	L*	95,50	92,18	89,23	86,45	84,17
	a*	1,23	5,67	11,40	17,92	21,98
	b*	4,03	20,12	31,23	41,79	49,69
	X	99,47	93,49	89,38	86,28	83,06
	Y	88,82	81,12	74,64	68,89	64,39
	Z	29,34	20,27	14,91	10,79	8,19
	C*	4,21	20,91	33,24	45,47	54,33
	h°	1,28	1,30	1,22	1,17	1,15
	ΔE*		17,02	29,71	42,27	51,42
F2	L*	95,42	92,00	88,95	85,96	83,57
	a*	0,13	1,49	5,05	9,66	12,53
	b*	4,27	20,80	31,64	41,75	48,95
	X	91,59	84,15	79,07	74,86	71,21
	Y	88,61	80,71	74,06	67,91	63,24
	Z	57,17	39,05	28,72	20,78	15,95
	C*	4,27	20,85	32,04	42,85	50,53
	h°	1,54	1,50	1,41	1,34	1,32
	ΔE*		16,93	28,55	39,81	47,85

Tabel III.9 Valorile măsurătorilor de culoare pentru peliculele colorantului (VIII) comparativ cu standardul alb.

Illuminant		A Stand	A₁ 2%col	A₂ 5%col	A₃ 8%col	A₄ 15%col
D65	L*	95,20	85,77	79,25	74,60	69,68
	a*	0,12	5,75	11,,69	13,31	16,09
	b*	4,02	23,02	33,29	36,64	37,11
	X	83,59	66,58	57,10	49,96	43,42
	Y	88,10	67,53	55,35	47,65	40,30
	Z	88,71	47,52	30,10	22,93	18,16
	C*	4,02	23,73	35,28	38,98	40,44
	h°	1,54	1,33	1,23	1,22	1,16
	ΔE*		21,95	35,29	40,77	44,73
A	L*	95,50	87,85	82,46	78,12	73,51
	a*	1,23	9,43	15,87	17,83	20,38
	b*	4,03	25,40	37,39	41,05	42,22
	X	99,47	84,89	75,88	67,55	59,59
	Y	88,82	71,75	61,15	53,42	45,95
	Z	29,34	15,96	10,21	7,84	6,20
	C*	4,21	27,09	40,62	44,76	46,88
	h°	1,28	1,22	1,17	1,16	1,12
	ΔE*		24,14	38,70	44,14	48,05
F2	L*	95,42	87,33	81,54	76,97	72,10
	a*	0,13	3,53	7,41	8,45	10,30
	b*	4,27	26,29	38,00	41,63	42,08
	X	91,59	74,75	64,71	56,61	49,02
	Y	88,61	70,68	59,46	51,48	43,80
	Z	57,17	30,22	19,03	14,42	11,43
	C*	4,27	26,52	38,72	42,48	43,32
	h°	1,54	1,44	1,38	1,37	1,33
	ΔE		23,70	37,19	42,49	45,57

Tabel III.10 Valorile măsurătorilor de culoare pentru peliculele colorantului (IX) comparativ cu standardul alb.

Illuminant		A Stand.	A₁ 2%col	A₂ 5%col	A₃ 8%col	A₄ 15%col
D65	L*	95,20	82,70	76,73	76,02	68,50
	a*	0,12	13,57	18,19	19,87	24,39
	b*	4,02	20,16	29,33	30,66	34,57
	X	83,59.	64,16	55,36	54,81	44,52
	Y	88,10	61,59	51,09	49,93	38,65
	Z	88,71	45,27	29,85	28,13	18,40
	C*	4,02	24,30	34,51	36,53	42,31
	h°	1,54	0,98	1,02	1,00	0,96
	ΔE*		24,25	36,17	38,31	47,28
A	L*	95,50	85,37	80,30	80,26	72,71
	a*	1,23	15,39	21,13	22,19	26,44
	b*	4,03	24,77	35,58	37,37	42,12
	X	99,47	82,29	73,81	74,24	60,75
	Y	88,82	66,74	57,22	57,14	44,73
	Z	29,34	14,85	9,77	9,36	5,99
	C*	4,21	29,16	41,39	43,46	49,73
	h°	1,28	1,01	1,03	1,03	1,01
	ΔE*		27,08	40,29	42,23	51,05
F2	L*	95,42	84,70	79,28	79,05	71,33
	a*	0,13	9,08	11,96	13,16	16,42
	b*	4,27	23,48	33,85	35,76	40,12
	X	91,59	71,90	62,38	62,47	50,09
	Y	88,61	65,43	55,41	55,01	42,67
	Z	57,17	29,21	19,14	18,14	11,62
	C*	4,27	25,17	35,91	38,10	43,35
	h°	1,54	1,20	1,23	1,22	1,18
	ΔE*		23,74	35,71	37,81	46,16

Tabel III.11 Valorile măsurătorilor de culoare pentru peliculele colorantului (X) comparativ cu standardul alb.

Illuminant		A Stand.	A₁ 2%col	A₂ 5%col	A₃ 8%col	A₄ 15%col
D65	L*	95,20	79,06	73,39	71,10	65,49
	a*	0,12	19,02	24,00	24,42	25,65
	b*	4,02	24,21	33,45	36,88	38,23
	X	83,59	59,78	52,01	48,49	40,60
	Y	88,10	55,03	45,76	42,34	34,66
	Z	88,71	36,56	23,57	19,51	14,34
	C*	4,02	30,78	41,17	44,23	46,04
	h°	1,54	0,90	0,95	0,99	0,98
	ΔE*		32,02	43,73	47,44	52,01
A	L*	95,50	82,65	77,82	75,67	70,17
	a*	1,23	20,48	26,31	26,87	28,14
	b*	4,03	30,27	41,05	44,20	45,55
	X	99,47	78,73	71,04	66,82	56,73
	Y	88,82	61,51	52,90	49,35	41,00
	Z	29,34	12,03	7,74	6,49	4,81
	C*	4,21	36,55	48,75	51,73	53,55
	h°	1,28	0,98	1,00	1,02	1,02
	ΔE*		34,99	48,09	51,63	55,59
F2	L*	95,42	81,08	75,24	73,74	68,28
	a*	0,13	12,71	16,13	16,60	17,25
	b*	4,27	28,12	38,71	42,72	43,52
	X	91,59	66,23	56,69	54,24	45,53
	Y	88,61	58,62	48,66	46,29	38,36
	Z	57,17	23,30	14,39	12,12	9,10
	C*	4,27	30,86	41,93	45,83	46,81
	h°	1,54	1,15	1,18	1,20	1,19
	ΔE*		30,54	43,00	47,11	50,69

Tabel III.12 Valorile măsurătorilor de culoare pentru peliculele colorantului (XI) comparativ cu standardul alb.

Illuminant		A Stand.	A₁ 2%col	A₂ 5%col	A₃ 8%col	A₄ 15%col
D65	L*	95,20	77,97	75,95	70,65	66,59
	a*	0,12	15,72	18,88	23,57	24,80
	b*	4,02	22,82	27,13	34,06	35,26
	X	83,59	56,50	54,30	47,48	41,88
	Y	88,10	53,16	49,81	41,67	36,09
	Z	88,71	36,17	30,44	20,57	16,49
	C*	4,02	27,71	33,06	41,43	43,11
	h*	1,54	0,97	0,96	0,97	0,96
	ΔE*		29,90	35,45	45,34	49,03
A	L*	95,50	81,09	79,77	75,29	71,09
	a*	1,23	17,90	20,79	25,55	27,12
	b*	4,03	28,47	33,25	41,37	42,81
	X	99,47	73,89	72,48	65,43	57,98
	Y	88,82	58,63	56,28	48,75	42,31
	Z	29,34	11,80	10,09	6,87	5,44
	C	4,21	33,63	39,21	48,63	50,68
	h°	1,28	1,01	1,01	1,02	1,01
	ΔE*		32,91	38,52	48,94	52,64
F2	L*	95,42	80,20	78,68	73,76	69,47
	a*	0,13	10,36	12,79	15,79	16,77
	b*	4,27	26,88	31,52	39,27	40,45
	X	91,59	63,43	61,60	53,95	47,21
	Y	88,61	57,04	54,38	46,33	40,00
	Z	57,17	23,17	19,72	13,29	10,54
	C*	4,27	28,81	34,02	42,32	43,79
	h°	1,54	1,20	1,19	1,19	1,18
	ΔE*		29,11	34,39	44,03	47,53

Tabel III.13 Valorile măsurătorilor de culoare pentru peliculele colorantului (XII) comparativ cu standardul alb

Illuminant		A Stand.	A₁ 2%col	A₂ 5%col	A₃ 8%col	A₄ 15%col
D65	L*	95,20	77,07	71,89	69,31	60,57
	a*	0,12	17,36	21,87	24,45	25,83
	b*	4,02	22,58	31,24	35,36	35,73
	X	83,59	55,61	48,80	45,74	34,19
	Y	88,10	51,65	43,39	39,77	28,76
	Z	88,71	35,16	23,35	18,70	15,27
	C*	4,02	28,48	38,13	42,99	44,08
	h°	1,54	0,92	0,96	0,97	0,95
	ΔE*		31,15	41,92	47,38	53,57
A	L*	95,50	80,60	76,01	74,11	65,12
	a*	1,23	18,66	24,41	27,00	27,82
	b*	4,03	27,94	38,34	43,00	43,35
	X	99,47	73,20	66,36	63,75	47,82
	Y	88,82	57,74	49,91	46,88	34,20
	Z	29,34	11,72	7,66	6,24	5,01
	C*	4,21	33,59	45,46	50,78	51,50
	h°	1,28	0,98	1,00	1,01	1,00
	ΔE*		33,13	45,77	51,39	56,35
F2	L*	95,42	79,58	74,86	72,03	63,00
	a*	0,13	11,33	14,52	16,56	17,52
	b*	4,27	26,28	36,24	40,97	41,15
	X	91,59	62,68	55,36	51,31	37,92
	Y	88,61	55,94	48,06	43,71	31,59
	Z	57,17	22,93	15,07	11,74	9,86
	C*	4,27	28,62	39,05	44,20	44,72
	h*	1,54	1,16	1,19	1,19	1,17
	ΔE*		29,33	40,64	46,52	52,09

Tabel III.14 Valorile măsurătorilor de culoare pentru peliculele colorantului (XIII) comparativ cu standardul alb

Illuminant		A Stand.	A₁ 2%col	A₂ 5%col	A₃ 8%col	A₄ 15%col
D65	L*	95,20	79,62	74,68	71,59	66,03
	a*	0,12	16,64	21,35	23,39	26,40
	b*	4,02	21,18	28,61	33,22	36,47
	X	83,59.	59,79	53,12	48,88	41,61
	Y	88,10	56,00	47,77	43,05	35,36
	Z	88,71	39,78	27,95	21,92	15,51
	C*	4,02	26,93	35,70	40,63	45,03
	h°	1,54	0,90	0,93	0,96	0,94
	ΔE*		28,47	38,43	44,18	50,94
A	L*	95,50	82,36	78,58	76,01	71,16
	a*	1,23	18,51	23,12	25,82	29,10
	b*	4,03	27,00	35,48	40,67	44,73
	X	99,47	77,03	71,08	67,02	58,98
	Y	88,82	60,97	54,20	49,90	42,43
	Z	29,34	12,76	9,14	7,22	5,17
	C*	4,21	32,74	42,35	48,18	53,36
	h°	1,28	0,97	0,99	1,01	0,99
	ΔE*		31,61	41,89	48,25	55,01
F2	L*	95,42	81,60	77,36	74,64	68,95
	a*	0,13	11,15	14,36	15,46	17,70
	b*	4,27	25,04	33,50	38,21	41,72
	X	91,59	66,53	59,81	55,35	46,73
	Y	88,61	59,56	52,13	47,70	39,27
	Z	57,17	25,36	17,87	14,20	9,92
	C*	4,27	27,41	36,45	41,21	45,32
	h*	1,54	1,15	1,17	1,19	1,17
	ΔE*		27,27	37,19	42,64	49,10

Tabel III.15 Valorile măsurătorilor de culoare pentru peliculele colorantului (XIV) comparativ cu standardul alb

Illuminant		A Stand	A₁ 2%col	A₂ 5%col	A₃ 8%col	A₄ 15%col
D65	L*	95,20	78,92	75,31	72,47	66,77
	a*	0,12	16,61	20,72	23,15	24,54
	b*	4,02	22,56	28,63	32,23	33,40
	X	83,59	58,54	53,94	50,20	42,04
	Y	88,10	54,79	48,78	44,37	36,32
	Z	88,71	37,68	28,66	23,36	17,52
	C*	4,02	28,02	35,34	39,68	41,44
	h°	1,54	0,94	0,94	0,95	0,94
	ΔE*		29,68	37,76	42,93	47,62
A	L*	95,50	82,23	79,08	76,82	71,40
	a*	1,23	18,65	23,01	25,34	27,01
	b*	4,03	28,05	35,27	39,41	40,93
	X	99,47	76,80	72,10	68,46	58,50
	Y	88,82	60,72	55,07	51,23	42,77
	Z	29,34	12,42	9,37	7,72	5,82
	C*	4,21	33,68	42,11	46,86	49,04
	h°	1,28	0,98	0,99	1,00	0,99
	ΔE*		32,51	41,48	46,72	51,07
F2	L*	95,42	81,36	77,96	75,21	69,56
	a*	0,13	11,31	14,17	15,68	16,63
	b*	4,27	26,51	33,42	37,27	38,42
	X	91,59	66,13	60,85	56,45	47,30
	Y	88,61	59,12	53,14	48,61	40,13
	Z	57,17	24,37	18,34	14,90	11,21
	C*	4,27	28,82	36,30	40,43	41,86
	h*	1,54	1,17	1,17	1,17	1,16
	ΔE*		28,59	36,76	41,70	45,90

Tabel III.16 Valorile măsurătorilor de culoare pentru peliculele colorantului (XV) comparativ cu standardul alb

Iluminant		A Stand.	A₁ 2%col	A₂ 5%col	A₃ 8%col	A₄ 15%col
D65	L*	95,20	85,24	82,13	78,09	75,62
	a*	0,12	7,70	10,08	12,84	15,06
	b*	4,02	34,35	40,96	46,74	49,94
	X	83,59	66,43	61,59	55,55	52,27
	Y	88,10	66,48	60,54	53,36	49,28
	Z	88,71	36,96	28,28	20,65	16,91
	C*	4,02	35,20	42,18	48,48	52,16
	h°	1,54	1,35	1,33	1,30	1,28
	ΔE*		32,81	40,43	47,75	52,11
A	L*	95,50	88,07	85,49	81,94	79,81
	a*	1,23	11,82	14,51	16,98	18,87
	b*	4,03	37,75	45,05	51,80	55,74
	X	99,47	86,78	82,09	75,31	71,62
	Y	88,82	72,22	66,97	60,20	56,35
	Z	29,34	12,52	9,65	7,06	5,77
	C*	4,21	39,56	47,33	54,51	58,85
	h°	1,28	1,27	1,26	1,25	1,24
	ΔE*		36,12	44,27	52,09	56,85
F2	L*	95,42	87,58	84,82	81,16	78,93
	a*	0,13	4,42	5,83	7,33	8,58
	b*	4,27	39,11	46,42	52,65	56,07
	X	91,59	75,74	70,57	63,93	60,24
	Y	88,61	71,20	65,66	58,76	54,81
	Z	57,17	23,42	17,85	13,08	10,75
	C*	4,27	39,36	46,78	53,16	56,73
	h°	1,54	1,46	1,45	1,43	1,42
	ΔE*		35,96	43,83	50,95	55,01

Tabel III.17 Valorile măsurătorilor de culoare pentru peliculele colorantului (XVI) comparativ cu standardul alb

Iluminant		A	A ₁	A ₂	A ₃	A ₄
		Stand.	2%col	5%col	8%col	15%col
D65	L*	95,20	84,41	76,16	71,29	67,34
	a*	0,12	10,52	16,40	19,60	21,55
	b*	4,02	19,35	27,31	29,47	32,58
	X	83,59	66,09	53,67	47,06	41,87
	Y	88,10	64,86	50,14	42,62	37,08
	Z	88,71	48,77	30,55	23,78	18,40
	C*	4,02	22,03	31,86	35,39	39,06
	h°	1,54	1,07	1,03	0,98	0,99
	ΔE*		21,44	34,21	39,39	45,29
A	L*	95,50	86,83	79,63	75,23	71,62
	a*	1,23	12,81	19,43	22,61	24,68
	b*	4,03	23,08	32,72	35,70	39,35
	X	99,47	84,33	71,51	63,93	57,91
	Y	88,82	69,66	56,04	48,64	43,09
	Z	29,34	16,14	10,16	7,91	6,13
	C*	4,21	26,39	38,05	42,26	46,44
	h°	1,28	1,06	1,03	1,01	1,01
	ΔE*		23,92	37,50	43,26	48,66
F2	L*	95,42	86,20	78,42	73,69	69,83
	a*	0,13	6,98	10,99	13,18	14,35
	b*	4,27	22,45	31,41	33,79	37,10
	X	91,59	74,05	60,33	52,79	46,90
	Y	88,61	68,40	53,93	46,22	40,51
	Z	57,17	31,37	19,57	15,23	11,77
	C*	4,27	23,51	33,28	36,27	39,78
	h°	1,54	1,27	1,23	1,20	1,20
	ΔE*		21,50	33,81	38,90	43,98

Tabel III.18 Valorile măsurătorilor de culoare pentru peliculele colorantului (XVIII) comparativ cu standardul alb

Illuminant		A Stand.	A₁ 2%col	A₂ 5%col	A₃ 8%col	A₄ 15%col
D65	L*	95,20	77,39	73,42	69,84	58,71
	a*	0,12	16,35	18,87	24,07	24,78
	b*	4,02	14,70	17,14	22,56	23,09
	X	83,59	55,75	50,13	46,42	31,64
	Y	88,10	52,18	45,81	40,53	26,71
	Z	88,71	42,01	34,52	26,48	15,85
	C*	4,02	21,99	25,49	32,99	33,86
	h°	1,54	0,73	0,74	0,75	0,75
	ΔE*		26,36	31,59	39,51	47,99
A	L*	95,50	80,22	76,69	73,98	62,95
	a*	1,23	17,70	20,45	25,23	26,13
	b*	4,03	19,89	23,10	30,20	30,89
	X	99,47	71,91	65,86	62,68	43,75
	Y	88,82	57,08	51,01	46,68	31,53
	Z	29,34	13,70	11,24	8,58	5,13
	C*	4,21	26,62	30,85	39,35	40,46
	h°	1,28	0,84	0,85	0,87	0,87
	ΔE*		27,50	32,97	41,52	49,00
F2	L*	95,42	79,12	75,31	72,36	61,03
	a*	0,13	11,16	12,84	16,35	16,53
	b*	4,27	17,08	19,79	26,18	26,49
	X	91,59	61,72	55,46	51,78	34,99
	Y	88,61	55,14	48,77	44,19	29,28
	Z	57,17	27,36	22,50	17,32	10,37
	C*	4,27	20,40	23,59	30,87	31,22
	h°	1,54	0,99	1,00	1,01	1,01
	ΔE*		23,48	28,40	35,71	44,10

Tabel III.19 Valorile măsurătorilor de culoare pentru peliculele colorantului (XIX) comparativ cu standardul alb

Iluminant		A Stand	A₁ 2%col	A₂ 5%col	A₃ 8%col	A₄ 15%col
D65	L*	95,20	69,59	62,37	57,12	47,34
	a*	0,12	-2,34	-2,66	-2,28	-1,05
	b*	4,02	-13,79	-17,11	-17,91	-19,72
	X	83,59	37,37	28,55	23,23	15,26
	Y	88,10	40,17	30,84	25,04	16,28
	Z	88,71	56,36	47,32	40,03	28,75
	C*	4,02	13,99	17,32	18,05	19,75
	h°	1,54	4,54	4,56	4,59	4,66
	ΔE*		31,29	39,15	44,01	53,44
A	L*	95,50	68,24	60,66	55,35	45,50
	a*	1,23	-5,03	-6,47	-6,45	-5,98
	b*	4,03	-15,81	-19,59	-20,40	-22,19
	X	99,47	40,81	30,22	24,27	15,47
	Y	88,82	38,29	28,86	23,28	14,90
	Z	29,34	18,38	15,38	12,98	9,28
	C*	4,21	16,59	20,63	21,39	22,98
	h°	1,28	4,40	4,39	4,41	4,45
	ΔE*		34,30	42,80	47,62	56,92
F2	L*	95,42	68,39	60,90	55,61	45,73
	a*	0,13	-1,31	-1,49	-1,22	-0,32
	b*	4,27	-16,20	-20,02	-20,86	-22,90
	X	91,59	39,33	29,68	24,01	15,51
	Y	88,61	38,50	29,13	23,52	15,07
	Z	57,17	36,47	30,66	25,94	18,67
	C*	4,27	16,25	20,08	20,90	22,90
	h°	1,54	4,63	4,64	4,65	4,70
	ΔE*		39,93	42,24	47,10	56,63

Tabel III.20 Valorile măsurătorilor de culoare pentru peliculele colorantului (XX) comparativ cu standardul alb

Iluminant		A Stand.	A₁ 2%col	A₂ 5%col	A₃ 8%col	A₄ 15%col
D65	L*	95,20	68,93	63,80	53,98	50,13
	a*	0,12	18,54	20,35	21,65	21,77
	b*	4,02	7,07	9,56	13,13	13,75
	X	83,59	43,15	36,68	25,63	21,90
	Y	88,10	39,24	32,56	21,95	18,52
	Z	88,71	36,30	28,15	16,67	13,78
	C*	4,02	19,84	22,48	25,32	25,74
	h°	1,54	0,36	0,44	0,55	0,56
	ΔE*		32,24	37,76	47,39	50,93
A	L*	95,50	71,58	66,83	57,35	53,51
	a*	1,23	19,60	21,48	22,66	22,73
	b*	4,03	12,27	15,44	19,62	20,01
	X	99,47	55,68	48,21	34,59	29,79
	Y	88,82	43,04	36,41	25,29	21,52
	Z	29,34	11,75	9,09	5,37	4,43
	C*	4,21	23,12	26,45	29,97	30,34
	h°	1,28	0,56	0,62	0,71	0,72
	ΔE*		31,27	36,91	46,45	49,83
F2	L*	95,42	70,01	65,11	55,58	51,70
	a*	0,13	13,09	14,22	14,95	15,03
	b*	4,27	8,29	11,19	15,36	16,07
	X	91,59	46,72	39,79	27,96	23,87
	Y	88,61	40,77	34,19	23,49	19,88
	Z	57,17	23,68	18,37	10,88	9,00
	C*	4,27	15,50	18,10	21,43	22,00
	h°	1,54	0,56	0,67	0,80	0,81
	ΔE*		28,80	34,13	43,93	47,67

În concluzie:

- din determinările efectuate privind aplicarea pe suport textil și caracterizarea din punct de vedere tinctorial a coloranților sintetizați (**I-VI**), se constată că doar compușii **I, II, IV** și **V** pot fi utilizați la vopsirea suporturilor celulozice (bumbac) și proteice (lână) în nuanțe de galben până la galben roșcat cu condiția îmbunătățirii solubilității produselor ca atare și a capacității de egalizare la aplicare [177].

- diferențele totale de culoare *CIELAB* (ΔE^*) înregistrate pentru coloranții (**I-VI**) aplicați pe suport textil celulozic și proteic au fost explicitate ca diferență de croma (ΔC^*), de luminozitate (ΔL^*) și de nuanță (Δh°) evidențiindu-se diferențe între termenii seriei în funcție de structura acestora atât pentru același tip de suport cât și pentru suporturi diferite [177].

- analiza de culoare în sistem *CIELAB* a coloranților rezultate în urma amestecului cu *Pigment alb 6* (C.I. 77 891) (dioxid de titan), a coloranților sintetizați (**VII-XVI; XVIII-XX**) și a aplicării lor ulterioare pe suport de lemn sub forma unor pelicule, a condus la furnizarea unor informații importante legate de posibilitatea utilizării acestor coloranți la obținerea unor game variate de culori dar și de eventuale corelații între acestea și structurile lor chimice.

[161, 165-170, 178].

IV. PARTEA EXPERIMENTALĂ

IV.1 INSTALAȚIE PENTRU SINTEZĂ, INSTALAȚIE PENTRU VOPSIRE, REACTIVI UTILIZAȚI

IV.1.1 INSTALAȚIE PENTRU SINTEZĂ

Instalația folosită pentru sinteză cuprinde:

- Balon cu trei gâturi
- Agitator cu paleți, magnetic
- Termometru, pâlnie de picurare

IV.1.2 INSTALAȚIE PENTRU VOPSIRE

Instalația folosită pentru vopsirea materialului textil celulozic cuprinde:

- Baie de vopsire alcătuită dintr-o cuvă de apă, deschisă (250 mL), cu sistem de încălzire și agitare, în care este suspendat un pahar din sticlă (250 mL) în interiorul căruia se efectuează vopsirea propriu-zisă
- Aparat de vopsire Linitest alcătuit dintr-o cuvă de apă sau etilenglicol, cu sistem de încălzire și agitare în care se află 8 pahare închise din inox (200mL), în interiorul căruia se efectuează vopsirea propriu-zisă
- Termometru

IV.1.3 REACTIVI UTILIZAȚI

- Acid 4,4'-diaminostilben-2,2'-disulfonic 95%, Acrôs Organics
- Carbonat de sodiu anhidru p.a. S.C. Chimopar S.A.
- Azotit de sodiu p.a. S.C. Chimopar S.A.
- Acid clorhidric 30-32% S.C. Chimopar S.A.
- Acid sulfamic p.a. Loba Chemie
- Acid acetic 96% S.C. Chimopar S.A.
- Acetoacetanilidă 98% Merck
- Acetoacet-2,4-dimetilanilidă 98% Merck
- Acetoacet-2,5-dimetoxi-4-cloranilidă 86% Merck

-
-
- Acetoacet-2-cloranilidă 98% Merck
 - Acetoacet-2-metilanilidă 98% Merck
 - Acetoacetilaminobenzoimidazol-2-onă 95% (produs de cercetare ICECHIM –București)
 - Hidroxid de sodiu 98% Lachema
 - Amoniac (25%) S.C. Silal Trading S.R.L.
 - Reactiv Ehrlich (soluție etanolică 1% 4-N,N'-dimetilaminobenzaldehidă, preparată în laborator)
 - Acid 1-amino-8-naftol-3,6-disulfonic sare monosodică Merck 85%
 - Clorură de sodiu p.a. S.C. Chimopar S.A.
 - Carbonat de sodiu p.a. S.C. Chimopar S.A.
 - Sulfat de sodiu p.a. S.C. Chimopar S.A.
 - Sulfat de amoniu p.a. S.C. Chimopar S.A.
 - NF9 (nonilfenol polietoxilat cu 9 punți etilenoxidice) Brazi
 - Salicilanilidă 98% Alfa Aesar
 - o-clorosalicilanilidă 95% ; m-clorosalicilanilidă 95% ; p-clorosalicilanilidă 95% ;
 - o-bromosalicilanilidă 95%; m-bromosalicilanilidă 95%; p-bromosalicilanilidă 95% (intemediari de sinteză: Facultatea de Chimie Industrială și Ingineria Mediului Timișoara)
 - Alcool metilic p.a. S.C. Chimopar S.A.
 - Alcool etilic p.a. S.C. Silal Trading S.R.L.
 - Salicilamidă 98% Alfa Aesar
 - Amida acidului salicilic cu 3-amino-1-H-1,2,4-triazol 95% ; amida acidului salicilic cu 2-amino-benzotiazol 95% (intemediari de sinteză: Facultatea de Chimie Industrială și Ingineria Mediului Timișoara)
 - Cloroform p.a. S.C. Chimopar S.A.
 - Isopropanol p.a. S.C. Chimopar S.A.
 - Metil-etil-cetonă p.a. S. C. Chimopar S.A.
 - Rezorcină 99% S.C. Chimopar S.A.
 - Acid 2-hidroxi -3-naftoic 95% Merck
 - Acid 1-hidroxi-2naftoic 95% Merck
 - Baza Lazur S.C. Azur S.A.(lac pe bază de emulsie acrilică aposă)
 - Pasta X_T (65% TiO₂) Monicolor
 - Acid salicilic p.a. S.C. Chimopar S.A.
 - Uree p.a. S. C. Chimopar S.A.
 - Ciclohexan 99% Carlo Erba

-
- Dioxan p.a. Fluka
 - Piridină p.a. Fluka
 - Dimetilsulfoxid p.a. Carlo Erba
 - Acetonă p.a. Silal S.C. Trading S.R.L.
 - N, N-dimetilformamidă p.a. Carlo Erba
 - Eter etilic anhidru p.a. S.C. Chimopar S.A.

IV.2 METODE DE ANALIZĂ UTILIZATE

IV.2.1 METODE CROMATOGRAFICE

Urmărirea reacțiilor ca și aprecierea calitativă a purității produselor sintetizate (materii prime nereacționate, produși secundari) s-a făcut prin cromatografie pe strat subțire, urmărindu-se formarea colorantului și transformarea materiilor prime.

S-a lucrat cu următoarele sisteme de eluenți:

- pentru coloranții stilbendisazoici (**I-VI**): un amestec de alcool etilic: NH_3 25% 10:1=(v/v)

Drept fază staționară s-a utilizat oxid de aluminiu 60 (Merck) depus pe folie de aluminiu. Solubilizarea probelor s-a făcut în alcool etilic p.a. la o concentrație de 0,2% iar aplicarea soluțiilor de analizat s-a făcut la nivelul de 3 μL . Identificarea compușilor separați s-a efectuat prin vizualizare directă a spoturilor colorate.

Purificarea coloranților a fost efectuată prin cromatografie pe coloană. A fost utilizată o coloană cromatografică de sticlă, cu diametrul de 2,5cm și lungimea de 30cm, prevăzută la partea inferioară cu un robinet și un disc filtrant de porțelan.

În coloană se introduce faza fixă: 80g oxid de aluminiu 90 (70-230msh, ASTM) (Merck) (aceeași ca și în cromatografia în strat subțire) împreună cu 150mL ciclohexan. Se lasă să se scurgă solventul din coloană cu viteză mică, lovind din când în când pereții acesteia pentru evacuarea aerului și urmărind totodată ca în permanență să existe 1cm de lichid deasupra umpluturii.

Înainte de introducere în coloană coloranții se extrag în etanol (1g colorant brut în 25mL etanol), se decantează (sau se filtrează, după caz), și se amestecă cu Al_2O_3 (4,5g) într-un mojar care se lasă acoperit până a doua zi.

După introducerea colorantului în coloană, cromatografierea se execută prin adăugarea treptată a fazei mobile: amestec de alcool etilic :NH₃25%=10:1(v/v) (aceeași ca și în cromatografia în strat subțire) pe la partea superioară a coloanei și evacuarea pe la partea inferioară pe unde are loc și evacuarea ciclohexanului reglându-se cu ajutorul robinetului viteza de scurgere a acestora.

Compușii s-au separat pe toată lungimea coloanei cu specificația că ordinea acestora este inversă față de cromatografia în strat subțire (compusul cu R_f-ul cel mai mare în cromatografia în strat subțire se află la baza coloanei).

Prin continuarea adăugării eluentului s-au separat și s-au izolat ca soluții în fază mobilă pe la partea inferioară a coloanei, pe rând în vase de colectare compușii separați.

- pentru coloranții stilbendisazoici (**VII-XX**): un amestec de isopropanol:metil-etil cetonă:NH₃25% în raport (v/v/v): 5:3:4 (**VII**); 4:3:4 (**VIII**); 4:3:5 (**IX**); 4:3:5,5 (**X**); 4:3:4,5 (**XI**); 4:3:6 (**XII**; **XIII**; **XIV**); un amestec de metil-etil-cetonă:NH₃25%:metanol în raport (v/v/v) 6:3:2 (**XV**); 7:6:4 (**XVI**); 3:2:3 (**XVIII**); 5:3:1 (**XIX**); 2:2:1 (**XX**); un amestec de cloroform:NH₃25%:metanol în raport (v/v/v):1:3:2 (**XVII**)

Drept fază staționară s-a utilizat silicagel 60F-254 Merck pe plăci de sticlă. S-au aplicat atât probe din coloranții obținuți (a căror spoturi colorate au fost vizualizate direct) cât și probe din componentele de cuplare utilizate (a căror spoturi au fost vizualizate cu ajutorul lămpii UV).

Coloranții au fost purificați prin dizolvare la cald, într-un amestec de dioxan:piridină (90:10) (v/v) (0,4g colorant în 15 mL solvent), menținere la fierbere la reflux timp de 3,5 ore, tratare cu cărbune activ (0,1g), filtrare și spălare a filtrului cu amestecul de solvenți menționat.

După evaporarea a 5-10mL solvent din soluția rezultată și menținerea ei timp de aproximativ 24 ore, la temperatură scăzută 5-10°C (frigider) are loc precipitarea colorantului pur (cca. 0,1g).

Investigarea purității compușilor sintetizați s-a efectuat utilizând un cromatograf JASCO, dotat cu pompă model PU-1580, degazor și detector de adsorbție optică UV-VIS-model MD-1510.

A fost aplicată cromatografia în fază inversă, utilizând pentru separare o coloană Nucleosil C18 (umplută cu silicagel, pe care sunt grefate resturi octadecil, 5μm) și drept solvent de eluare isocratică, metanol apos (83%), la un debit cuprins între 0,9-1mL.

Datele au fost prelucrate cu programul BORWIN PDA 1.50

IV.2.2 ANALIZA ELEMENTALĂ

Conținutul în carbon, hidrogen și azot s-a determinat cu un analizor Carlo-Erba M 1106 (beneficiind de relațiile de colaborare ce există cu Universitatea "Politehnica" București respectiv ICECHIM București)

IV.2.3 METODELE SPECTROSCOPICE

Spectrele de absorbție în domeniul UV-VIS, au fost efectuate, în cuve de cuarț, cu o grosime a stratului de 1cm, pe un spectrometru JASCO V-570, CECIL CE 7200 și respectiv Perkin Elmer λ_{12} , la o temperatură de $25 \pm 0,5^{\circ}\text{C}$.

Spectrele IR au fost înregistrate pe probe în pastilă de bromură de potasiu, pe un spectrometru BRUKER TENSOR 37, JASCO FT/IR-4200 respectiv Specord M80.

Spectrele ^1H și ^{13}C -RMN au fost înregistrate pe un spectrometru BRUKER AVANCE DRX 400MHz, la o temperatură de $25 \pm 0,5^{\circ}\text{C}$.

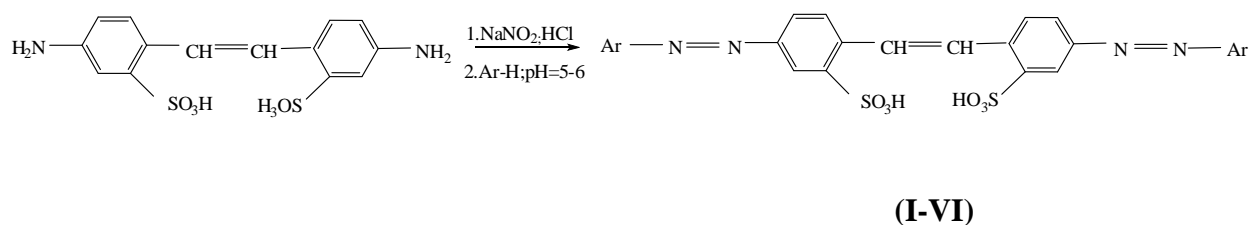
Spectrele de masă au fost efectuate pe un aparat Thermo-Finnigan LC-QESI-MS, utilizând pentru separare o coloană Nucleosil C18 (umplută cu silicagel, pe care sunt grefate resturi octadecil, $5\mu\text{m}$) și drept solvent de eluare, acetonitril apos (50%). Indicii de refracție ai bazei Lazor au fost determinate cu ajutorul unui refractometru Abbé.

Spectrele de reflexie și măsurătorile de culoare au fost efectuate pe eșantioane vopsite din bumbac și lână (în cazul coloranților **I-VI**) și pe pelicule aplicate pe lemn (în cazul coloranților **VII—XVI; XVIII-XX**) pe un spectrofotometru Minolta 3200d echipat cu dispozitiv de reflexie la 10° , pentru trei iluminanți CIE standard (D65, A și F2), rezultatele fiind calculate după metoda CIELAB 1976 cu ajutorul programului CorobQUALITY.

IV.3 OBȚINEREA COLORANȚILOR STILBENDISAZOICI

IV.3.1 OBȚINEREA COLORANȚILOR STILBENDISAZOICI (I-VI) AVÂND DREPT COMPONENTE DE CUPLARE COMBINAȚII CETONICE ENOLIZABILE

Sinteza acestor coloranți s-a realizat după metoda generală prezentată în reacțiile de mai jos:



unde Ar: acetoacetanilida (pentru **I**); aceoacet-2,4-dimetilanilida (pentru **II**); acetoacet-2,5-dimetoxi-4-cloranilida (pentru **III**); acetoacet-2-cloranilida (pentru **IV**); acetoacet-2-metilanilida (pentru **V**); acetoacetilaminobenzoimidazol-2-ona (**VI**).

În toate sintezele ce au implicat reacții de diazotare s-a controlat permanent excesul de nitrit cu hârtie iod-amidonată și prezența/absența diaminei cu soluție alcoolică 1% de 4-N,N'-dimetilaminobenzaldehidă (reactiv Ehrlich) în aureolă pe hârtie de filtru.

În toate sintezele ce au implicat o reacție de cuplare, sfârșitul reacției de cuplare s-a determinat prin controlul prezenței/absenței sării de diazoniu cu o soluție alcalină de acid 1-amino-8-naftol-3,6-disulfonic (acid H), respectiv controlul prezenței/absenței componentei de cuplare cu o soluție de p-nitrodiazobenzen, în aureola colorantului saiefiat pe hârtie

Diazotarea acidului 4,4'-diaminostilben-2,2'-disulfonic prin varianta inversă

Se prepară 25mL soluție apoasă conținând 1,95g acid 4,4'-diaminostilben-2,2'-disulfonic 95% (0,005moli) și 0,75g carbonat de sodiu anhidru 98% (0,007moli), la care se adaugă 5mL soluție apoasă conținând 0,71g azotit de sodiu 98% (0,0101moli). Soluția obținută se picură sub agitare în timp de 10 minute peste o soluție formată din 3mL acid clorhidric 32% (0,03moli) și 50g gheață, astfel încât temperatura pe parcursul bis-diazotării să nu depășească 5°C. Suspensia rezultată se agită încă 1 oră pentru definitivarea reacției. Excesul de acid azotos se distruge cu acid sulfamic iar la masa de reacție se adaugă 2g acid acetic 96%. Sarea de diazoniu obținută (cca. 80ml) se tratează cu diferite componente de cuplare.

IV.3.1.1 SINTEZA COLORANTULUI (I) PRIN CUPLAREA SĂRII DE BIS-DIAZONIU A ACIDULUI 4,4'-DIAMINOSTILBEN-2,2'-DISULFONIC CU ACETOACETANILIDA

Se prepară o soluție apoasă care conține 2g acetoacetanilidă 98% (0,011 moli), 4,2mL soluție apoasă de hidroxid de sodiu 40% (0,059moli) și 50g apă și se amestecă până la solubilizarea acesteia. Se adaugă înainte de efectuarea cuplării 20g gheață pentru scăderea temperaturii la 5-10°C, după care soluția de cuplantă se adaugă în 15 minute, în fir subțire peste suspensia conținând componenta de diazotare, astfel încât temperatura să nu depășească 10°C. Masa de reacție are un pH situat în jurul valorii de 5 datorat soluției tampon (CH₃COOH/CH₃COONa) create și o culoare galbenă. Se menține pentru cuplare la temperatura menționată anterior, sub agitare timp de 2 ore. Produsul se separă prin filtrare la vid, se spală cu apă distilată pe filtru și se usucă la 70°C. În final se obțin 3,16g colorant brun ($\eta=85\%$)

C₃₄H₃₀N₆O₁₀S₂; M=746,77

CSS: spot galben, R_f=0,24; sistem de solvenți: alcool etilic:NH₃ 25%=10:1 (v/v)

UV-VIZ (referință etanol)[λ_{max}(nm);lgε_{max}]:

234,5 (4,129); 264 (4,121);433,5 (4,543)

IR [KBr,(cm⁻¹):

3445i, 1660i, 1596i, 1557i, 1510fi, 1446i, 1361m, 1279i, 1182fi, 1077i, 1022i, 951m, 885s, 751m, 682s, 633i, 532m, 435s

¹H-RMN [(CD₃)₂SO],δ(ppm):

H₁;H₄;H₁₃;H₁₇₋₇,53-7,82(m);H₃-8,01(d);H₆-8,12(s);H₈-2,53;H₁₀-3,43;H₁₄;H₁₆-7,39(t);H₁₅-7,16(t); NH^{CO}-11,20;SO₃H-13,89

¹³C-RMN [100MHz;(CD₃)₂SO],δ(ppm):

129,05(C₁);131,65;(C₂);128,05(C₃);116,36(C₄);146,70(C₅);114,47(C₆);139,96(C₇);25,68(C₈);198,11(C₉);161,88(C₁₁);137,36(C₁₂);120,29(C₁₃);126,85(C₁₄);124,50(C₁₅);126,68(C₁₆);120,19(C₁₇)

Analiză elementală [(%),calc./găsit]:

C(54,68/55,02);H(4,05/4,28);N(11,25/11,06)

IV.3.1.2 SINTEZA COLORANTULUI (II) PRIN CUPLAREA SĂRII DE BIS-DIAZONIU A ACIDULUI 4,4'-DIAMINOSTILBEN-2,2'-DISULFONIC CU ACETOACET-2,4-DIMETILANILIDA

Se prepară o soluție apoasă care conține o cantitate echivalentă a 0,011moli acetoacet-2,4-dimetilanilida (98%), 4,2mL soluție apoasă de hidroxid de sodiu 40% (0,059moli) în 50g apă și se amestecă până la solubilizarea completă a acesteia. Înainte de începerea reacției de cuplare se asigură răcirea până la 5-10⁰C a cuplantei prin adăugarea peste aceasta a 20g gheață. Diazotanta obținută în prima etapă, se tratează în fir subțire în 20 de minute cu soluția acetoacet-2,4-dimetilanilidei la o temperatură situată în jurul valorii de 8°C. Soluția tampon (CH₃COOH/CH₃COONa) formată asigură un pH de 5,5 pe tot parcursul cuplării. După adăugarea tuturor reactanților masa de reacție cu aspectul unei suspensii de culoare galben-roșcat se menține sub agitare aproximativ 2 ore. Colorantul se separă din masa de reacție prin filtrare la vid. Precipitatul obținut se spală cu apă distilată pe filtru și se usucă la temperatura de 70°C. Colorantul de culoare brună cântărește 3,32g (η=83%)

C₃₈H₃₈N₆O₁₀S₂; M=802,87

CSS: spot galben-roșcat, $R_f=0,37$; sistem de solvenți: alcool etilic: NH_3 25%=10:1(v/v)

UV-VIZ (referință etanol)[λ_{max} (nm);lg ϵ_{max}]:

255,5 (4,304); 420 (4,660)

IR [KBr,(cm^{-1})]:

3446i, 1655i, 1597i, 1509fi, 1361m, 1279i, 1187fi, 1079i, 1023i, 954m, 885s, 822m, 712s, 669s, 631i, 542m, 433s

$^1\text{H-RMN}$ [(CD_3) $_2\text{SO}$], δ (ppm):

H_1 ; H_4 -7,50-7,80(m); H_3 -8,02(d); H_6 -8,15(s); H_8 -2,55; H_{10} -3,51; H_{14} ; H_{16} ; H_{17} -6,91-7,20(m); CH_3 -2,28; NH^{CO} -11,19; SO_3H -14,46

$^{13}\text{C-RMN}$ [100MHz;(CD_3) $_2\text{SO}$], δ (ppm):

126,87(C_1); 131,94(C_2); 126,60(C_3); 116,55(C_4); 146,81(C_5); 114,44(C_6); 139,72(C_7); 25,81(C_8); 198,90(C_9); 161,91(C_{11}); 139,58(C_{12}); 131,01(C_{13}); 132,96(C_{14}); 133,70(C_{15}); 128,11(C_{16}); 121,46(C_{17}); 7,63/20,49(CH_3)

Analiză elementală [(%),calc./găsit]:

C(56,85/57,16); H(4,77/4,98); N(10,47/10,24)

IV.3.1.3 SINTEZA COLORANTULUI (III) PRIN CUPLAREA SĂRII DE BIS-DIAZONIU A ACIDULUI 4,4'-DIAMINOSTILBEN-2,2'-DISULFONIC CU ACETOACET-2,5-DIMETOXI-4-CLORANILIDA

Se prepară o soluție apoasă care conține 3,48g acetoacet-2,5-dimetoxi-4-cloranilidă 86% (0,011 moli), 4,2mL soluție apoasă de hidroxid de sodiu 40% (0,059moli) în 50g apă și se amestecă până la solubilizarea acesteia. În scopul scăderii temperaturii la 5-10°C peste cuplantă se adaugă 20g gheață. Suspensia conținând componenta de diazotare se tratează în fir subțire în 20 minute cu componenta de cuplare, astfel încât temperatura să nu depășească 10°C. Masa de reacție, este o suspensie de culoare galbenă și are un pH situat în jurul valorii de 5,5-6 datorat soluției tampon ($\text{CH}_3\text{COOH}/\text{CH}_3\text{COONa}$). Se menține pentru definitivarea cuplării la temperatura menționată anterior, sub agitare timp de 2 ore. Produsul se separă prin filtrare la vid, se spală cu apă distilată pe filtru și se usucă la 70°C. În final se obțin 3,76g colorant brun ($\eta=81\%$)

$\text{C}_{38}\text{Cl}_2\text{H}_{36}\text{N}_6\text{O}_{14}\text{S}_2$; M=934,76

CSS: spot galben $R_f=0,38$; sistem de solvenți: alcool etilic: NH_3 25%=10:1 (v/v)

UV-VIZ (referință etanol)[λ_{max} (nm);lg ϵ_{max}]:

222,5 (3,940); 249,5 (3,794); 305,5 (3,750); 429 (4,122)

IR [KBr,(cm⁻¹):

3446i, 1771s, 1733s, 1653i, 1594s, 1540i, 1507fi, 1397i, 1361s, 1305m, 1211fi, 1079m, 1024i, 952m, 778s, 639i, 538m, 419m, 397m

¹H-RMN [(CD₃)₂SO],δ(ppm):

H₁-7,58(d);H₃-7,98(d);H₄-7,76(d);H₆-8,12(s);H₈=2,54;H₁₀-3,40;H₁₄-7,20(s);H₁₇-8,30(s);

OCH₃-3,86,NH^{CO}-11,79;SO₃H=14,38

¹³C-RMN [100MHz;(CD₃)₂SO],δ(ppm):

126,86(C₁);132,01(C₂);126,73(C₃);116,44(C₄);146,78(C₅);116,44(C₆);139,47(C₇);25,83(C₈);198,52(C₉);161,74(C₁₁);125,52(C₁₂);142,78(C₁₃);113,05(C₁₄);115,29(C₁₅);148,24(C₁₆);105,07(C₁₇);56,9/56,5(OCH₃)

Analiză elementală [(%),calc./găsit]:

C(48,77/49,09);H(3,88/4,05);N(8,98/8,63)

IV.3.1.4 SINTEZA COLORANTULUI (IV) PRIN CUPLAREA SĂRII DE BIS-DIAZONIU A ACIDULUI 4,4'-DIAMINOSTILBEN-2,2'-DISULFONIC CU ACETOACET-2-CLORANILIDA

Se amestecă 2,38g acetoacet-2-cloranilidă 98% (0,011moli) cu 4,2mL soluție apoasă de hidroxid de sodiu 40% (0,059moli) și 50 g apă. După solubilizarea completă a componentei de cuplare se adaugă 20g gheață pentru răcire până la 5-10°C. Tratarea suspensiei diazotantei se face în 15 minute prin adăugarea soluției acetoacet-2-cloranilidei în fir subțire la o temperatură situată în jurul valorii de 9°C și la un pH aflat în jurul valorii de 5 (asigurat de soluția tampon CH₃COOH/CH₃COONa). Pentru definitivarea cuplării suspensia galbenă formată se mai menține sub agitare 2 ore. Produsul se separă prin filtrare la vid. În urma spălării pe filtru cu apă distilată și uscare la 70-80°C se obțin 3,5 gcolorant de culoare brună (η=87%)

C₃₄Cl₂H₂₈N₆O₁₀S₂; M=815,66

CSS: spot galben, R_f=0,40; sistem de solvenți: alcool etilic:NH₃25%=10:1 (v/v)

UV-VIZ (referință etanol)[λ_{max}(nm);lgε_{max}]:

237 (3,969); 263 (3,931); 433 (4,352)

IR [KBr,(cm⁻¹):

3446i, 1716s, 1654i, 1591i, 1507fi, 1443i, 1361m, 1283i, 1183fi, 1078m, 1022i, 952m, 748s, 699s, 632i, 535m, 419m, 397m

¹H-RMN [(CD₃)₂SO], δ(ppm):

H₁-7,61(d); H₃-8,01(d); H₄-7,75(d); H₆-8,15(s); H₈-2,55; H₁₀=3,43; H₁₄-7,55(d); H₁₅-7,18(t); H₁₆-7,38(t); H₁₇-8,44(d); NH^{CO}-11,83; SO₃H-14,35

¹³C-RMN [100MHz;(CD₃)₂SO], δ(ppm):

126,88(C₁); 132,20(C₂); 127,80(C₃); 116,79(C₄); 146,79(C₅); 114,77(C₆); 139,61(C₇); 25,79(C₈); 198,79(C₉); 162,15(C₁₁); 134,29(C₁₂); 125,56(C₁₃); 129,50(C₁₄); 123,04(C₁₅); 125,78(C₁₆); 122,13(C₁₇)

Analiză elementală [(%), calc./găsit]:

C(50,07/50,88); H(3,46/3,75); N(10,30/10,11)

IV.3.1.5 SINTEZA COLORANTULUI (V) PRIN CUPLAREA SĂRII DE BIS-DIAZONIU A ACIDULUI 4,4'-DIAMINOSTILBEN-2,2'-DISULFONIC CU ACETOACET-2-METILANILIDA

Se prepară o soluție apoasă care conține o cantitate echivalentă a 0,011moli acetoacet-2,4-dimetilanilida (98%), 4,2mL soluție apoasă de hidroxid de sodiu 40% (0,059moli) în 50g apă și se amestecă până la solubilizarea completă a acestora. Înainte de începerea reacției de cuplare se asigură răcirea până la 5-10⁰C a cuplantei prin adăugarea peste aceasta a 20g gheață. Diazotanta obținută în prima etapă, se tratează în fir subțire cu cuplanta în 15 minute, la o temperatură situată în jurul valorii de 8°C. Soluția tampon (CH₃COOH/CH₃COONa) formată asigură un pH de 5,5 pe tot parcursul cuplării. După adăugarea tuturor reactanților masa de reacție cu aspectul unei suspensii de culoare galben-roșcat se menține sub agitare aproximativ 2 ore. Colorantul se separă din masa de reacție prin filtrare la vid. Precipitatul obținut se spală cu apă distilată pe filtru și se usucă la temperatura de 70°C. Colorantul de culoare brună cântărește 3,19g (η=86%).

C₃₆H₃₄N₆O₁₀S₂; M=744,82

CSS: spot galben-roșcat, R_f=0,41; sistem de solvenți: alcool etilic:NH₃25%=10:1 (v/v)

UV-VIZ (referință etanol)[λ_{max}(nm);lgε_{max}]:

236,5(4,037); 259 (4,056); 433 (4,461)

IR [KBr,(cm⁻¹):

3446i, 1716s, 1653i, 1589s, 1557i, 1508fi, 1457i, 1361m, 1181i, 1078m, 1022m, 952s, 751m, 633i, 419m, 397m

¹H-RMN [(CD₃)₂SO], δ(ppm):

H₁-7,60(d); H₃-8,01(d); H₄-7,75(d); H₆; H₁₇-8,06-8,20(m); H₈-2,56; H₁₀-3,40; H₁₄; H₁₆-7,17-7,33(m);
H₁₅-7,09(t); CH₃-2,34, NH^{CO}-11,27; SO₃H-14,42

¹³C-RMN [100MHz; (CD₃)₂SO], δ(ppm):

126,38(C₁); 131,96(C₂); 130,48(C₃); 116,58(C₄); 146,84(C₅); 114,48(C₆); 139,70(C₇); 25,82(C₈); 198,
87(C₉); 161,94(C₁₁); 135,59(C₁₂); 128,08(C₁₃); 126,85(C₁₄); 124,64(C₁₅); 126,76(C₁₆); 121,55(C₁₇); 1
7,69(CH₃)

Analiză elementală [(%), calc./găsit]:

C(55,80/56,21); H(4,42/4,63); N(10,85/10,71)

IV.3.1.6 SINTEZA COLORANTULUI (VI) PRIN CUPLAREA SĂRII DE BIS-DIAZONIU A ACIDULUI 4,4'-DIAMINOSTILBEN-2,2'-DISULFONIC CU 5-ACETOACETILAMINOBENZOIMIDAZOL-2-ONA

Soluția componentei de cuplare se prepară prin solubilizarea completă a 2,7g 5-acetoacetilaminobenzoimidazol-2-onă 95% (0,011moli) în 4,2 mL soluție apoasă de hidroxid de sodiu 40% (0,059moli) și 50g apă. Prin adăugarea a 20g gheață cuplanta este răcită la 5-10°C. La temperatura de 10°C și la un pH de 5,5-6 obținut de formarea soluției tampon (CH₃COOH/CH₃COONa), soluția 5-acetoacetilaminobenzoimidazol-2-ona se adaugă în 25 de minute în fir subțire peste suspensia sării de diazoniu a acidului 4,4'-diaminostilben-2,2'-disulfonic. Suspensia de culoare galben-roșcat obținută se menține sub agitare aproximativ 2,5 ore. Colorantul se separă din masa de reacție prin filtrare la vid. Precipitatul obținut se spală cu apă distilată pe filtru și se usucă la temperatura de 70°C. Colorantul de culoare brună cântărește 3,85g (η=90%).

C₃₆H₃₀N₁₀O₁₂S₂; M=858,82

CSS: spot galben-roșcat R_f=0,33; sistem de solvenți: alcool etilic:NH₃25%=10:1 (v/v)

UV-VIZ (referință etanol)[λ_{max}(nm);lgε_{max}]:

223 (3,919); 261 (3,595); 293 (3,642); 440,4 (3,881)

IR [KBr,(cm⁻¹):

3446i, 1698fi, 1652i, 1558i, 1540i, 1507fi, 1362m, 1200fi, 1077m, 1021m, 950s, 634m, 397m

¹H-RMN [(CD₃)₂SO], δ(ppm):

H₁; H₄-7,40-8,00(m); H₃-8,00(d); H₆-8,11(s); H₈-2,51; H₁₀=3,50; H₁₃; H₁₄-6,80-7,20(m);

NH^{CO}-11,12;SO₃H-14,01;NHCONH-10,73

¹³C-RMN [100Mz;(CD₃)₂SO],δ(ppm):

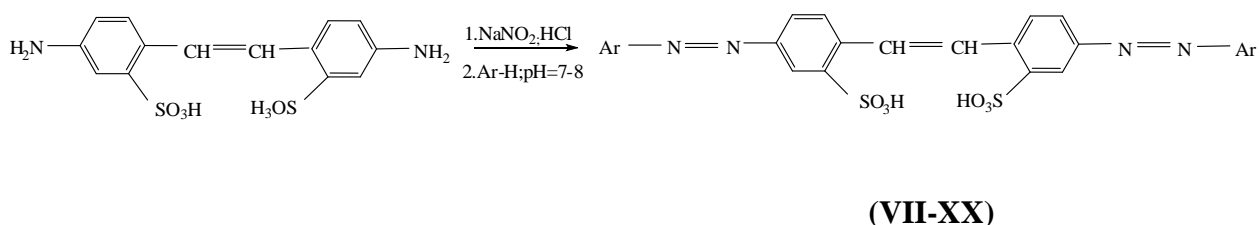
129,88(C₁);130,82(C₂);126,70(C₃);116,51(C₄);146,59(C₅);114,39(C₆);140,03(C₇);25,74(C₈);198,33(C₉);161,53(C₁₁);131,64(C₁₂);108,74(C₁₃);113,14(C₁₄);126,97(C₁₅);127,99(C₁₆);101,76(C₁₇);155,66(NHCONH)

Analiză elementală [(%),calc./găsit]:

C(50,35/50,94);H(3,52/3,79);N(16,31/16,18)

IV. 3.2 OBȚINEREA COLORANȚILOR STILBENDISAZOICI (VII-XX) AVÂND DREPT COMPONENTE DE CUPLARE HIDROXIDERIVAȚI AROMATICI

Sinteza acestor coloranți s-a realizat după metoda generală prezentată în reacțiile de mai jos:



unde Ar: acidul salicilic (pentru **VII**); salicilamida (pentru **XV**); amidele acidului salicilic cu: (anilina, *o*-cloroanilina, *m*-cloroanilina, *p*-cloroanilina, *o*-bromoanilina, *m*-bromoranilina, *p*-bromoanilina, 3-amino-1-H-1,2,4-triazol, 2-aminobenzotiazol) (pentru **VIII-XIV**; **XVI**; **XVII**); 1,3-dihidroxibenzenul (pentru **XVIII**); acidul 2-hidroxi-3-naftoic (pentru **XIX**); acidul 1-hidroxi-2-naftoic (pentru **XX**).

În toate sintezele ce au implicat reacții de diazotare s-a controlat excesul de nitrit cu hârtie iod-amidonată și prezența/absența diaminei cu soluție alcoolică 1% de 4-N,N'-dimetilaminobenzaldehidă (reactiv Ehrlich) în aureolă pe hârtie de filtru.

În toate sintezele ce au implicat o reacție de cuplare, sfârșitul reacției de cuplare s-a determinat prin controlul prezenței/absenței sării de diazoniu cu o soluție alcalină de acid 1-amino-8-naftol-3,6-disulfonic (acid H), respectiv controlul prezenței/absenței componentei de cuplare cu o soluție de *p*-nitrodiazobenzen, în aureola colorantului salefiat pe hârtie

Diazotarea acidului 4,4'-diaminostilben-2,2'-disulfonic prin varianta diazotării directe

Se suspendă 1,95g acid 4,4'-diaminostilben-2,2'-disulfonic 95% (0,005moli) în 10mL apă distilată cu adaos în picături a 1,1mL soluție NaOH 30% (0,01moli). Se asigură o temperatură a amestecului de reacție de 5°C atât prin răcire exterioară cât și prin adăugare de 8g gheață. Apoi se tratează cu 3mL soluție HCl 32% (0,03moli) pentru reprecipitarea fină a acidului 4,4'-diaminostilben-2,2'-disulfonic. Peste suspensia rezultată se adaugă repede 0,71g NaNO₂ solid 98% (0,0101moli). Pe parcursul adăugării azotitului de sodiu temperatura masei de reacție nu depășește 5°C, iar pH-ul este menținut în intervalul 0.5-1. Suspensia se lasă sub agitare încă 1 oră când bis-diazotarea este practic încheiată. Excesul de acid azotos este distrus cu uree. În final, sarea de bis-diazoniu obținută se filtrează la vid și se spală pe filtru cu apă distilată (20mL). Precipitatul obținut se resuspendă în 20mL apă distilată și se tratează cu diferite componente de cuplare.

IV.3.2.1 SINTEZA COLORANTULUI (VII) PRIN CUPLAREA SĂRII DE BIS-DIAZONIU A ACIDULUI 4,4'-DIAMINOSTILBEN-2,2'-DISULFONIC CU ACIDUL SALICILIC

Se prepară o soluție alcalină a componentei de cuplare prin dizolvarea a 1,53g acid salicilic 99% (0,011moli) în apă distilată (20mL) cu adaos de soluție apoasă de NaOH 10% în picături până la solubilizarea completă a acestuia (pH 12). Precipitatul sării de bis-diazoniu se tratează după suspendare în apă distilată, ajustare a pH-lui la 4, într-un interval de 30 de minute, cu soluția alcalină a componentei de cuplare preparată anterior la o temperatură situată în jurul valorii de 8°C. Pentru definitivarea reacției amestecul se menține sub agitare în medie timp de 2,5 ore în jurul temperaturii menționate. PH-ul masei de reacție este menținut în jurul valorii de 7,5-8,5 cu ajutorul unei soluții de Na₂CO₃ 10%. Colorantul se precipită prin salefieri cu adaos de (4,8g) clorură de sodiu. Separarea colorantului brut din masa de reacție se face prin filtrare la vid după care precipitatul se spală pe filtru cu apă fierbinte și metanol. După uscare la 70°C, se obțin 2,94g colorant de culoare galbenă ($\eta=78\%$).

C₂₈H₁₆N₄Na₄O₁₂S₂; M= 756,54

CSS: spot galben, R_f=0,7; sistem de solvenți:isopropanol:metil-etil-cetonă NH₃25%=5:3:4 (v/v/v)

VIZ (referință metanol(50%))[λ_{\max} (nm)];lg ϵ_{\max}]:

408,3 (3,91)

IR [KBr,(cm⁻¹):

3431i, 3345i, 3260u,i, 3210u,i, 3061u,m, 2992u,s, 2947u,s 1667fi, 1623fi, 1595u,i, 1486m-i, 1455i, 1384m, 1322s, 1296u,s, 1270m, 1187i,l, 1075m, 913s-m,l, 835m, 667u,s, 635m-i, 438s-m

IV.3.2.2 SINTEZA COLORANTULUI (VIII) PRIN CUPLAREA SĂRII DE BIS-DIAZONIU A ACIDULUI 4,4'-DIAMINOSTILBEN-2,2'-DISULFONIC CU SALICILANILIDA

Se prepară o soluție alcalină a componentei de cuplare prin dizolvarea a 2,38g salicilanilidă 98% (0,011moli) în 20mL în apă distilată, cu încălzire ușoară și adaos de soluție apoasă de NaOH 10% în picături până la solubilizarea completă a acesteia (pH 12). După separarea prin filtrare a sării de diazoniu și resuspendarea în apă distilată, pH-ul acesteia se ajustează în jurul valorii de 4 prin picurarea unei soluții de Na₂CO₃ 10%. Încă înainte de începerea cuplării printr-o răcire exterioară cuplanta este adusă la o temperatură de 9°C. Aceasta se adaugă în porțiuni timp de 30 de minute peste componenta de diazotare la un pH de 8-8,5 menținut constant cu o soluție de Na₂CO₃ 10%. Masa de reacție are un aspect fluid maron-roșcat pe tot parcursul cuplării. După încheierea cuplării amestecul de reacție se menține încă 2,5 ore sub agitare la temperatura menționată. Izolarea colorantului din masa de reacție se face prin acidularea la un pH de 6,5 cu o soluție de HCl 10%. După separarea prin filtrare colorantul este spălat pe filtru cu dimetilsulfoxid respectiv metanol și uscat la 70-80°C. Se obțin 3,06g colorant de culoare brun roșcat ($\eta=71\%$)

C₄₀H₂₈N₆Na₂O₁₀S₂; M=862,80

CSS: spot portocaliu, R_f=0,75; sistem de solvenți:isopropanol:metil-etil-cetonă NH₃25%=4:3:4 (v/v/v)

VIZ (referință metanol (50%)[λ_{\max} (nm);lg ϵ_{\max}]:

425,4 (4,53)

IR [KBr,(cm⁻¹):

3432i, 3300u, 1630m-i, 1592i, 1552i, 1496m-i, 1344m,l, 1288s-m, 1184i, 1072m-i, 910s, 830m, 760m, 715m, 632m,l, 552m, 488m-i

¹³C-RMN [100MHz;(CD₃)₂SO], δ (ppm):

124,99(C₁);126,30(C₃);127,94(C₄;C₂);150,78(C₅);119,45(C₆);135,42(C₇);

146,41(C₁);122,78(C₅);123,09(C₆);165,99(C₇);139,59(C₈);119,86(C₉);128,74(C₁₀)

Cromatografie de lichide de înaltă presiune: (C18; metanol apos (83%), 1mL/min), regim isocratic, [λ (nm); t_R (min)]:

425 (1,29)

IV.3.2.3 SINTEZA COLORANTULUI (IX) PRIN CUPLAREA SĂRII DE BIS-DIAZONIU A ACIDULUI 4,4'-DIAMINOSTILBEN-2,2'-DISULFONIC CU ORTO-CLOROSALICILANILIDA

Se dizolvă 2,86g orto-clorosalicilanilidă 95% (0,011moli) în 35mL apă distilată și apoi se adaugă sub o ușoară încălzire, prin picurare soluție apoasă de NaOH 10% până la completa solubilizare acesteia (pH 12). Cu ajutorul unei soluții de Na₂CO₃ 10% pH-ul diazotantei separate anterior este adus la valoarea de 4. După asigurarea printr-o răcire exterioară cu gheață a unei temperaturi de 10°C, sarea de diazoniu se tratează în 35 de minute cu cuplanta, la un pH menținut în jurul valorii de 8. Aceasta s-a efectuat cu ajutorul unei soluții de Na₂CO₃ 10%. Masa de reacție se mai agită după adăugarea cuplantei încă 2 ore la temperatura menționată, devenind fluidă de culoare brună. Prin acidularea cu soluție de HCl 10% colorantul precipită la un pH de 6-6,5. Colorantul este separat prin filtrare și spălat pe filtru cu acetonă, respectiv metanol și uscat la 80°C. Se obțin 3,71g colorant roșietic (η =80%)

C₄₀H₂₆Cl₂N₆Na₂O₁₀S₂; M=931,68

CSS: spot portocaliu, R_f =0,72, sistem de eluenți;isopropanol: metil-etil-cetona:NH₃25%=4:3:5 (v/v/v)

VIZ (referință metanol (50%))[λ_{max} (nm);lg ϵ_{max}]:

458,4 (4,36)

IR [KBr,(cm⁻¹)]:

3416s,l, 3353s, 3277s, 3065m, 1635i, 1590i, 1543i, 1447m, 1369s, 1319m, 1228m, 1188m, 1075s-m, 900s, 829s, 744i, 693m-i, 533s-m, 439s

¹³C-RMN [100MHz;(CD₃)₂SO], δ (ppm):

125,16(C₁);135,34(C₂);127,80(C₃;C₁₀);123,51(C₄);122,87(C₆);146,00(C₁);117,13 C₃);156,78(C₄);119,65(C₆);164,10(C₇);133,81(C₈);129,34(C₁₂);130,66(C₁₃)

Cromatografie de lichide de înaltă presiune: (C18; metanol apos (83%), 0,9mL/min), regim isocratic, [λ (nm); t_R (min)]:

IV.3.2.4 SINTEZA COLORANTULUI (X) PRIN CUPLAREA SĂRII DE BIS-DIAZONIU A ACIDULUI 4,4'-DIAMINOSTILBEN-2,2'-DISULFONIC CU META-CLOROSALICILANILIDA

O cantitate echivalentă a (0,011moli) meta-clorosalicilanilidă 95% și 30mL apă distilată se amestecă sub o încălzire ușoară. Cu ajutorul unei soluții de NaOH 10% se aduce pH-ul amestecului la valoarea 13 când componenta de cuplare este complet solubilizată. Sarea de diazoniu obținută în urma bis-diazotării acidului 4,4'-diaminostilben-2,2'-disulfonic se ajustează la un pH de 3,5. După o răcire exterioară cu gheață până la 10°, cuplanta se adaugă în 35 de minute peste diazotantă la un pH de 8 menținut constant prin picurarea permanentă a unei soluții de Na₂CO₃ 10%. După controlul dispariției reactanților din masa de reacție cu aspect fluid brun, aceasta se menține sub agitare aproximativ 2 ore în jurul temperaturii amintite. Colorantul precipită la pH=6-6,5, prin acidulare cu HCl 10%. Separarea se face prin filtrare iar spălarea pe filtru cu acetonă, respectiv metanol. După uscare la 80°C. se obțin 3,75g colorant roșietic ($\eta=81\%$).

C₄₀H₂₆Cl₂N₆Na₂O₁₀S₂; M=931,68

CSS: spot portocaliu, R_f=0,74, sistem de eluenți;isopropanol: metil-etil-cetona:NH₃25%
=4:3:5,5 (v/v/v)

VIZ (referință metanol (50%)) [λ_{\max} (nm);lg ϵ_{\max}]:

466,8 (4,45)

IR [KBr,(cm⁻¹):

3412u,s,l, 3304s-m,l, 3059s-m,l, 1639u,m, 1589i, 1539m-i, 1481m, 1362s, 1300s-m, 1231u-m, 1188i,l, 1072m-i, 912s, 832s, 776s, 747s, 679m, 554s-m,l, 449s

¹³C-RMN [100MHz;(CD₃)₂SO), δ (ppm)]:

124,45(C₁);137,25(C₂);126,74(C₃);123,74(C₄);150,18(C₅);120,41(C₆);139,64(C₇);146,82(C₁);126,31(C₂);117,21(C₃);158,09(C₄);119,34(C₅);119,82(C₆);166,22(C₇);133,71,(C₈);120,21(C₉);130,40(C₁₀); 124,01(C₁₁);133,06(C₁₂)

Cromatografie de lichide de înaltă presiune: (C18; metanol apos (83%), 0,9mL/min), regim isocratic, [λ (nm);t_R (min)]:

IV.3.2.5 SINTEZA COLORANTULUI (XI) PRIN CUPLAREA SĂRII DE BIS-DIAZONIU A ACIDULUI 4,4'-DIAMINOSTILBEN-2,2'-DISULFONIC CU PARACLOROSALICILANILIDA

Se dizolvă 2,86g para-clorosalicilanilidă 95% (0,011moli) în 25mL apă distilată și apoi se adaugă prin picurare soluție apoasă de NaOH 10% până la completa solubilizare a acesteia (pH 12,5). Cu ajutorul unei soluții de Na₂CO₃ 10% pH-ul diazotantei separate anterior este adus la valoarea de 3,5. După asigurarea unei temperaturi de 10°C sarea de diazoniu se tratează în 30 de minute cu cuplanta, la un pH menținut în jurul valorii de 8 cu o soluție de Na₂CO₃ 10%. Masa de reacție se mai agită după cuplare încă 2 ore la temperatura amintită, devenind fluidă de culoare brună. Prin adăugarea unei soluții de HCl 10% colorantul precipită la un pH de 6,5. Colorantul este separat prin filtrare și spălat pe filtru cu acetonă, respectiv metanol și uscat la 80°C. Se obțin 3,80g colorant roșietic (η=82%).

C₄₀H₂₆Cl₂N₆Na₂O₁₀S₂; M=931,68

CSS:spot portocaliu, R_f =0,62, sistem de eluenți;isopropanol: metil-etil-cetona:NH₃25%=4:3:4,5 (v/v/v)

VIZ (referință metanol (50%)[λ_{max}(nm);lgε_{max}]:

470,5 (4,49)

IR [KBr,(cm⁻¹):

3432i,l, 3060u,s-m, 1635i, 1618i, 1595i, 1550m-i,l, 1496i, 1465s, 1336m,l, 1240u,m, 1192i,l, 1076m-i, 824i, 700s, 520m, 485s, 476s, 420s

¹³C-RMN [100MHz;(CD₃)₂SO),δ(ppm)]:

125,20(C₁);136,96(C₂);127,79(C₃);123,21(C₄);150,73(C₅);121,38(C₆);138,11(C₇); (145,99(C_{1'}); (126,57(C_{2'});117,11(C_{3'});158,02(C_{4'});119,11(C_{5'});119,66(C_{6'});166,13(C_{7'});133,71(C_{8'});122,32(C_{9'}); 128,57(C_{10'});129,12(C_{11'})

SM [(LC-QESI(+))MS,m/z]:

m/z=1774,8[M₁]⁺₂;m/z=931,3[M₁+2Na]⁺;m/z=955,1[M₁+3Na]⁺;m/z=887[M₁]⁺;m/z=688[M₂-A]⁺;m/z=673,39[M₂-B]⁺ (pentru semnificația M₁, M₂, A, B vezi schema **II.8**)

Cromatografie de lichide de înaltă presiune: (C18; metanol apos (83%), 1mL/min), regim isocratic, [λ(nm);t_R (min)]:

IV.3.2.6 SINTEZA COLORANTULUI (XII) PRIN CUPLAREA SĂRII DE BIS-DIAZONIU A ACIDULUI 4,4'-DIAMINOSTILBEN-2,2'-DISULFONIC CU ORTO BROMOSALICILANILIDA

Se prepară o soluție alcalină a componentei de cuplare prin dizolvarea a 3,38g orto-bromosalicilanilida 95% (0,011moli) în apă distilată (25mL) cu încălzire ușoară și adăos în picături de soluție apoasă de NaOH 10% până la solubilizarea completă a acesteia (pH 12,5). Precipitatul sării de bis-diazoniu se tratează după suspendare în apă distilată și ajustare a pH-ului la valoarea 3,5-4, într-un interval de timp de 30 minute cu soluția alcalină a componentei de cuplare preparată anterior la o temperatură de 8°C. PH-ul masei de reacție de culoare roșie, mai puțin fluidă, este menținut în jurul valorii de 8,5 cu ajutorul unei soluții de Na₂CO₃ 10%. Pentru definitivarea reacției amestecul se menține sub agitare în medie timp de 2 ore la temperatura menționată. Colorantul se precipită la pH 6-6,5 prin acidulare cu o soluție de HCl 10%. Colorantul este separat prin filtrare și spălat pe filtru cu N,N-dimetilformamidă, respectiv metanol și uscat la 80°C. Se obțin 4,07g colorant roșu închis (η=80%)

C₄₀H₂₆Br₂N₆Na₂O₁₀S₂; M=1020,58

CSS: spot portocaliu, R_f =0,74 sistem de eluenți;isopropanol: metil-etil-cetona:NH₃25%=4:3:6 (v/v/v)

VIZ (referință metanol (50%)[λ_{max}(nm);lgε_{max}]:

470,4 (4,59)

IR [KBr,(cm⁻¹):

3393m,l, 3274m,l, 3061m-i,l, 1636m-i, 1608u,m, 1585i, 1536fi, 1510u,m, 1491u,s-m, 1456s-m, 1434m, 1362s, 1314m,l, 1231u,m, 1187fi,l, 1072m, 901s, 830s-m, 744i, 682m, 558m, 528s, 442s

¹³C-RMN [100MHz;(CD₃)₂SO),δ(ppm)]:

125,87(C₁);136,59(C₂);127,28(C₃);123,70(C₄);150,31(C₅);120,07(C₆);136,93(C₇);146,70(C₁);126,85(C₂);117,15(C₃);156,98(C₄);119,07(C₅);119,59(C₆);164,33(C₇);133,85(C₈);123,93(C₉);128,31(C₁₀);130,59(C₁₂)

Cromatografie de lichide de înaltă presiune: (C18; metanol apos (83%),0,9mL/min), regim isocratic, [λ(nm);t_R (min)]:

468 (1,36)

IV.3.2.7 SINTEZA COLORANTULUI (XIII) PRIN CUPLAREA SĂRII DE BIS-DIAZONIU A ACIDULUI 4,4'-DIAMINOSTILBEN-2,2'-DISULFONIC CU META-BROMOSALICILANILIDA

O cantitate echivalentă a (0,011moli) meta-bromosalicilanilidă 95% și 35mL apă distilată se amestecă sub o încălzire ușoară. Cu ajutorul unei soluții de NaOH 10% se aduce pH-ul amestecului la valoarea 12,5 când componenta de cuplare este complet solubilizată. Sarea de diazoniu obținută în urma bis-diazotării acidului 4,4'-diaminostilben-2,2'-disulfonic se ajustează la un pH de 3,5-4. Se aduce cuplanta, printr-o răcire exterioară cu gheață la 8°C și se adaugă în 30 de minute peste diazotantă la un pH=8,5 menținut constant prin picurarea permanentă a unei soluții de Na₂CO₃ 10%. După controlul dispariției reactanților din masa de reacție, de culoare roșie, mai puțin fluidă, aceasta se menține sub agitare aproximativ 2 ore la temperatura amintită. Colorantul precipită la pH= 6-6,5 prin acidulare cu HCl 10%. Separarea se face prin filtrare iar spălarea pe filtru cu N,N-dimetilformamidă, respectiv metanol. După uscarea la 80°C se obțin 4,11g colorant roșu închis (η =81%).

C₄₀H₂₆Br₂N₆Na₂O₁₀S₂; M=1020,58

CSS: spot portocaliu, R_f =0,78 sistem de eluenți;isopropanol: metil-etil-cetona:NH₃25%=4:3:6 (v/v/v)

VIZ (referință metanol (50%)[λ_{\max} (nm);lg ϵ_{\max}]:

462,0 (4,61)

IR [KBr,(cm⁻¹):

3413u,s-m,l, 3302m,l, 3050m,l, 1639u,m, 1585i, 1534i, 1478m, 1417s-m, 1363s, 1330s, 1230u,m, 1188i,l, 1071m, 905s, 831s-m, 774m, 746s-m, 678m, 547m,l, 476s, 441s, 415s

¹³C-RMN [100MHz;(CD₃)₂SO), δ (ppm)]:

124,46(C₁);137,26(C₂);126,93(C₃);123,04(C₄);150,17(C₅);121,48(C₆);139,91(C₇);146,84(C_{1'});126,65(C_{2'});117,20(C_{3'});158,10(C_{4'});119,55(C_{5'});119,76(C_{6'});166,59(C_{7'});139,76(C_{8'});130,70(C_{10'});126,72(C_{11'});123,27(C_{12'})

Cromatografie de lichide de înaltă presiune: (C18; metanol apos (83%),0,9mL/min), regim isocratic, [λ (nm);t_R (min)]:

462 (1,43)

IV.3.2.8 SINTEZA COLORANTULUI (XIV) PRIN CUPLAREA SĂRII DE BIS-DIAZONIU A ACIDULUI 4,4'-DIAMINOSTILBEN-2,2'-DISULFONIC CU PARABROMOSALICILANILIDA

Se prepară o soluție alcalină a componentei de cuplare prin dizolvarea a 3,38g parabromosalicilanilidă 95% (0,011moli) în apă distilată (35mL), cu încălzire ușoară și adaos de soluție apoasă de NaOH 10% în picături până la solubilizarea completă a acesteia (pH 12). După separarea prin filtrare a sării de diazoniu și resuspendarea în apă distilată, pH-ul acesteia se ajustează în jurul valorii de 4 prin picurarea unei soluții de Na₂CO₃ 10%. Încă înainte de începerea cuplării printr-o răcire exterioară cuplanta este adusă la o temperatură de 8°C. Componenta de cuplare se adaugă în porțiuni timp de 30 de minute peste componenta de diazotare la un pH de 8,5 menținut constant cu o soluție de Na₂CO₃ 10%. Masa de reacție roșie are un aspect mai puțin fluid pe tot parcursul cuplării. După încheierea cuplării amestecul de reacție se menține încă 2 ore sub agitare la temperatura menționată. Izolarea colorantului din masa de reacție se face prin acidulare la un pH de 6,5 cu o soluție de HCl 10%. Separarea se face prin filtrare, iar spălarea pe filtru cu N,N-dimetilformamidă, respectiv metanol. După uscare la 80°C se obțin 4,16g colorant roșu închis (η =82%).

C₄₀H₂₆Br₂N₆Na₂O₁₀S₂; M=1021,58

CSS: spot portocaliu, R_f =0,75 sistem de eluenți;isopropanol: metil-etil-cetona:NH₃25%=4:3:6 (v/v/v)

VIZ (referință metanol (50%)[λ_{\max} (nm);lg ϵ_{\max}]:

468,0 (4,62)

IR [KBr,(cm⁻¹):

3414u,m,l, 3307m,l, 3051m,l, 1632u,i, 1606i, 1587u,i, 1545i, 1487i, 1389u,m, 1332m,l, 1228u,i, 1185i,l, 1071m-i, 903s, 820m, 717s, 680s, 558s, 501s-m, 449fs, 411s

¹³C-RMN [100MHz;(CD₃)₂SO), δ (ppm)]:

125,29(C₁);137,76(C₂);128,09(C₃);123,34(C₄);150,66(C₅);121,93(C₆);138,76(C₇);146,55(C₁);126,37(C₂);117,20(C₃);158,22(C₄);119,00(C₅);119,53(C₆);166,44(C₇);133,64(C₈);122,70(C₉);128,69(C₁₀);129,22(C₁₁)

Cromatografie de lichide de înaltă presiune: (C18; metanol apos (83%), 0,9mL/min), regim isocratic, [λ (nm);t_R (min)]:

468 (1,44)

IV.3.2.9 SINTEZA COLORANTULUI (XV) PRIN CUPLAREA SĂRII DE BIS-DIAZONIU A ACIDULUI 4,4'-DIAMINOSTILBEN-2,2'-DISULFONIC CU SALICILAMIDA

Se dizolvă 1,53g salicilamidă 98% (0,011moli) în 20mL apă distilată și apoi se adaugă prin picurare soluție apoasă de NaOH 10% până la completa solubilizare a acesteia (pH 12-12,5). Cu ajutorul unei soluții de Na₂CO₃ 10% pH-ul diazotantei separate anterior este adus la valoarea de 4. După răcirea exterioară cu gheață a cuplantei la o temperatură situată în jurul valorii de 9°C aceasta se tratează cu diazotanta în 30 de minute. Pentru definitivarea reacției amestecul brun se menține sub agitare în medie timp de 2,5 ore în jurul temperaturii menționate. PH-ul masei de reacție este menținut în jurul valorii de 8-8,5 cu ajutorul unei soluții de Na₂CO₃ 10%. Prin adăugarea unei soluții de HCl 10% colorantul precipită la un pH de 6- 6,5. Colorantul este separat prin filtrare și spălat pe filtru cu eter etilic anhidru, respectiv metanol și uscat la 80°C. Se obțin 2,69g colorant portocaliu închis (η=76%).

C₂₈H₂₀N₆Na₂O₁₀S₂; M=710,62

CSS: spot galben, R_f =0,77 sistem de eluenți:metil-etil-cetona:NH₃25%:metanol=6:3:2(v/v/v)

VIZ (referință metanol (50%)[λ_{max}(nm);lgε_{max}]:

401,4 (4,44)

IR [KBr,(cm⁻¹):

3440i,l, 3265u,m, 3150u,m, 3100u,s, 1663i, 1628i, 1600u,m-i, 1578u,s-m, 1492m, 1472m, 1444m, 1280u,m, 1260u,m, 1192i,l, 1090i, 1024i, 903s, 836s-m, 680m, 640i, 544m, 525s-m, 488i, 480m

¹³C-RMN [100MHz;(CD₃)₂SO),δ(ppm)]:

125,55(C₁);134,01(C₂);126,64(C₃);128,24(C₄);150,12(C₅);118,35(C₆);137,14(C₇);144,55(C₁);127,48(C₂);117,35(C₃);160,12(C₄);119,58(C₅);124,45(C₆);171,98,(C₇)

Cromatografie de lichide de înaltă presiune: (C18; metanol apos (83%), 1mL/min), regim isocratic, [λ(nm);t_R (min)]:

406 (1,52)

IV.3.2.10 SINTEZA COLORANTULUI (XVI) PRIN CUPLAREA SĂRII DE BIS-DIAZONIU A ACIDULUI 4,4'-DIAMINOSTILBEN-2,2'-DISULFONIC CU AMIDA N-SUBSTITUITĂ A ACIDULUI SALICILIC (CU 3-AMINO-1-H-1,2,4-TRIAZOL)

O cantitate echivalentă a (0,011moli) amidă N-substituită a acidului salicilic cu 3-amino-1-H-1,2,4,-triazol, 95% se amestecă cu 25mL apă distilată iar cu ajutorul unei soluții de NaOH 10% se aduce pH-ul amestecului la valoarea 12,5 când componenta de cuplare este complet solubilizată. Sarea de diazoniu obținută în urma bis-diazotării acidului 4,4'-diaminostilben-2,2'-disulfonic se ajustează la un pH de 3,5. Cuplanta se aduce la 10°C printr-o răcire exterioară cu gheață și se adaugă în 35 de minute peste diazotantă la un pH=8 menținut constant prin picurarea permanentă a unei soluții de Na₂CO₃ 10%. După controlul dispariției reactanților din masa de reacție, cu aspect fluid maro roșcat, aceasta se menține sub agitare aproximativ 2,5 ore. Colorantul precipită la pH=6-6,5 prin acidulare cu HCl 10%. Separarea se face prin filtrare iar spălarea pe filtru cu dimetilsulfoxid, respectiv metanol. După uscare la 80°C se obțin 2,98g colorant brun închis (η =71%).

C₃₂H₂₂N₁₂Na₂O₁₀S₂; M=844,33

CSS: spot maro, R_f =0,76 sistem de eluenți:metil-etil-cetona: NH₃25%:metanol=7:6:4 (v/v/v)

VIZ (referință metanol (50%)[λ_{\max} (nm);lg ϵ_{\max}]:

457,2 (4,47)

SM [(LC-QESI(+))MS,m/z]:

m/z=685,1 [M-2SO₃]⁺;m/z=676,3 [M-2A]⁺;m/z=339,1[M_B-A]⁺ (pentru semnificația M, A, B vezi schema **II.9**)

IV.3.2.11 SINTEZA COLORANTULUI (XVII) PRIN CUPLAREA SĂRII DE BIS-DIAZONIU A ACIDULUI 4,4'-DIAMINOSTILBEN-2,2'-DISULFONIC CU AMIDA N-SUBSTITUITĂ A ACIDULUI SALICILIC (CU 2-AMINOBENZTIAZOL)

Se prepară o soluție alcalină a componentei de cuplare prin dizolvarea a 3,12g amidă N-substituită a acidului salicilic cu 2-aminobenzotiazol, 95% (0,011moli) în 35mL apă distilată. Se adaugă în picături soluție apoasă de NaOH 10% până la solubilizarea completă a acesteia (pH 13). Precipitatul sării de bis-diazoniu se tratează după suspendare în apă distilată și ajustare a pH-ului la 3, într-un interval de timp de 35 minute cu soluția alcalină a componentei de cuplare preparată anterior la temperatura de 10°C. Pentru definitivarea reacției amestecul se menține sub agitare în medie timp de 2,5 ore la temperatura menționată. PH-ul masei de reacție roșcată, fluidă

este menținut în jurul valorii de 8 cu ajutorul unei soluții de Na_2CO_3 10%. Colorantul precipită la $\text{pH}=6$ prin adăugare de soluție HCl 10%. Colorantul este separat prin filtrare și spălat pe filtru N,N -dimetilformamidă, respectiv metanol și uscat la 80°C . Se obțin 3,29g colorant închis la culoare ($\eta=71\%$)

$\text{C}_{42}\text{H}_{26}\text{N}_8\text{Na}_2\text{O}_{10}\text{S}_4$; $M=976,96$

CSS: spot maro, $R_f=0,81$, sistem de eluenți cloroform: NH_3 25%: metanol=1:3:2(v/v/v)

VIZ (referință metanol (50%)[λ_{max} (nm);lg ϵ_{max}]:

420,1 (4,29)

IR [KBr ,(cm^{-1})]:

3431m,l, 3228m, 3197m, 3059m, 1673i, 1604m-i, 1534i, 1496m, 1473m, 1446i, 1356m-l, 1309i, 1286m-i, 1233m-i, 1208m, 1156m, 1122m, 1098s-m, 1065s, 870m, 784s,754i, 730m, 709m, 686m-i, 509m, 428s

IV.3.2.12 SINTEZA COLORANTULUI (XVIII) PRIN CUPLAREA SĂRII DE BIS-DIAZONIU A ACIDULUI 4,4'-DIAMINOSTILBEN-2,2'-DISULFONIC CU REZORCINA

Se prepară o soluție alcalină a componentei de cuplare prin dizolvarea a 1,22g rezorcină (99%) (0,011moli) în apă distilată (40mL), ajustându-se pH -ul cu soluție de NaOH 10% până la $\text{pH}=12$. După separare prin filtrare a sării de diazoniu și resuspendarea în apă distilată, pH -ul acesteia se aduce în jurul valorii de 4 prin picurarea unei soluții de Na_2CO_3 10%. Încă înainte de începerea cuplării printr-o răcire exterioară soluția de rezorcină este adusă la o temperatură de 10°C și se tratează apoi cu sarea de diazoniu a acidului 4,4'-diaminostilben-2,2'-disulfonic. Reacția a cărei pH este menținut în jurul valorii de 8 are loc rapid, în timp de 15 de minute cu o formarea unei mase de reacție maronie. După 1,5-2 ore de agitare a acesteia la temperatura menționată și după efectuarea reacției în picături cuplarea se consideră încheiată. Colorantul precipită în masă, după 24 de ore când se poate izola ușor prin filtrare. După spălare pe filtru cu metanol și uscare la 80°C se obțin 2,45g colorant închis la culoare cu reflexe aurii ($\eta=75\%$)

$\text{C}_{26}\text{H}_{18}\text{N}_4\text{Na}_2\text{O}_{10}\text{S}_2$; $M=656,56$

CSS: spot maron, $R_f=0,79$, metil-etil-cetonă NH_3 25% :metanol =3:2:3(v/v/v)

VIZ (referință metanol (50%)[λ_{max} (nm);lg ϵ_{max}]:

478,0 (4,52)

IR [KBr,(cm⁻¹):

3427i,l, 3255u,m, 3066u,s, 1616i, 1485i, 1457u,s, 1410s, 1325s, 1191i, 1077m, 1024m, 826s-m, 710m, 634m-i,l, 469s, 438s

¹H-RMN [(CD₃)₂SO),δ(ppm)]:

H₁-7,26(d);H₂-7,71(d);H₃-8,00(d);H₄-8,17(s);H₅-7,56(d);H₆-6,19(d);H₇-5,75(s)

Cromatografie de lichide de înaltă presiune: (C18; metanol apos (83%), 1mL/min), regim isocratic, [λ(nm);t_R (min)]:

478 (1,28)

IV.3.2.13 SINTEZA COLORANTULUI (XIX) PRIN CUPLAREA SĂRII DE BIS-DIAZONIU A ACIDULUI 4,4'-DIAMINOSTILBEN-2,2'-DISULFONIC CU ACIDUL 2-HIDROXI-3-NAFTOIC

2,17g acid 2-hidroxi-3-naftoic 95% (0,011moli) se dizolvă în 25mL apă distilată cu încălzire ușoară și picurare de soluție apoasă de NaOH 10% până la completa solubilizare a acesteia (pH 11,5-12). Precipitatul sării de bis-diazoniu se tratează după suspendare în apă distilată și ajustare a pH-ului la valoarea 3,5-4 cu soluția alcalină a componentei de cuplare preparată anterior, într-un interval de 35 de minute, la o temperatura de 8°C. Cu ajutorul unei soluții de Na₂CO₃ 10% pH-ul masei de reacție este menținut în jurul valorii de 8,5. Pentru definitivarea reacției amestecul se menține sub agitare în medie timp de 2,5 ore la temperatura amintită. Aceasta are un aspect ușor fluid, mov pe tot parcursul reacției de cuplare. Izolarea colorantului se face prin precipitare cu HCl 10% la un pH de 6-6,5. După separare prin filtrare, spălare pe filtru cu eter etilic anhidru, metanol și uscare la 80°C se obțin 3,11g colorant mov cu reflexe aurii (η=77%)

C₃₆H₂₂N₄Na₂O₁₂S₂; M=812,69

CSS: spot mov, R_f=0,69, sistem de eluenți:metil-etilcetona: NH₃25%:metanol=5:3:1(v/v/v)

VIZ (referință metanol (50%)[λ_{max}(nm);lgε_{max}):

541,2 (4,34)

IR [KBr,(cm⁻¹):

3432i,l, 3045u,m, 1616i, 1576u,m, 1564u,m, 1522m-i, 1480i, 1448i, 1384m, 1188fi,l, 1160i, 1012i, 1096m, 860s, 824s-m

¹³C-RMN [100MHz;(CD₃)₂SO),δ(ppm)]:

126,83(C₁);131,38(C₂);128,67(C₃;C₅);125,38(C₄);159,03(C₅);122,04(C₆);136,30(C₇);108,72(C₃)
130,63(C₆;C₈);122,59(C₇);126,35(C₉);171,35(C₁₁)

IV.3.2.14 SINTEZA COLORANTULUI (XX) PRIN CUPLAREA SĂRII DE BIS-DIAZONIU A ACIDULUI 4,4'-DIAMINOSTILBEN-2,2'-DISULFONIC CU ACIDUL 1-HIDROXI-2-NAFTOIC

O cantitate echivalentă a (0,011moli) acid 1-hidroxi-2-naftoic 95% și 25mL apă distilată se amestecă, iar cu ajutorul unei soluții de NaOH de 10% se aduce pH-ul amestecului la valoarea 11,5-12 când componenta de cuplare este complet solubilizată. Sarea de diazoniu obținută în urma bis-diazotării acidului 4,4'-diaminostilben-2,2'-disulfonic se ajustează la un pH de 3,5-4. Cuplanta se aduce la o temperatură de 8°C și se adaugă în 35 de minute, peste diazotantă la un pH=8,5 menținut constant prin picurarea permanentă a unei soluții de Na₂CO₃ 10%. Masa de reacție cu aspect fluid maron, se menține sub agitare în medie 2,5 ore la temperatura amintită. Colorantul precipită la pH=6-6,5 prin acidulare cu HCl 10%. Separarea se face prin filtrare iar spălarea pe filtru cu eter etilic anhidru respectiv metanol. După uscare la 80°C, se obțin 3,15g colorant închis la culoare (η =78%).

C₃₆H₂₂N₄Na₂O₁₂S₂; M=812,69

CSS: spot maron, R_f=0,77, sistem de eluenți:metil-etil-cetona:NH₃25%:metanol=2:2:1(v/v/v)

VIZ (referință metanol (50%))[λ_{\max} (nm);lg ϵ_{\max}]:

454,4 (4,48)

IR [KBr,(cm⁻¹):

3423i,l, 3055m, 3008u,m, 1633i, 1576i, 1526s, 1504s, 1428m-i, 1387m-i, 1307fi, 1255fi, 1208fi,l, 1169fi, 1093s-m, 1067i, 1022i, 859s, 794s, 763i, 627i, 462s, 446s.

¹³C-RMN [100MHz;(CD₃)₂SO), δ (ppm)]:

124,81(C₁);136,75(C₂);127,71(C₃);128,81(C₄);137,20(C₇);146,93(C₁);118,45(C₂);105,99(C₃);160,27(C₄);124,02(C₅);123,08(C₆);126,07(C₇);129,53(C₈);126,80(C₉);130,77(C₁₀);172,98(C₁₁)

Cromatografie de lichide de înaltă presiune: (C18; metanol apos (83%), 1mL/min), regim isocratic, [λ (nm);t_R (min)]:

453 (1,65)

IV.4 VOPSIREA SUPORTULUI TEXTIL CELULOZIC ȘI PROTEIC CU COLORANȚII STILBENDISAZOICI (I-VI)

A. Materiale utilizate și pregătirea lor pentru vopsire:

Drept suport textil s-au ales:

-țesături albite de bumbac 100%, cu greutate specifică de 106g/m^2 și țesături de lână 100%, cu greutate specifică de 220g/m^2

Înainte de vopsire, materialele textile s-au supus unui tratament de spălare pentru îmbunătățirea hidrofiliei.

Astfel, țesătura de bumbac s-a încălzit timp de 30 de minute la fierbere, la un raport de flotă 1:50, în prezență de 1g/L NaOH 32,5%. Țesătura de lână s-a încălzit la temperatura de 60°C , timp de 30 de minute, la un raport de flotă 1:50, în prezență de 3g/L agent tensioactiv neionic (NF9) și respectiv 2mL/L NH_3 25%. După tratare atât materialul celulozic cât și cel proteic s-au uscat la temperatura camerei.

Pentru vopsire s-a utilizat o soluție mumă obținută în felul următor:

-se pastifică $0,1\text{g}$ colorant (I-VI) cu 20mL apă distilată, se fierbe 3-5 minute până la completa dizolvare. După adăugarea a $0,001\text{g}$ carbonat de sodiu, se aduce cu apă distilată la balon cotat de 500mL .

B. Vopsirea suportului textil celulozic și proteic cu coloranții stilbendisazoici (I-VI)

Aplicarea coloranților pe suport de bumbac s-a efectuat prin procedeul de vopsire prin epuizare, pe o baie deschisă, la concentrații de 0,1; 0,2; 0,3% raportat la greutatea materialelor. Vopsirea s-a efectuat pe epruvete de 2g țesătură, pregătite pentru vopsire conform modului prezentat mai sus și înmuiate prealabil în apă distilată caldă ($40\text{-}50^\circ$).

Procesul de vopsire pentru concentrația colorantului de 0,1% raportată la greutatea materialului a implicat următoarele etape:

Se pregătește o flotă de vopsire, la o temperatură de $30\text{-}40^\circ\text{C}$, la un raport de flotă 1:50, care conține: 90mL apă distilată, $0,04\text{g}$ carbonat de sodiu (2% față de materialul textil) asigurându-se astfel un pH slab alcalin și $0,002\text{g}$ colorant (0,1% față de materialul textil, respectiv 10mL din soluția mumă de colorant deja preparată). În flota de vopsire astfel pregătită se introduce epruveta de bumbac umezită în prealabil.

Se crește temperatura treptat (gradientul de temperatură fiind de $2\text{-}3^\circ\text{C}/\text{minut}$) până la $90\text{-}98^\circ\text{C}$ și se menține această temperatură timp de 30 de minute.

Se adaugă electrolitul (clorură de sodiu), în două porții a câte $0,4\text{g}$ (40% față de materialul textil) la interval de 15 minute.

Se răcește flota de vopsire la 70°C pentru a înlesni epuizarea flotei și se menține la această temperatură timp de 15 minute. După răcirea flotei, urmează spălarea epruvetei vopsite cu apă caldă și apoi cu apă rece, pentru îndepărtarea completă a colorantului nefixat, iar epruveta se stoarce și se usucă.

Pentru vopsirea la concentrații ale colorantului de 0,2% și 0,3% s-a procedat identic cu deosebirea că adaosul de colorant este de 0,004g și 0,006g respectiv 20mL și 30mL din soluția de colorant inițială (mumă).

Aplicarea coloranților pe suport de lână s-a efectuat prin procedeul de vopsire prin epuizare pe un aparat Linitest, la concentrații de 0,1; 0,2; 0,3% raportat la greutatea materialelor. Vopsirea s-a efectuat pe epruvete de 2g țesătură, pregătite pentru vopsire conform modului prezentat mai sus și înmuiate prealabil în apă distilată caldă (40-50°).

Procesul de vopsire pentru concentrația de 0,1% raportată la greutatea materialului a implicat următoarele etape:

Se pregătește o flotă de vopsire, la o temperatură de 40-50°C la un raport de flotă 1:50, care conține: 90mL apă distilată, 0,1g electrolit, sulfat de sodiu (5% față de materialul textil) și 0,06g sulfat de amoniu (3% față de materialul textil) ce asigură un pH în jur de 5-5,5. În flota de vopsire astfel pregătită se introduce epruveta de lână umezită în prealabil. După 10-15 minute se adaugă în flota de vopsire 0,002g colorant (0,1% față de materialul textil, respectiv 10 mL din soluția de colorant deja preparată).

După încă 10-15 minute se crește temperatura treptat (gradient de temperatură 2-3°C/minut) până la 98°C și se menține această temperatură timp de 45-60 minute. Flota de vopsire se răcește, iar epruveta se spală cu apă caldă și rece pentru îndepărtarea colorantului nefixat; apoi epruveta se stoarce și se usucă.

Pentru vopsirea la concentrații ale colorantului de 0,2% și 0,3% s-a procedat identic cu deosebirea că adaosul de colorant este de 0,004g și 0,006g respectiv 20mL și 30mL din soluția de colorant inițială (mumă).

Aprecierea din punct de vedere tinctorial a colorațiilor obținute în urma aplicării pe suporturile textile (bumbac, lână) a coloranților stilbendisazoici (**I-VI**) s-a efectuat sub mai multe aspecte:

- spectre de reflexie și măsurători de culoare prin metoda CIELAB pentru epruvetele vopsite din ambele suporturi.
- evaluarea caracteristicilor vopsirilor din punct de vedere al nuanței, uniformității și intensității vopsirii;

-
-
- determinarea rezistențelor vopsirilor: rezistența la apă, conform standard SR EN ISO 105 E01/98, rezistența la transpirație, conform standard SR EN ISO 105 E04/98 și rezistența la frecare, conform standard SR EN ISO 105 X12/98.

IV.5 APLICAREA PE SUPORT DE LEMN A COLORANȚILOR STILBENDISAZOICI (VII-XVI; XVIII-XX)

În scopul solubilizării coloranților azo-stilbenici sintetizați a fost utilizată baza Lazur. Baza Lazur reprezintă un lac pe bază de emulsie acrilică apoasă cu adaos de: aditivi reologici, antispumamți, aditivi de întindere, aditivi de dispersie, apă și coalescenți pentru formarea filmului. S-au folosit două tipuri de bază Lazur: prima având un pH=7,45 și un indice de refracție $n=1,3985$ în care au fost solubiliizați coloranții **(VII; VIII; XV; XVI)**, și a doua având un pH = 8,31 și un indice de refracție $n=1,3925$ în care au fost solubiliizați coloranții **(IX- XIV; XVIII; XIX; XX)**.

Pentru obținerea probelor s-a folosit pastă albă (XT) cu conținut de dioxid de titan (Pigment alb 6 C.I. 77 891) de 65%.

S-au efectuat mai multe seturi de probe care diferă între ele prin concentrația de colorant și concentrația de pigment alb (2% colorant-A₁; 5% colorant-A₂; 8% colorant-A₃; 15% colorant A₄). Drept etalon s-a efectuat un standard de alb (A). Probele au fost aplicate prin pensulare ușoară pe un suport de lemn și apoi uscate la aer.

Aprecierea din punct de vedere colorimetric a colorațiilor obținute în urma aplicării pe lemn a probelor coloranților stilbendisazoici **(VII-XVI; XVIII-XX)** s-a efectuat prin spectre de reflexie și măsurători de culoare prin metoda CIELAB pentru toate probele aplicate.

V. CONCLUZII

Teza de doctorat intitulată "Contribuții la sinteza unor coloranți direcți nebenzidiniici" abordează aspecte teoretice și aplicative referitoare la coloranții direcți sau substantivi, coloranți ce fac parte din clasa coloranților anionici ce conțin în moleculă minimum două grupe azo și grupe sulfonice, care sub formă de săruri de sodiu le conferă solubilitate în apă.

Acești coloranți direcți cu structură azo-stilbenică au avantajul că *sunt lipsiți de toxicitatea proprie coloranților direcți, ce au în centrul moleculei benzidina și derivați ai acesteia.*

Studiul de literatură prezentat în capitolul I al tezei de doctorat abordează aspecte ce privesc atât tipurile structurale de coloranți direcți cât și aminele aromatice propuse ca potențiale înlocuitoare ale benzidinei la obținerea coloranților direcți. În partea finală a acestui capitol sunt tratate noțiuni generale legate de culoare: moduri de percepție, tipuri de iluminanți standard recomandați de *CIE (Comission International de l'Eclairage)*, date spectrale de reflexie, caracteristicile de bază ale culorii, măsurarea culorii; reprezentarea culorii (*CIE-XYZ*; spațiul color uniform *CIELAB* etc.)

Pe baza celor prezentate în prima parte a tezei cu privire la necesitatea înlocuirii componentei centrale (benzidina) din coloranții direcții cu acidul 4,4'-diaminostilben-2,2'-disulfonic s-a urmărit sinteza și caracterizarea unor noi coloranți direcți stilbendisazoici având drept componente de cuplare combinații cetonice enolizabile (*prima serie*) și hidroxiderivați aromatici (*a doua serie*), aplicarea lor pe suport textil celulozic, proteic, lemn precum și studiu de culoare al colorațiilor obținute.

Rezultatele finale ale cercetărilor efectuate în cadrul tezei de doctorat sunt următoarele:

1. S-au sintetizat o serie de 6 coloranți simetrici azo-stilbenici (**I-VI**) *nemenționați în literatură*, derivați de la acidul 4,4'-diaminostilben-2,2'-disulfonic. Drept componente de cuplare s-au utilizat următoarele combinații cetonice enolizabile: acetoacetanilida; acetoacet-2,4-dimetilanilida; acetoacet-2,5-dimetoxi-4-cloranilida; acetoacet-2-cloranilida; acetoacet-2-metilanilida; 5-acetoacetilaminobenzoimidazol-2-ona. Sinteza acestor coloranți s-a realizat prin bis-diazotarea, prin varianta inversă, a acidului 4,4'-diaminostilben-2,2'-disulfonic urmată de cuplarea cu componentele de cuplare menționate anterior. Randamentele globale de reacție au fost cuprinse între 81-90%. Pentru obținerea coloranților mai sus menționați au fost variați mai mulți parametri cu influență majoră asupra mersului de reacție și anume: raport molar între reactanți, pH-ul masei de reacție și temperatura în etapa de cuplare.

2. Au fost stabilite condițiile optime de diazotare a acidului 4,4'-diaminostilben-2,2'-disulfonic: temperatura scăzută (0-5°C) și un raport molar amină:acid de 1:6 suficient pentru asigurarea unui pH acid necesar desfășurării reacției. Pentru etapa de cuplare a fost găsit optim utilizarea unui exces de 3% a tuturor componentelor de cuplare față de componenta de diazotare. Reacția a fost condusă la temperatură situată în jurul valorii de 10°C. Reglarea pH-ului în jurul valorii de 5-6 necesar reacției de cuplare, s-a realizat prin adăugarea de acid acetic peste componenta de diazotare în scopul formării cuplului acid acetic/acetat de sodiu la adăugarea soluției de componentă de cuplare alcalină. S-a stabilit că soluțiile componentelor de cuplare trebuie adăugate peste suspensia sării de bis-diazoniu a acidului 4,4'-diaminostilben-2,2'-disulfonic, ceea ce evită conducerea reacției în mediu alcalin care influențează negativ atât stabilitatea diazotantei cât și mersul reacției de cuplare.

3. Purificarea compușilor sintetizați a fost efectuată prin cromatografie pe coloană cu faza staționară oxid de aluminiu 90 (Merck) și faza mobilă amestec alcool etilic:NH₃ 25% în raport 10:1 (v/v).

4. Controlul purității coloranților stilbendisazoici sintetizați (**I-VI**) a fost efectuat prin cromatografie în strat subțire alegându-se drept metodă optimă metoda unidimensională ascendentă, utilizându-se ca faza staționară oxid de aluminiu 60 (Merck) și ca faza mobilă amestec alcool etilic:NH₃ 25% în raport 10:1 (v/v). Identificarea valorilor R_f s-a făcut prin vizualizarea directă a spoturilor colorate.

5. Coloranții stilbendisazoici sintetizați (**I-VI**) au fost supuși analizei elementale (Carlo Erba M-1106) rezultatele obținute fiind în bună concordanță cu cele calculate teoretic.

6. Din analiza prin spectrometrie UV-VIS (JASCO V-570) a coloranților stilbendisazoici sintetizați (**I-VI**) rezultă că aceștia prezintă un maxim de absorbție în domeniul vizibil situat la $\lambda_{\max} = 420-440\text{nm}$ precum și două maxime în domeniul ultraviolet datorate interacțiilor de tip $n-\pi^*$ și $\pi-\pi^*$ situate la $\lambda_{\max} = 249-264\text{nm}$ respectiv $\lambda_{\max} = 222-237\text{nm}$. Spectrele coloranților (**III**) și (**VI**) care prezintă heteroatomi (N, O) grefați pe nucleul aromatic al componentelor de cuplare, pun în evidență în domeniul ultraviolet câte o bandă de absorbție cu valoarea maximelor $\lambda_{\max} = 293-305,5\text{nm}$ datorate tranzițiilor $n-\pi^*$. Gruparea carbonamică prin rolul său de componentă separatoare limitează fenomenul de conjugare.

7. Din analiza prin spectrometrie IR (BRUKER TENSOR 37) a coloranților stilbendisazoici sintetizați (**I-VI**) reiese faptul că în toate cazurile structura grupării amidice secundare este confirmată de banda amidă I ($\nu_{\text{C=O}}$) de la $1652-1660\text{cm}^{-1}$, de banda amidă II ($\delta_{\text{NH}} + \nu_{\text{CN}}$) de la $1507-1510\text{cm}^{-1}$ precum și de banda amidă III ($\nu_{\text{CN}} + \delta_{\text{NH}}$) de la $1279-1283\text{cm}^{-1}$. De asemenea, grupării sulfonice prezentă de altfel în structurile tuturor coloranților seriei (**I-VI**), îi corespund în spectru benzile caracteristice vibrațiilor de valență asimetrică ($\nu_{\text{SO}_2}^{\text{as}}$) de la $1181-$

1187cm⁻¹ și simetrică (ν_{SO_2} ^{as}) de la 1077-1079cm⁻¹. Pentru colorantul (VI), pe lângă benzile caracteristice grupării amidice secundare, se mai adaugă și cea datorată vibrației de schelet a ciclului benzoimidazolic de la 1558cm⁻¹.

8. Din analiza prin spectrometrie de rezonanță magnetică nucleară ¹H-RMN (BRUKER AVANCE DRX 400MHz) a coloranților stilbendisazoici sintetizați (I-VI), se observă că în toate cazurile protonii corespunzători grupării stilbenice apar la o valoare a deplasării $\delta=7,57-7,61$ ppm în timp ce protonii corespunzători grupei carbonamidice apar la o valoare a deplasării $\delta=11,12-11,83$ ppm. Protonii grupării sulfonice prezente în toți coloranții mai sus menționați se regăsesc în spectru zona $\delta=13,89-14,46$ ppm. Existența semnalelor de la 3,40-3,51ppm susțin structurile de tip ceto-hidrazonic ale coloranților studiați. În spectrele ¹³C-RMN (BRUKER AVANCE DRX 100MHz) ale coloranților (I-VI) semnalele corespunzătoare atomilor de carbon aparținând grupării carbonamidice sunt situate la o valoare a deplasării $\delta=161,15-162,15$ ppm. De asemenea prezența grupării stilbenice în toată seria de compuși este confirmată de deplasările situate la o valoare $\delta=126,38-129,88$ ppm. Restul acetil al acetoacetanilidelor utilizate drept componente de cuplare în sinteza coloranților (I-VI), prezintă în spectrele ¹³C-RMN ale acestora semnale la o valoare a deplasării $\delta=198,11-198,90$ ppm corespunzătoare grupării carbonil, precum și se semnale la o valoare a deplasării $\delta=25,68-25,83$ ppm corespunzătoare grupării metil. În intervalul $\delta=139,47-140,03$ ppm este cuprinsă de asemenea și deplasarea chimică a atomului de carbon purtător a grupării sulfonice.

9. S-au sintetizat o serie de 14 coloranți simetrici azo-stilbenici dintre care 13 nemenționați în literatură (VII-XX) derivați de la acidul 4,4'-diaminostilben-2,2'-disulfonic. Drept componente de cuplare s-au utilizat următorii hidroxiderivați aromatici: acidul salicilic, amidele N-substituite ale acidului salicilic (obținute în urma condensării acidului salicilic cu anilina, *o*-cloroanilina, *m*-cloroanilina, *p*-cloroanilina, *o*-bromoanilina, *m*-bromoanilina, *p*-bromoanilina, 3-amino-1-H-1,2,4-triazol, 2-aminobenzotiazol), salicilamida, rezorcina, acidul 2-hidroxi-3-naftoic și acidul 1-hidroxi-2-naftoic. Sinteza acestor coloranți s-a realizat prin bis-diazotarea, prin varianta directă, a acidului 4,4'-diaminostilben-2,2'-disulfonic urmată de cuplarea cu componentele de cuplare menționate anterior. Randamentele globale de reacție au fost cuprinse între 71-82%. Pentru obținerea coloranților mai sus menționați au fost variați mai mulți parametri cu influență majoră asupra mersului de reacție și anume: raport molar între reactanți, pH-ul masei de reacție și temperatura în etapa de cuplare.

10. Au fost stabilite condițiile optime de diazotare a acidului 4,4'-diaminostilben-2,2'-disulfonic: temperatura scăzută (0-5°C) și un raport molar amină:acid de 1:6 suficient pentru asigurarea unui pH acid necesar desfășurării reacției. Noutatea față de varianta clasică constă în

separarea prin filtrare la vid a suspensiei sării de bis-diazoniu obținute. Izolarea sării de bis-diazoniu prin filtrare urmată de spălarea acesteia pe filtru cu apă distilată în scopul îndepărtării sărurilor de sodiu a fost posibilă datorită stabilității sale. În ceea ce privește reacția de cuplare, aceasta a fost condusă la temperatură situată în intervalul 8-10°C, iar excesul de 3% a tuturor componentelor de cuplare față de componenta de diazotare a fost găsit optim. Referitor la reglarea pH-ului în jurul valorii de 8 aceasta a fost efectuată atât prin ajustarea pH-ului diazotantei în jurul valorii de 3-4 cu ajutorul unei soluții de carbonat de sodiu, cât și prin adăugarea treptată a aceleiași soluții pe parcursul reacției de cuplare. A fost găsită optimă adăugarea componentei de diazotare peste componenta de cuplare în cazul coloranților (XV) și (XVIII) respectiv aplicarea metodei inverse în cazul coloranților (VII-XIV; XVI; XVII; XIX; XX).

11. Purificarea compușilor sintetizați a fost efectuată prin recristalizare din amestec de dioxan:piridină (90:10) (v/v).

12. Controlul purității coloranților stilbendisazoici sintetizați (VII-XX) a fost efectuat prin cromatografie în strat subțire alegându-se drept metodă optimă metoda unidimensională ascendentă, utilizându-se ca faza staționară silicagel 60F-254 și ca faze mobile amestecuri de eluenți utilizați în general la separarea coloranților direcți (vezi tabel II.9 cap. II.2). Identificarea valorilor R_f s-a făcut prin vizualizarea directă a spoturilor colorate.

13. Separarea coloranților stilbendisazoici sintetizați (VIII-XV; XVIII; XX) a fost efectuată și prin tehnica cromatografiei de lichide de înaltă presiune (JASCO cu detector UV-VIS) utilizând drept fază staționară o coloană Nucleosil 18 cu fază inversă iar drept fază mobilă metanol apos (83%), în regim de eluție isocratică. Astfel s-a determinat calitativ formarea compușilor azo-stilbenici menționați. Din analiza prin spectrometrie de absorbție VIS (CECIL CE 7200, Perkin Elmer λ_{12}) a coloranților stilbendisazoici sintetizați (VII-XX) rezultă că aceștia prezintă un maxim de absorbție în domeniul vizibil situat la $\lambda_{\max}=401-541\text{nm}$

14. Coloranții stilbendisazoici sintetizați (VII-XV; XVII-XX) au fost analizați prin spectrometrie IR (JASCO FT/IR-4200; Specord M80). Prezența grupării amidice secundare din coloranții (VIII-XIV; XVII) este confirmată de banda amidă I ($\nu_{\text{C=O}}$) de la 1630-1673 cm^{-1} de banda amidă II ($\delta_{\text{NH}} + \nu_{\text{CN}}$) de la 1534-1552 cm^{-1} , respectiv de banda amidă III ($\nu_{\text{CN}} + \delta_{\text{NH}}$) de la 1228-1288 cm^{-1} . De asemenea, grupării sulfonice prezentă de altfel în structurile tuturor coloranților seriei îi corespund în spectru benzile caracteristice vibrațiilor de valență asimetrică ($\nu_{\text{SO}_2}^{\text{as}}$) de la 1168-1260 cm^{-1} , și simetrică ($\nu_{\text{SO}_2}^{\text{as}}$) de la 1024-1077 cm^{-1} . În spectrul colorantului (XVII), apar și benzile datorate vibrației de schelet ale ciclului benziazolic de la 1534 cm^{-1} , 1446 cm^{-1} , respectiv 709 cm^{-1} . Benzile caracteristice grupării OH fenolice apar în spectrele tuturor coloranților analizați; ($\nu_{\text{C-O}}$) fenolic; între 1168-1233 cm^{-1} ; (δ_{OH}) fenolic între 1300-

1400cm⁻¹. Pentru cei doi coloranți înrudiți (**XIX**; **XX**) gruparea carboxilat este pusă în evidență prin vibrația de valență a grupării carbonilice (vc=o^{as}) asimetrică, situată în spectru în intervalul 1616-1633cm⁻¹ și cea simetrică (vc=o^s) în intervalul 1387-1389cm⁻¹

15. Din analiza prin spectrometrie de rezonanță magnetică nucleară ¹³C-RMN (BRUKER AVANCE DRX 100MHz) a coloranților stilbendisazoici sintetizați (**VIII-XV**; **XIX**; **XX**), se observă că toate deplasările atomilor de carbon ai grupei stilbenice sunt situate în intervalul 124,45-126,83ppm. Semnalele corespunzătoare atomilor de carbon aparținând grupării carbonamidice secundare din compușii (**VIII-XIV**) se plasează în intervalul 164,10-166,59ppm. În intervalul δ=135,42-139,91ppm este cuprinsă de asemenea și deplasarea chimică a atomului de carbon purtător al grupării sulfonice, pentru toți coloranții analizați. Gruparea carboxilică din coloranții (**XIX**) și (**XX**) este confirmată de deplasările chimice de la 171,35ppm și respectiv 172,98ppm. În ceea ce privește colorantul (**XVIII**) din spectrul ¹H-RMN (BRUKER AVANCE DRX 400MHz) este elucidată poziția 4 de cuplare a sării de bis-diazoniu a acidului 4,4'-diaminostilben-2,2'-disulfonic cu rezorcina.

16. Analiza prin spectrometrie de masă (Thermo-Finnigan LC-QESI-MS) a condus la punerea în evidență în cazul colorantului (**XI**), a picului molecular m/z=887[M₁]⁺; a aducțiilor m/z=931,3[M₁+2Na]⁺; m/z=955,1[M₁+3Na]⁺; și a unor fragmente de scindare: m/z=688[M₂-A]⁺; m/z=673,39[M₂-B]⁺. (vezi schema **II.8** cap.II.2). Pentru colorantul (**XVI**) au fost decelate fragmentele; m/z=685,1 [M-2SO₃]⁺; m/z=676,3 [M-2A]⁺; m/z=339,1[M_B-A]⁺ (vezi schema **II.9** cap.II.2)

În vederea introducerii în practică a unui colorant nou, este importantă stabilirea caracteristicilor vopsirilor din punct de vedere al nuanței, uniformității și intensității vopsirii precum și determinarea rezistențelor vopsirilor: rezistența la apă, transpirație și frecare. În urma acestor determinări pentru coloranții (**I-VI**) s-au concluzionat următoarele:

17. Afinitatea tuturor coloranților studiați pentru suportul proteic este mai bună comparativ cu cea pentru suportul celulozic. Acest fapt este consecința tipului de interacție colorant-fibră. Astfel în cazul suportului celulozic legăturile între acesta și coloranți sunt în mare măsură de natură intermoleculară și anume van de Waals, în timp ce în situația suportului proteic legăturile între acesta și coloranți sunt de natură ionică. Datorită acestor tipuri de interacție se explică și epuizarea mai mică a flotelor reziduale de vopsire a suportului textil celulozic cu coloranții menționați în comparație cu cea a flotelor reziduale de vopsire a suportului textil proteic. Valorile rezistențelor umede pentru lână sunt în cazul tuturor coloranților superioare celor pentru bumbac. Se poate concluziona faptul că doar compușii (**I**, **II**, **IV** și **V**) pot fi utilizați la vopsirea suporturilor celulozice (bumbac) și proteice (lână) cu condiția îmbunătățirii solubilității produselor ca atare și a capacității de egalizare la aplicare.

Studiul de culoare în sistem **CIELAB** a ambelor serii de coloranți sintetizați a fost sugerat de existența unui insuficient număr de date cu privire la relațiile structură, culoare aparținând coloranților nebenzidinicici în general și a celor azo-stilbenici în special.

Măsurătorile de culoare (Minolta 3229d) au fost efectuate pe suporturile textile celulozice și proteice vopsite cu coloranții azo-stilbenici (**I-VI**), rezultatele fiind reprezentate atât în coordonate rectangulare (L^* , a^* , b^*) cât și în coordonate cilindrice (L^* , C^* , h°) iar diferențele de culoare (ΔE^*) obținute fiind raportate la suporturile nevopsite, respectiv vopsite cu primul colorant din serie (**I**). Diferențele de culoare (ΔE^*) au fost exprimate ca diferențe de luminozitate (ΔL^*), de saturație (ΔC^*), de nuanță (Δh°) concluzionându-se următoarele:

18. În seria de coloranți azo-stilbenici (**I-VI**) datorită structurilor înrudite, nuanțele vopsirilor obținute cu aceștia sunt apropiate variind de la galben la galben-roșcat.

19. În toate cazurile vopsirilor analizate diferențele de culoare (ΔE^*) sunt influențate de natura iluminantului utilizat (**D65**, **A**, **F2**).

20. De asemenea, în cazul tuturor compușilor studiați și pentru toți iluminanții, parametrii a^* , b^* și Δh° sunt pozitivi. Aceasta arată o abatere spre portocaliu a mostrelor vopsite față de cele nevopsite din același tip de suport. Pentru vopsirile pe bumbac, diferențele de saturație (ΔC^*) înregistrate sunt negative fiind o dovadă a faptului că mostrele vopsite cu coloranții (**II-VI**) sunt mai puțin saturate decât cea luată drept standard, adică vopsită cu colorantul (**I**). Pentru vopsirile pe lână diferențele de saturație (ΔC^*) înregistrate sunt negative doar în cazul vopsirilor coloranților (**III**) și (**VI**) (care prezintă substituenți voluminoși) fiind o dovadă a faptului că acestea sunt mai puțin saturate decât cea luată ca standard, adică vopsirea cu colorantul (**I**). De asemenea se constată că, în general vopsirile obținute prin aplicarea pe suport proteic a coloranților (**I-VI**), sunt mai terne decât cele obținute prin aplicarea lor pe suport celulozic.

Măsurătorile de culoare (Minolta 3220d) au fost efectuate pe peliculele obținute în urma aplicării pe lemn a probelor rezultate prin amestecarea în diferite concentrații a coloranților azo-stilbenici (**VII-XVI**; **XVIII-XX**) cu Pigment alb 6 (C.I. 77 891) (TiO_2). Rezultatele au fost reprezentate atât în coordonate rectangulare (L^* , a^* , b^*) cât și în coordonate cilindrice (L^* , C^* , h°) iar diferențele de culoare (ΔE^*) obținute au fost raportate la un standard de alb concluzionându-se următoarele:

21. În seria de coloranți azo-stilbenici (**VII-XVI**; **XVIII-XX**) natura componentelor de cuplare este decisivă în nuanța peliculelor. Astfel în amestec cu dioxid de titan coloranții (**VII**; **VIII**; **XV**) au nuanțe de galben, coloranții (**IX-XIV**) de galben-roșcat; coloranții (**XVIII**; **XX**) de brun, brun-roșcat; colorantul (**XIX**) de albastru.

22. În toate cazurile peliculelor analizate diferențele de culoare (ΔE^*) sunt influențate de natura iluminantului utilizat (**D65**, **A**, **F2**).

23. Așa cum era de așteptat, valorile luminozității (L^*) și ale saturației (C^*) culorilor peliculelor tuturor coloranților studiați (**VII-XVI; XVIII-XX**), prezintă o variație invers proporțională, respectiv direct proporțională în raport cu concentrația de aplicare a colorantului. De asemenea, se poate observa faptul că, având la dispoziție înregistrările valorilor unghiului tonal (h^0) care exprimă cel mai bine și într-un mod intuitiv culoarea, pot fi exprimate cu mare precizie nuanțele tuturor peliculelor coloranților azo-stilbenici aplicați. Astfel, analiza de culoare a permis obținerea unor corelații structură-culoare pentru unii din coloranții luați în studiu. Observând valorile diferențelor de culoare (ΔE^*) ale peliculelor coloranților (**VII-XVI; XVIII-XX**), raportate la un standard de alb, se poate concluziona faptul că aceștia prezintă o mare putere de colorare.

Rezultatele originale obținute pe parcursul desfășurării lucrărilor de cercetare în cadrul tezei de doctorat sunt următoarele:

1. **M. E. Grad**, V. Rădițoiu, L. Wagner, A. Rădițoiu, A. X. Lupea, *Rev. Chim.*, **2007**, 58(8), 786-789
2. **M. E. Grad**, V. Rădițoiu, L. Wagner, A. Rădițoiu, G. M. Simu, A. X. Lupea, *Lucrările Simpozionului Zilele Academice Timișene, Ediția a X-a, 24-25 mai, 2007*, 33
3. **M. E. Grad**, G. Simu, S. G. Muntean, A. X. Lupea, *Rev. Chim.*, **2007**, 58(2), 214-217
4. **M. Grad**, G. Simu, S. Hora, *Ann. West. Univ. Timișoara, ser. Chem.*, **2004**, 13(1), 17-22
5. **M. Grad**, A. X. Lupea, G. Simu, S. Hora, *XXXVIIIth Romanian Chemistry Conference, Călimănești-Căciulata, Vâlcea, 6-8 octombrie, 2004*, 155
6. **M. Grad**, A. X. Lupea, G. Simu, S. Muntean, *Lucrările simpozionului: Zilele Academice Timișene, Editia a IX-a, 26-27 mai, 2005*, 135
7. **M. Grad**, G. M. Simu, A. X. Lupea, Șt. Tomas, A. Pascariu, *Rev. Roum. Chim.*, **2008**, 53(2), 107-111
8. **M. E. Grad**, G. M. Simu, S. G. Muntean, A. X. Lupea, *The 14th Symposium on Analytical and Environmental Problems, Szeged, 24 september, 2007*, 344-347
9. **M. E. Grad**, M. G. Simu, S. Tomici, S. G. Muntean, *5th International Conference of the Chemical Societies of the South-East European Countries-ICOSECS, Ohrid, Macedonia, 2006*, Book of Abstract vol. II, OCH-22, 446

-
-
10. **M. Grad**, S. Popa, *Scientific and Technical Bulletin, Universitatea Aurel Vlaicu Arad*, **2006**, 11(XII), 42-45
 11. **M. E. Grad**, G. Simu, S. Tomici, *140 de ani de la înființarea Academiei Române, Timișoara 13 aprilie*, **2006**, 118-123, CD-ROM
 12. **M. Grad**, G. Simu, S. Tomici, A. X. Lupea, *Studia Univ. Vasile Goldiș, ser. Științele Vieții*, **2007**, 17-1, 75-78
 13. **M. E. Grad**, V. Rădițoiu, S. Popa, D. Jurcău, A. X. Lupea, *Rev. Chim.*, **2008**, 59(12), 1355-1360
 14. **M. E. Grad**, G. M. Simu, M. Milea, M. A. Pădure, A. X. Lupea, *The 15th Symposium on Analytical and Environmental Problems, Szeged, 22 september*, **2008**, 242-245

BIBLIOGRAFIE

1. H. Sanielevici, F. Urseanu, "Sinteze de Coloranți Azoici", vol 2, Ed. Tehnică, București, 1987, p.207, 220
2. T. Vickerstaff, "The Physical Chemistry of Dyeing", 2nd ed, Oliver & Boyd, London, 1954, p.172
3. E. R. Trotman, "Dyeing and Chemical Technology of Textile Fibres", 4th ed., Griffin, London, 1970, p.406
4. L. Floru, H. W. Langfeld, C. Tărăbășanu–Mihăilă, "Coloranți Azoici", Ed. Tehnică, București, 1981, p.341, 342, 23, 33, 123
5. L. Floru, H. W. Langfeld, C. Tărăbășanu–Mihăilă, R. Palea, "Chimia și Tehnologia Intermediarilor Aromatici și a Coloranților Organici", Ed. Didactică și Pedagogică, București, 1980, p.348, 453, 476, 356, 361, 368, 471, 305, 317
6. M. Grindea, T. Forst, A. Hanganu, "Tehnologia Vopsirii și Imprimării Textilelor", Ed. Tehnică, București, 1983, p.28, 273
7. C. Dăescu, "Procese Fundamentale în Tehnologia Chimică Textilă", Editura Waldpress, Timișoara, 2002, p.81, 186, 257, 211
8. H. Wicki, *Sandoz LTD.*, US 446838 (Aug.28, 1984)
9. D. A. Brode, *Crompton & Knowles Corp.*, FR 2452513 (Oct.24, 1980)
10. A. Käser, *Ciba Geigy Co.*, US 4515599 (May.7, 1985)
11. Colour Index, The Society of Dyers and Colourists, Bradford, 2nd ed., Vol 3, 1956, p. 3254
12. A. D. Sule, J. P. Shukla, *Book. Pap.-Jt. Technol. Conf. ATIRA, SITRA, NITRA ,BTRA*, 37th 357-365, C.A.125, 117212m, 1996
13. L. Macovicuic, M. Dobrovăț, *Ind. Text.*, 47 (2), 103-107, C.A. 125, 224381n, 1996
14. I. V. A. Havlik, D. Dina, I. Havlik, *Colorom*, RO 92732, (Oct.30, 1987)
15. I. V. A. Havlik, D. Gageonea, I. Havlik, D. Dina, S. N. Ioniță, *Colorom*, RO 92754, (Oct.30, 1987)
16. H. Nickel, K. H. Schundehutte, *Bayer A. G.*, GB 1349611, (Apr.10, 1974)
17. W. Hanhart, *Soc. Pour l' ind. chim. à Bâle*, US 2405353, (Aug.6, 1946), C.A. 40, 6826⁴, 1946
18. R. R. Davies, *Imperial Chemical Industries Ltd.*, Brit 760710, (Nov.7, 1956), C.A. 51, 9168d, 1957

-
-
19. E. Huber, O. Wahl, J. Hilger, *Farbenfabrik Bayer A. G.*, Ger. 935565, (Nov.24, 1955), C.A. 50, 4520b, 1950
 20. K. Nakaguchi, *Showa Kagaku Kogyo Co. Ltd.* Japan Kokai 7394729, (Dec.6, 1973), C.A. 80, 134919h, 1974
 21. K. Nakaguchi, *Showa Chemical Industries .Ltd.* Japan Kokai 7695429, (Aug.21, 1976), C. A. 85, 194090c, 1976
 22. K. Nakaguchi, *Showa Chemical Industries, Ltd.* Japan Kokai 7562226, (May.28, 1975), C.A. 83, 133364g, 1975
 23. A. Zdneck, *Sandoz Patent-G.m.b.H.* Ger. Offen. 2504868, (Nov.13, 1975), C.A. 84, 6180q, 1975
 24. T. Tabei, Y. Aizawa, S. Mori, *Nippon Kayaku Co. Ltd.* Japan Kokai 7457029, (Jun.3, 1974), C.A. 81, 171340n, 1974
 25. D. C. Wilson, J. Shofield, J. F. Dawson, E. Teale, S. Partington, *Yorkshire Chemicals Ltd.* Brit. 1375787, (Nov.27, 1974), C.A. 82, 141603d, 1975
 26. A. Kujawski, J. Jablonski, L. Szuster, A. Gawlowski, *Osrodek Badawczo-Rozwojowy Przemyslu Barwnikow "Organika"*, Pol. 93050, (Nov.30, 1977), C. A. 89, 26019a, 1978
 27. A. Kujawski, J. Jablonski, L. Szuster, A. Gawlowski, *Osrodek Badawczo-Rozwojowy Przemyslu Barwnikow "Organika"*, Pol. 93030, (Nov.15, 1977), C.A. 89, 112335g, 1978
 28. C. Vogel, H. Wichi, *Sandoz-Patent-G.m.b.H.*, Ger Offen. 2637922, (Mar.17, 1977), C.A. 86, 173062a, 1977
 29. A. Kujawski, J. Jablonski, L. Szuster, T. Michalczyk, W. Papiersky Pawlowsky, *Osrodek Badawczo-Rozwojowy Przemyslu Barwniko*, Pol. 82016, (Jul.15, 1976), C.A. 86, 107987e, 1977
 30. A. Zdneck, *Sandoz Patent-G.m.b.H.* Ger. Offen. 2733107, (Feb.9, 1979), C.A. 88, 154324n, 1977
 31. R. Bermes, R. Dyllick-Brenzinger, H. K. Beck, *BASF A.-G.*, Ger Offen. DE 4227591, (Feb.24, 1994), C.A. 121, 85710w, 1994
 32. J. Jr. E. Radigan, L. V. Isganitis, W. E. Solodar, K. B. Gundlach, *Xerox Corp.* U.S. U.S. 5360472, (Nov.1, 1994), C.A. 123, 58792j, 1995
 33. K. Hassenrueck, K. H. Reinhardt, P. Wild, K. Wunderlich, *Bayer A. G.*, Ger Offen. DE 4340354, (Jun.1, 1995), C.A. 123, 172627j, 1995
 34. H. Chiaki, S. Matsubara, T. Naito, *Orient, Chemical Industries, Ltd.* Jpn. Kokai Tokkyo Koho JP 6232150, (Feb.12, 1987), C.A. 107, 24801p, 1987

-
-
35. A. Kujawski, A. Gawlowski, L. Szuster, J. Jablonski, M. Olma, *Osrodek Badawczo-Rozwojowy Przemyslu Barwnikow "Organika"*, Pol. PL 137329, (Mar.31, 1987), C.A. 114, 64243m, 1991
 36. A. Fasciati, *Ciba Geigy A. G.*, Ger Offen. 2926184, (Jan.10, 1980), C.A. 92, 199744y, 1980
 37. W. Mennicke, *Bayer A. G.*, Ger. Offen. DE 3432413, (Mar.13, 1986), C.A. 106, 6401k, 1987
 38. H. J. Degen, R. Bermes, S. Pfohl, *BASF A. G.*, Ger. Offen. DE 3641233, (Jun.16, 1988), C.A. 109, 151433n, 1988
 39. A. Kujawski, L. Szuster, A. Gawlowski, J. Jablonski, M. Olma, *Osrodek Badawczo-Rozwojowy Przemyslu Barwnikow "Organika"*, Pol. PL 144870, (Jul.30, 1988), C.A. 112, 200594q, 1990
 40. S. B. Smith, *Du Pont de Nemours, E. I. and Co.* US 4118182, (Oct.3, 1978), C.A. 90, 40201f, 1979
 41. H. Eilinsfeld, G. Hansen, G. Seybold, G. Zeidler, *BASF A. G.*, Ger. Offen. 2901654, (Jul.31, 1980), C.A. 93, 201645e, 1980
 42. A. Kujawski, A. Gawlowski, L. Szuster, J. Jablonski, *Osrodek Badawczo-Rozwojowy Przemyslu Barwnikow "Organika"*, Pol. PL 106948, (Jan.31, 1980), C.A. 94, 141186t, 1981
 43. A. Gerbaux, A. Brulard, *Althouse Tertre (ATSA)*, Belg. 885270, (Mar.17, 1981), C.A. 95, 152102y, 1981
 44. A. Kujawski, A. Gawlowski, L. Szuster, J. Jablonski, O. Marek, *Osrodek Badawczo-Rozwojowy Przemyslu Barwnikow "Organika"*, Pol. PL 137328, (Sep.30, 1987), C.A. 114, 64244n, 1991
 45. M. A. Perkins, H. K. Urion, *Du Pont*, US 3905949, (Sep.16, 1975)
 46. A. A. Komander, F. Robertson Johnson, *ICI LTD.*, GB 1409326, (Oct.8, 1975)
 47. *Ulmann's Enzyklopedie der Technischen Chemie*, vol IV, Urban & Schwarzenberg, München-Berlin, 1953, p.84, 114
 48. R. Pedrazzi, *Sandoz LTD*, GB 1436965, (May.26, 1976)
 49. N. Armbrrecht, W. Bauer, J. Ribka, *Cassella A. G.* DE 3134063, (Mar.10, 1983)
 50. H. Kramb, *Bayer A. G.*, GB 1359454, (Jul.10, 1974)
 51. W. Bauer, J. Ribka, *Cassella Farbwerke Mainkur, A. G.*, DE 2541007, (Mar.17, 1977)
 52. W. Czajovski, *Dyes Pigm.*, **1991**, 17, 297-302
 53. I. V. A. Havlik, D. Gageonea, D. Todorov, *Colorom*, RO 93821, (Febr. 29, 1988)

-
-
54. I. V. A. Havlik, D. Gageonea, E. Ciobotea, I. Havlik, *Colorom*, RO 93526, (Dec.31, 1987)
 55. I. V. A. Havlik, D. Gageonea, C. D. Olariu, *Colorom*, RO 93356, (Dec.31, 1987)
 56. A. Arsac, J. P. Chapelle, *Ungine Kuhlmann*, GB 1401750, (Jul.30, 1975)
 57. A. Arsac, J. P. Chapelle, *Ungine Kuhlmann*, GB 1404380, (Aug.28, 1975)
 58. *ACNA S. P. A.*, GB 1467656, (Mar.16,1977)
 59. I. V. A. Havlik, D. Gageonea, D. Todorov, *Colorom*, RO 93820, (Febr.29, 1988)
 60. I. V. A. Havlik, D. Gageonea, I. Havlik, *Colorom*, RO 93816, (Febr.29, 1988)
 61. J. Szadowski, M. R. De Giorgi, *Dyes Pigm.*, **1995**, 39, 431-436
 62. H. R. Bolliger, H. A. Potts, *Ciba Geigy, A. G.*, US 3852029, (Dec.3, 1974)
 63. H. F. Andrew, W. E. Stephen, *ICI LTD*, GB 837953, (Jun.15, 1960)
 64. R. Schaulin, *Ciba Geigy Corp.*, US 4997919, (Mar.5, 1991)
 65. H. F. Andrew, *ICI LTD*, GB 828353, (Febr.17, 1960)
 66. K. Mix, E. Feess, *Cassella Farbwerke Mainkur A. G.*, EP 0073965, (Mar.16, 1983)
 67. H. Springer, *Hoechst A. G.*, CS 212710, (Mar.26, 1982)
 68. K. Saitmacher, P. Vermehren, T. Beck, *Hoechst A. G.*, PL 305794, (May.15, 1995)
 69. J. S. Bae, H. S. Freeman, A. El-Shafei, *Dyes Pigm.*, **2003**, 57, 121-129
 70. T. Şişmanoğlu, S. Pura, A. S. Baştuğ, *Dyes Pigm.*, **2006**, 70, 136-142
 71. F. Al-Momani, E. Touraud, J. R. Degorce-Dumas, J. Roussy, O. Thomas, *J. Photochem. Photobiol., A Chemistry*, **2002**, 153, 191-197
 72. U. Bali, E. Çatalkaya, F. Şengül, *J. of Hazard. Mat. B*, **2004**, 114, 159-166
 73. P. K. Malik, S. K. Saha, *Sep. Pur. Techn.* **2003**, 00, 1-10
 74. S. D. Kalme, G. K. Parshetti, S. U. Jadhav, S. P. Govindwar, *Biores. Technol.*, **2007**, 98, 1405-410
 75. M. Bhaskar, A. Gnanamani, R. J. Ganeshjeevan, R. Chandrasekar, S. Sadulla, G. Radhakrishnan, *J. Chromatogr. A*, **2003**, 1018, 117-123
 76. A. Pielesz, *J. Molec. Structure*, **1999**, 511-512, 337-344
 77. E. Longstaff, *Dyes Pigm.*, **1983**, 4, 243-304
 78. P. Gregory, *Dyes Pigm.*, **1986**, 7, 45-56
 79. C-S. Lu, S-D. Huang, *J. Chromatogr. A*, **1995**, 696, 201-208
 80. S. F. Zakreywski, "Principles of Environmental Toxicology", American Chemical Society, Washington DC, 1991, p.71, 90
 81. K. T. Chung, P. Adris, *Toxicol. in Vitro*, **2003**, 17, 145-152
 82. P. Rajaguru, L. J. Fairbairn, J. Ashby, M. A. Willington, S. Turner, L. A. Woolford, N. Chinnasamy, J. A. Rafferty, *Mutat. Res.* **1999**, 444, 175-180

-
-
83. C. Novotný, N. Dias, A. Kapanen, K. Malachová, M. Vándrovcová, M. Itävaara, N. Lima, *Chemosphere*, **2006**, 63, 1436-1442
 84. S. W. Oh, M. N. Kang, C. W. Cho, M. W. Lee, *Dyes Pigm.*, **1997**, 33(2), 119-135
 85. T. Ohe, T. Watanabe, K. Wakabayashi, *Mutat. Res.*, **2004**, 567, 109-149
 86. J. Szadowski, Z. Niewiadomski, *Dyes Pigm.*, **1992**, 19, 41-49
 87. M. M. Shahin, D. Rouers, A. Bugaut, G. Kalopissis, *Mutat. Res.*, **1980**, 79, 289-306
 88. D. Hinks, H. S. Freeman, M. Nakpathom, J. Sokolowska, *Dyes Pigm.*, **2000**, 44, 199-207
 89. G. Gong, X. Gao, J. Wang, D. Zhao, H. S. Freeman, *Dyes Pigm.*, **2002**, 53, 109-117
 90. J-S. Bae, H. S. Freeman, S. H. Waren, L. D. Claxton, *Mutat. Res.* **2006**, 603, 173-185
 91. J-S. Bae, H. S. Freeman, *Dyes Pigm.*, **2007**, 73, 81-85
 92. K. A. Bello, K. Shen, D. Zhao, M. Esancy, H. Freeman, *Dyes Pigm.*, **2000**, 46, 121-128
 93. Colour Index, The Society of Dyers and Colourists, Bradford, 3rd ed., Vol 2, 1971, p 2315, 2439
 94. Y. C. Chao, Y. I. Pan, *Dyes Pigm.*, **1996**, 31 (3), 253-262
 95. *Du Pont*, GB 1452986, (Oct. 20, 1976)
 96. D. Brode, *Crompton & Knowles Corp*, US 4490151, (Dec.25, 1984)
 97. F. Walker, J. Prince, *Hollyday Co LTD LB*, GB 1601232, (Oct.28, 1981)
 98. A. Kujawski, L. Szuster, A. Gawlowsky, J. Jablonsky, M. Olma, *Osrodek Badawczo-Rozwojowy Przemyslu Barwnikow "Organika"*, Pol. PL 146485, (Feb.28, 1989), C.A.112, 200597t, 1990
 99. A. Kujawski, L. Szuster, A. Gawlowsky, J. Jablonsky, M. Olma, *Osrodek Badawczo-Rozwojowy Przemyslu Barwnikow "Organika"*, Pol. PL 144867, (Jul.30, 1988), C.A. 112, 218758f, 1990
 100. A. Kujawski, L. Szuster, A. Gawlowsky, J. Jablonsky, M. Olma, *Osrodek Badawczo-Rozwojowy Przemyslu Barwnikow "Organika"*, Pol. PL 144872, (Jul.30, 1988), C.A. 112, 218759j, 1990
 101. A. Kujawski, L. Szuster, A. Gawlowsky, J. Jablonsky, M. Olma, *Osrodek Badawczo-Rozwojowy Przemyslu Barwnikow "Organika"*, Pol. PL 146484, (Feb.28, 1989), C.A. 112A 218760a, 1990
 102. A. Kujawski, L. Szuster, A. Gawlowsky, *Przemyslu Barwnikow "Organika"*, Pol. PL 144869, (Jul.30, 1988), C.A.112; 236894b, 1990
 103. A. Kujawski, L. Szuster, A. Gawlowsky, J. Jablonsky, M. Olma, *Osrodek Badawczo-Rozwojowy Przemyslu Barwnikow "Organika"*, Pol. PL 146486, (Feb.28, 1989), C.A.,112; 236895c, 1990

-
-
104. H. Sanielevici, F. Urseanu, "Sinteze de intermediari aromatici", vol 2, Ed. Tehnică, București, 1983, p.335
 105. *Nippon Kayaku KK*, GB 1501070, (Feb.15 1978)
 106. Y. C. Chao, S. S. Yang, *Dyes Pigm.*, **1995**, 29(2), 131-138
 107. J. Szadowski, Z. Niewiadomski, K. Wojciechowski, *Dyes Pigm.*, **2001**, 50, 87-92
 108. L. Yan, L. Wei, Z. Yuzhen, L. Dongzhi, *Dyes Pigm.*, **2005**, 65, 35-37
 109. H. S. Freeman, J. F. Esancy, M. K. Esancy, K. P. Mills, W. M. Whakey, *Dyes Pigm.*, **1987**, 8, 417-430
 110. F. Calogero, H. S. Freeman, J. F. Esancy, W. M. Whaley, *Dyes Pigm.*, **1987**, 8, 431-437
 111. S. Zhang, X. Cheng, J. Yang, *Dyes Pigm.*, **1999**, 43, 167-172
 112. R. Krishnan, N. Sekar, S. Seshadri, *Dyes Pigm.*, **1986**, 7, 457-465
 113. J. Szadowski, *Dyes Pigm.*, **1990**, 14, 217-224
 114. M. A. Hanna, A. A. Al-Sarawy, I. G. Rashed, F. K. M. Wali, *Dyes Pigm.*, **2007**, 75, 556-566
 115. J. V. Alderson, E. Atherton, A. N. Derbyshire, *J. Soc. Dyers Colour.*, **1961**, 77(12), 657-659
 116. S. Popa, D. Jurcău, C. Jurcău, N. Pleșu, " Pigmenți Organici ," vol I, Ed. Orizonturi Universitare, Timișoara, 2005, p.19, 21, 35, 61, 69, 92, 91, 53
 117. R. M. Christie, R. M. Mather, R. H. Wardman, "The Chemistry of Colour Application" Blackwell Science 2000, p.193, 191, 196
 118. F. W. Billmeyer Jr. "Principles of Color Technology" 2nd ed., Wiley Interscience, New-York, 1981, 37,63
 119. H. G. Völz, "Industrial Color Testing", VCH Weinheim, 1995, 26, 28
 120. D. L. Mac Adam " Color Measurement", Springer Verlag , Berlin, 1981, 163
 121. F. J. J. Clarke, R. Mc Donald, B. Rigg, *J. Soc. Dyers Colour.*, **1984**, 100(4), 128-132
 122. M. R. Luo, B. Rigg, *J. Soc. Dyers Colour.*, **1987**, 103(2), 86-94
 123. A. Hard, L. Sivik, *Col. Res. Appl.*, **1981**, 6(3), 129-138
 124. K. McLaren, *Col. Res. Appl.*, **1985**, 10, 124-125
 125. M. L. Gulrajani, M. Kaur, V. Kapur, D. Agarwal, *Colourage*, **1996**, 3, 39-43
 126. M. L. Gulrajani, S. Dhanjal, V. Kapur, D. Agarwal, *Colourage*, **1996**, 7, 41-50
 127. T. C. Patton, "Pigment Handbook", vol. III, Wiley Interscience, New York, 1973, p.248
 128. M. Melgosa, *Col. Res. Appl.*, **2000**, 25(1), 49-55
 129. Y-K. Lee, *Dental. Mat.*, **2005**, 21, 678-682
 130. M. J. Moyano, A. J. Meléndez-Martinez, J. Alba, F. J. Heredia, *Food Res. Inter.*, **2008**, 41, 513-521

-
-
131. S. Karaman, H. Gunal, S. Ersahin, *Construct. Build. Mater.*, **2006**, 20, 348-354
 132. N. Harkness, *Optics & Laser Technol.*, **2006**, 38, 219-229
 133. M. Senthilkumar, *Dyes Pigm.*, **2007**, 75, 356-361
 134. S. M. Burkinshaw, N. Kumar, *Dyes Pigm.*, **2008**, 76, 799-809
 135. S. M. Burkinshaw, D. S. Jeong, *Dyes Pigm.*, **2008**, 77, 171-179
 136. D. Mijin, G. Ušćumlić, N. Perišić-Janjić, I. Trkulja, M. Radetić, P. Jovančić, *J. Serb. Chem. Soc.*, **2006**, 71 (5), 435-444
 137. J. F. Gonnet, *Food Chem.*, **2001**, 75, 473-485
 138. H. Zollinger, "Color Chemistry: Syntheses, Properties and Applications of Organic Dyes and Pigments" 3rd ed, Wiley VCH, 2003, p.168, 176, 174
 139. A. T. Balaban, M. Banciu, I. Pogany, "Aplicații ale metodelor fizice în chimia organică", Editura Științifică și Enciclopedică, București, 1983, p.43, 32, 180,
 140. S. Mager, "Analiză structurală organică", Editura Științifică și Enciclopedică, București, 1979, p.233, 292, 47, 286
 141. A. Pielesz, H. S. Freeman, A. Wesełucha-Birczyńska, M. Wysocki, A. Włochowicz, *J. Molec. Structure*, **2003**, 651-653, 405-418
 142. A. Hassanzadeh, A. Zeini-Isfahani, M. H. Habibi, M. R. A. Poor Heravi, M. Abdollahi-Alibeik, *Spectrochim. Acta Part A*. **2006**, 63, 247-254
 143. N. Sekar, *Colourage*, **1995**, 42, 2, 45-52
 144. N. Sekar, *Colourage*, **1994**, 41, 7, 61-66
 145. K. Bhattacharya, A. K. Patra, *Colourage*, **2005**, 52, 49-55
 146. **M. E. Grad**, V. Rădițoiu, L. Wagner, A. Rădițoiu, A. X. Lupea, *Rev. Chim.* **2007**, 58(8), 786-789
 147. **M. E. Grad**, V. Rădițoiu, L. Wagner, A. Rădițoiu, G. M. Simu, A. X. Lupea, *Lucrările Simpozionului Zilele Academice Timișene, Ediția a X-a, 24-25 mai*, **2007**, 33.
 148. V. Pelloni-Tamaș, F. Iohan, "Cromatografia în strat subțire", Editura Tehnică, București, 1971, p. 259
 149. C. Liteanu, S. Gocan, T. Hodișan, H. Nașcu, "Cromatografia de lichide", Editura Științifică București, 1974, p.114
 150. M. Holčapek, P. Jandera, P. Zderadička, *J. Chromatogr. A*, **2001**, 926, 175-186
 151. E. Ertaş, H. Özer, C. Alasalvar, *Food Chem.*, **2007**, 105, 757-760
 152. D. Vanéřkova, P. Jandera, J. Hrabica, *J. Chromatogr. A*, **2007**, 1143, 112-120
 153. K. Venkataraman, "The Analytical Chemistry of Synthetic Dyes", Wiley Interscience, New York, 1977, 204
 154. A. Lyčka, *Dyes Pigm.*, **1999**, 43, 27-32

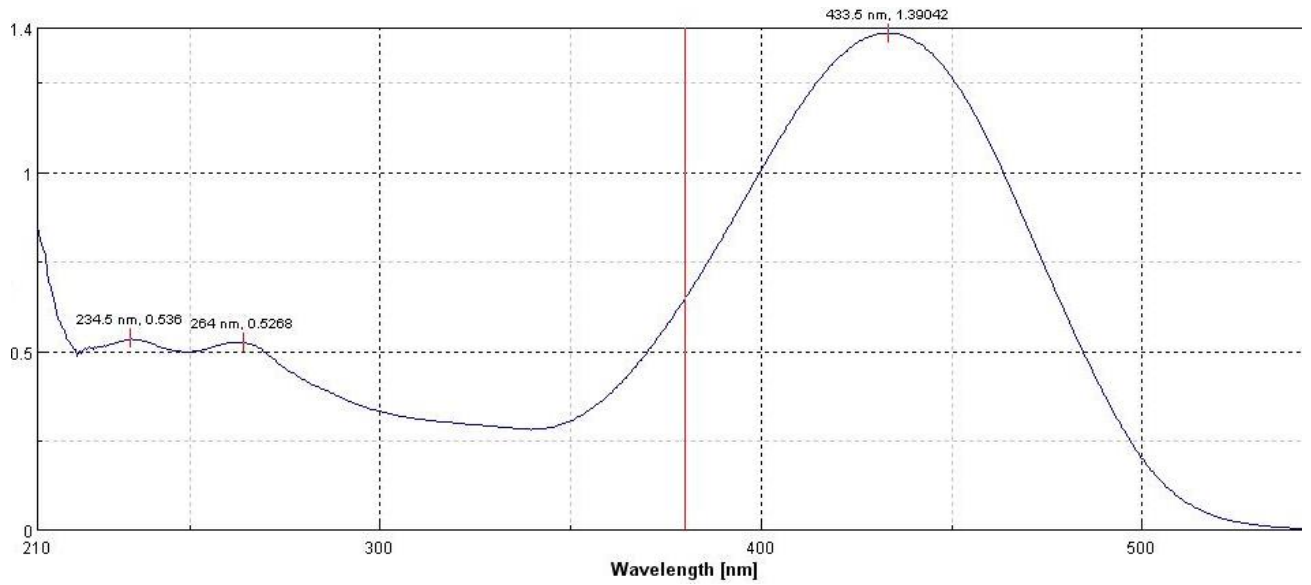
-
-
155. C. Ràfols, D. Barceló, *J. Chromatogr. A*, **1997**, 777, 177-192
156. W. J. Epolito, Y. H. Lee, L. A. Bottomley, S. G. Pavlostathis, *Dyes Pigm.*, **2005**, 67, 35-46
157. L. Adriaensen, F. Vangaeveer, R. Gijbels, *Appl. Surf. Sci.*, **2004**, 231-232, 348-352
158. M. Holčápek, K. Volná, D. Vaněrková, *Dyes Pigm.*, **2007**, 75, 156-165
159. Y. Z. Liu, J. Yu, M. X. Xie, Y. Chen, G. Y. Jiang, Y. Gao, *J. Chromatogr. A.*, **2006**, 125, 95-103
160. M. Ma, X. Luo, B. Chen, S. Su, S. Yao, *J. Chromatogr. A.*, **2006**, 1103, 170-176
161. **M. E. Grad**, G. Simu, S. G. Muntean, A. X. Lupea, *Rev. Chim.* **2007**, 58(2), 214-217
162. **M. Grad**, G. Simu, S. Hora, *Ann. West Univ. Timișoara, ser. Chem.*, **2004**, 13(1), 17-22
163. **M. Grad**, A. X. Lupea, G. Simu, S. Hora, *XXXVIIIth Romanian Chemistry Conference, Călimănești-Căciulata, Vâlcea, 6-8 octombrie, 2004*, 155
164. **M. Grad**, A. X. Lupea, G. Simu, S. Muntean, *Lucrările simpozionului Zilele Academice Timișene, Editia a IX-a, 26-27 mai, 2005*, 135.
165. **M. Grad**, G. M. Simu, A. X. Lupea, Șt. Tomas, A. Pascariu, *Rev. Roum. Chim.*, **2008**, 53(2), 107-111
166. **M. E. Grad**, G. M. Simu, S. G. Muntean, A. X. Lupea, *The 14th Symposium on Analytical and Environmental Problems, Szeged, 24 september, 2007*, 344-347
167. **M. E. Grad**, M. G. Simu., S. Tomici S. G. Muntean, *5th International Conference of the Chemical Societies of the South-East European Countries-ICOSECS, Ohrid, Macedonia, 2006*, Book of Abstract vol. II, OCH-22, 446
168. **M. Grad**, S. Popa, *Scientific and Technical Bulletin, Universitatea Aurel Vlaicu Arad*, **2006**, 11(XII), 42-45
169. **M. E. Grad**, G. Simu, S. Tomici, *140 de ani de la înființarea Academiei Române, Timișoara 13 aprilie, 2006*, 118-123, CD-ROM
170. **M. Grad**, G. Simu, S. Tomici, A. X. Lupea, *Studia Univ. Vasile Goldiș, ser. Științele Vieții*, **2007**, 17-1, 75-78
171. K. Wojciechowski, A. Wyrębak, J. Gumulak, *Dyes Pigm.*, **2003**, 56, 99-109
172. M. Feiz, S. Mallakpour, M. A. Azizollahi, *Dyes Pigm.*, **2007**, 74, 258-261
173. M. R. de Giorgi, G. Alberti, A. Cerniani, *Am. Dyest. Rep.*, **1985**, 3, 33-36
174. S. M. Burkinshaw, A. Gotsopoulos, *Dyes Pigm.*, **1999**, 42, 179-195
175. J. Szadowski, Z. Niewiadomski, *Dyes Pigm.*, **1999**, 40, 193-198
176. D. Jurcău, Gh. Laslău, M. Gherdan, V. Serenciuc, N. Pleșu, S. Popa, L. Ormenișan, A. Turtureanu, Șt. Palkovacs, D. Jurcău, "Pigmenți Organici," vol 2, Ed. Eurostampa, Timișoara, 2008, p. 198, 309, 45

-
-
177. **M. E. Grad**, V. Rădițoiu, S. Popa, D. Jurcău, A. X. Lupea, *Rev. Chim.*, **2008**, 59(12), 1355-1360
178. **M. E. Grad**, G. M. Simu, M. Milea, M. A. Pădure, A. X. Lupea, *The 15th Symposium on Analytical and Environmental Problems, Szeged, 22 september 2008*, 242-245

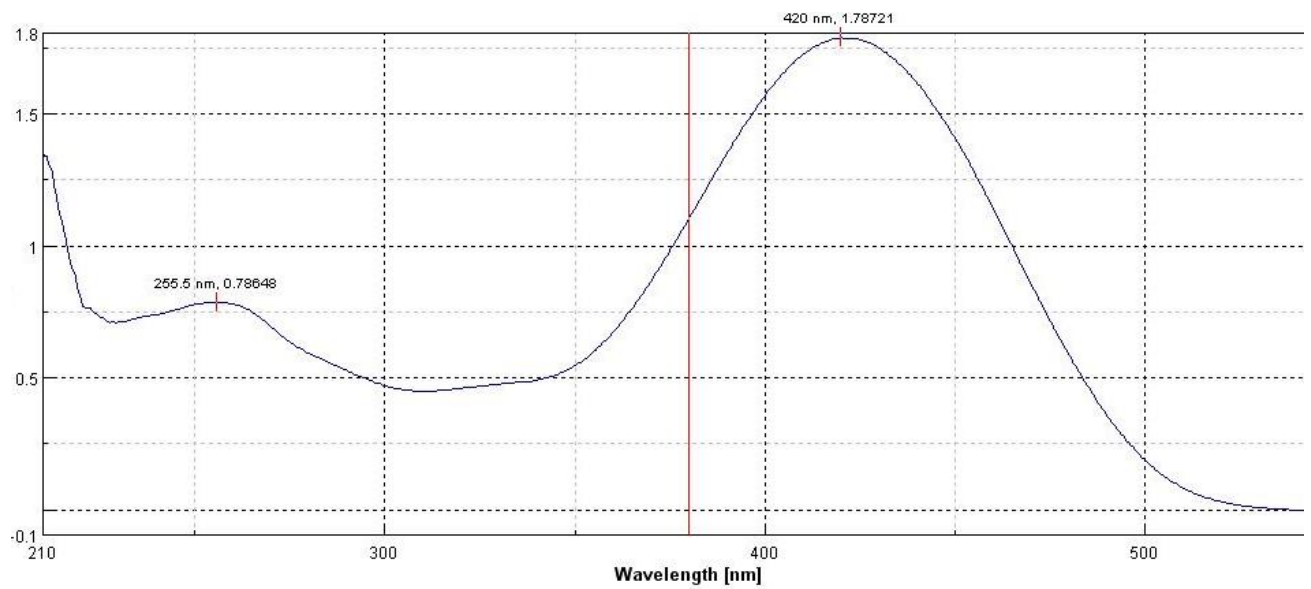
ANEXA I

SPECTRELE DE ABSORBȚIE UV-VIS ALE COLORANȚILOR AZO-STILBENICI (I-VI)

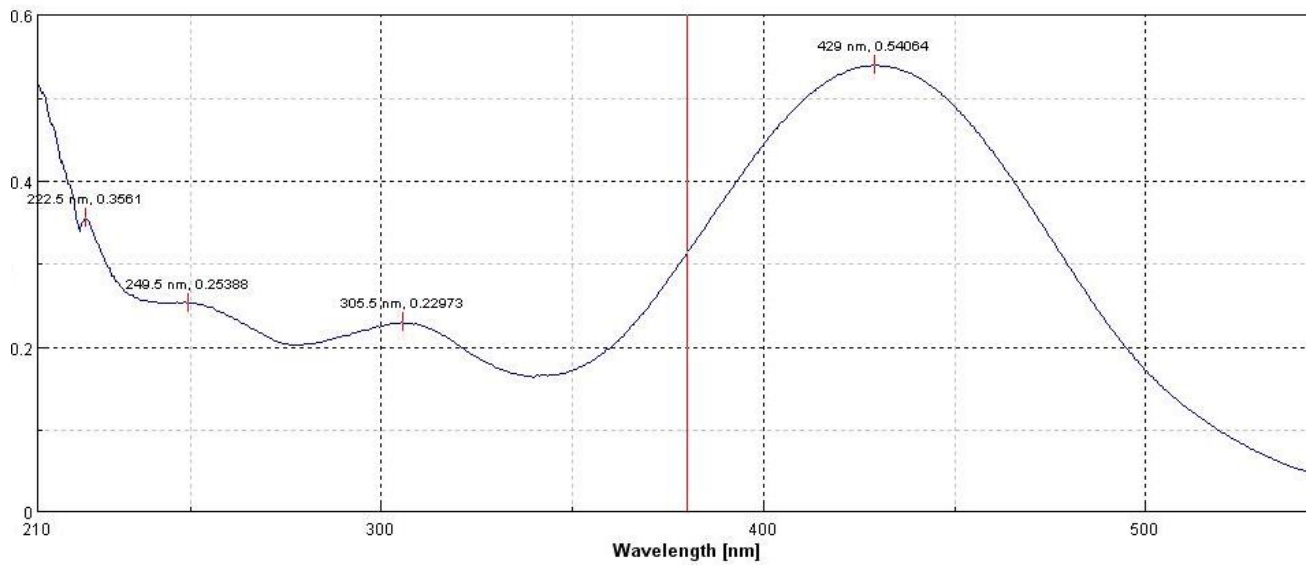
I



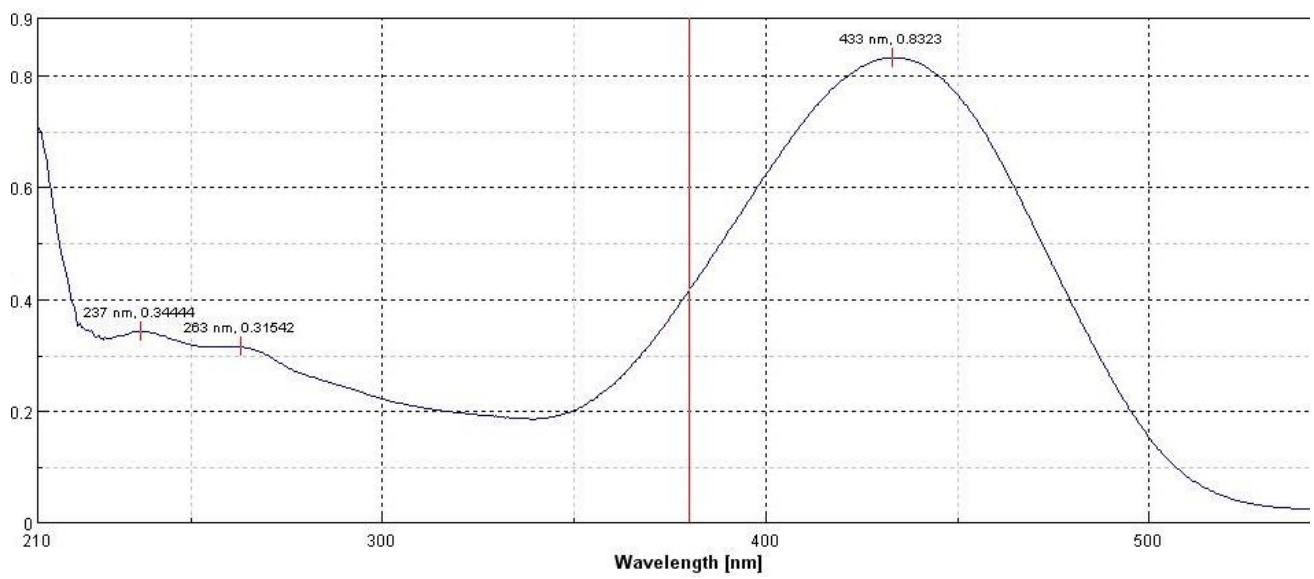
II



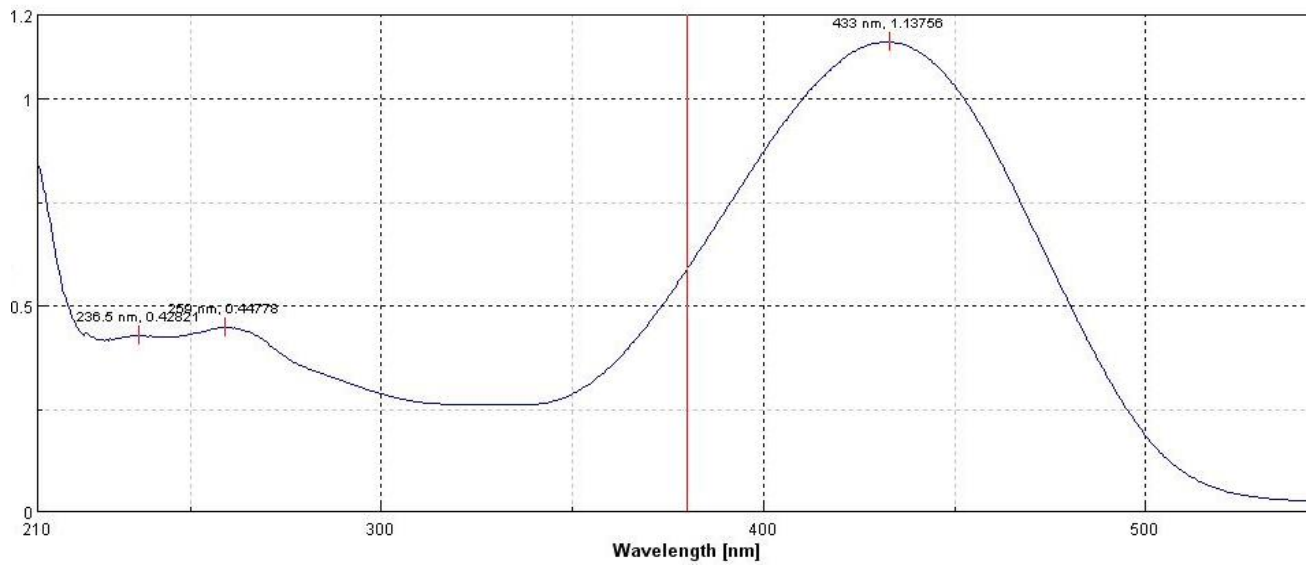
III



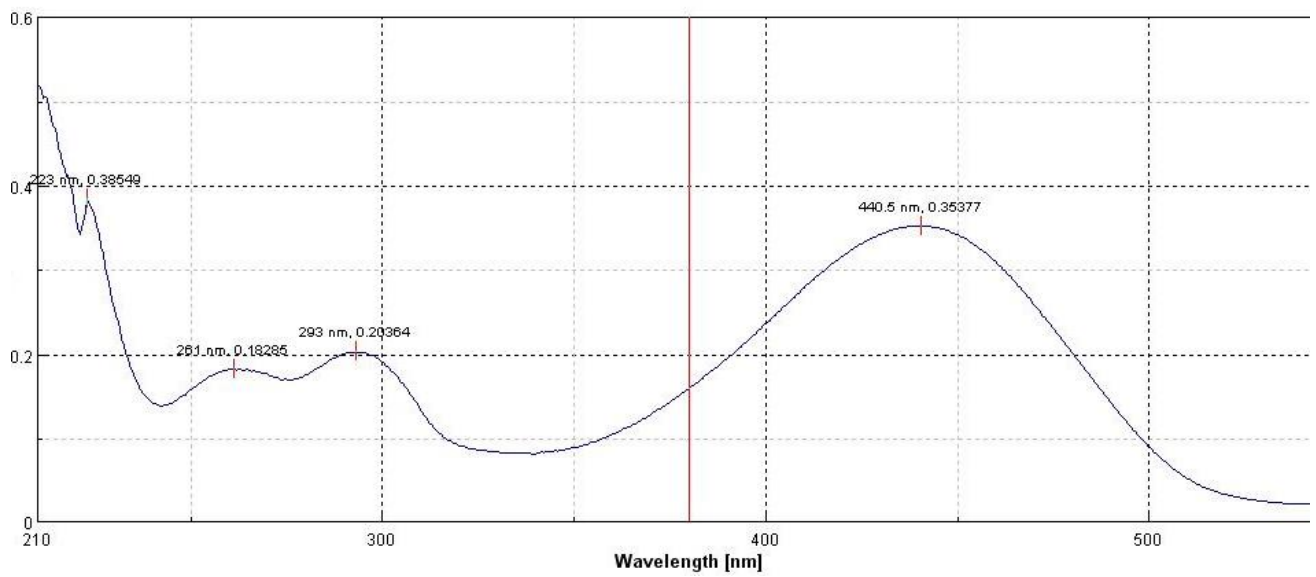
IV



V



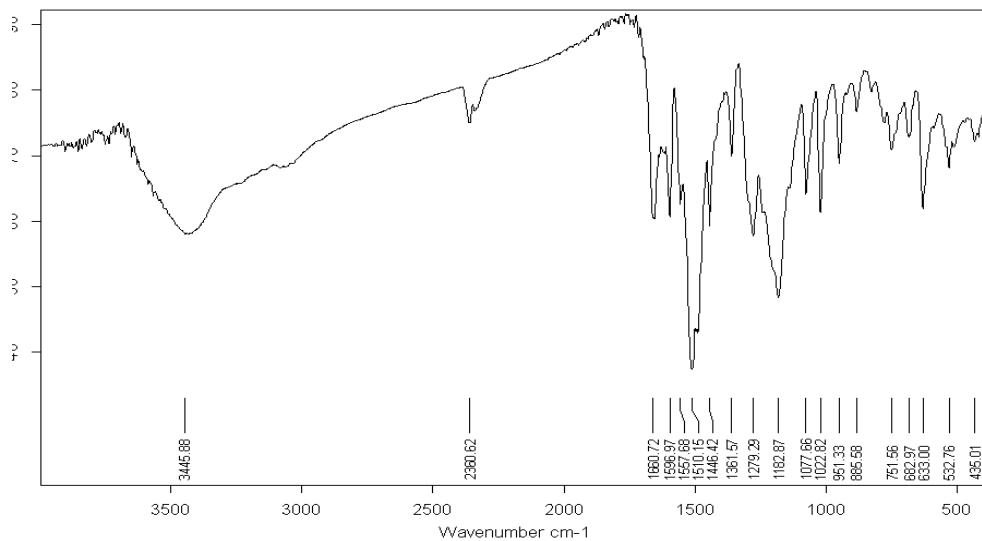
VI



ANEXA II

SPECTRELE DE ABSORBȚIE IR ALE COLORANȚILOR AZO-STILBENICI (I-VI)

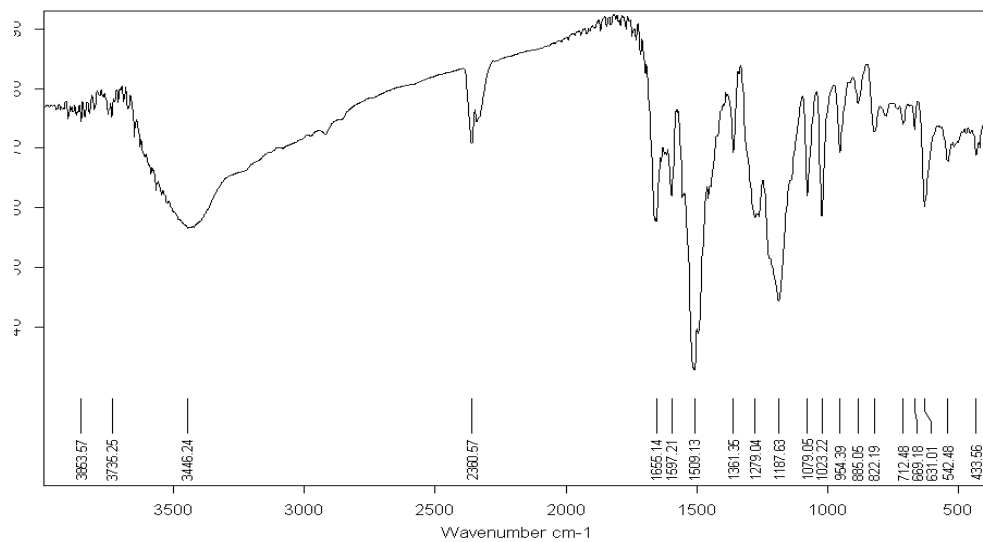
I



S 1 pur
stiila KBr

11/01/2007

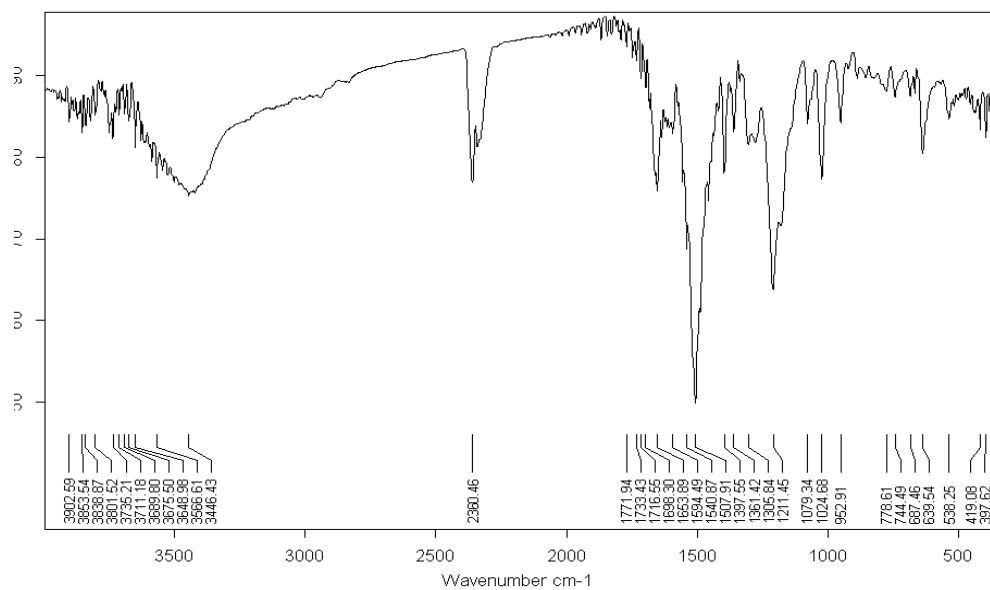
II



S 2 pur
stiila KBr

11/01/2007

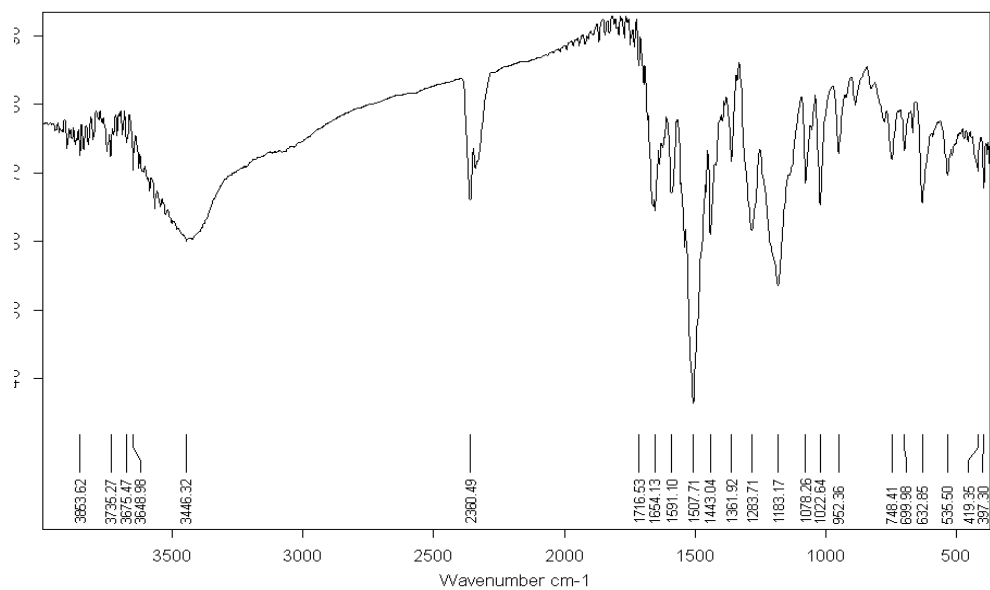
III



S 3 pur
stila KBr

11/01/2007

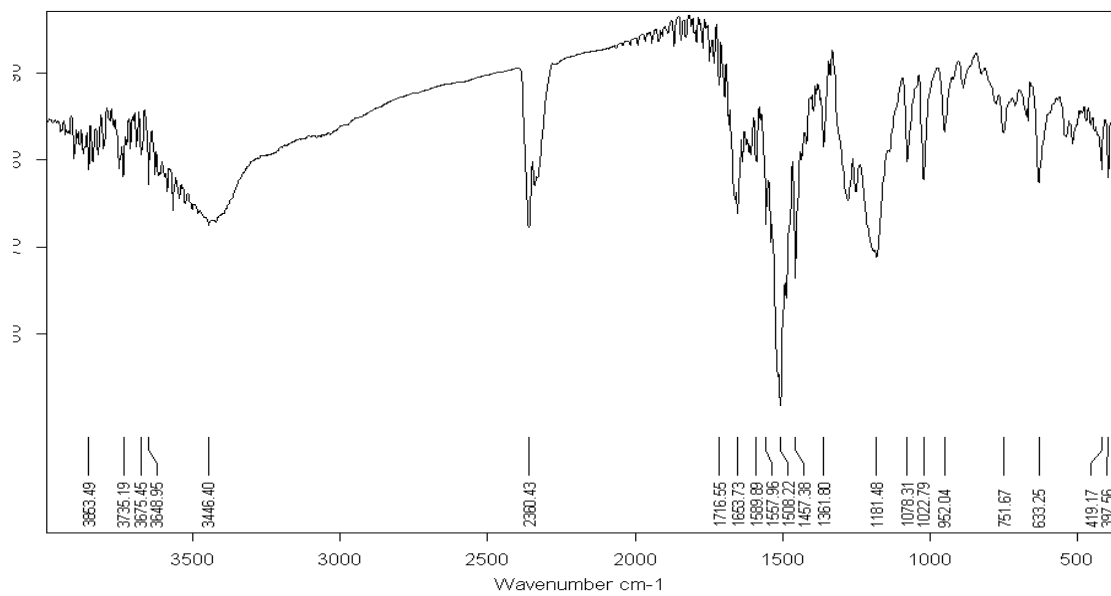
IV



S 4 pur
stila KBr

11/01/2007

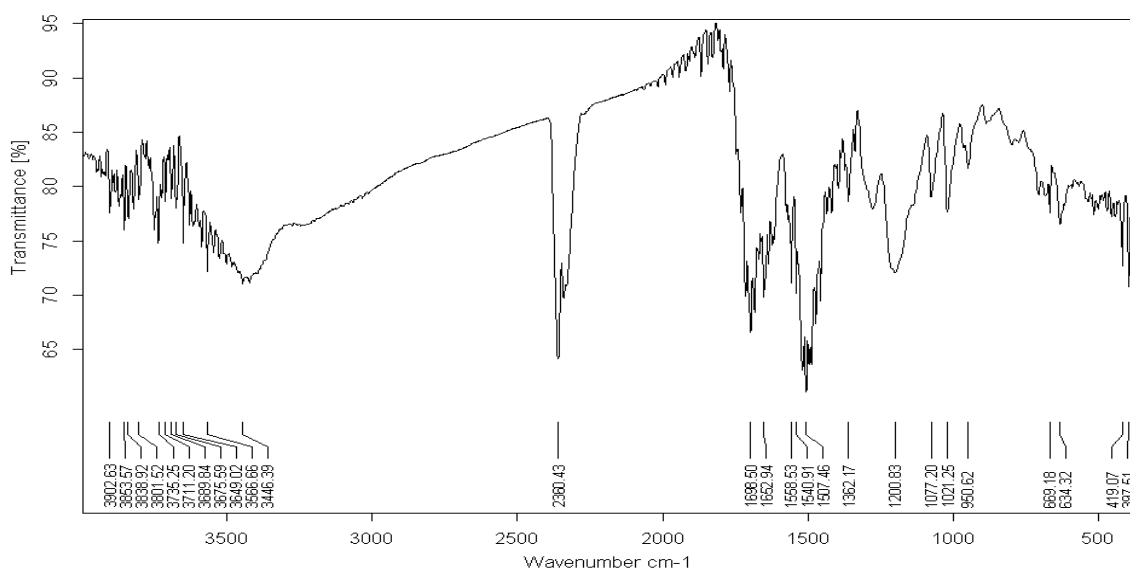
V



S 5 pur
stila KBr

11/01/2007

VI

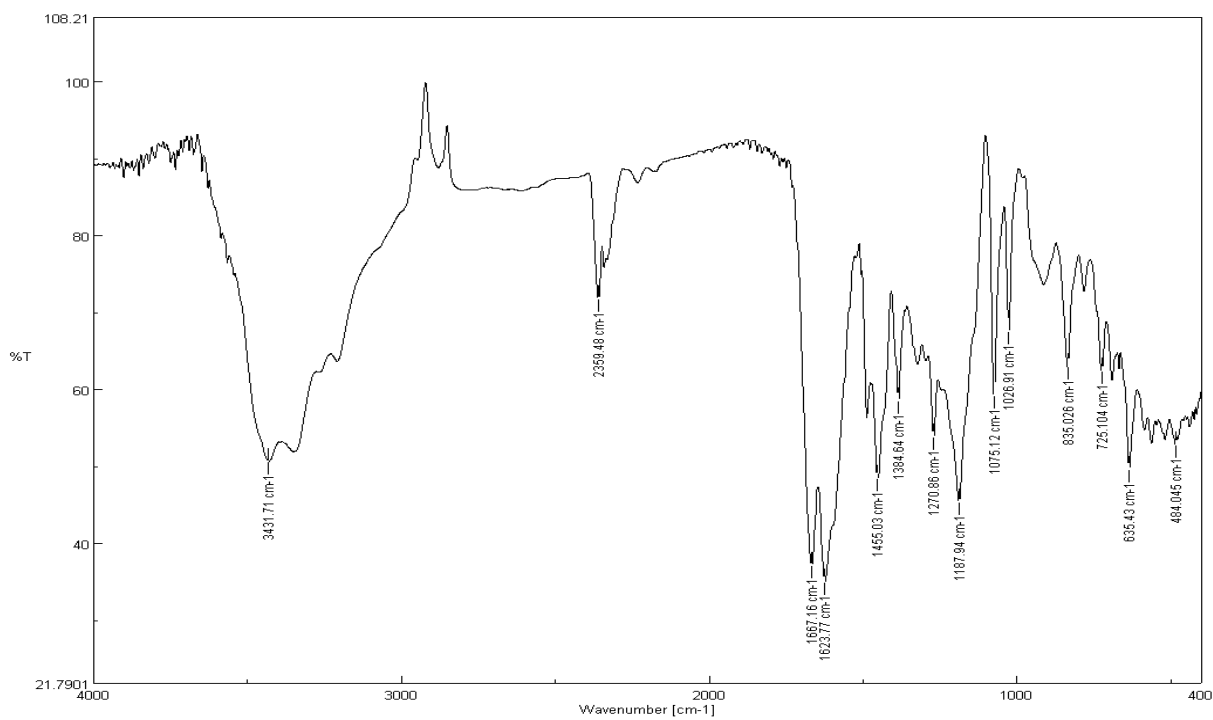


DAS 6 pur
Pastila KBr

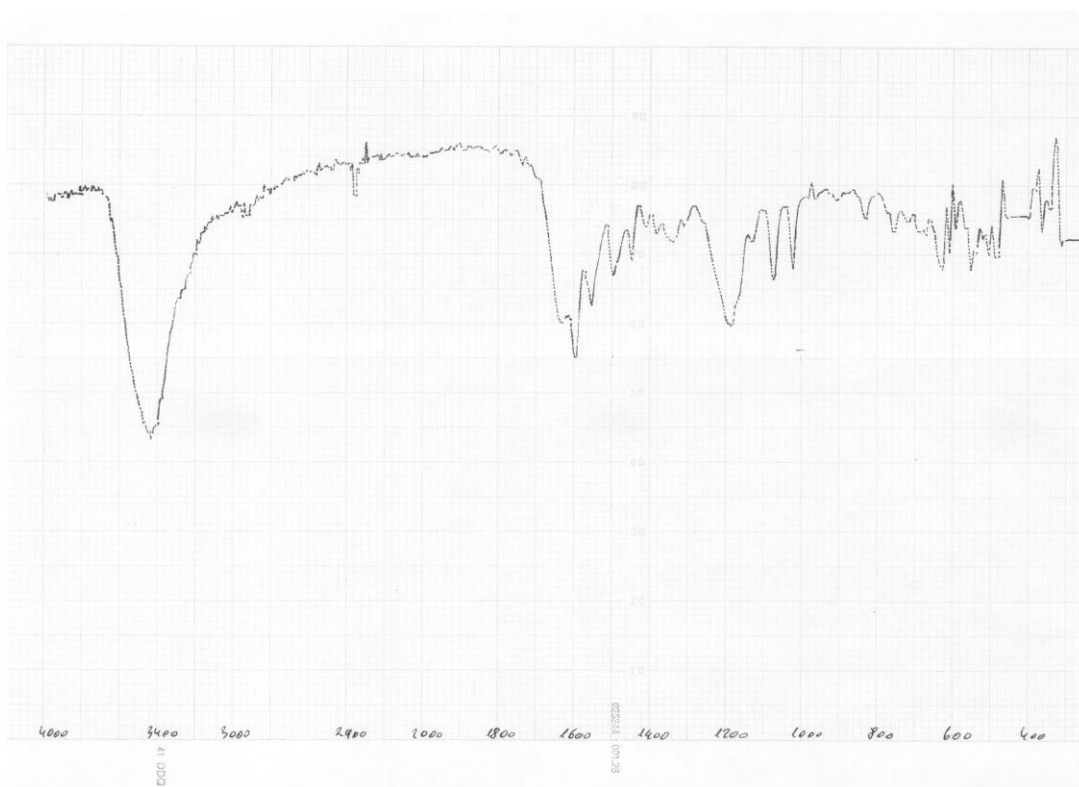
11/01/2007

**SPECTRELE DE ABSORBȚIE IR ALE COLORANȚILOR AZO-STILBENICI
(VII-XV; XVII-XX)**

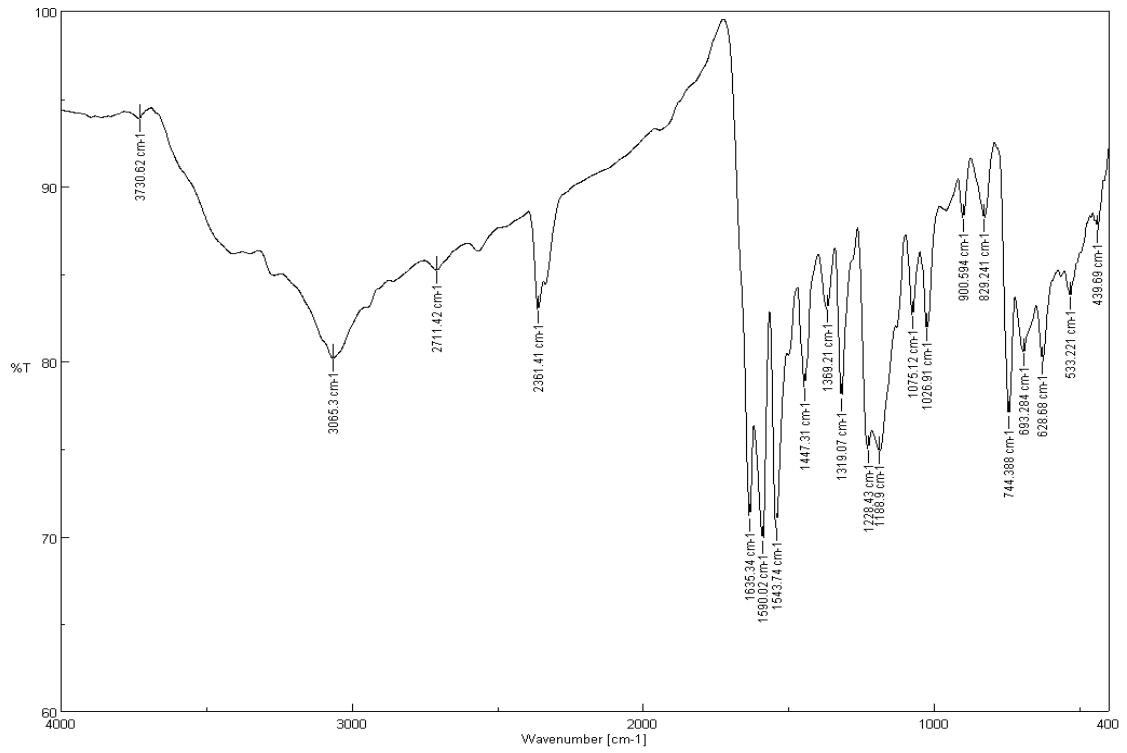
VII



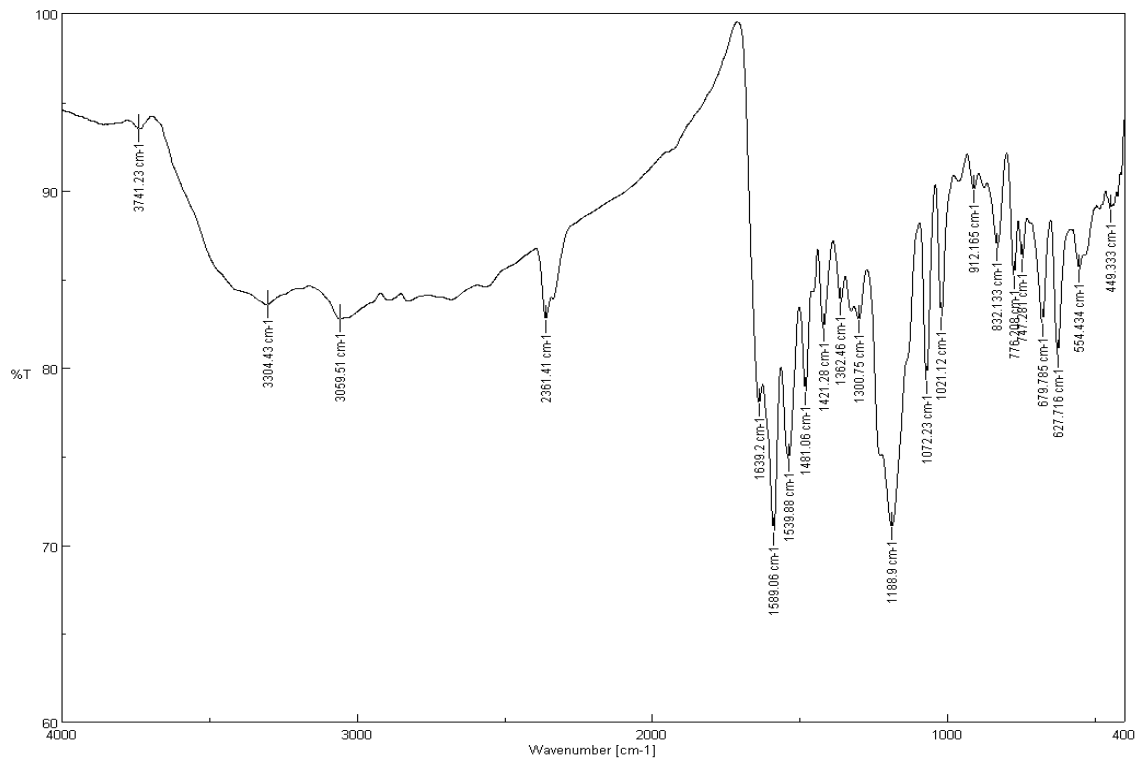
VIII



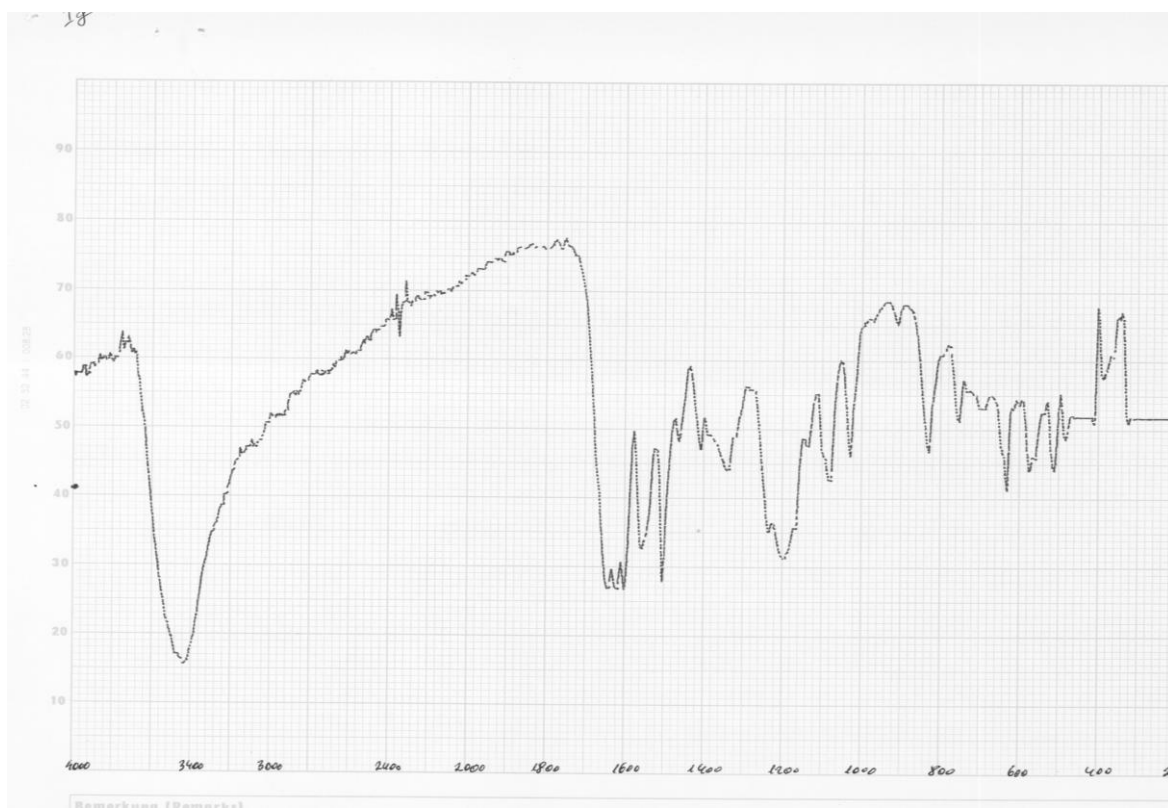
IX



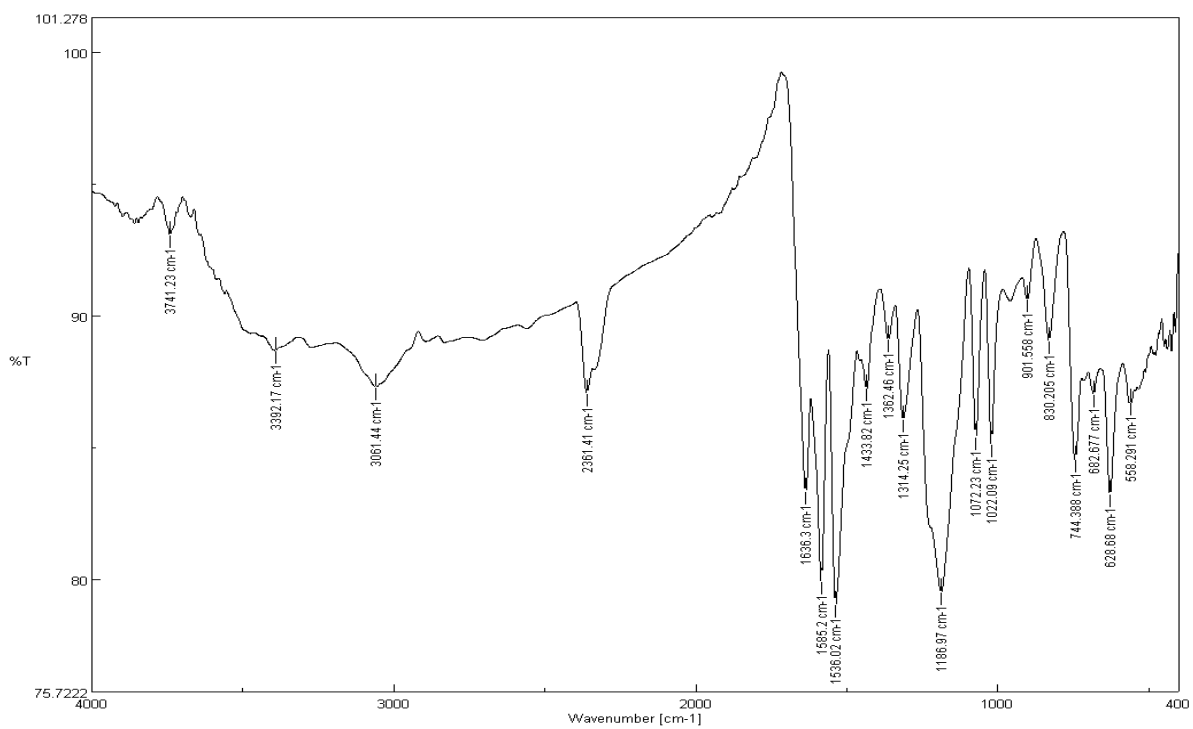
X



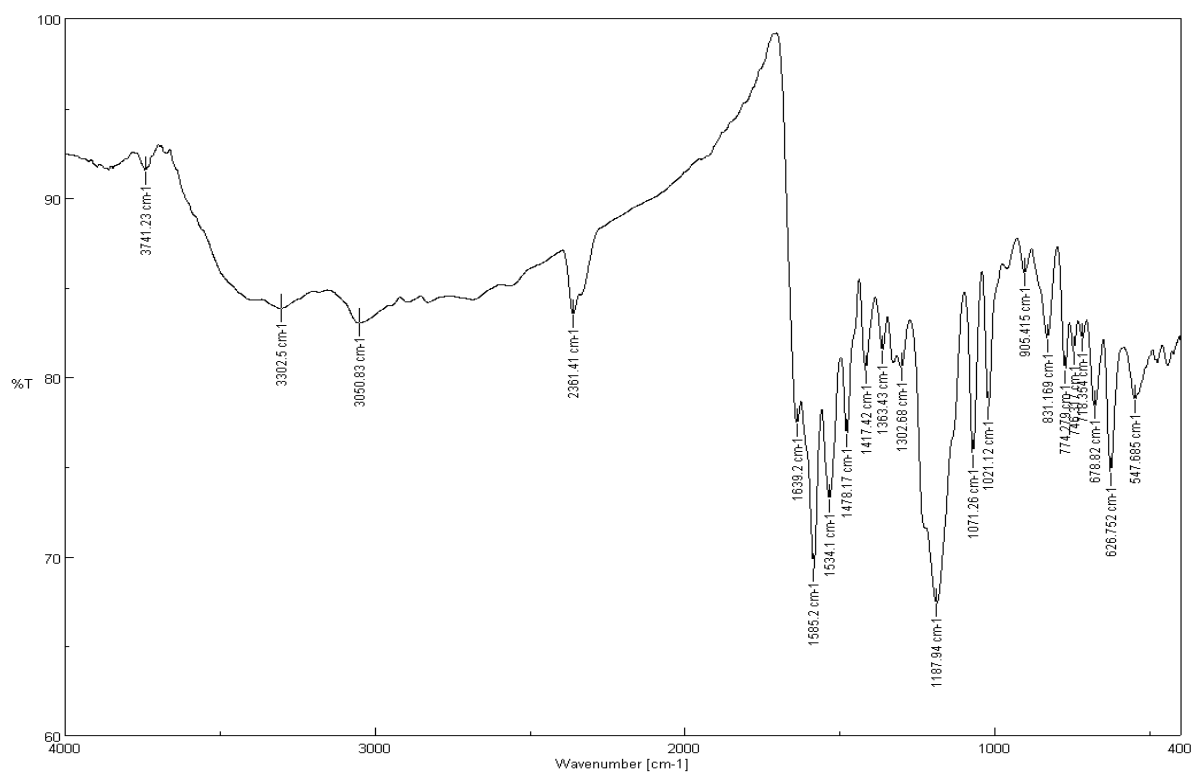
XI



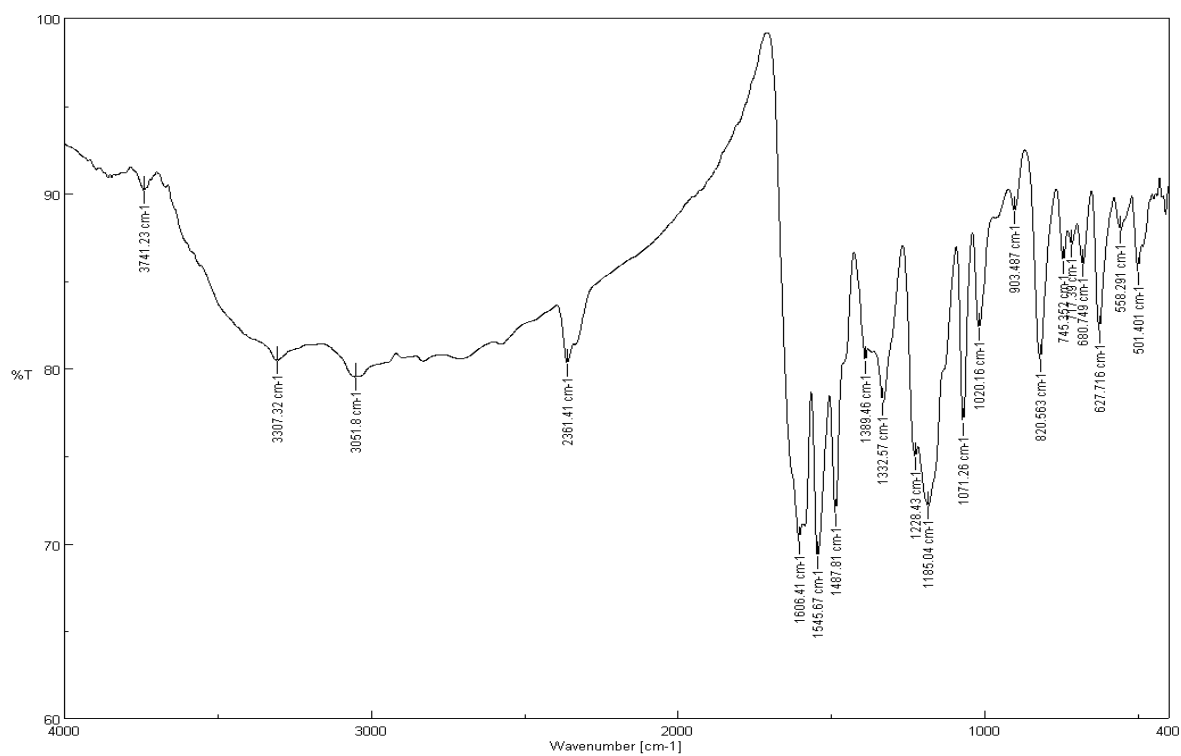
XII



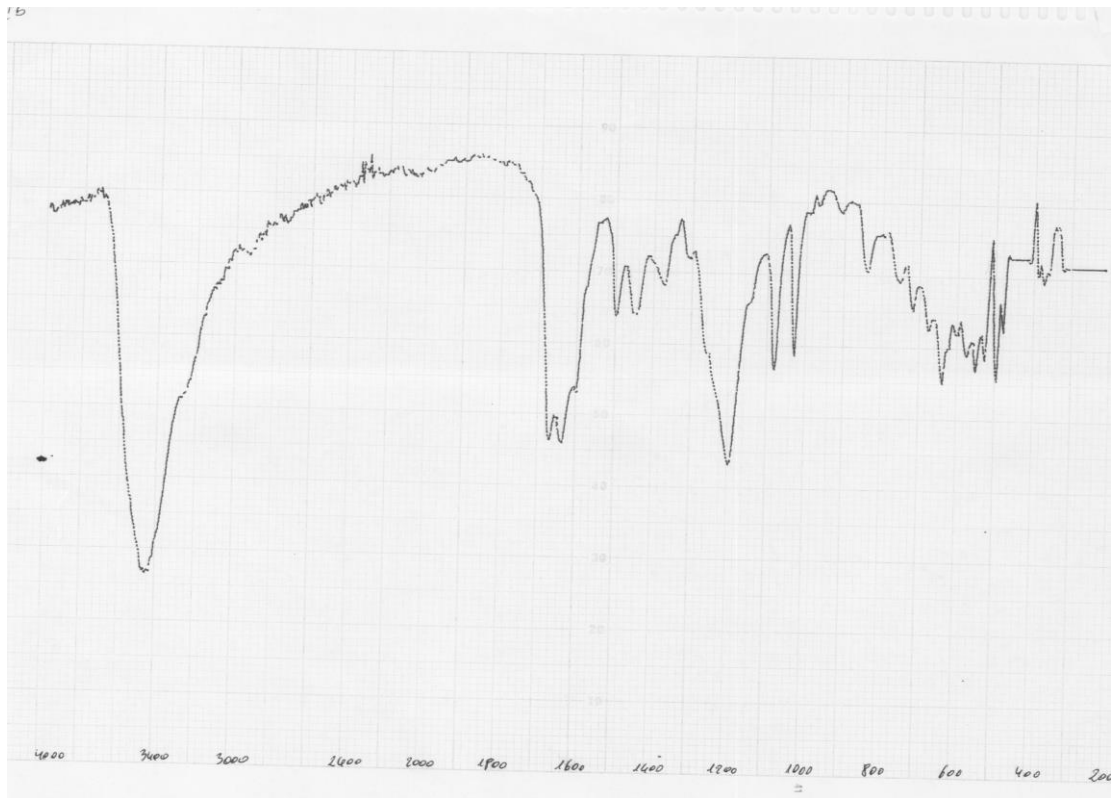
XIII



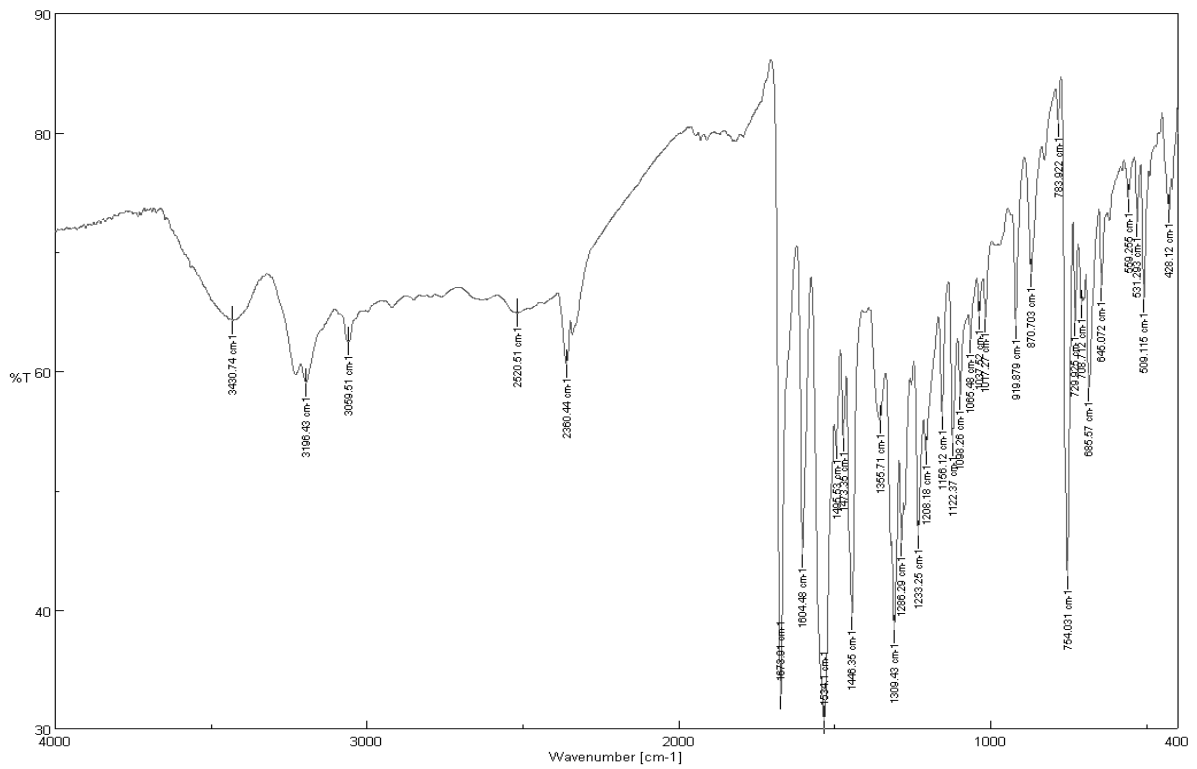
XIV



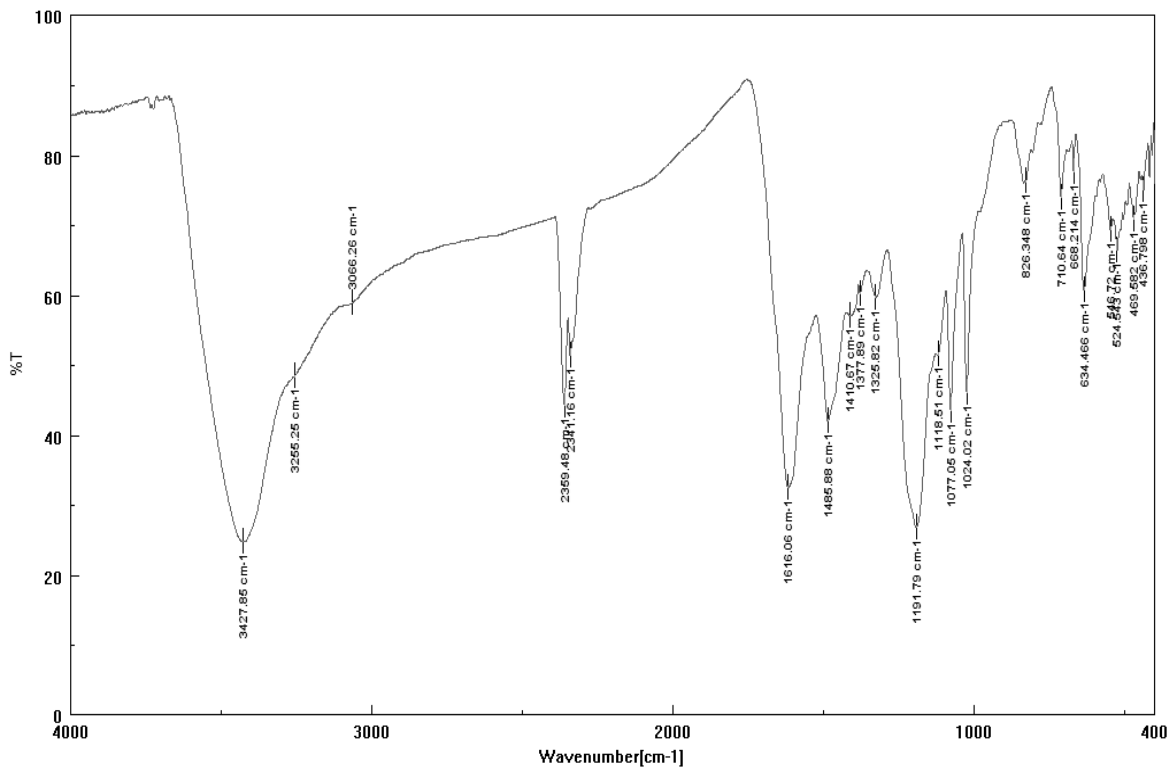
XV



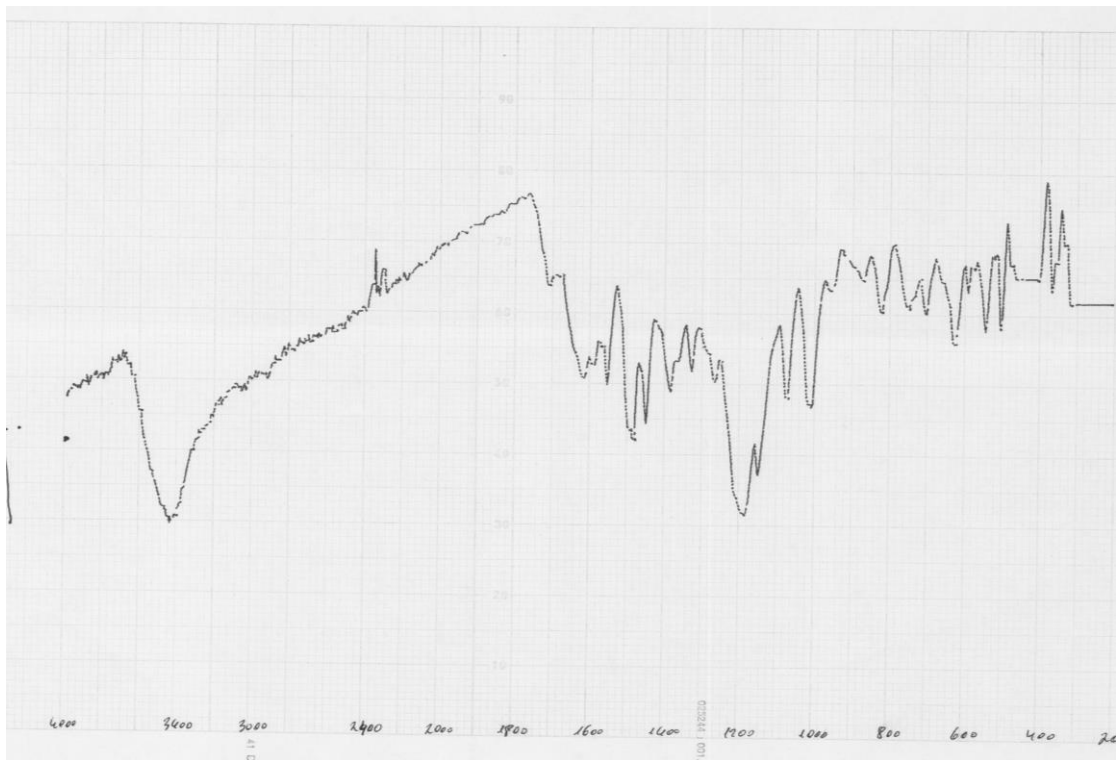
XVII



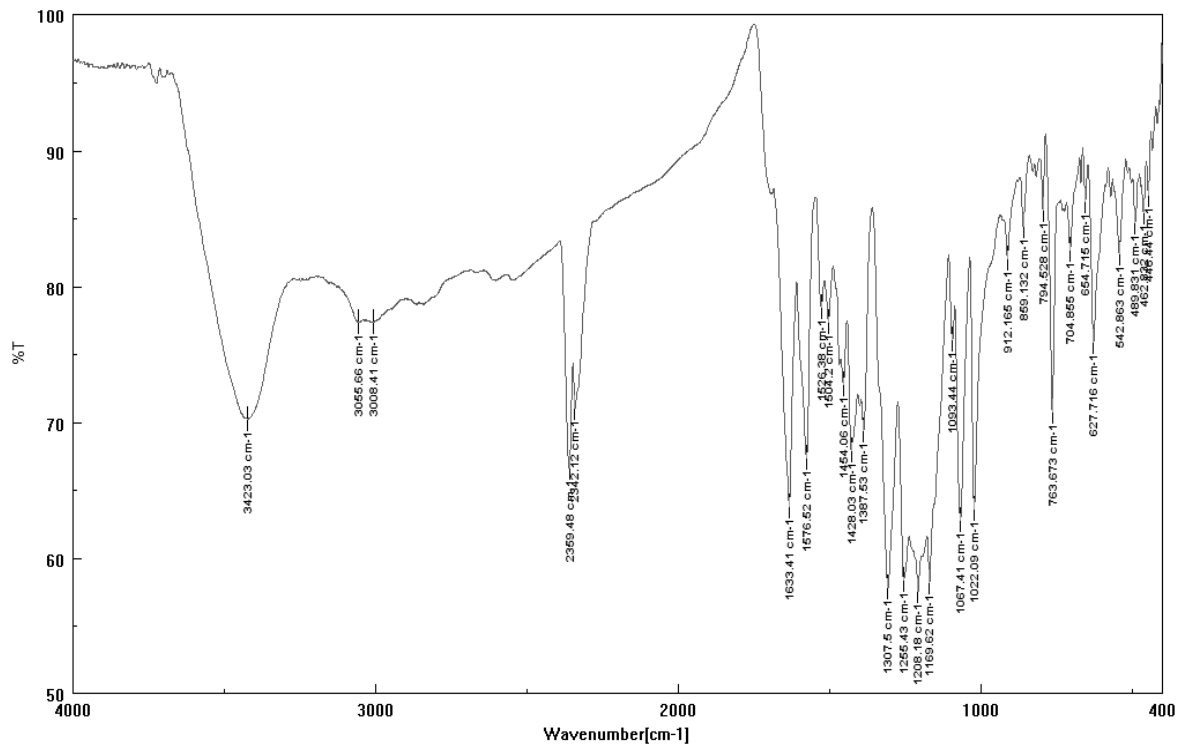
XVIII

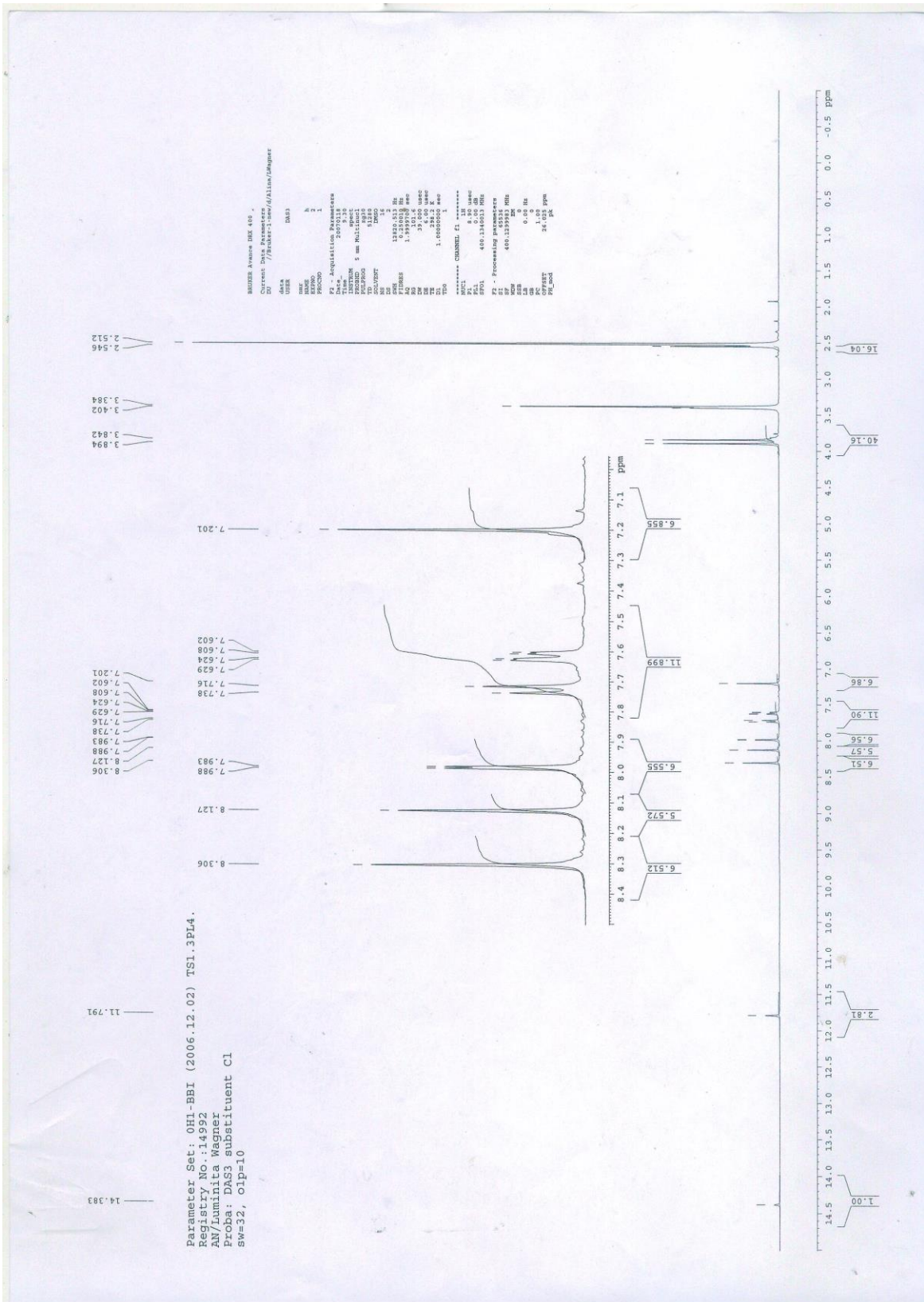


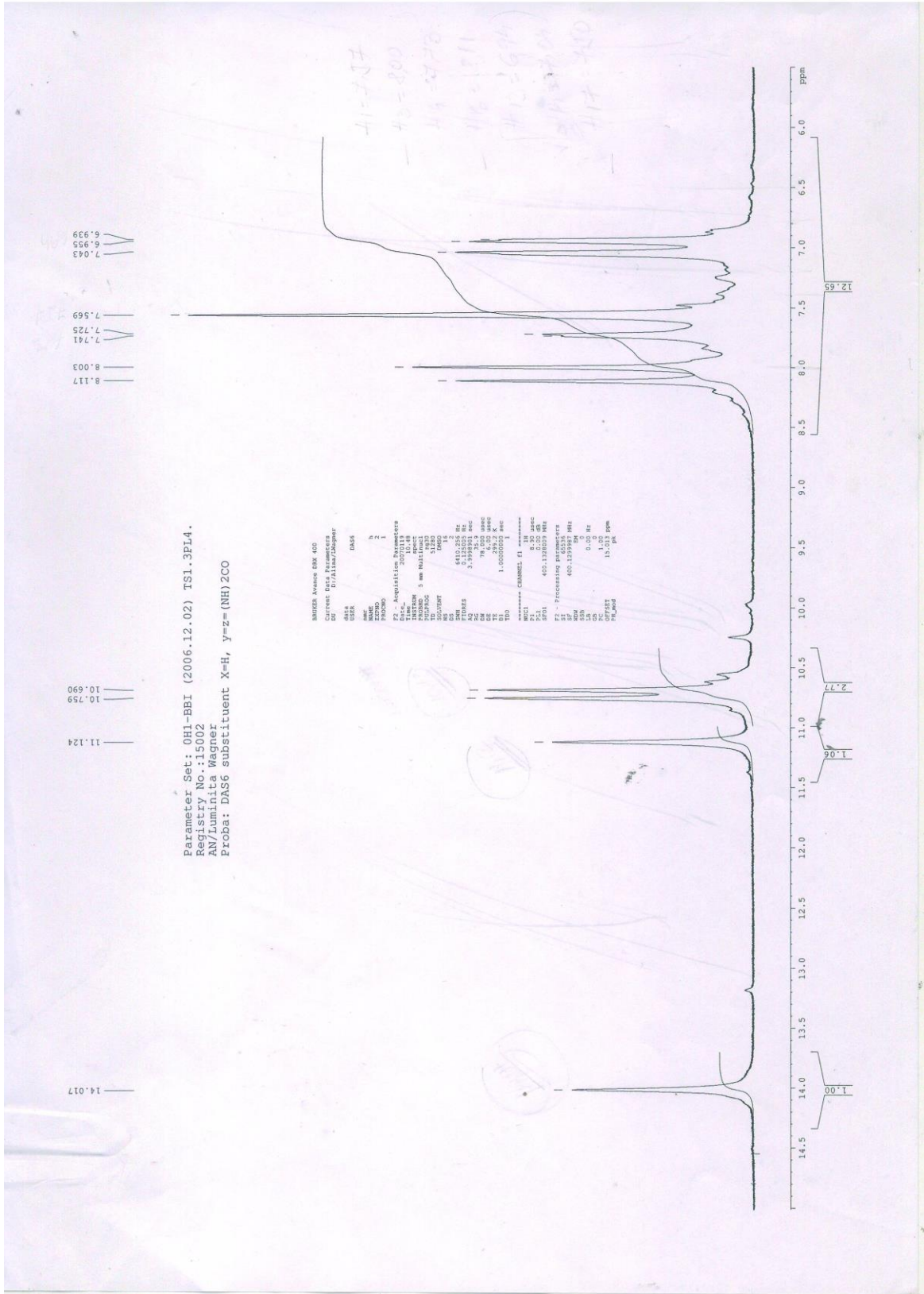
XIX



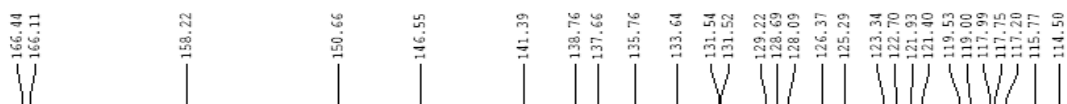
XX



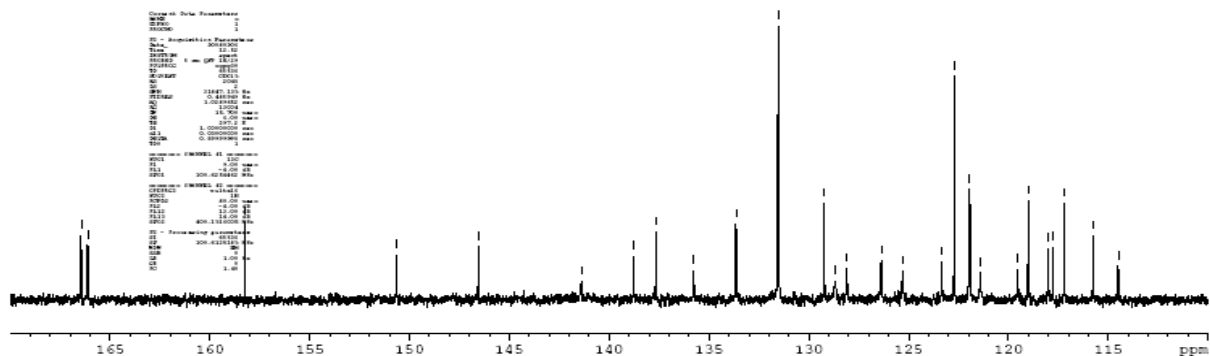




XIV



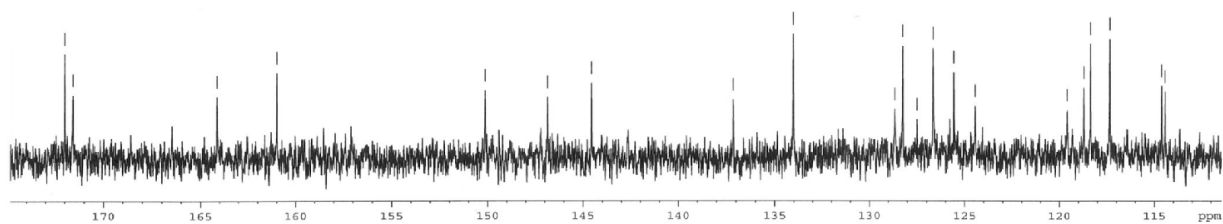
Parameter Set: #C13-CPD-QNP-34 (2007.05.02) T33.1PL4.
 Oper: ME/ Registry No.: 1497
 User: Luminita Wagner
 Proba: I1
 Coloranti derivati de acid 4,4'-diaminostilben-2,2'-disulfonic (acid DAS)



XV

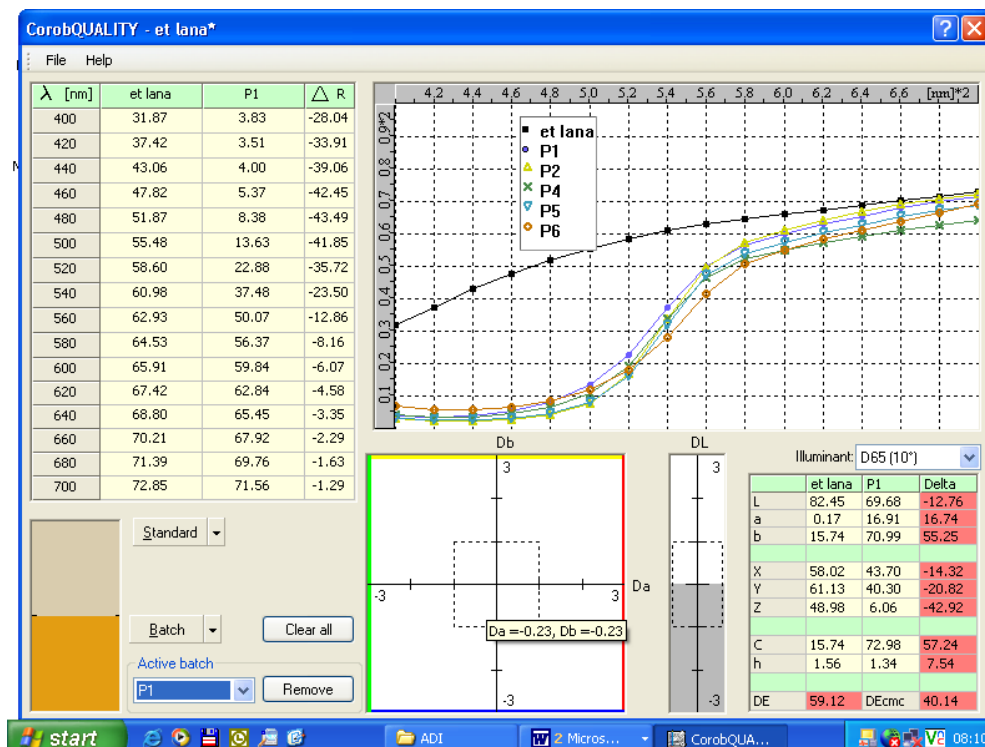
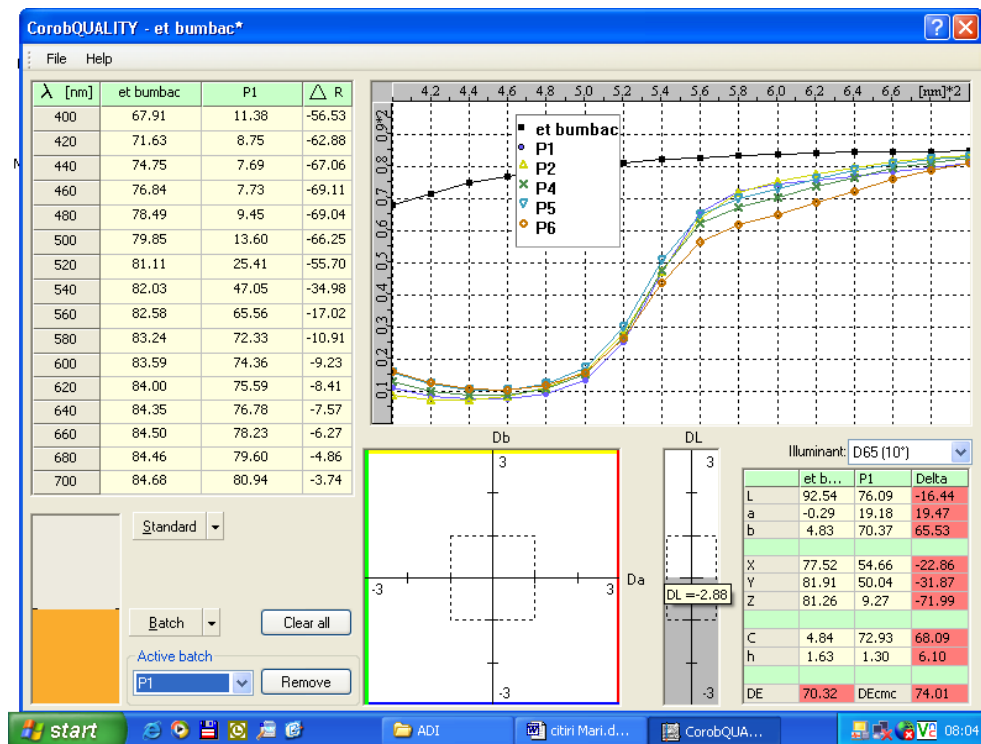


Parameter Set: OC13-CPD-BBI (Temp) XW3.5PL6.
 Registry No.: 11318
 AC/D-1 Tarabasnu/D-na Wagner
 Proba Ib

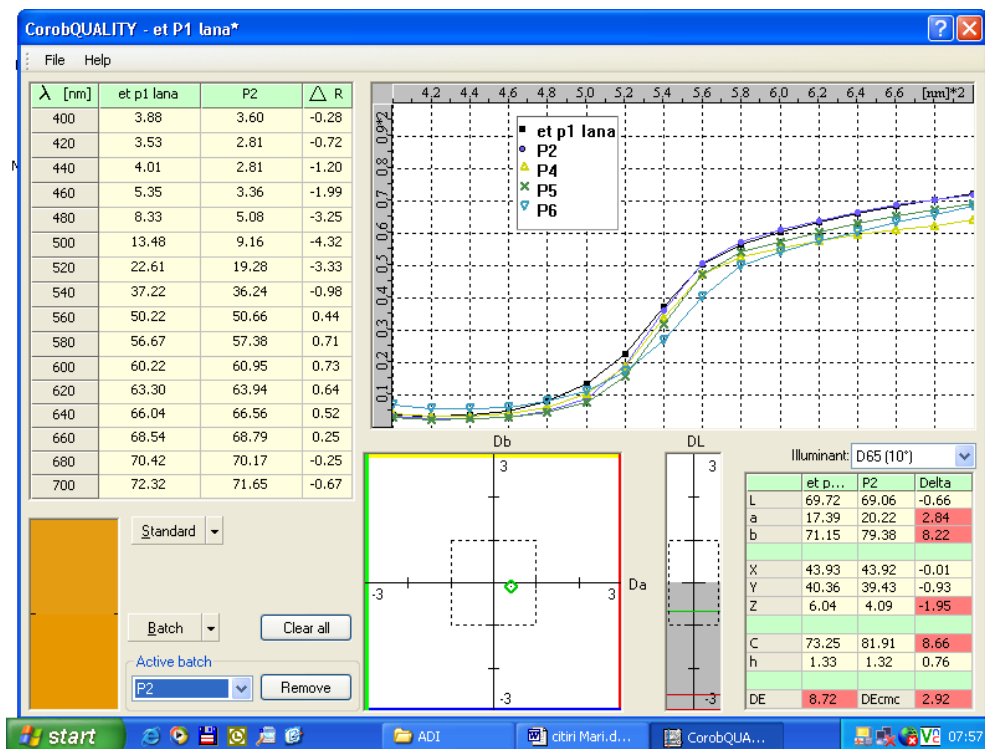
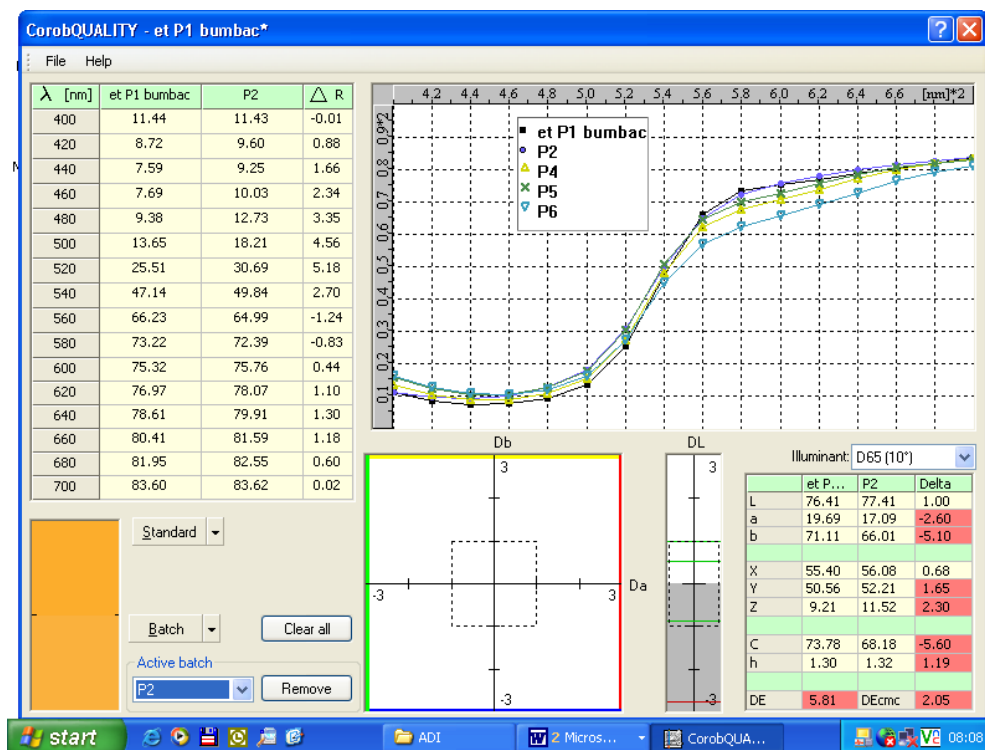


ANEXA IV

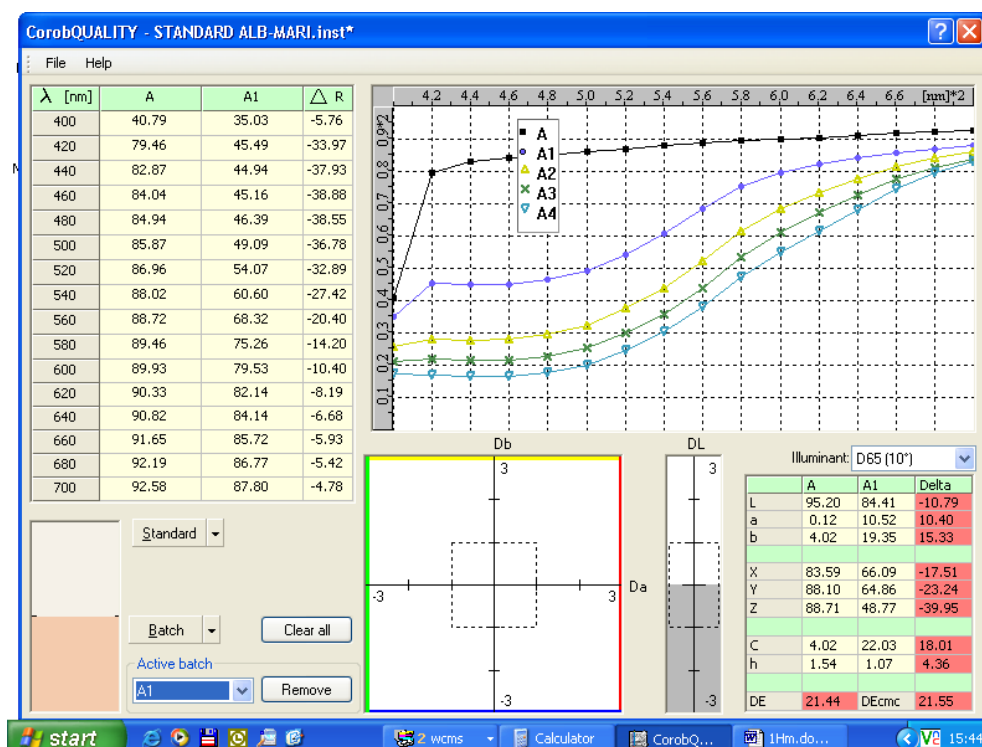
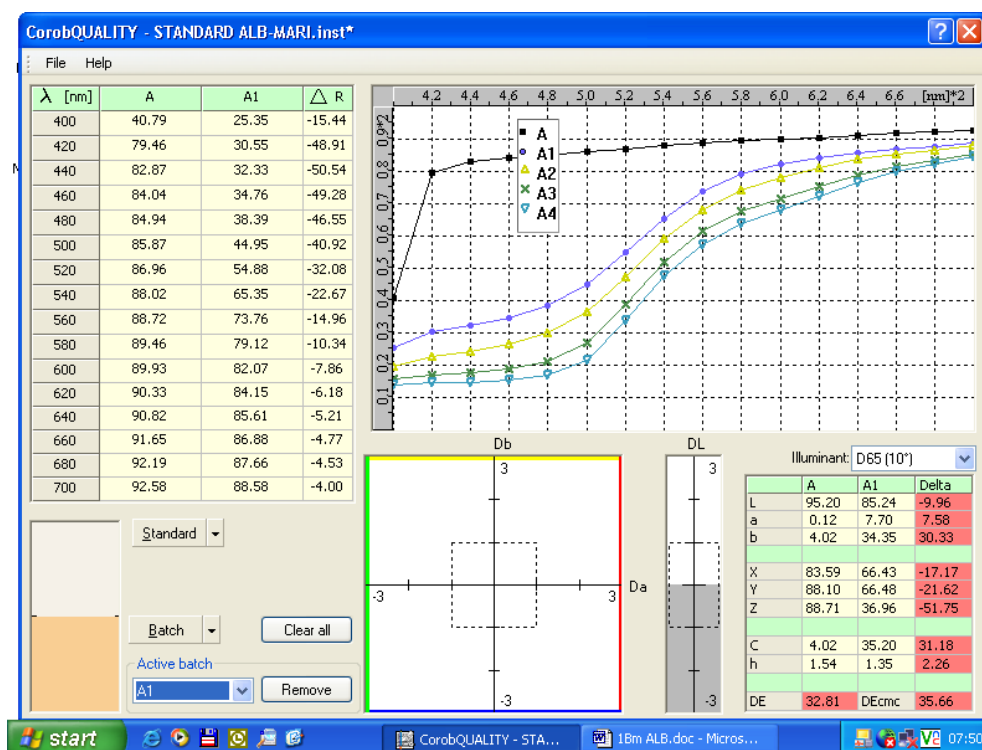
SPECTRELE DE REFLEXIE EFECTUATE PE EPRUVETE DIN SUPT CELULOZIC; PROTEIC VOPSITE CU COLORANȚII AZO-STILBENICI (I, II, IV-VI) COMPARATIV CU SUPTUL CELULOZIC, PROTEIC NEVOPSIT



**SPECTRELE DE REFLEXIE EFECTUATE PE EPRUVETE DIN SUPORT
CELULOZIC; PROTEIC VOPSITE CU COLORANȚII AZO-STILBENICI (II, IV-VI)
COMPARATIV CU SUPORTUL CELULOZIC, PROTEIC VOPSIT CU COLORANTUL
AZO-STILBENIC (I)**







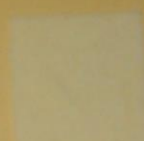

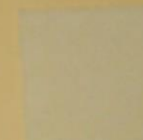
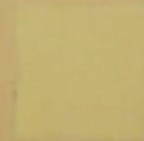

SPECTRELE DE REFLEXIE EFECTUATE PE PELICULELE APLICATE PE LEMN ALE COLORANȚILOR AZO-STILBENICI (XV, XVI) COMPARATIV CU STANDARDUL ALB

















ANEXA V

REZISTENȚELE COLORANȚILOR AZO-STILBNICI (I; II; IV-VI) PE SUPORT
CELULOZIC















BUMBAC
I















APĂ			
	4-5	4	4
TRANSPIRAȚIE pH=5,5			
	4-5	3-4	4
TRANSPIRAȚIE pH=8			
	4-5	3	4
SPĂLARE 40°C			
	4	2-3	4-5
FRECARĂ			
	5	5	
	USCATĂ	UMEDĂ	









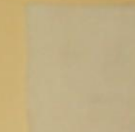



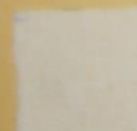
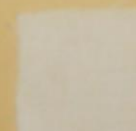
BUMBAC II

APĂ			
	4-5	4	4
TRANSPIRAȚIE pH=5,5			
	4-5	3-4	4
TRANSPIRAȚIE pH=8			
	4-5	3-4	4
SPĂLARE 40°C			
	4	3-4	4-5
FRECARÉ			
	5	4-5	
	USCATĂ	UMEDĂ	

BUMBAC
IV









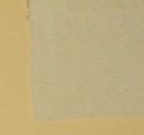





APĂ			
	4-5	4-5	4
TRANSPIRAȚIE pH=5,5			
	4-5	4	4
TRANSPIRAȚIE pH=8			
	4-5	3-4	4
SPĂLARE 40°C			
	4	3	4-5
FRECARĂ			
	5	4-5	
	USCĂTĂ	UMEDĂ	















BUMBAC <u>V</u>			
APĂ			
	4-5	4-5	4
TRANSPIRAȚIE pH = 5,5			
	4-5	4	4
TRANSPIRAȚIE pH = 8			
	4-5	3-4	4
SPĂLARE 40°C			
	4	3	4-5
FRECARĂ			
	5	5	
	USCATĂ	UMEDĂ	

BUMBAC <u>VI</u>			
APĂ			
	4-5	4-5	4-5
TRANSPIRATIE pH=5,5			
	4-5	4	4
TRANSPIRATIE pH=8			
	4-5	4-5	4
SPĂLARE 40°C			
	4-5	3-4	4-5
FRECARÉ			
	5	5	
	USCATĂ	UMEDĂ	














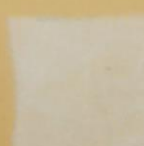
**REZISTENȚELE COLORANȚILOR AZO-STILBENICI (I; II; IV-VI) PE SUPORT
PROTEIC**



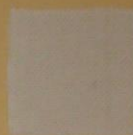








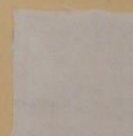
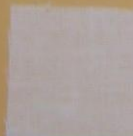

**LÂNĂ
I**














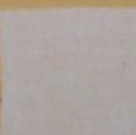
APĂ			
	5	5	5
TRANSPIRAȚIE pH = 5,5'			
	4-5	5	4
TRANSPIRAȚIE pH = 8			
	4-5	4-5	4
SPĂLARE 40°C			
	4-5	3	4-5
FRECARĂ			
	3	3	
	USCATĂ	UMEDĂ	

		<u>LÂNĂ</u> <u>II</u>		
APĂ				
	5	5	5	
TRANSPIRAȚIE pH=5,5				
	4-5	5	4	
TRANSPIRAȚIE pH=8				
	4-5	4-5	4	
SPĂLARE 40°C				
	4-5	3-4	4-5	
FRECARE				
	5	4-5		
	USCATĂ	UMEDĂ		

LANA
IV

APĂ			
	5	5	5
RANSPIRAȚIE pH = 5,5			
	4-5	5	4
RANSPIRAȚIE pH = 8			
	4-5	5	4-5
SPĂLARE 40°C			
	4	3	4-5
FRECARE			
	5	4-5	
	USCATĂ	UMEDĂ	

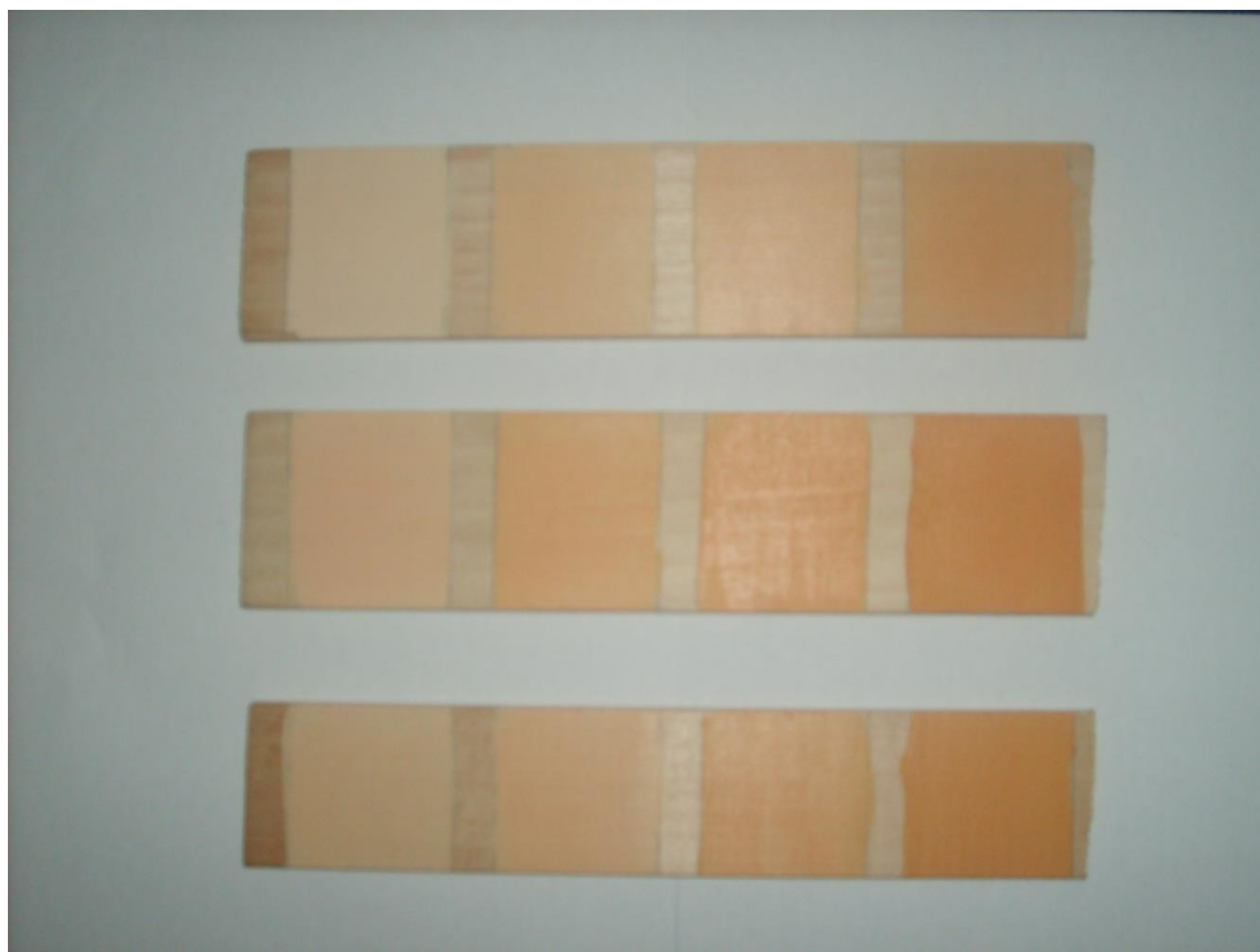
LÂNĂ <u>V</u>			
APĂ			
	5	6	5
TRANSPIRAȚIE pH=5,5			
	4-5	5	4
TRANSPIRAȚIE pH=8			
	4-5	4	4
SPĂLARE 40°C			
	4-5	3-4	4-5
FRECARE			
	5	4-5	
	USCATĂ	UMEDĂ	

LÂNĂ <u>VI</u>			
APĂ			
	5	5	5
TRANSPIRAȚIE pH=5,5			
	4-5	5	4
TRANSPIRAȚIE pH=8			
	4-5	4	4
SPĂLARE 40°C			
	4	3-4	4-5
FRECARĂ			
	4-5	4	
	USCATĂ	UMEDĂ	

PELICULELE COLORANȚILOR AZO-STILBENICI (VII; VIII; XV;XVI)



PELICULELE COLORANȚILOR AZO-STILBENICI (IX; X; XI)



PELICULELE COLORANȚILOR AZO-STILBENICI (XVIII; XIX; XX)

